

Zeitschrift: Bericht der Eidgenössischen Kommission zur Überwachung der Radioaktivität

Herausgeber: Eidgenössische Kommission zur Überwachung der Radioaktivität

Band: 29 (1985-1986)

Heft: 2: Figuren und Tabellen

Anhang: [Figuren 5]

Nutzungsbedingungen

Die ETH-Bibliothek ist die Anbieterin der digitalisierten Zeitschriften auf E-Periodica. Sie besitzt keine Urheberrechte an den Zeitschriften und ist nicht verantwortlich für deren Inhalte. Die Rechte liegen in der Regel bei den Herausgebern beziehungsweise den externen Rechteinhabern. Das Veröffentlichen von Bildern in Print- und Online-Publikationen sowie auf Social Media-Kanälen oder Webseiten ist nur mit vorheriger Genehmigung der Rechteinhaber erlaubt. [Mehr erfahren](#)

Conditions d'utilisation

L'ETH Library est le fournisseur des revues numérisées. Elle ne détient aucun droit d'auteur sur les revues et n'est pas responsable de leur contenu. En règle générale, les droits sont détenus par les éditeurs ou les détenteurs de droits externes. La reproduction d'images dans des publications imprimées ou en ligne ainsi que sur des canaux de médias sociaux ou des sites web n'est autorisée qu'avec l'accord préalable des détenteurs des droits. [En savoir plus](#)

Terms of use

The ETH Library is the provider of the digitised journals. It does not own any copyrights to the journals and is not responsible for their content. The rights usually lie with the publishers or the external rights holders. Publishing images in print and online publications, as well as on social media channels or websites, is only permitted with the prior consent of the rights holders. [Find out more](#)

Download PDF: 24.08.2025

ETH-Bibliothek Zürich, E-Periodica, <https://www.e-periodica.ch>

Fig. 5.1.a. Netz für automatischen Dosis- Alarm und -Messung (NADAM)

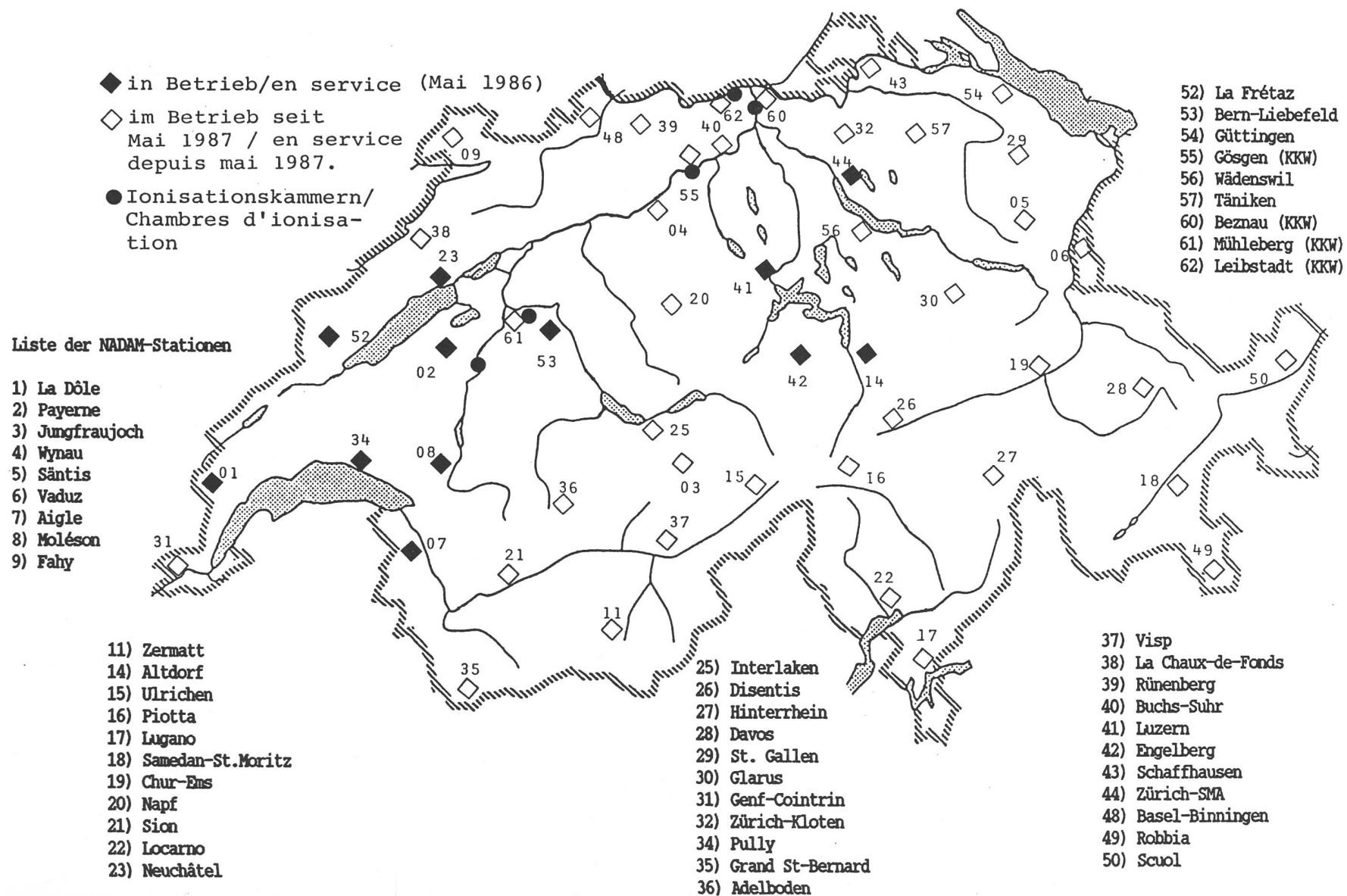


Fig. 5.1.b: Probenahme- und Messstellen im Kanton Tessin (1986)

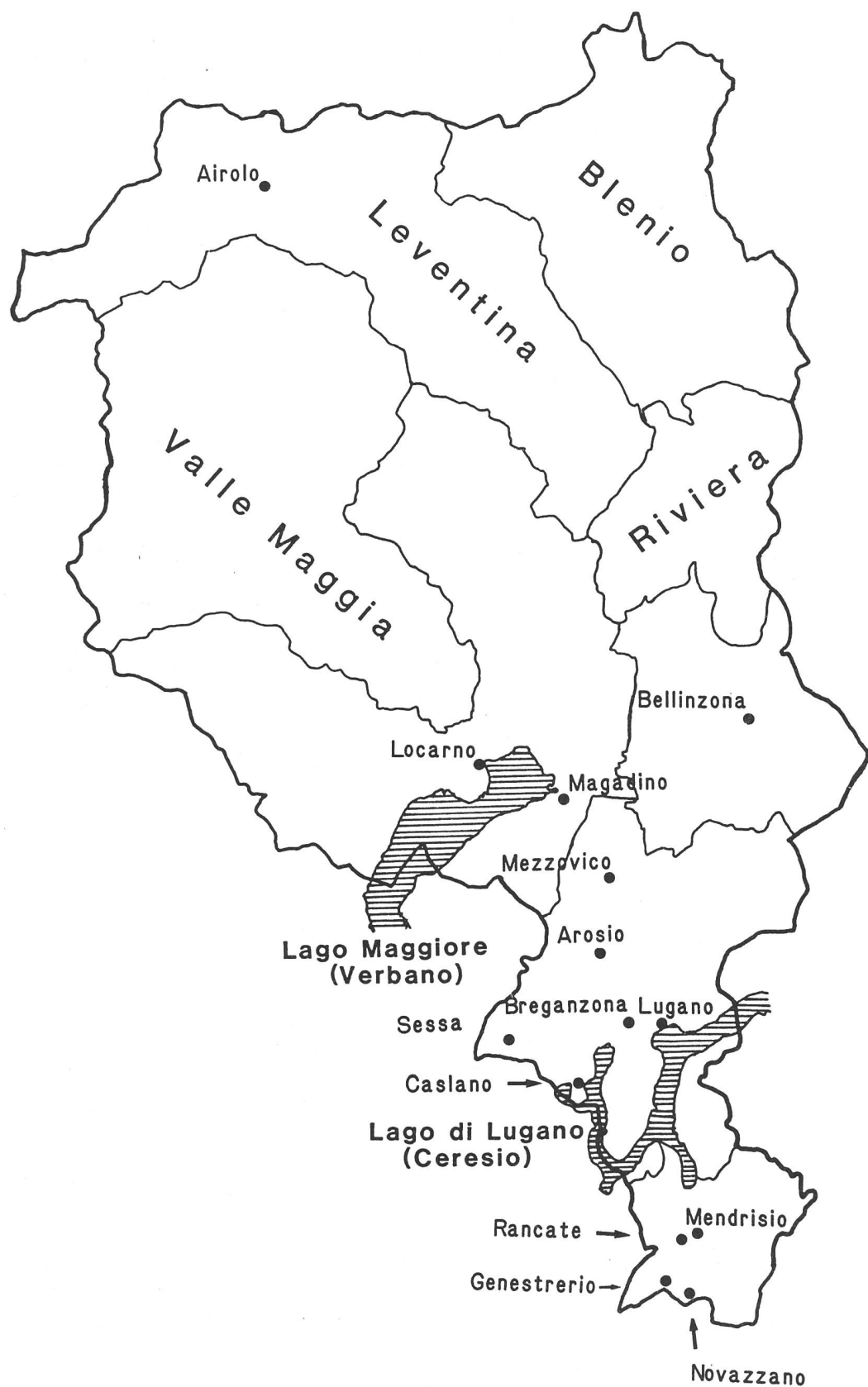


Fig.5.2.a: Gesamtabgaben Reaktorbrand Tschernobyl
(russ. Angaben)

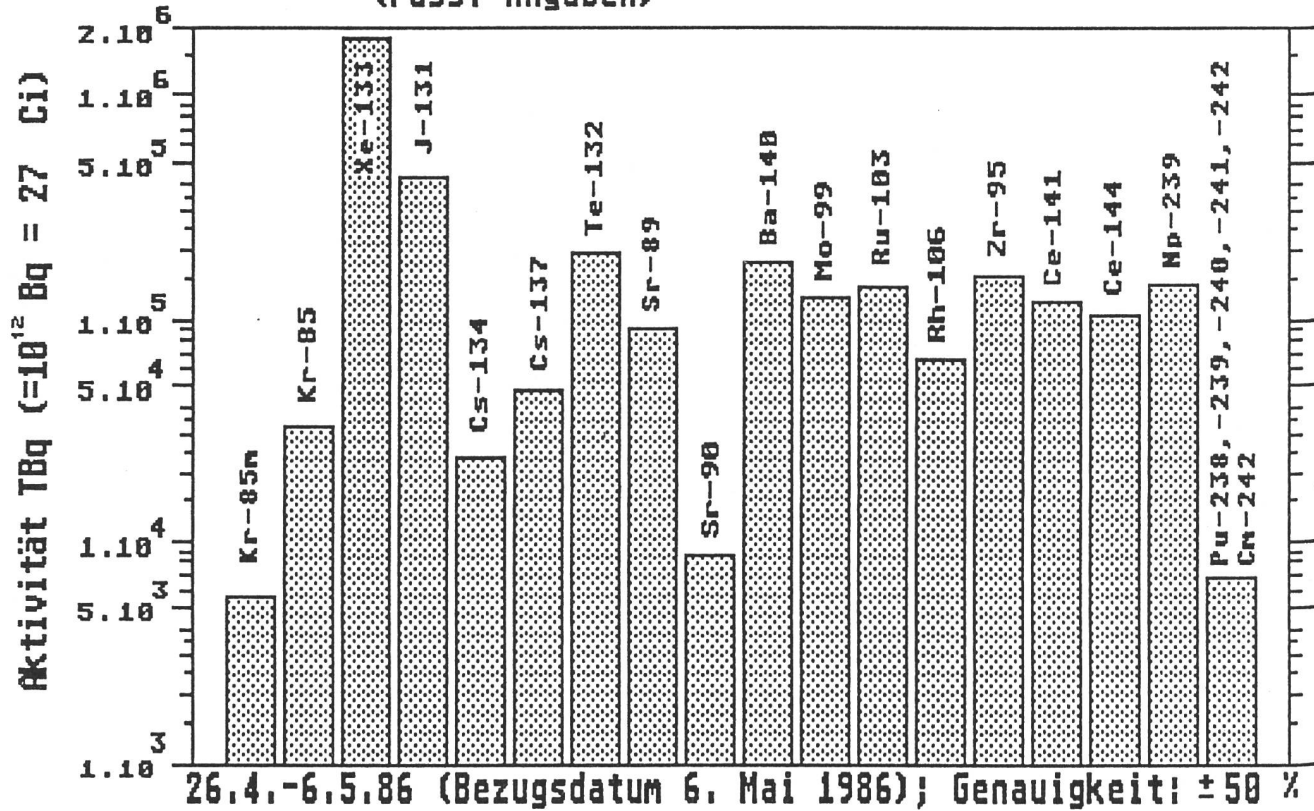


Fig.5.2.b: Gesamtabgaben Reaktorbrand Tschernobyl
(russ. Angaben)

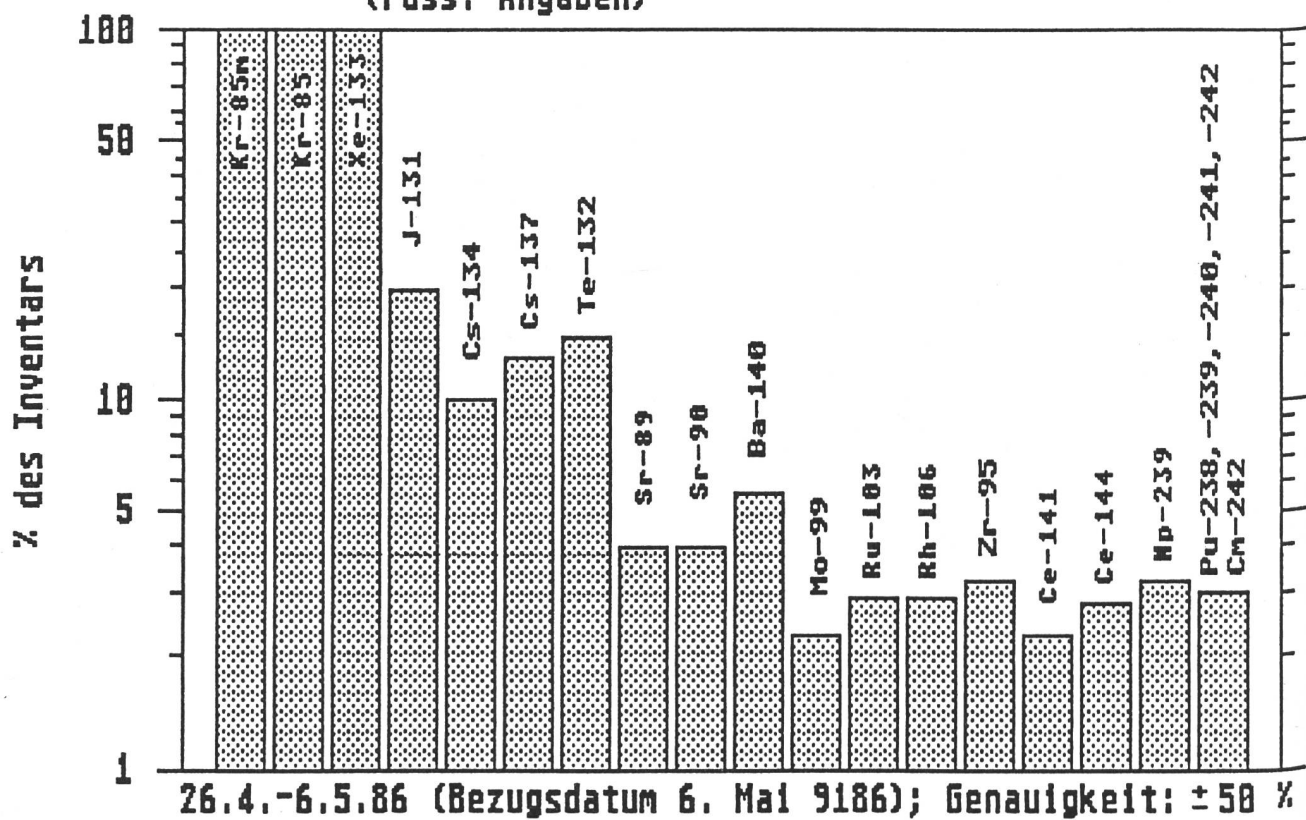


Fig. 5.3:

Probenahme Inland

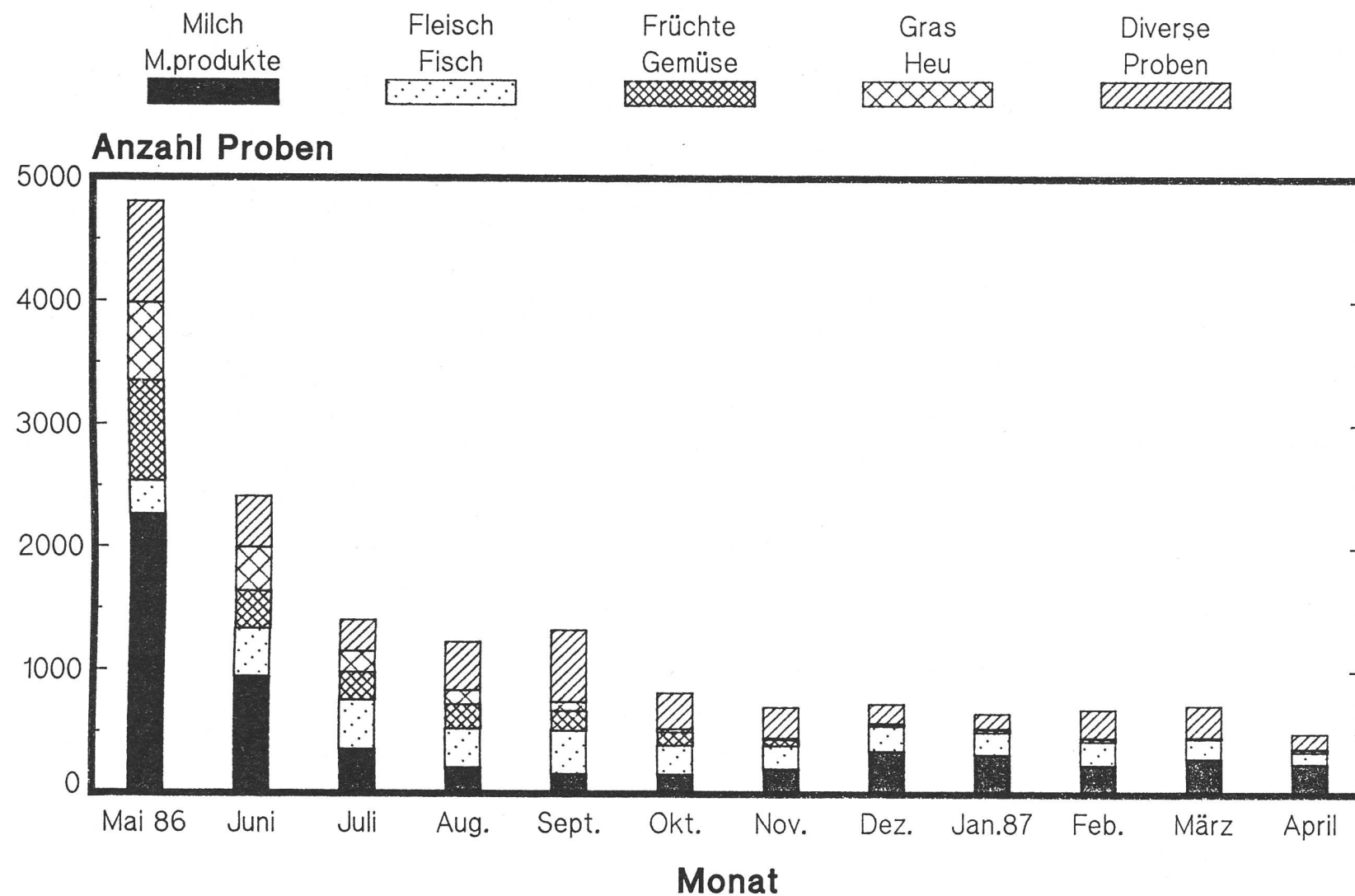


Fig.5.4.a: Aktivitätsverteilung rel. zu Cs-137, in verschiedenen Proben

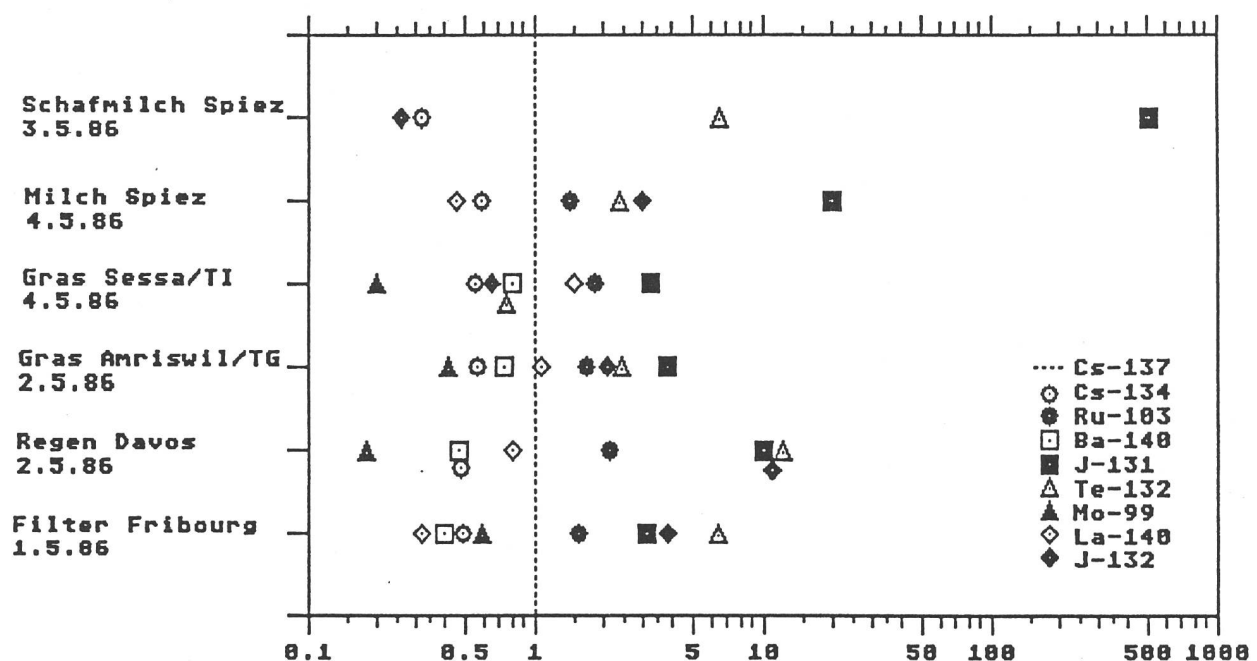


Fig.5.4.b: Vergleich: Aktivität zu interner Dosis:
Blumenkohl Anfang Mai 1986 (Tessin)

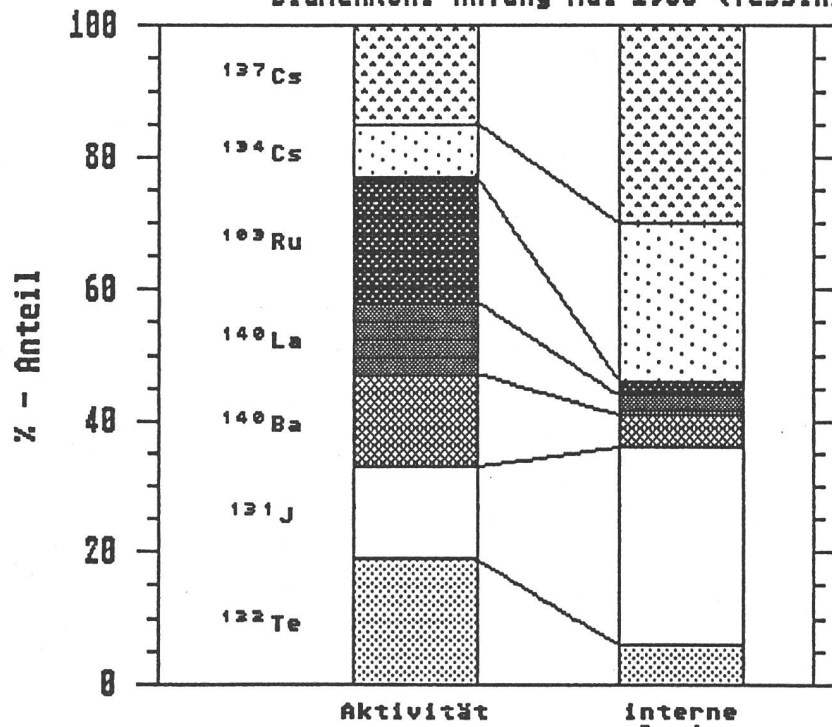


Fig. 5.5.a: Aktivitätsverhältnis Cs-134 / Cs-137
in ausgewählten Proben ($\pm 1\sigma$)

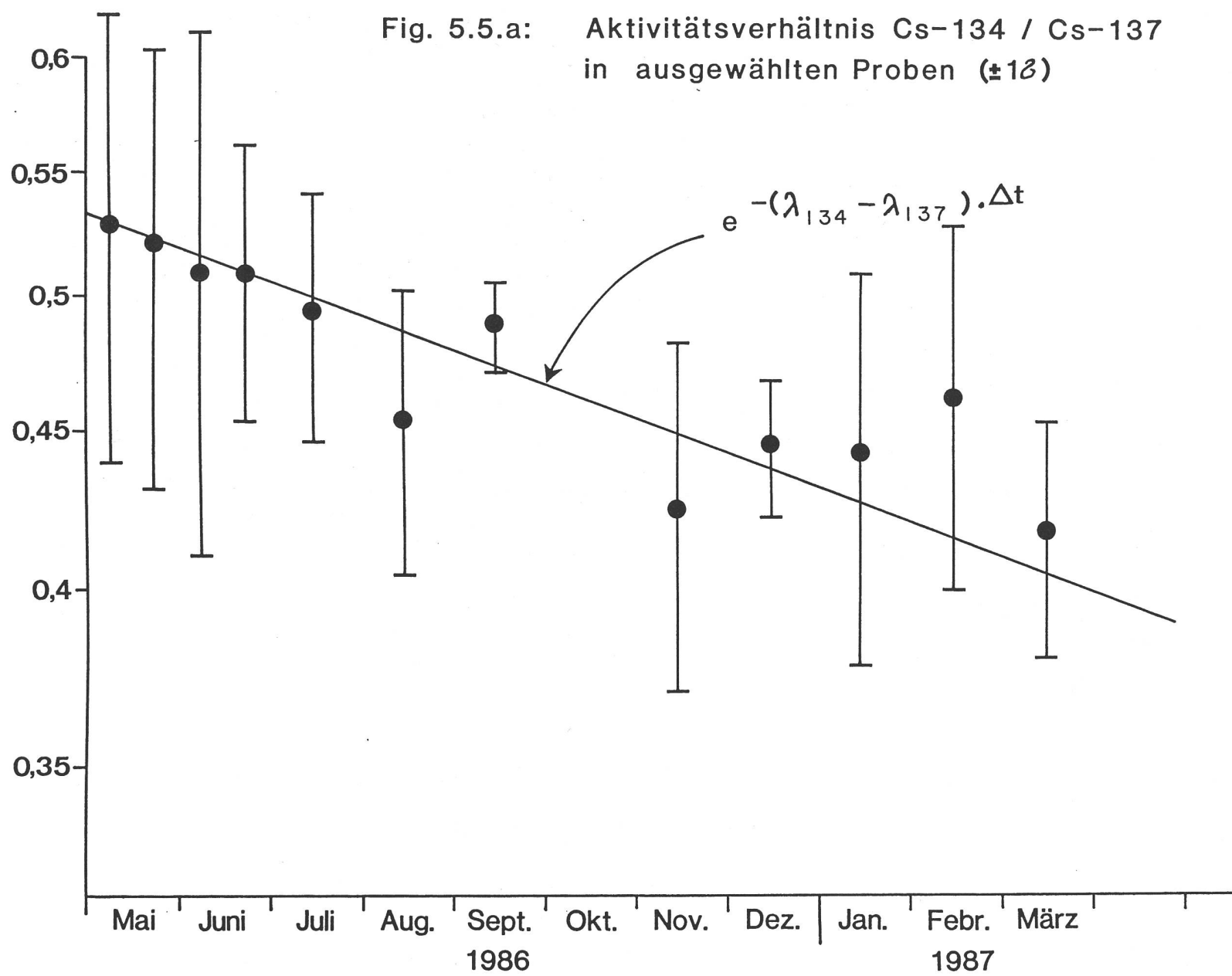


Fig. 5.5.b:

Aktivitäts-Verhältnis La-140 / Ba-140 in Luftfiltern($\pm 1\sigma$)

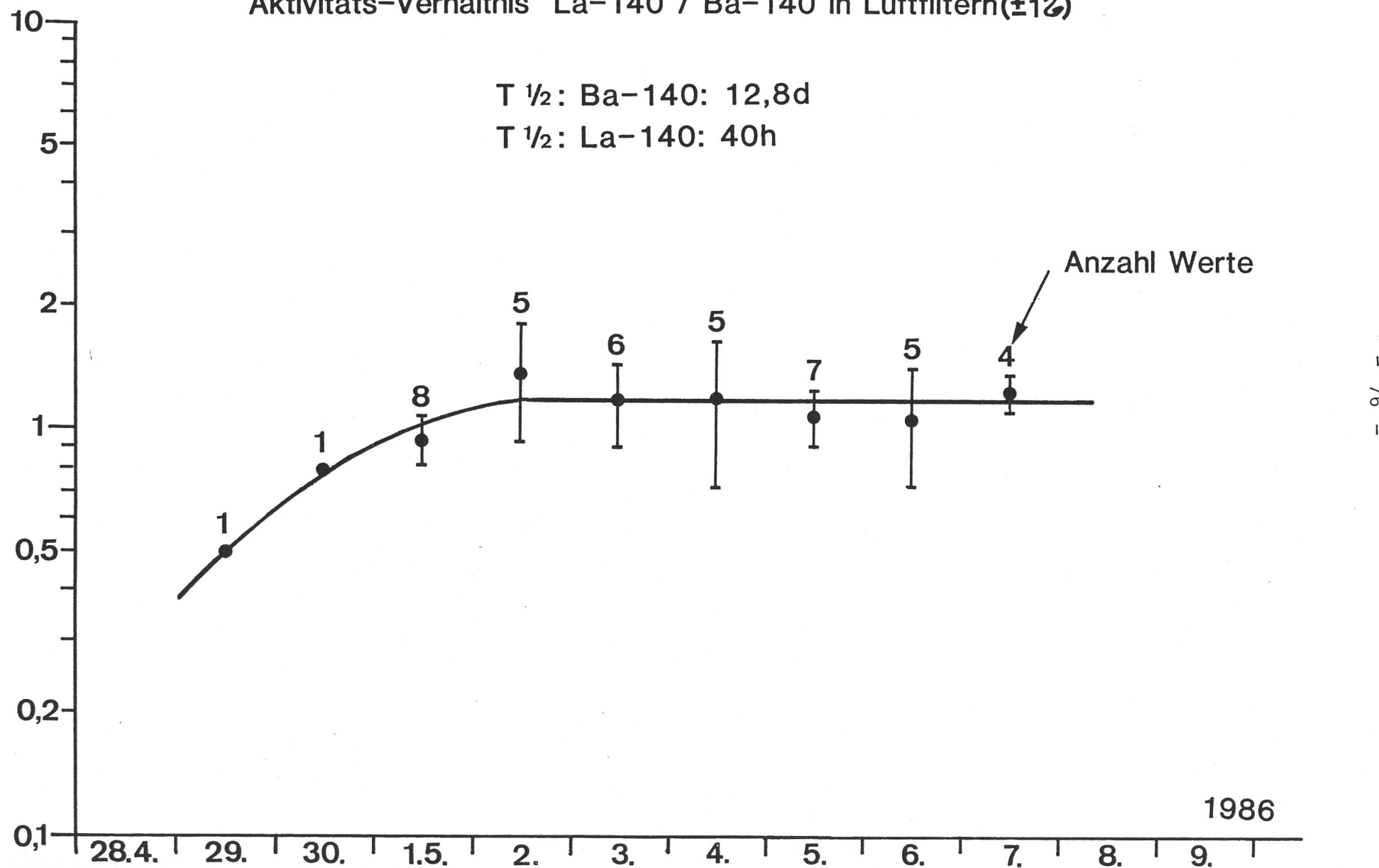


Fig. 5.5.c:

Aktivitäts-Verhältnis J-132 / Te-132 in Luftfiltern ($\pm 1\%$)

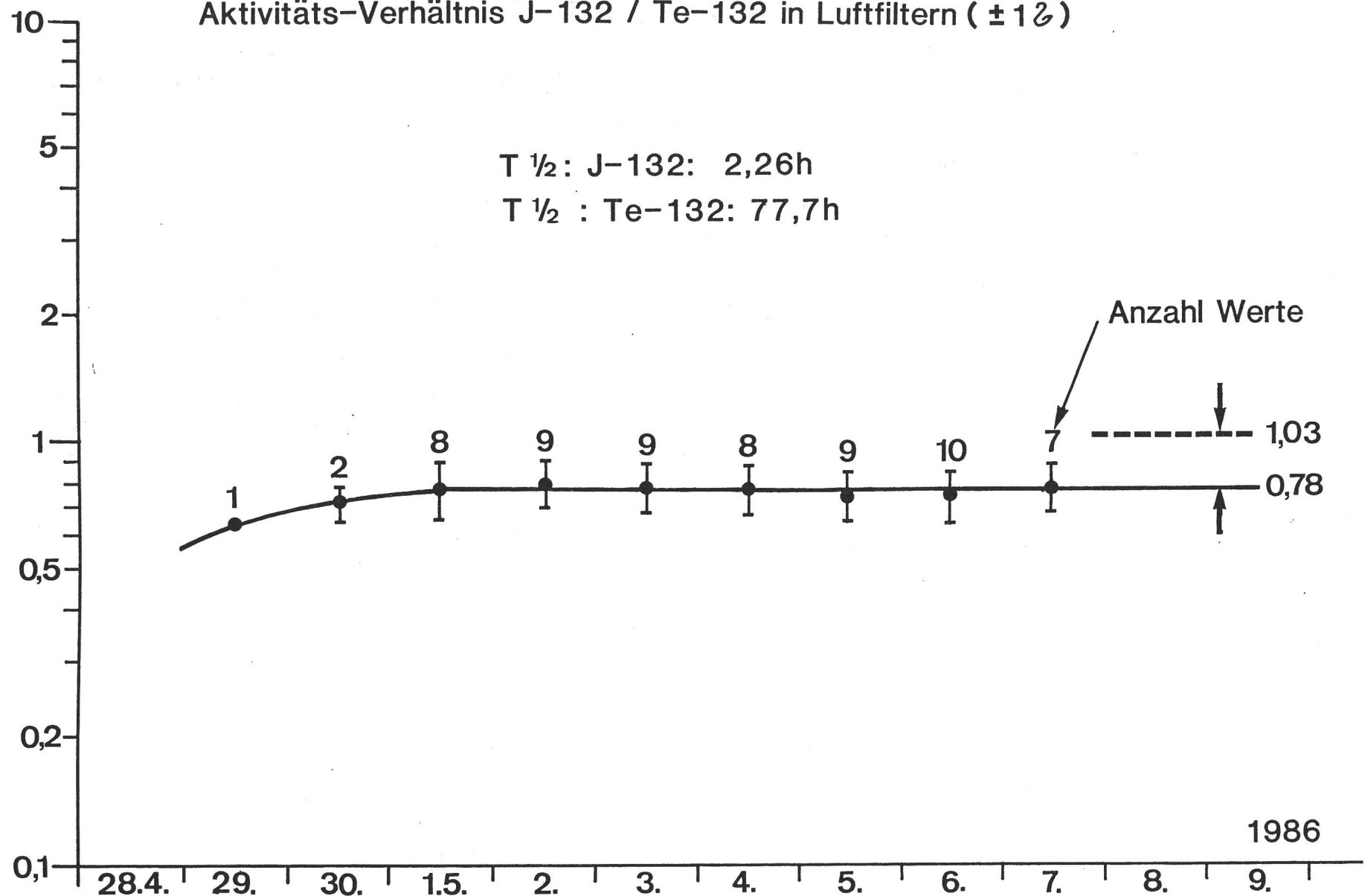


Fig.5.6.a. Integrale J-131-Aktivität (nur aerosolförmig) der Luft in $\frac{\text{Bq.h}}{\text{m}^3}$
(28.4.-8.5.1986)

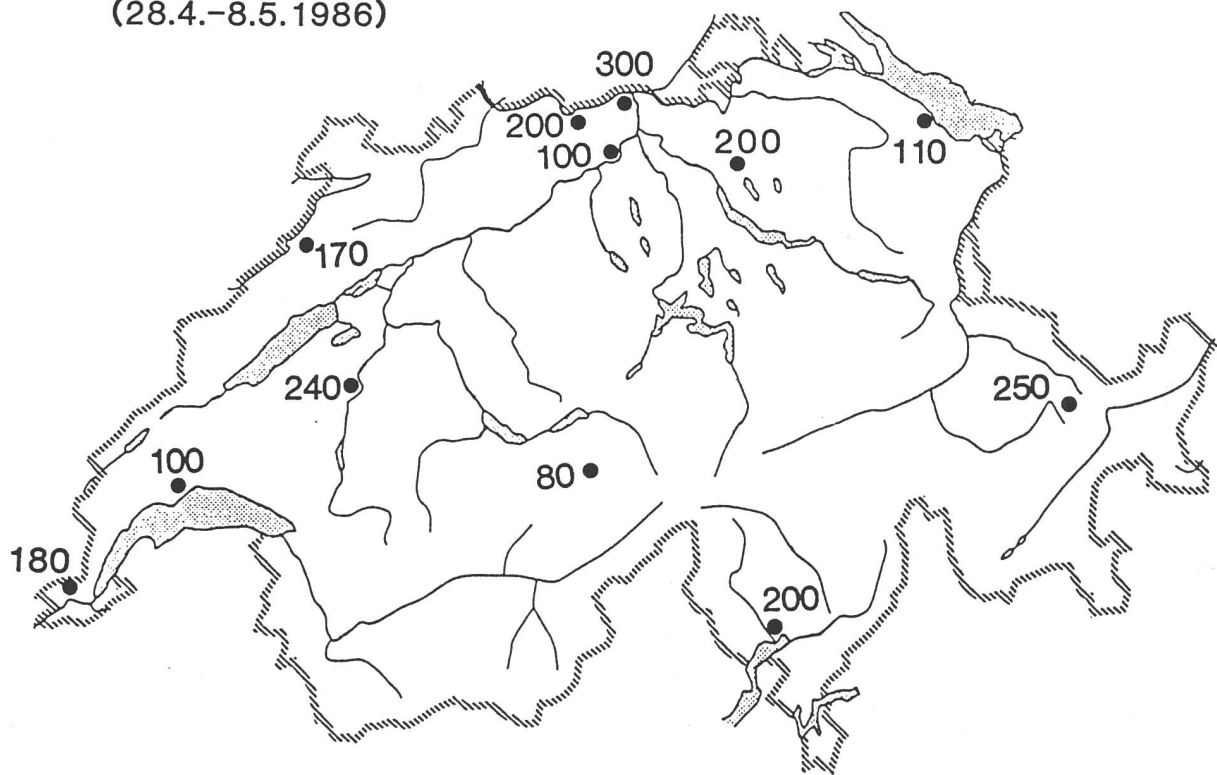


Fig. 5.6.b. Integrale Cs-137-Aktivität der Luft in $\frac{\text{Bq.h}}{\text{m}^3}$ (28.4.-8.5.1986)

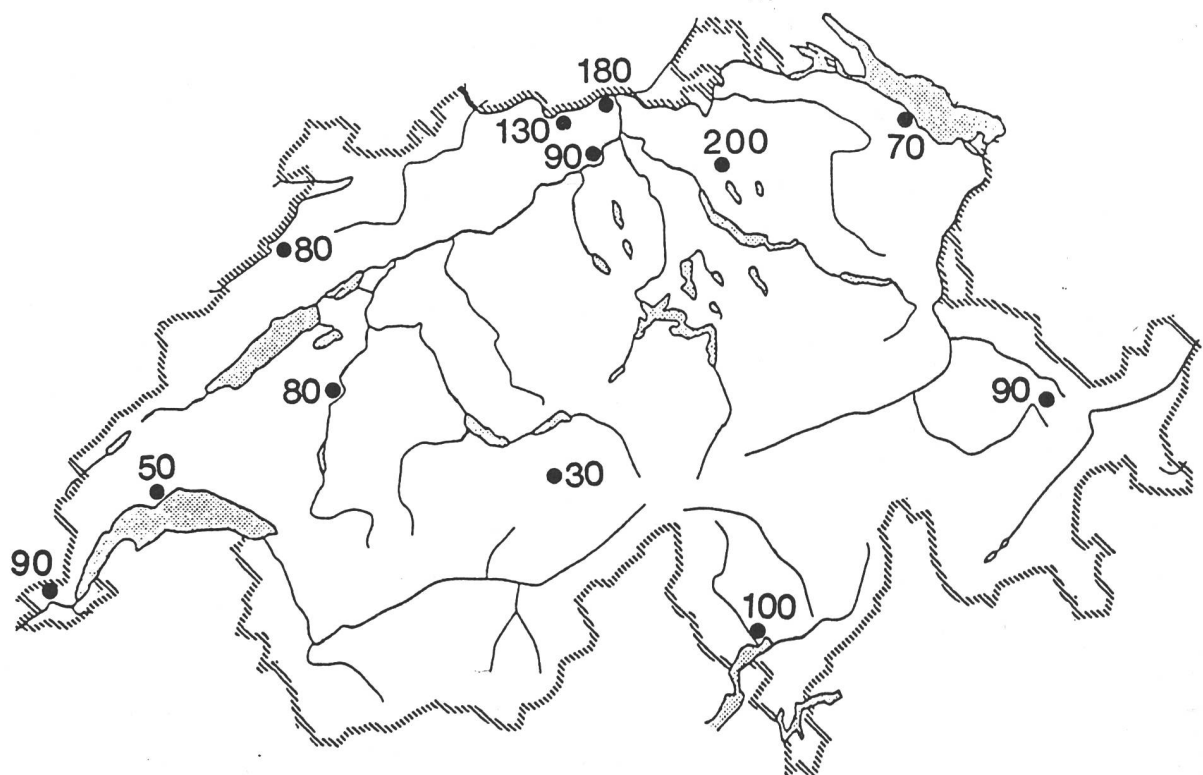


Fig. 5.7.a-1: LUFTFILTER

$\mu\text{Ci}/\text{m}^3$ FRIBOURG

— Mo-99
- - J-132
— Nd-147

Bq/m^3

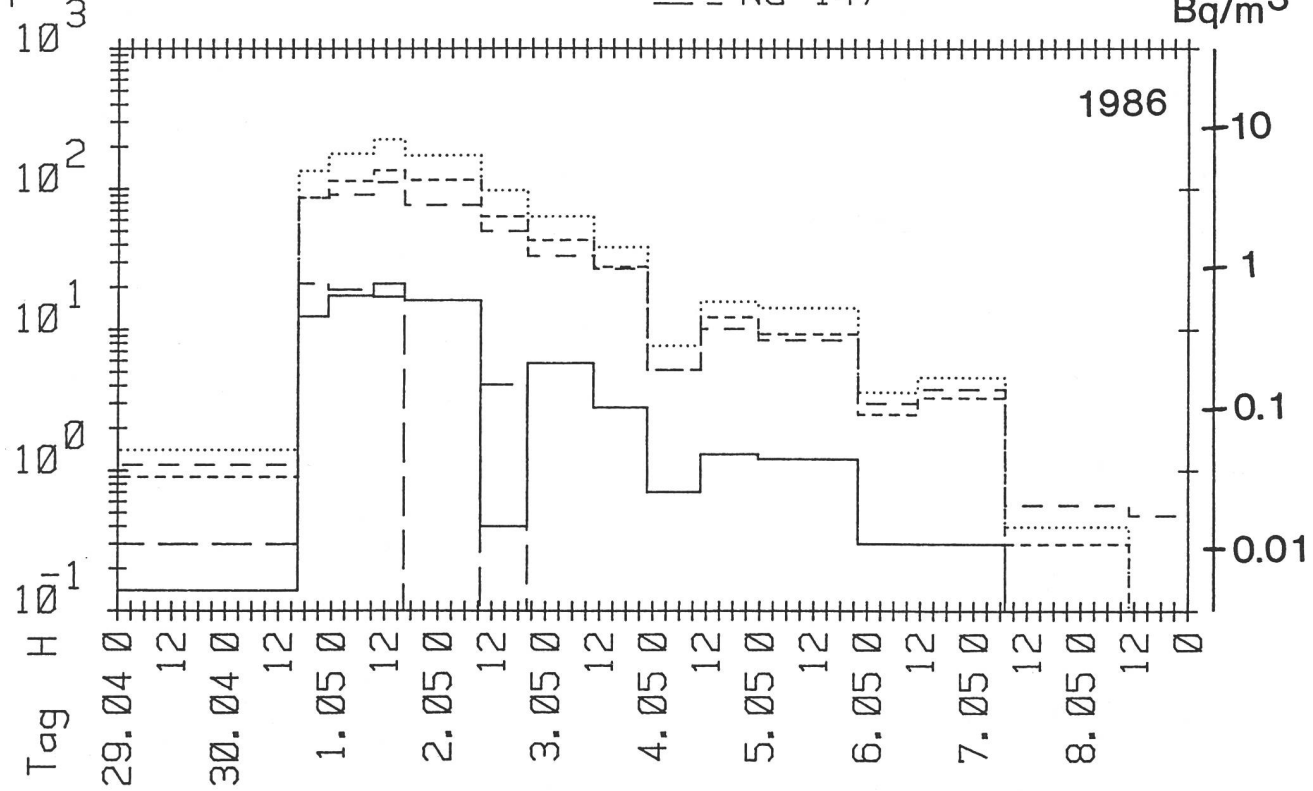


Fig. 5.7.a-2: LUFTFILTER

$\mu\text{Ci}/\text{m}^3$ FRIBOURG

— Ba-140
- - Ru-103
— Cs-134

Bq/m^3

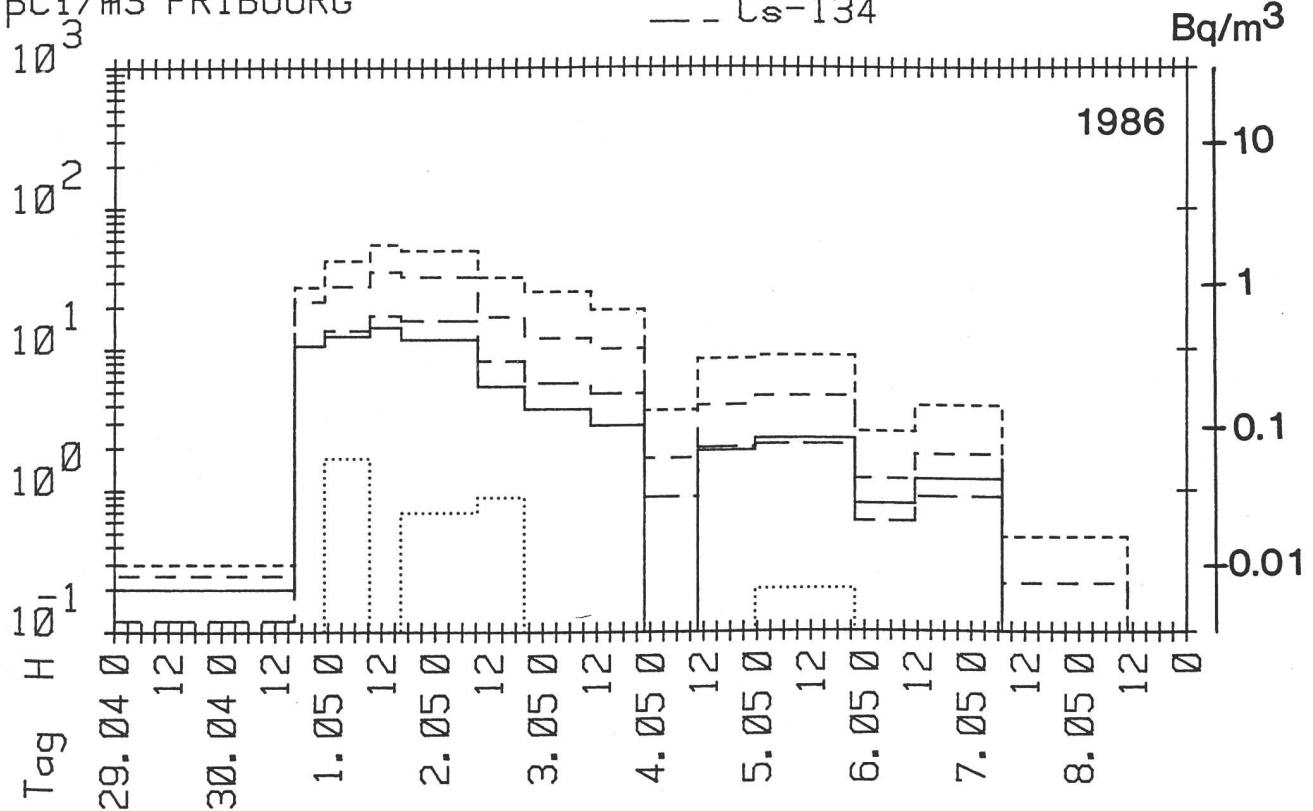


Fig. 5.7.a-3: LUFTFILTER

PC_i/m^3 LOCARNO-MONTI

— Mo-99
- - J-132
— Nd-147

..... Te-132
- - J-131

Bq/m³

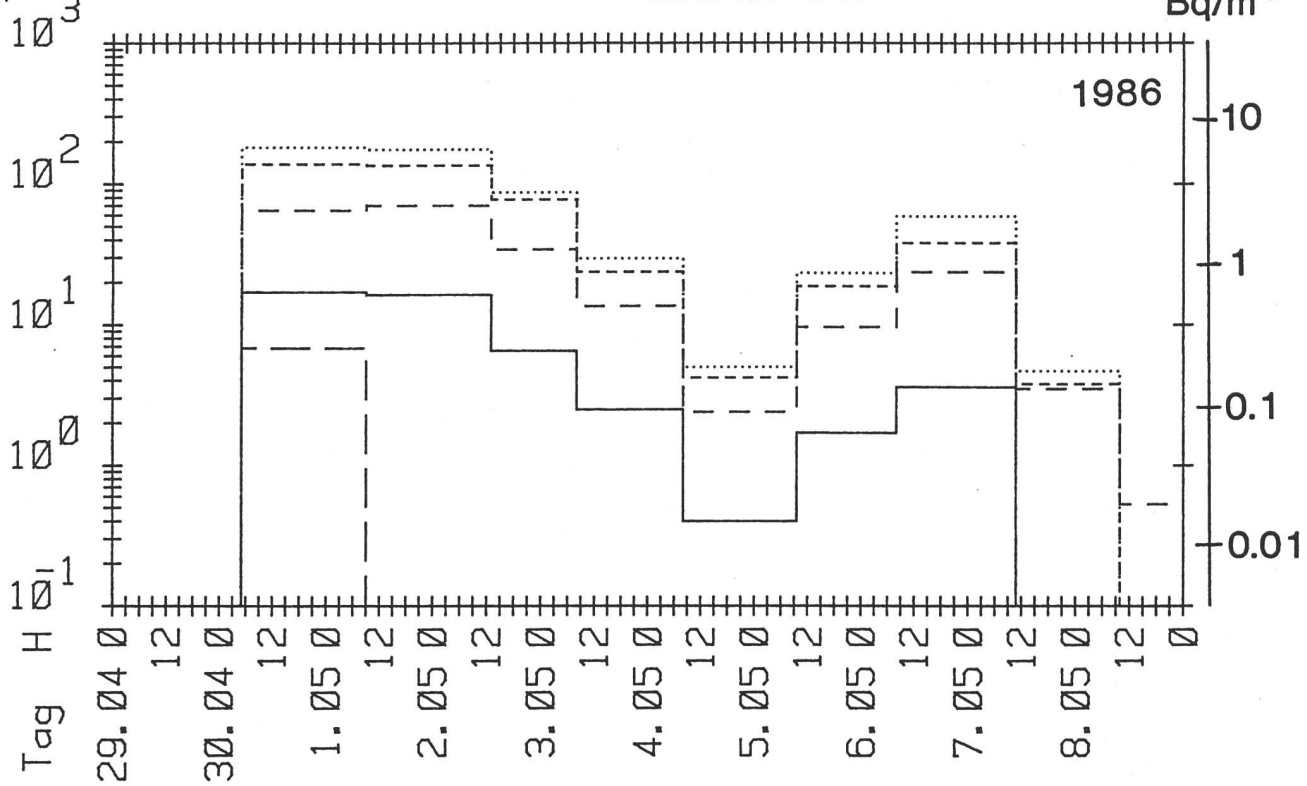


Fig. 5.7.a-4: LUFTFILTER

PC_i/m^3 LOCARNO-MONTI

— Ba-140
- - Ru-103
— Cs-134

..... Ce-141
- - Cs-137

Bq/m³

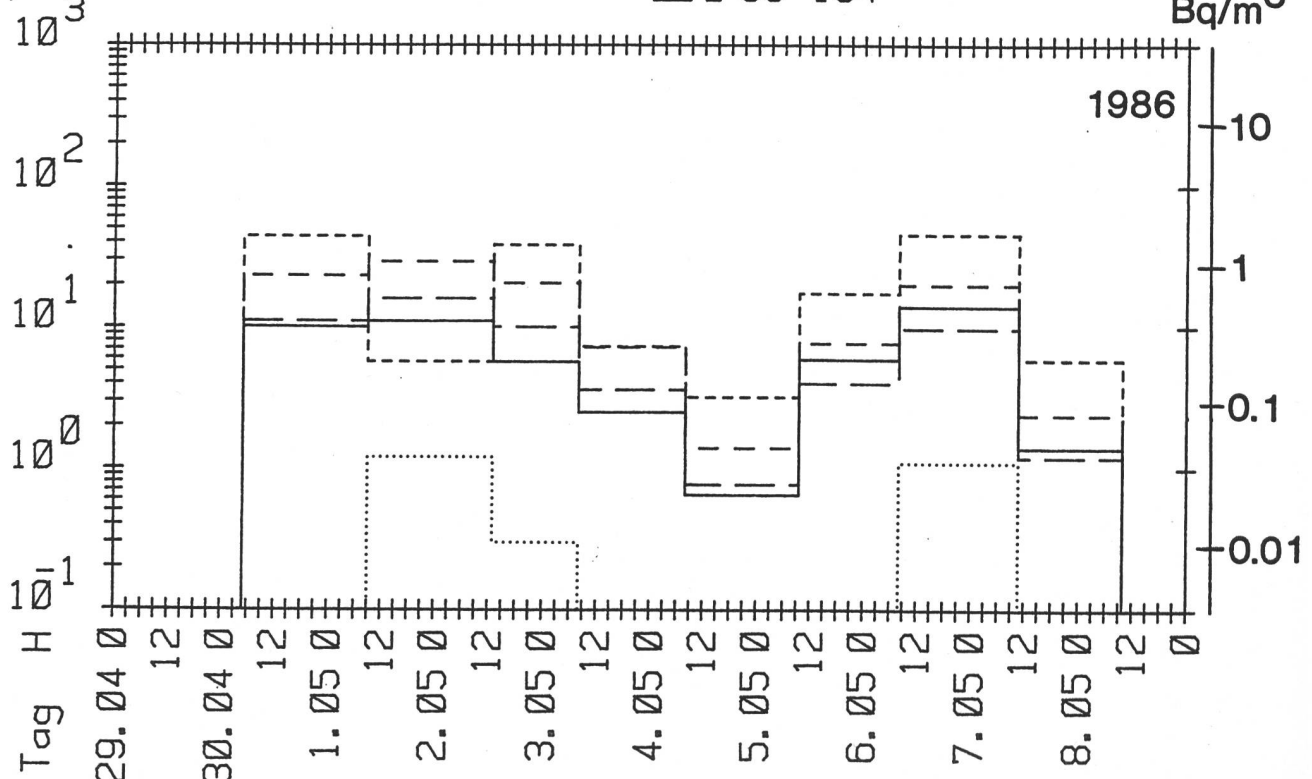


Fig. 5,7,b,1: Luftfilter Fribourg: Mai - Juni 86

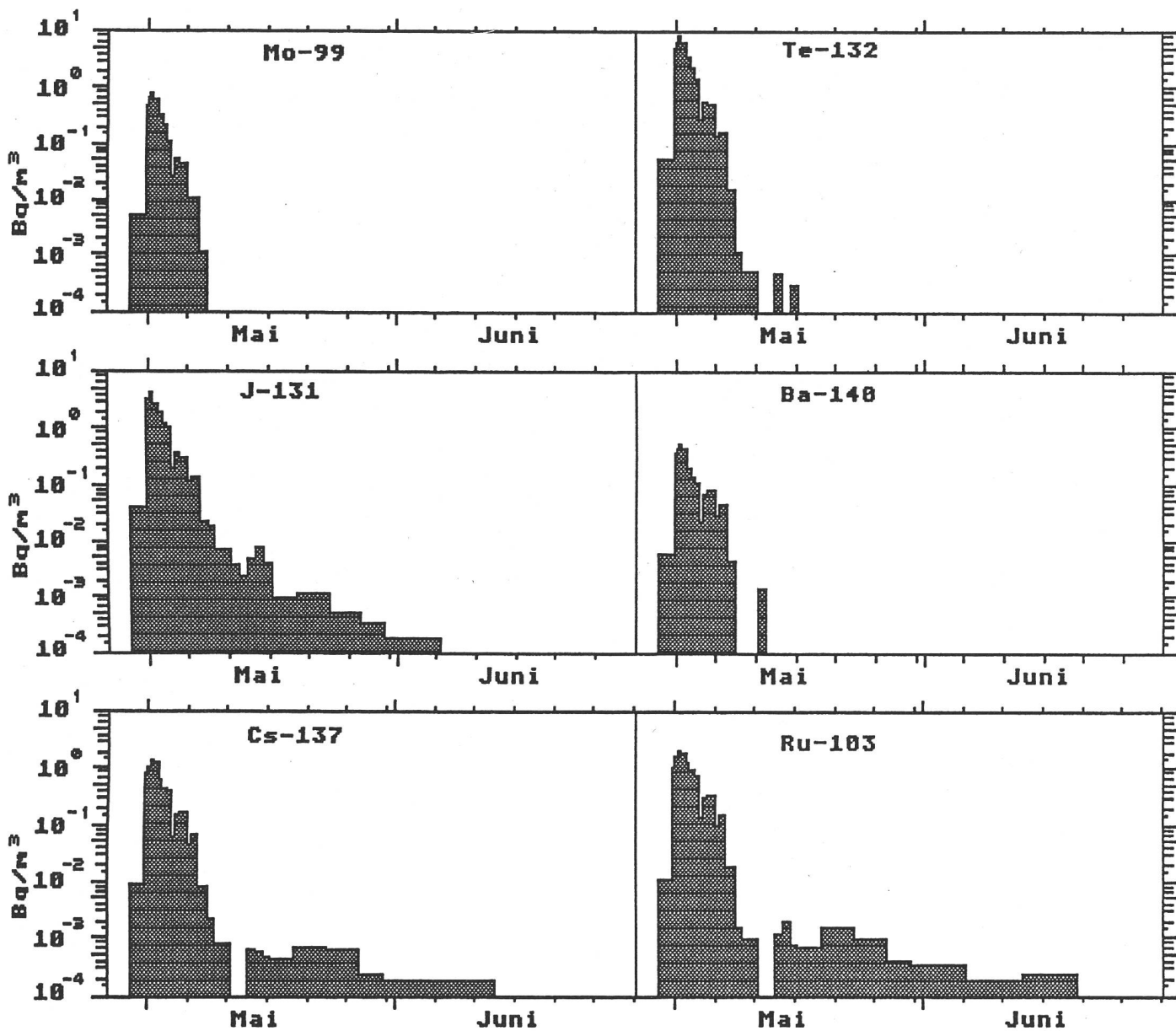


Fig. 5,7,b,2: Luftfilter Locarno, Mai - Juni 1986

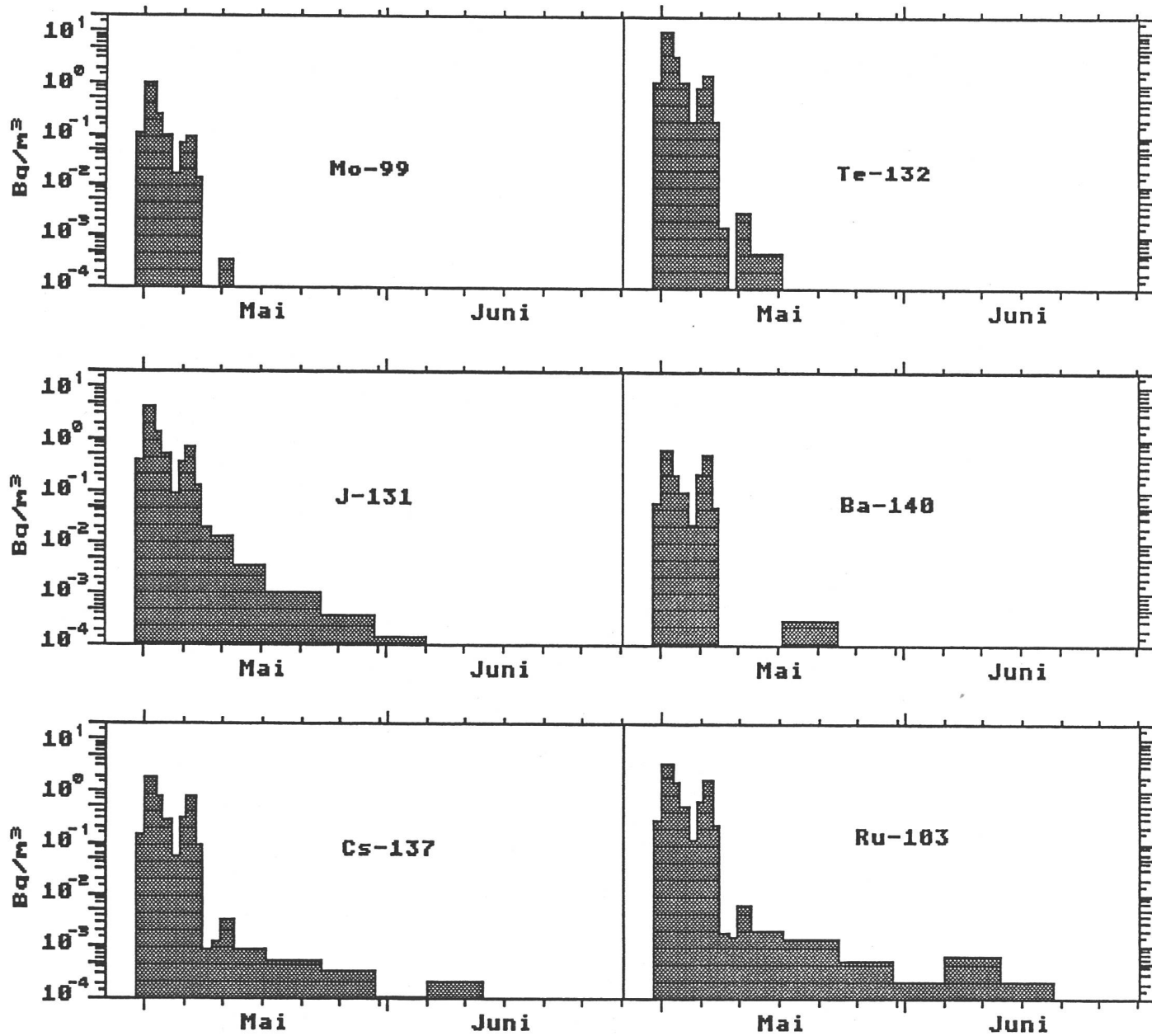


Fig.5.7.c.1: Luftaktivität (Aerosole), Fribourg, 1986

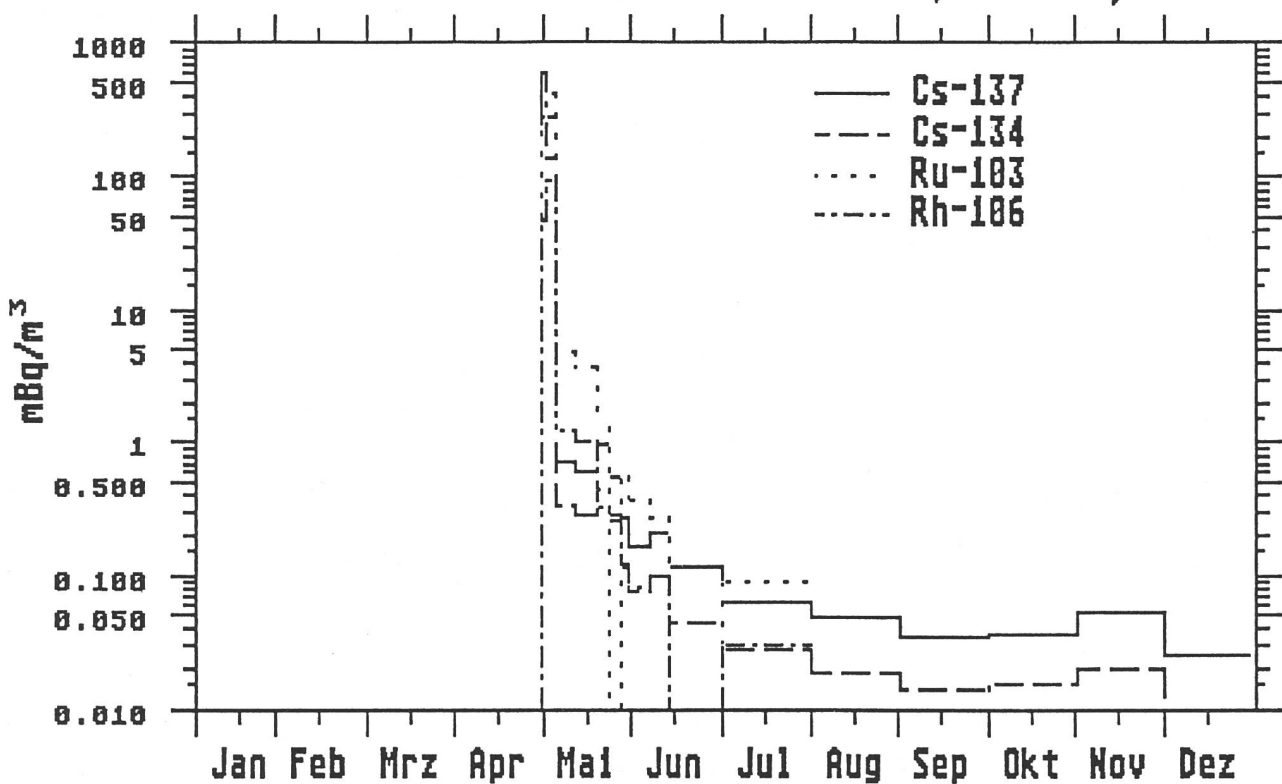


Fig.5.7.c.2: Luftaktivität (Aerosole), Gösgen, 1986

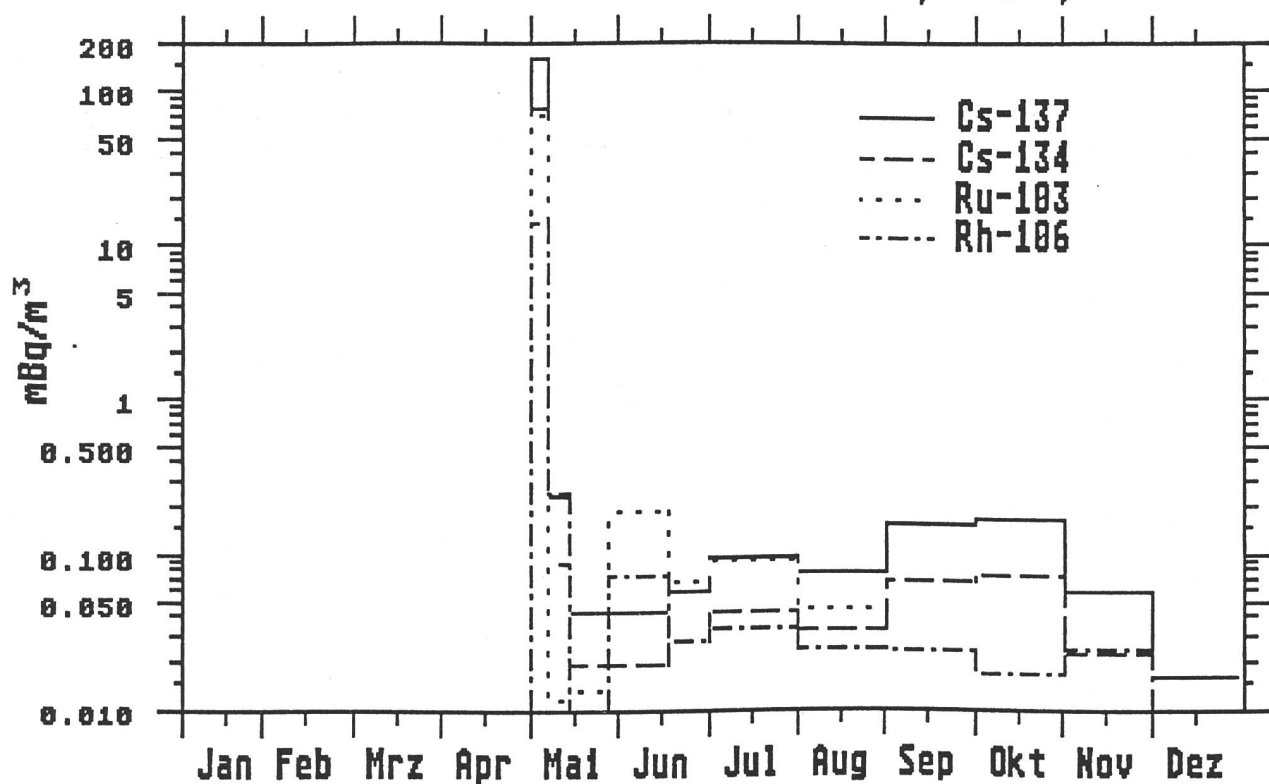


Fig.5.7.c.3: Luftaktivität (Aerosole), Mühleberg, 1986

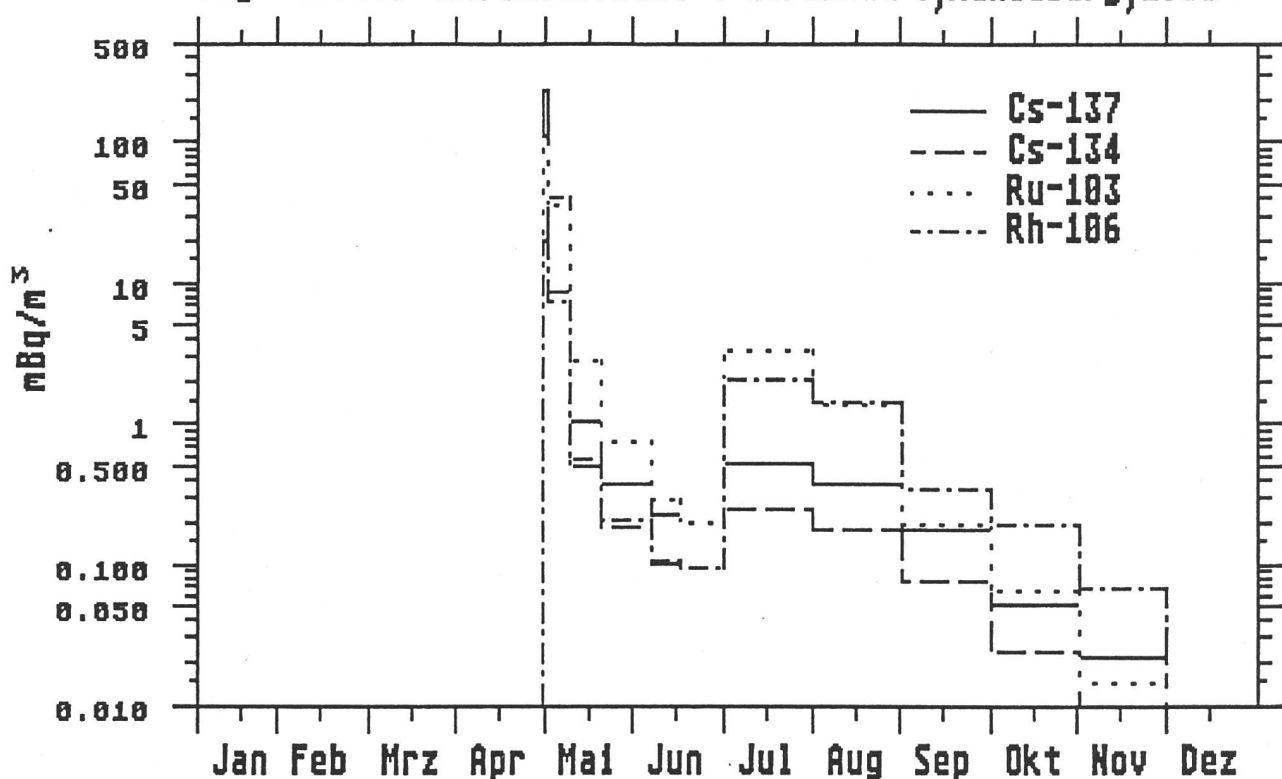


Fig.5.7.c.4: Luftaktivität (Aerosole), Leibstadt, 1986

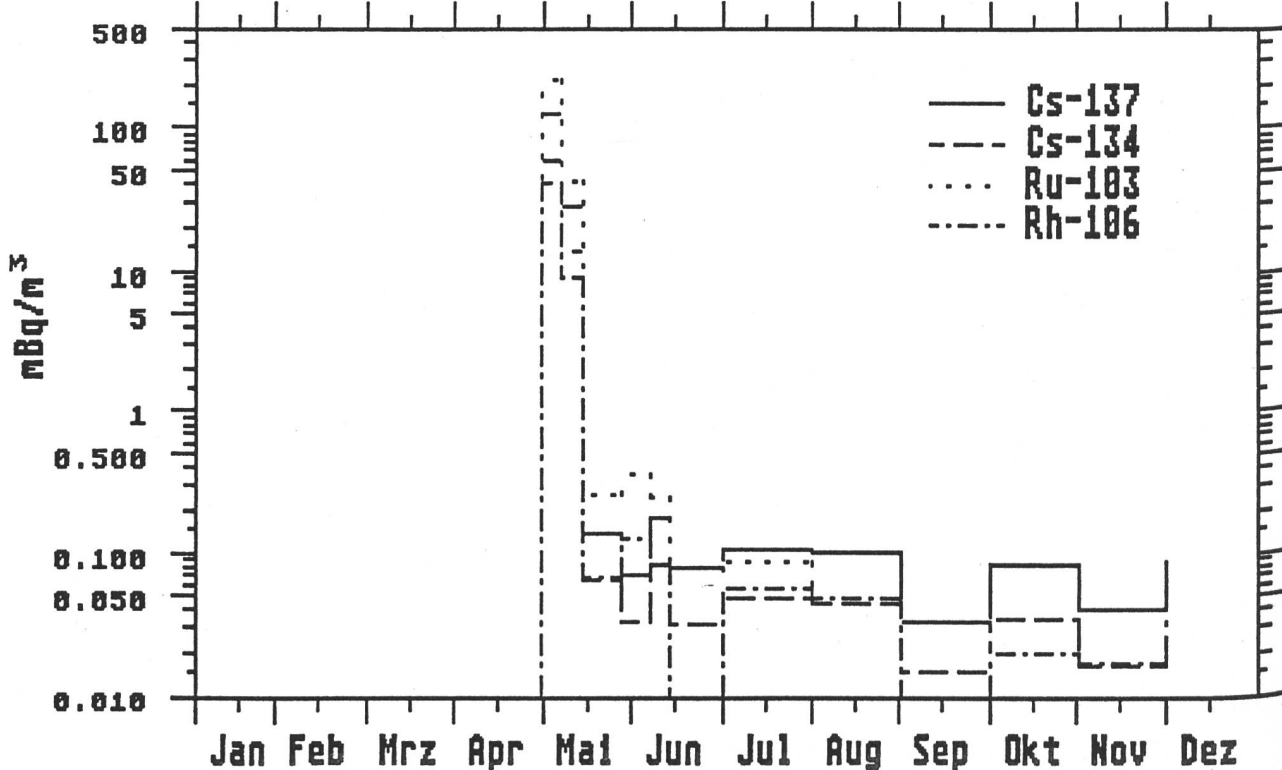


Fig. 5.8.a:

J-131 – Ablagerung via Niederschläge in Bq/m^2 (25.4.–6.6.86)

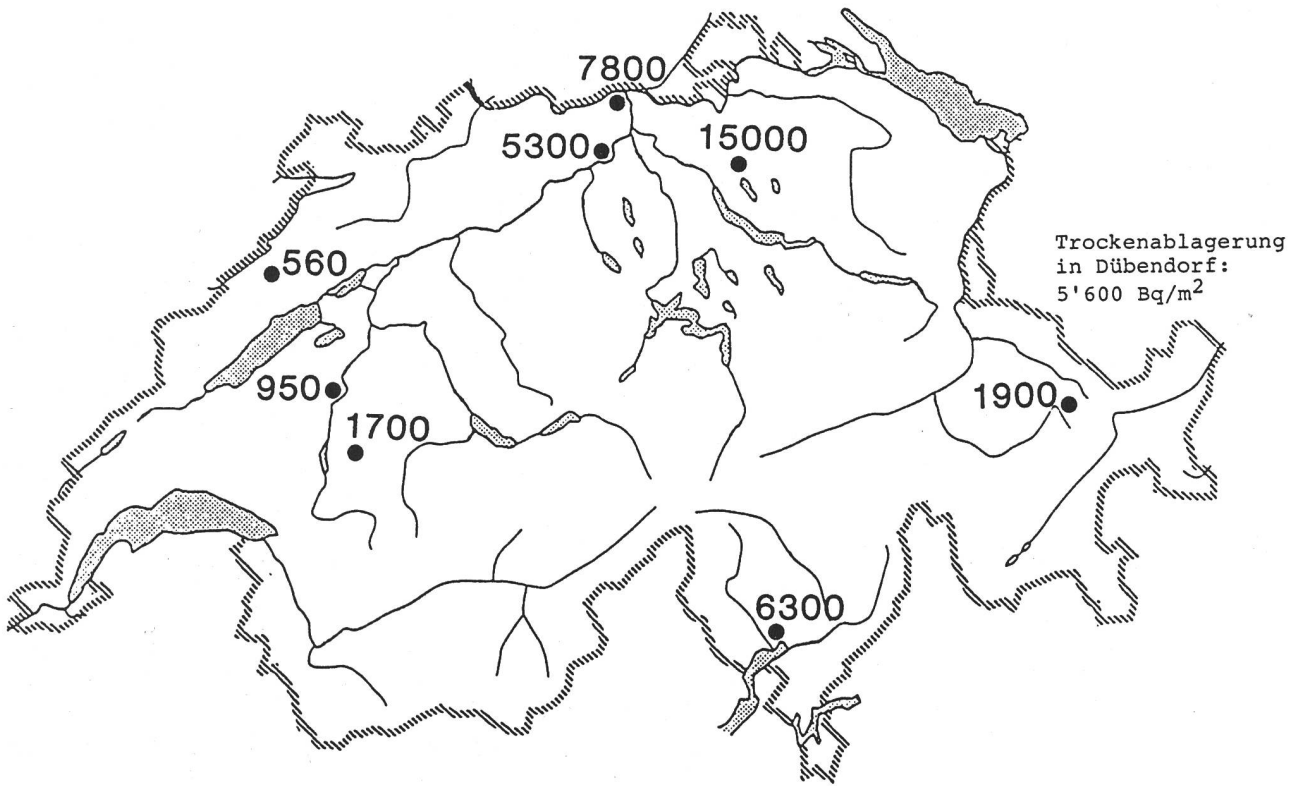


Fig. 5.8.b:

Ru-103 – Ablagerung via Niederschläge in Bq/m^2 (25.4.–6.6.86)

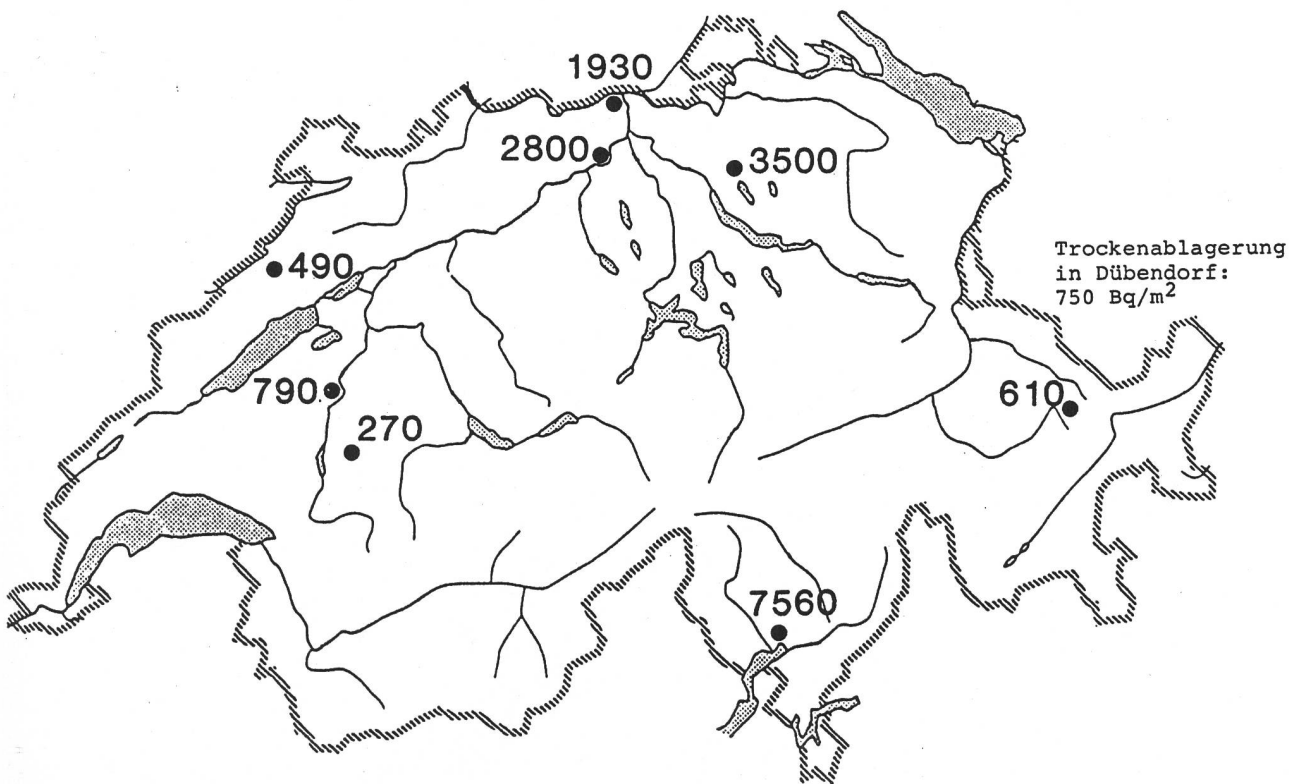


Fig. 5.8.c:
Cs-137 – Ablagerung via Niederschläge in Bq/m^2 (25.4.–6.6.86)

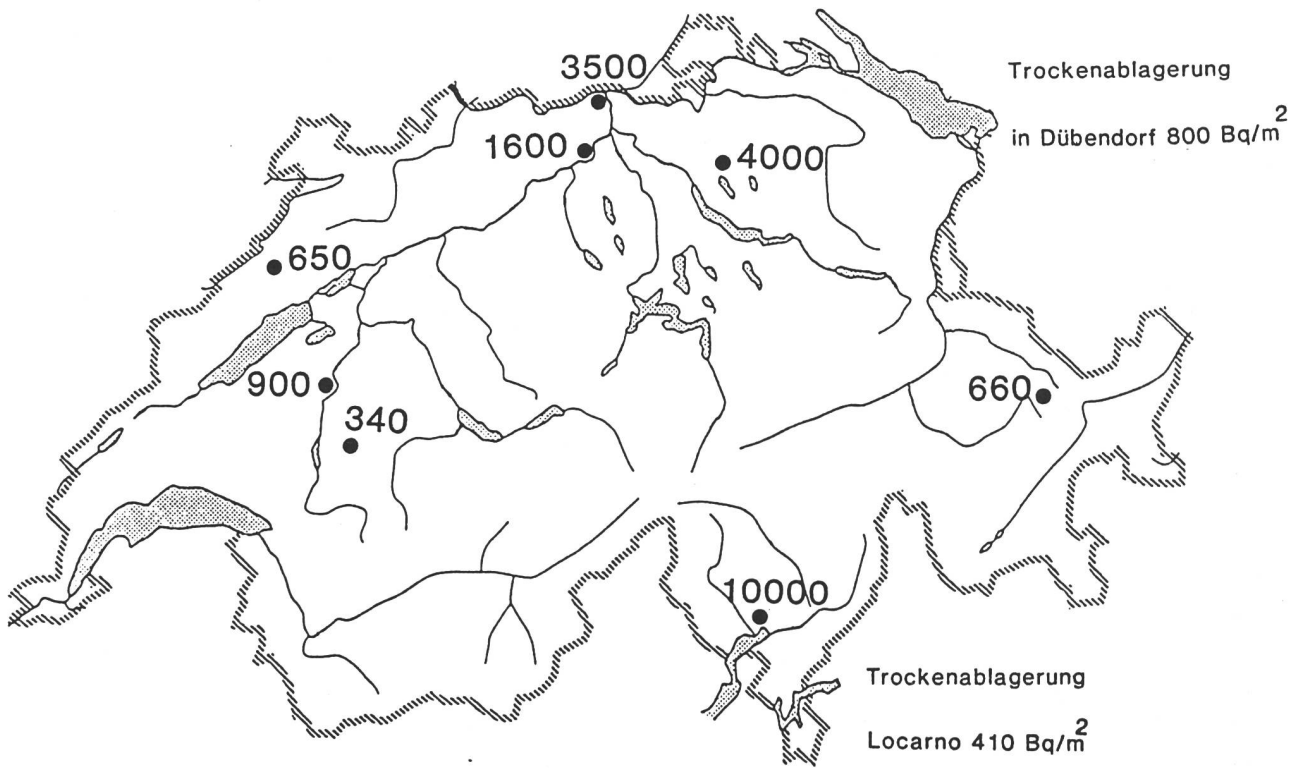


Fig. 5.8.d:
Cs-134 – Ablagerung via Niederschläge in Bq/m^2 (25.5.–6.6.86)

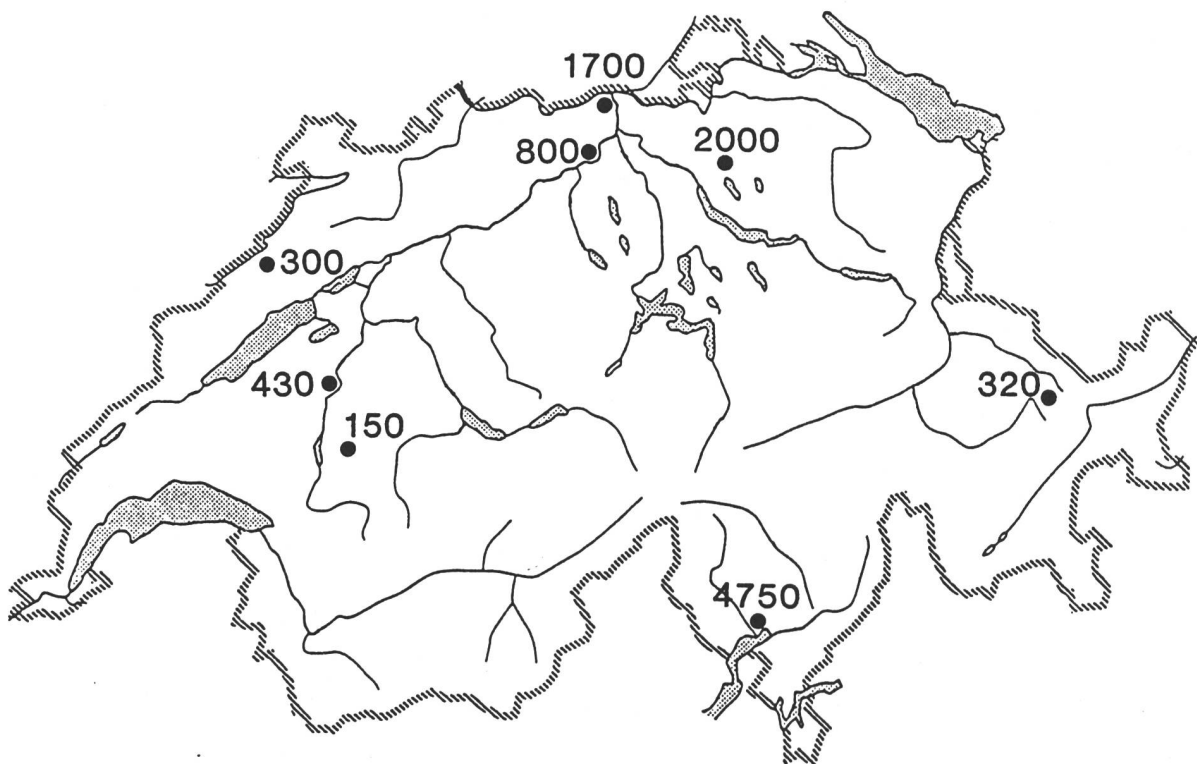


Fig. 5.9.a:

Max. Ortsdosen in der Schweiz (30.4.–10.5.1986) in $\mu\text{S}/\text{h}$

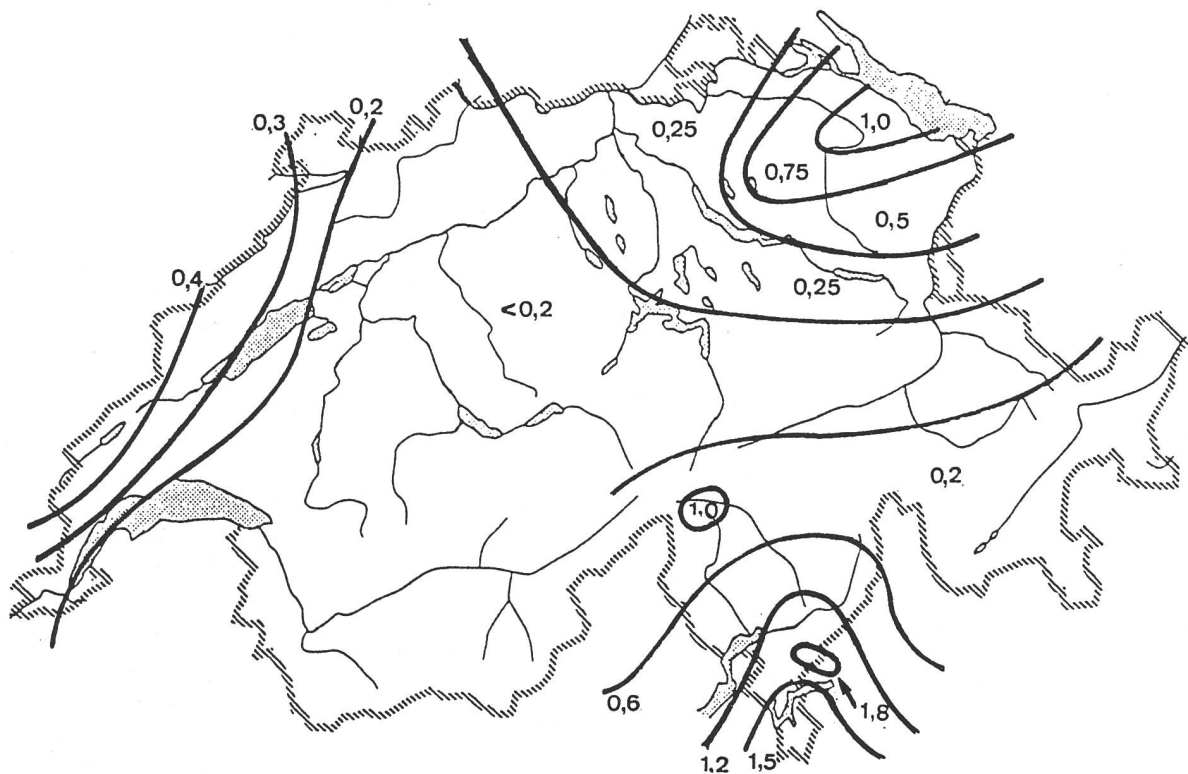


Fig. 5.9.b:

Mittlere Cs-137-Ablagerungen in kBq/m^2 (HSK)

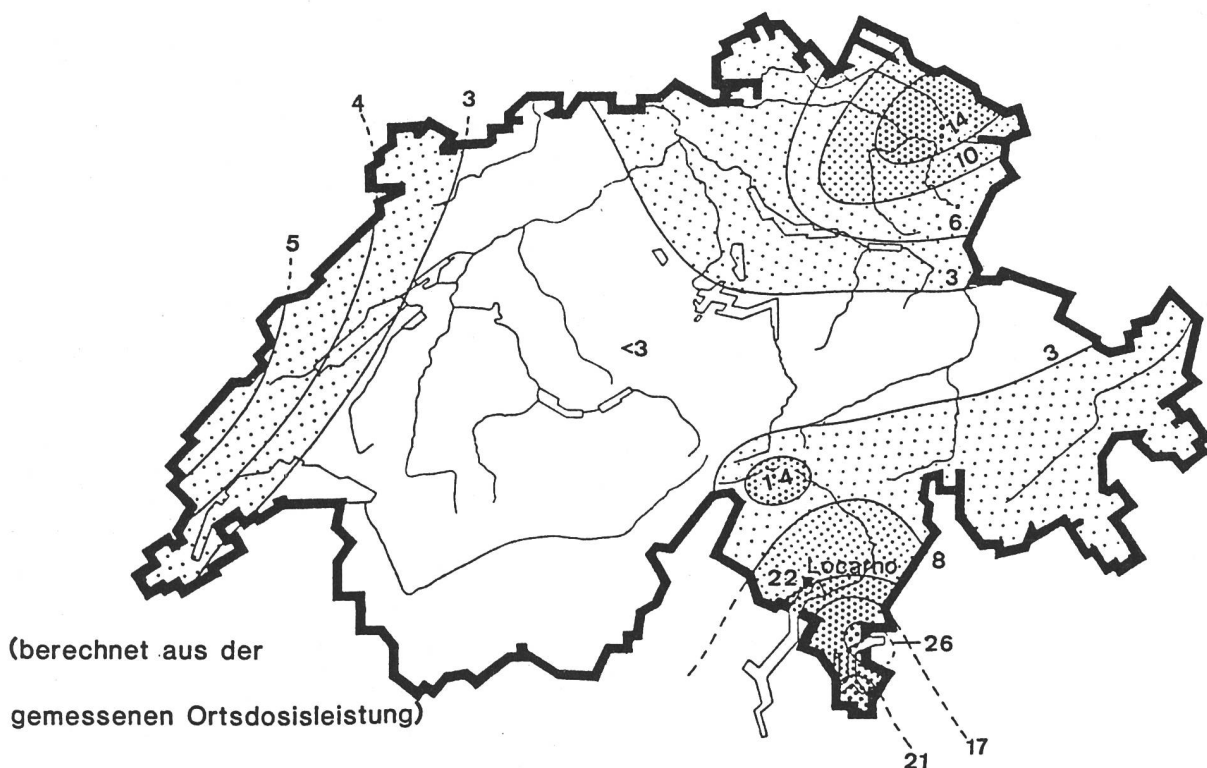


Fig. 5.9.c:
Ortsdosis in der Schweiz (2.5.1986) in: $\mu\text{Sv}/\text{h}$

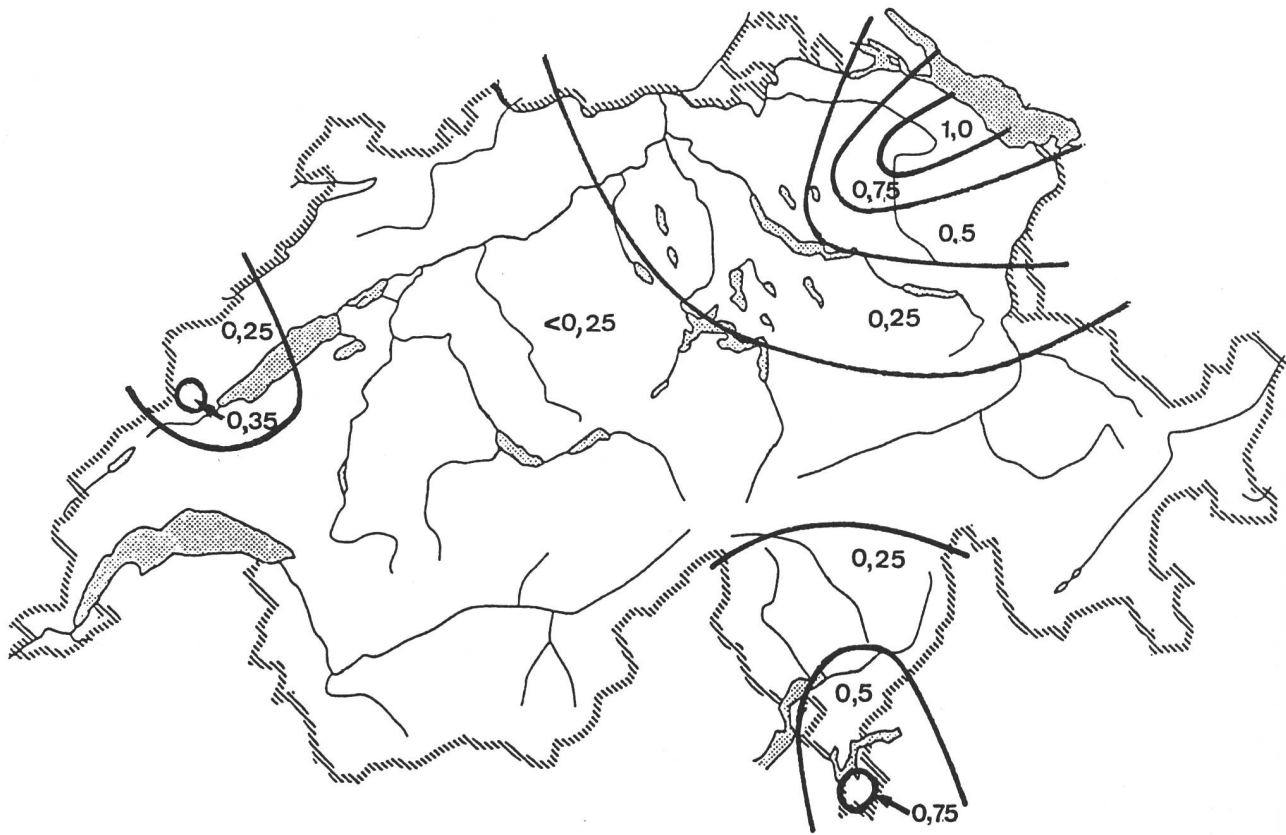


Fig. 5.9.d:
Ortsdosis in der Schweiz (5.5.1986) in: $\mu\text{Sv}/\text{h}$

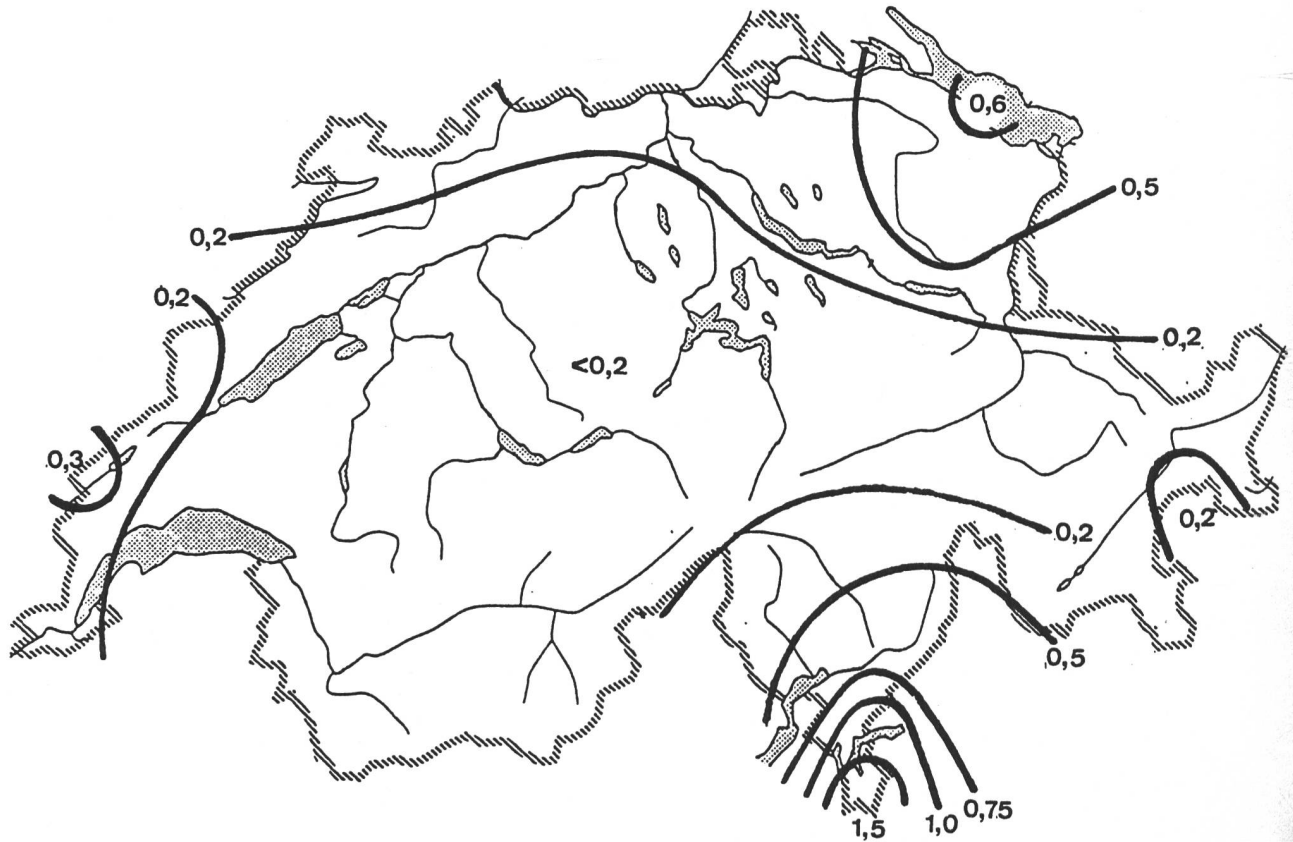


Fig. 5.9.e:

Ortsdosis in der Schweiz (10.05.1986) in: $\mu\text{Sv}/\text{h}$

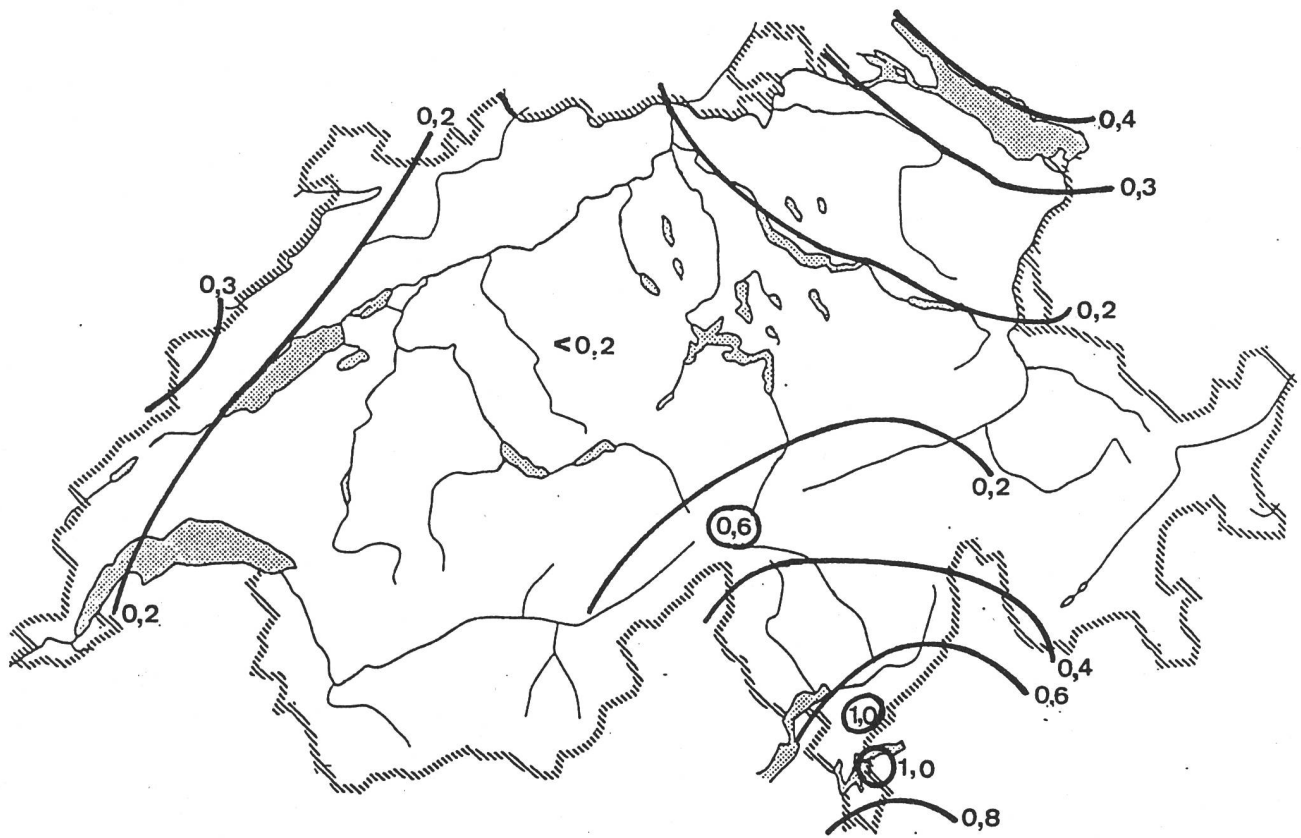


Fig. 5.9.f:

Ortsdosis in der Schweiz (28.5.1986) in: $\mu\text{Sv}/\text{h}$

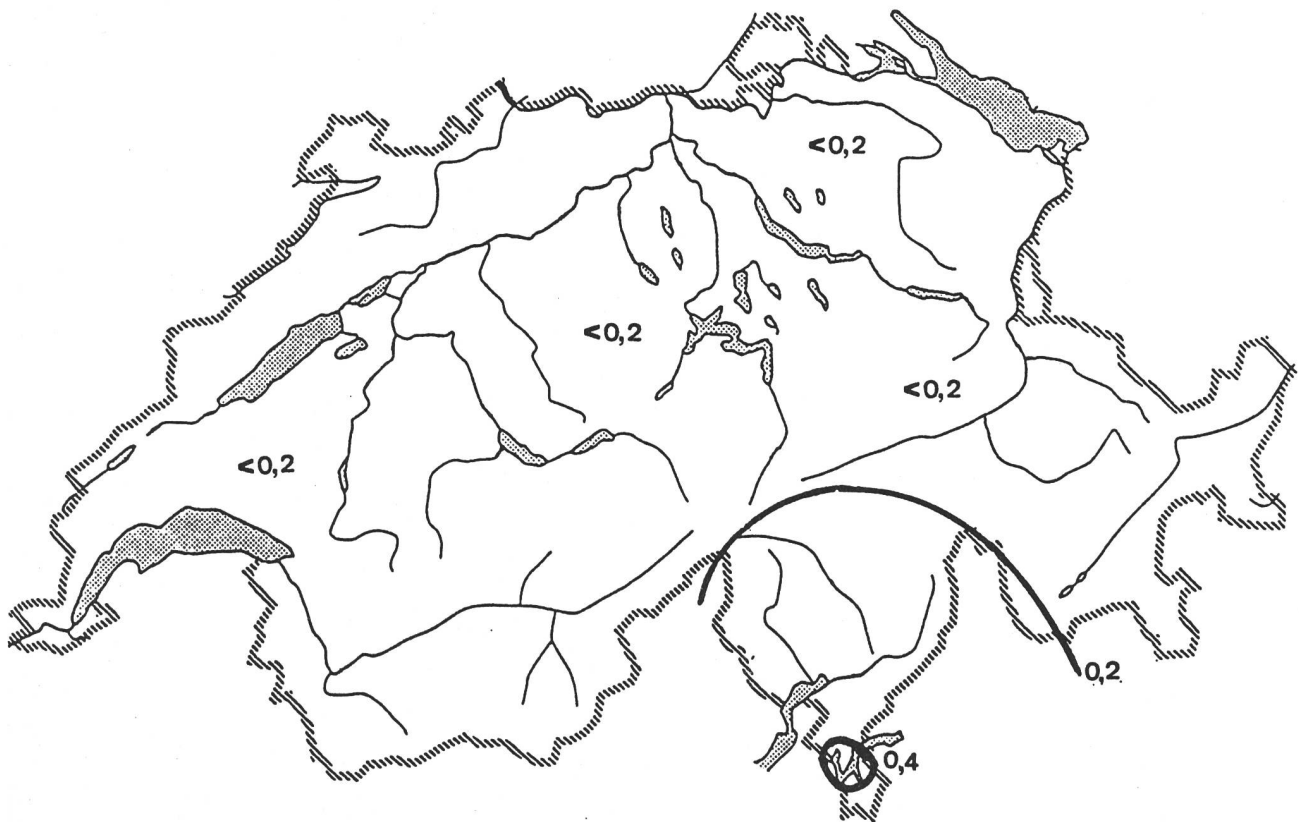


Fig. 5.9.g: Ortsdosis in der Schweiz(3.11.-13.11.1986) in: $\mu\text{Sv}/\text{h}$

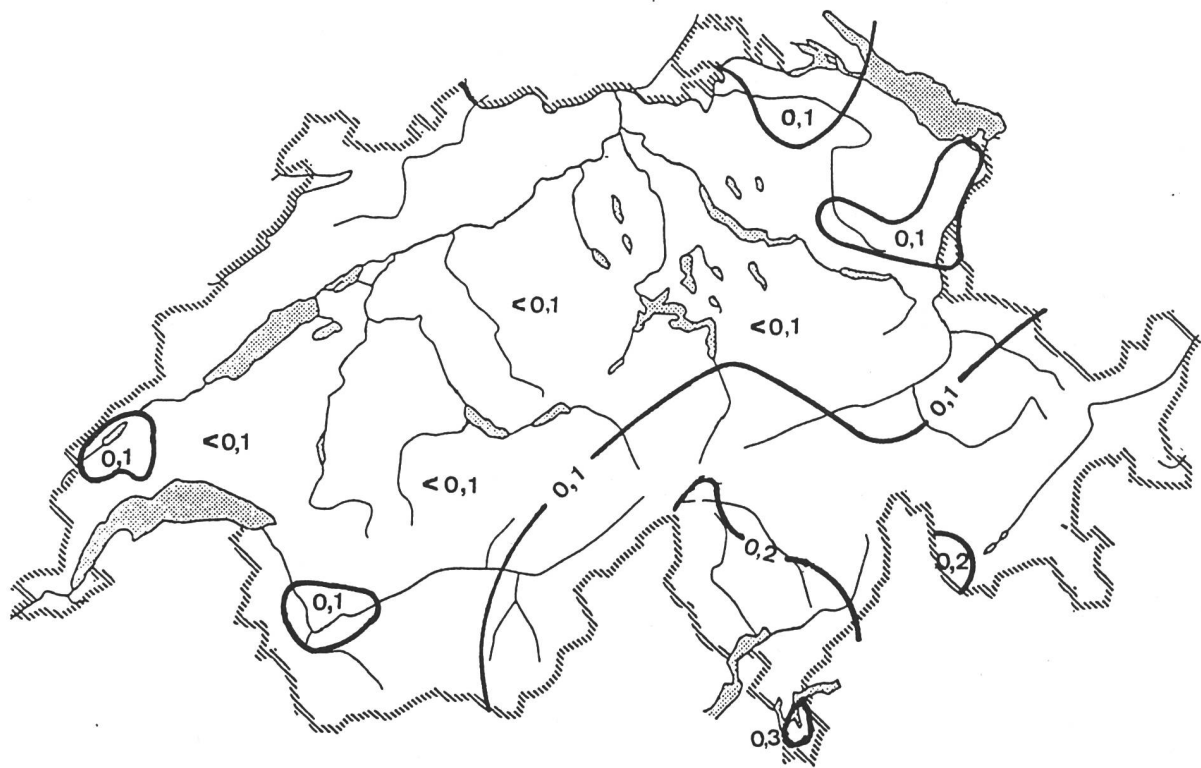
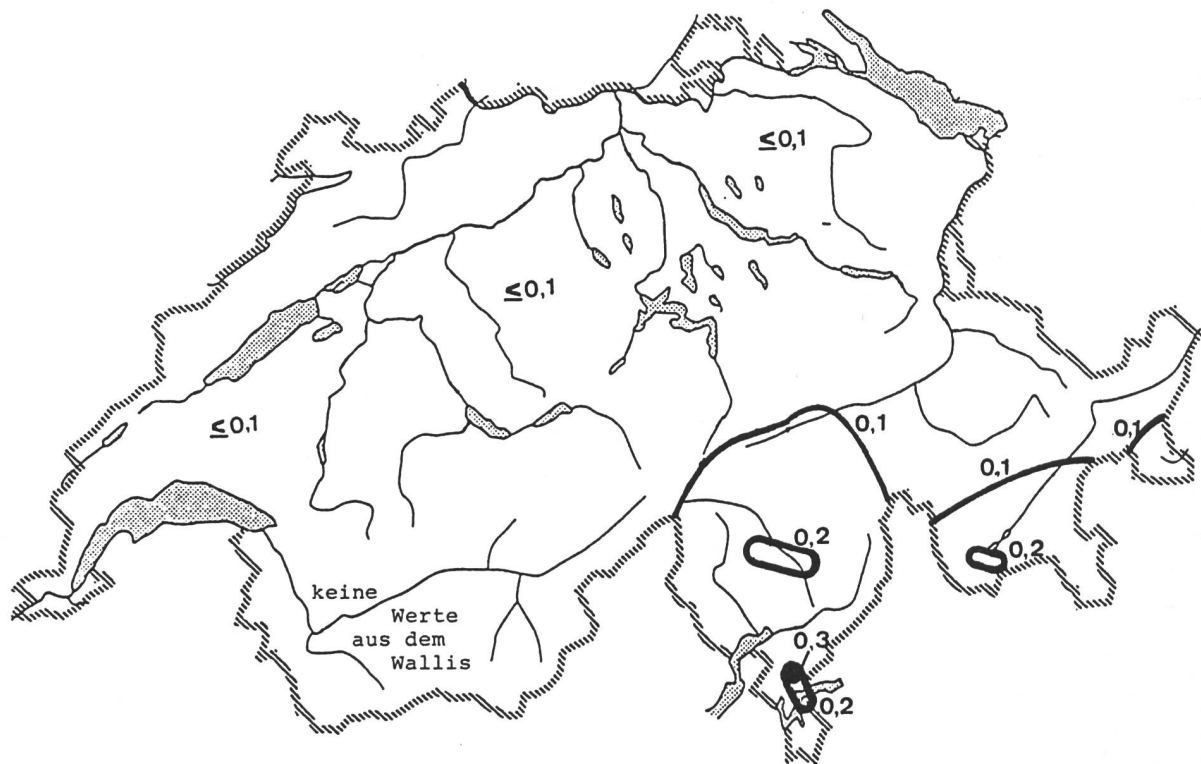


Fig. 5.9.h: Ortsdosis in der Schweiz (Mai 1987) in: $\mu\text{Sv}/\text{h}$



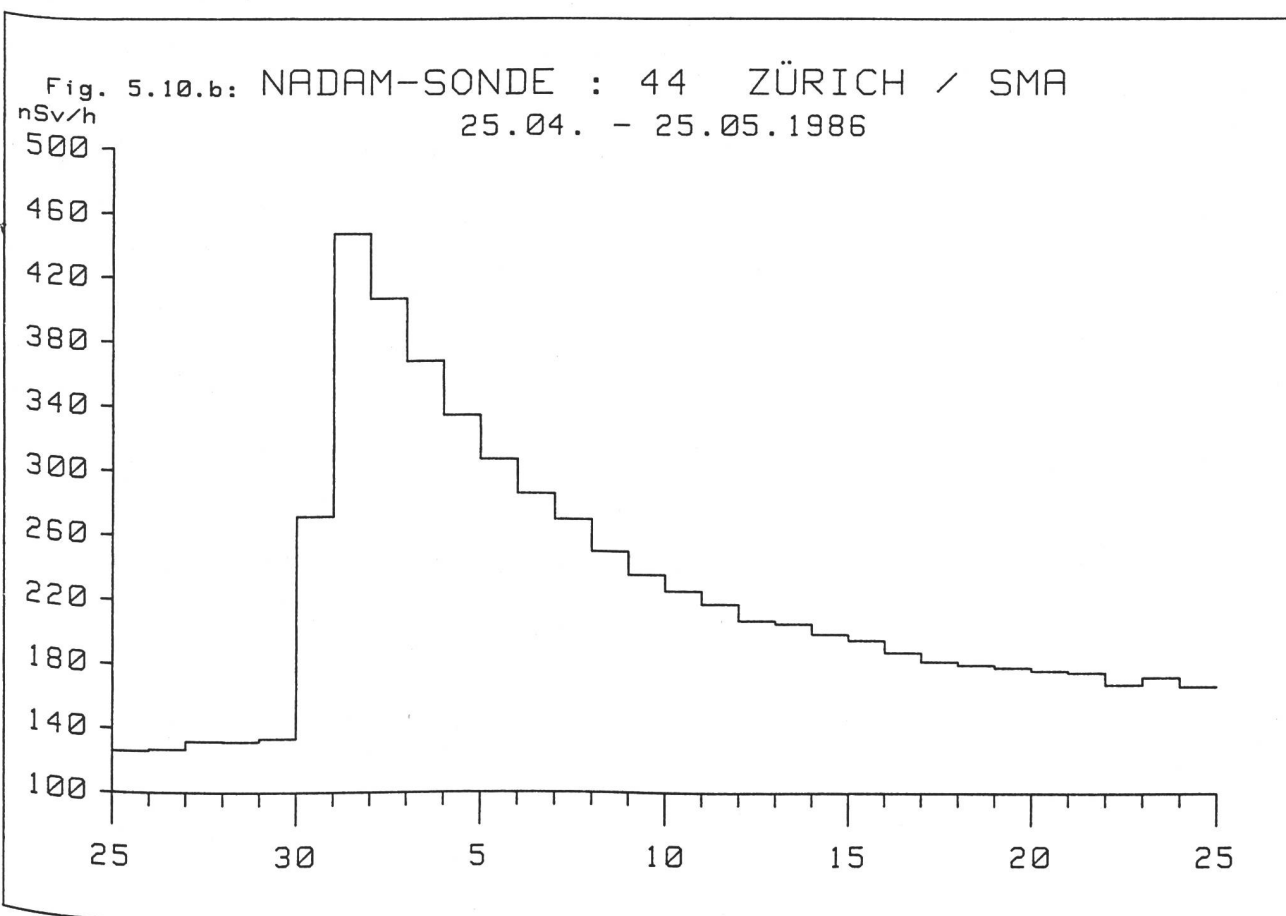
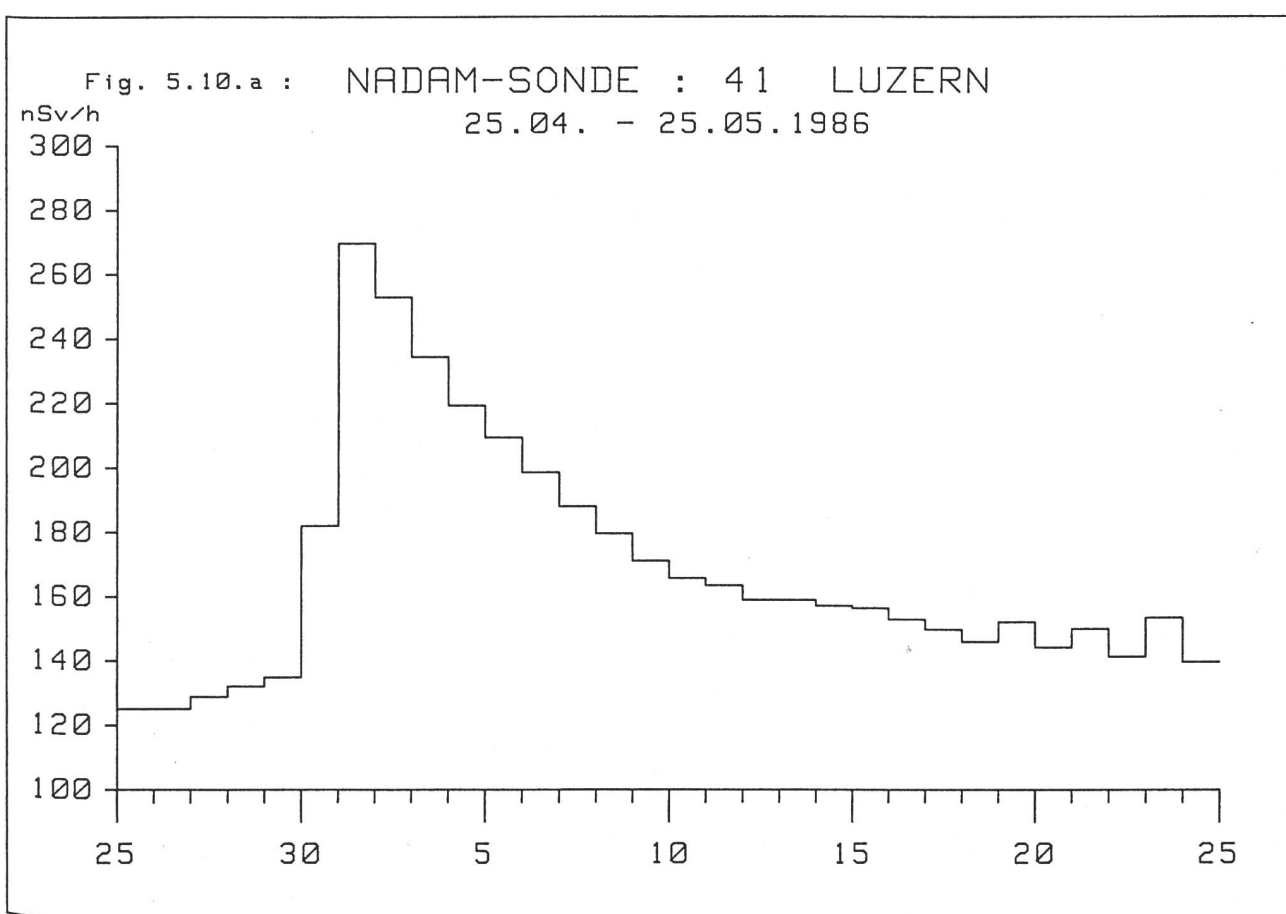


Fig. 5.10.c: NADAM-SONDE : 14 ALTDORF
25.04. - 25.05.1986

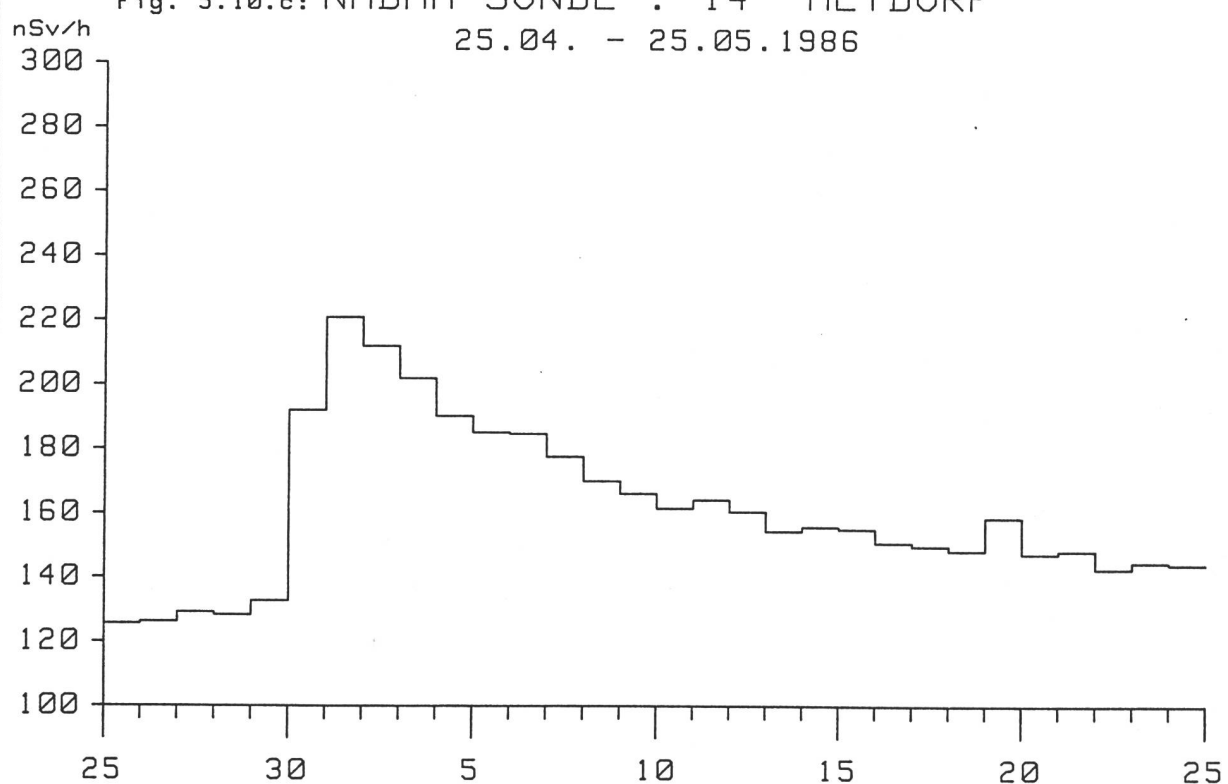


Fig. 5.10.d: NADAM-SONDE : 42 ENGELBERG
25.04. - 25.05.1986

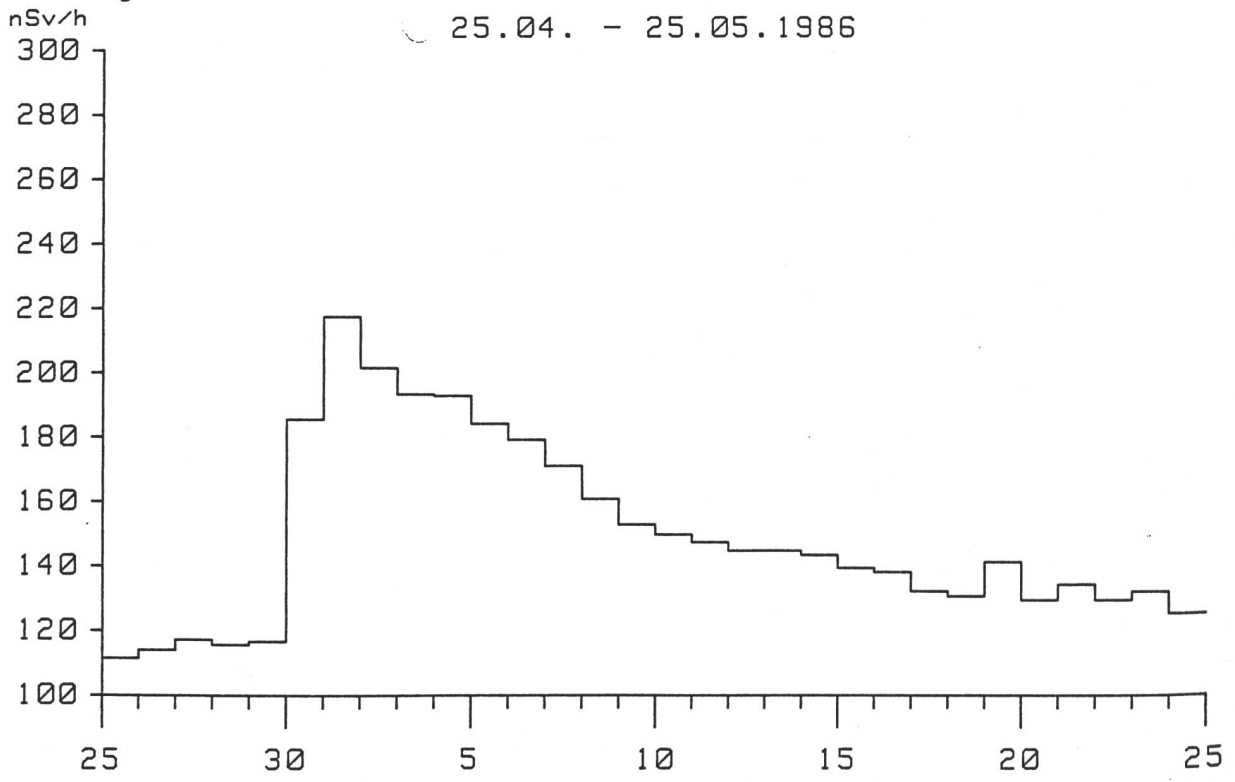


Fig. 5.10.e: NADAM-SONDE : 53 BERN - LIEBEFELD
25.04. - 25.05.1986

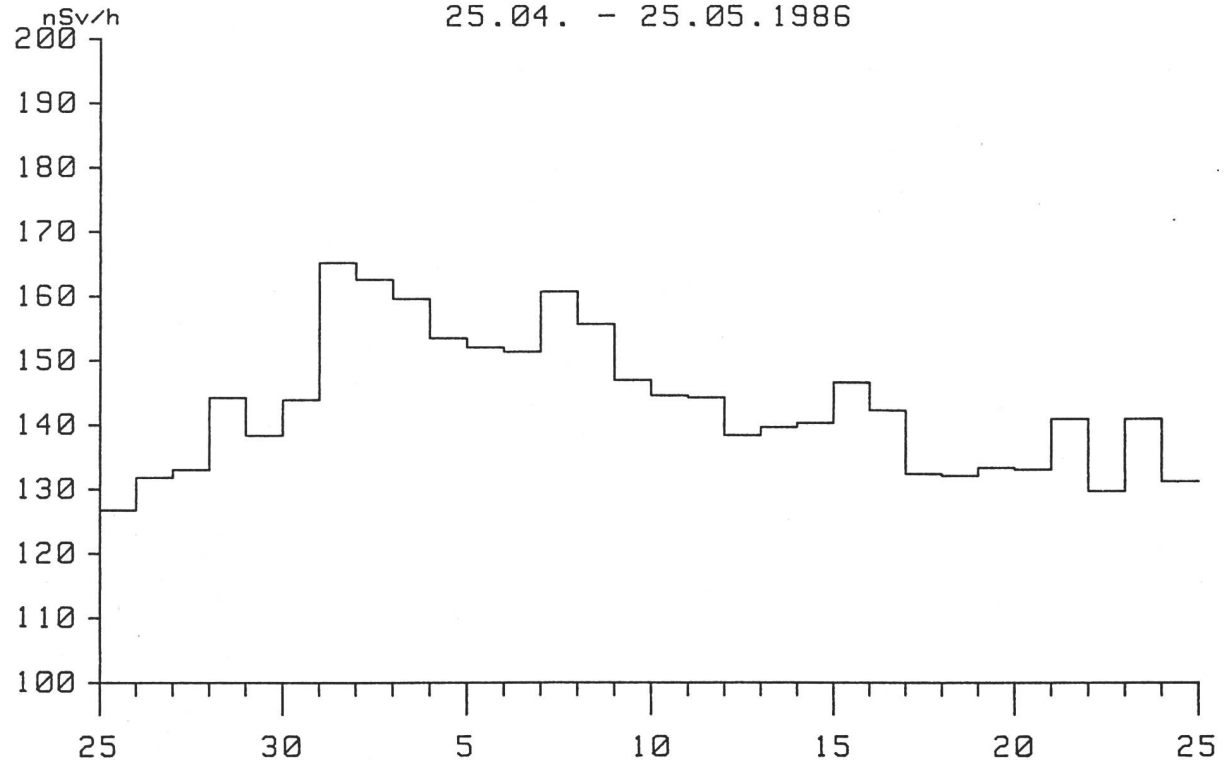


Fig. 5.10.f: NADAM-SONDE : 02 PAYERNE
25.04. - 25.05.1986

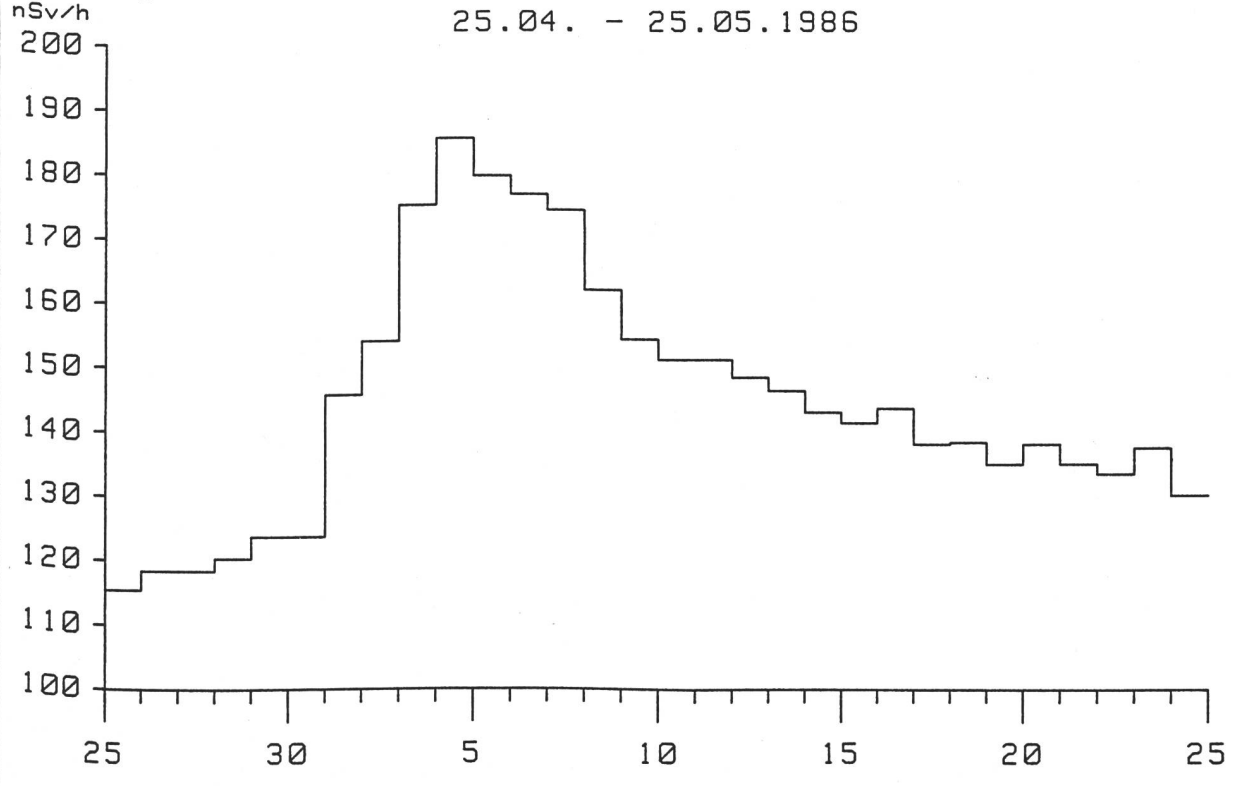


Fig. 5.10.g: NADAM-SONDE : 34 PULLY
25.04. - 25.05.1986

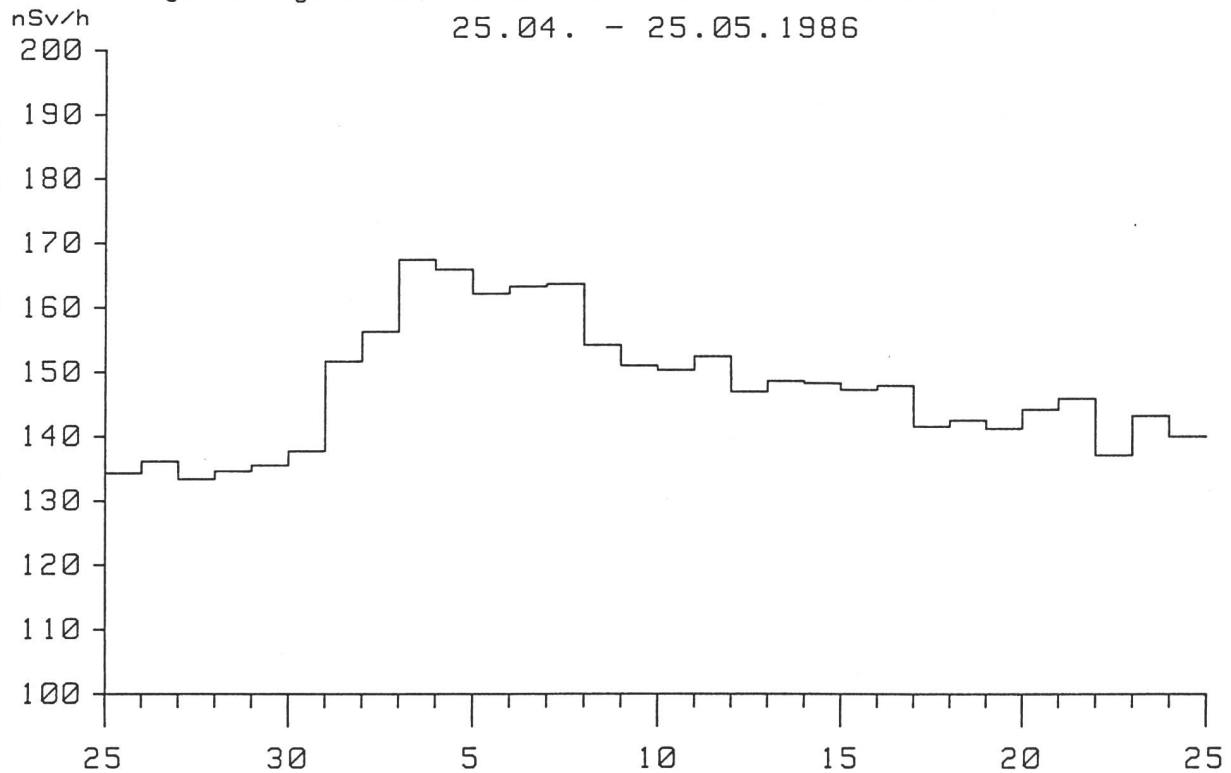
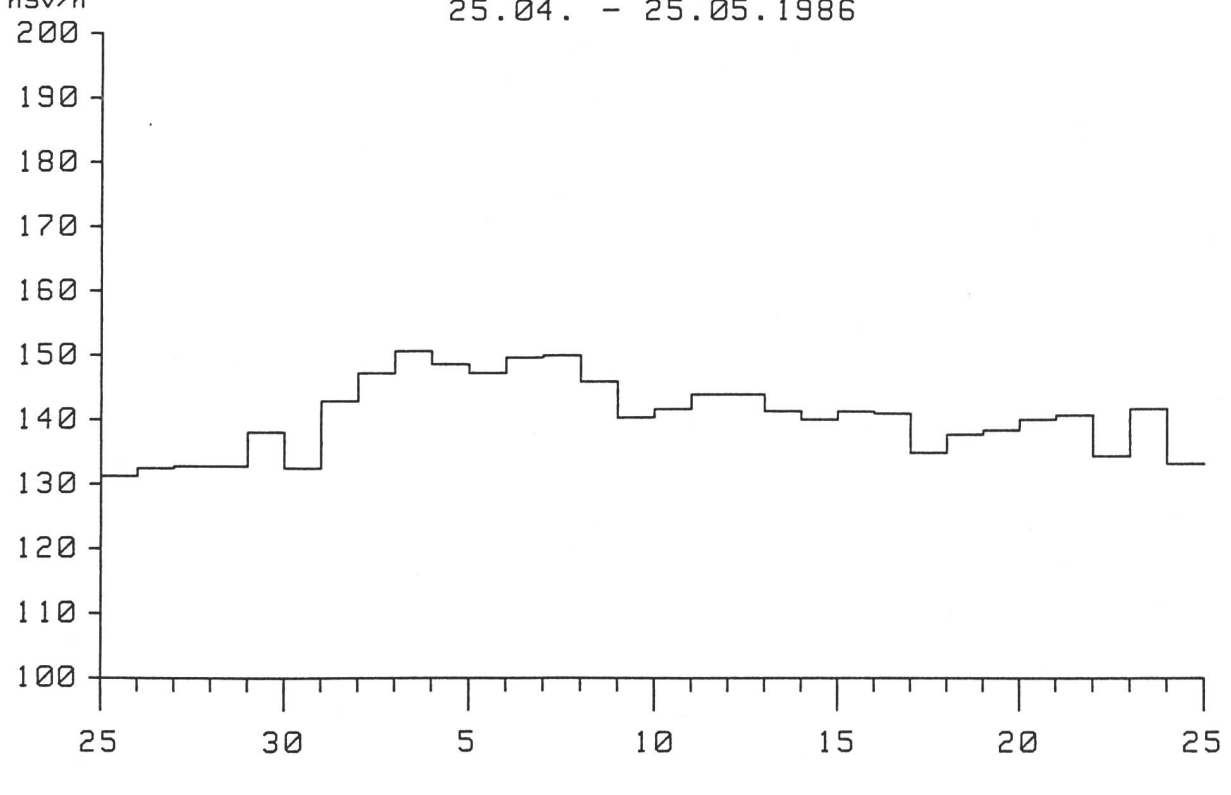
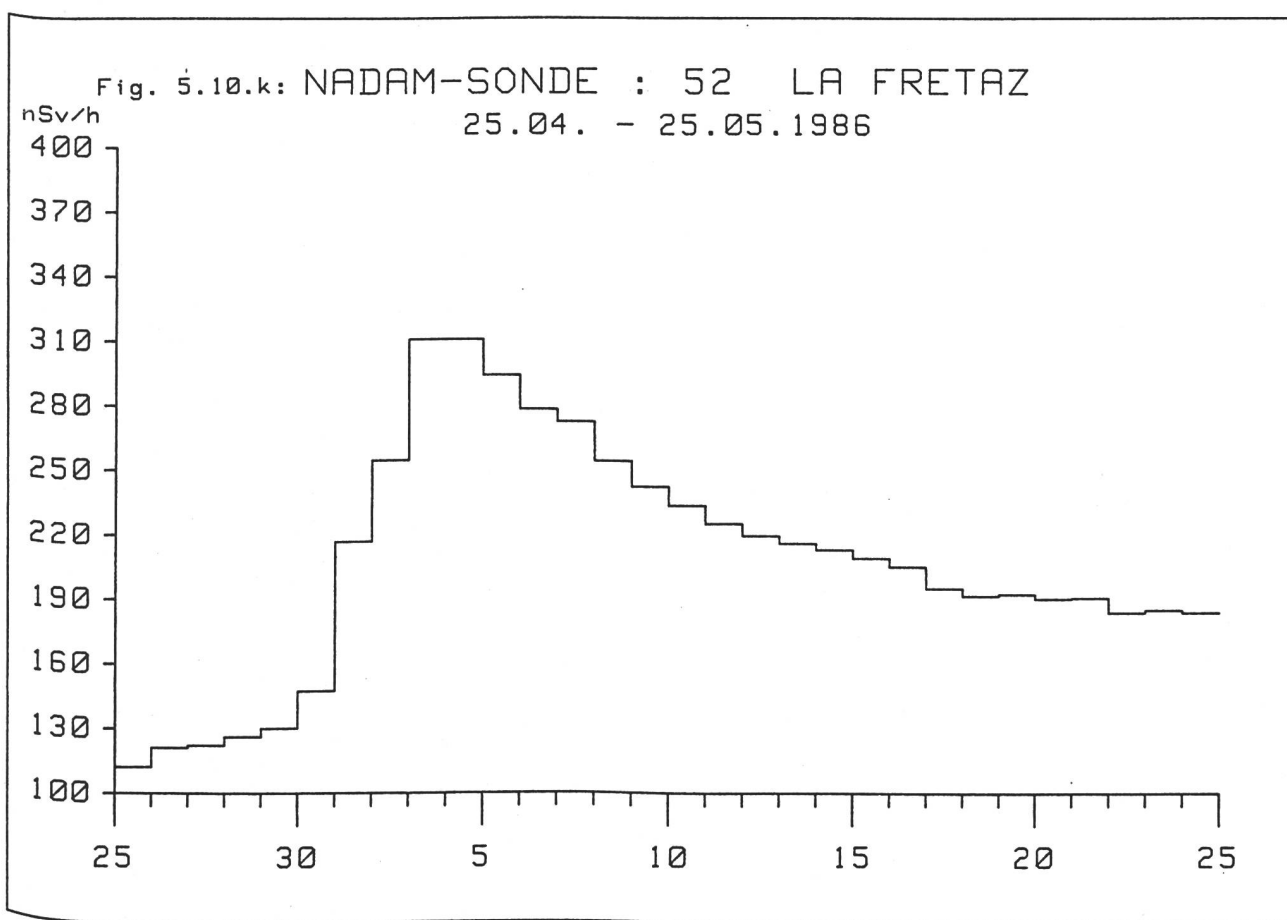
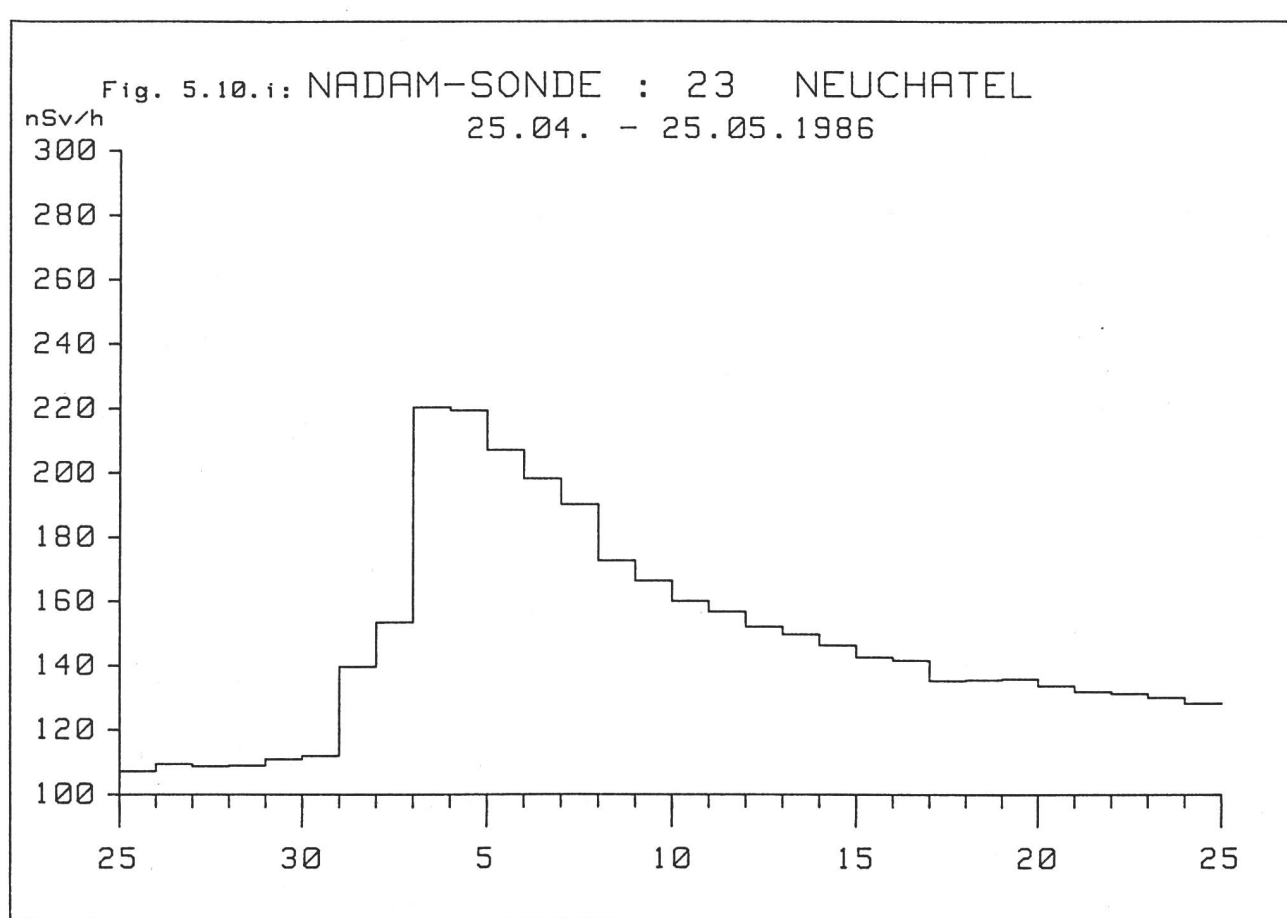


Fig. 5.10.h: NADAM-SONDE : 07 AIGLE
25.04. - 25.05.1986





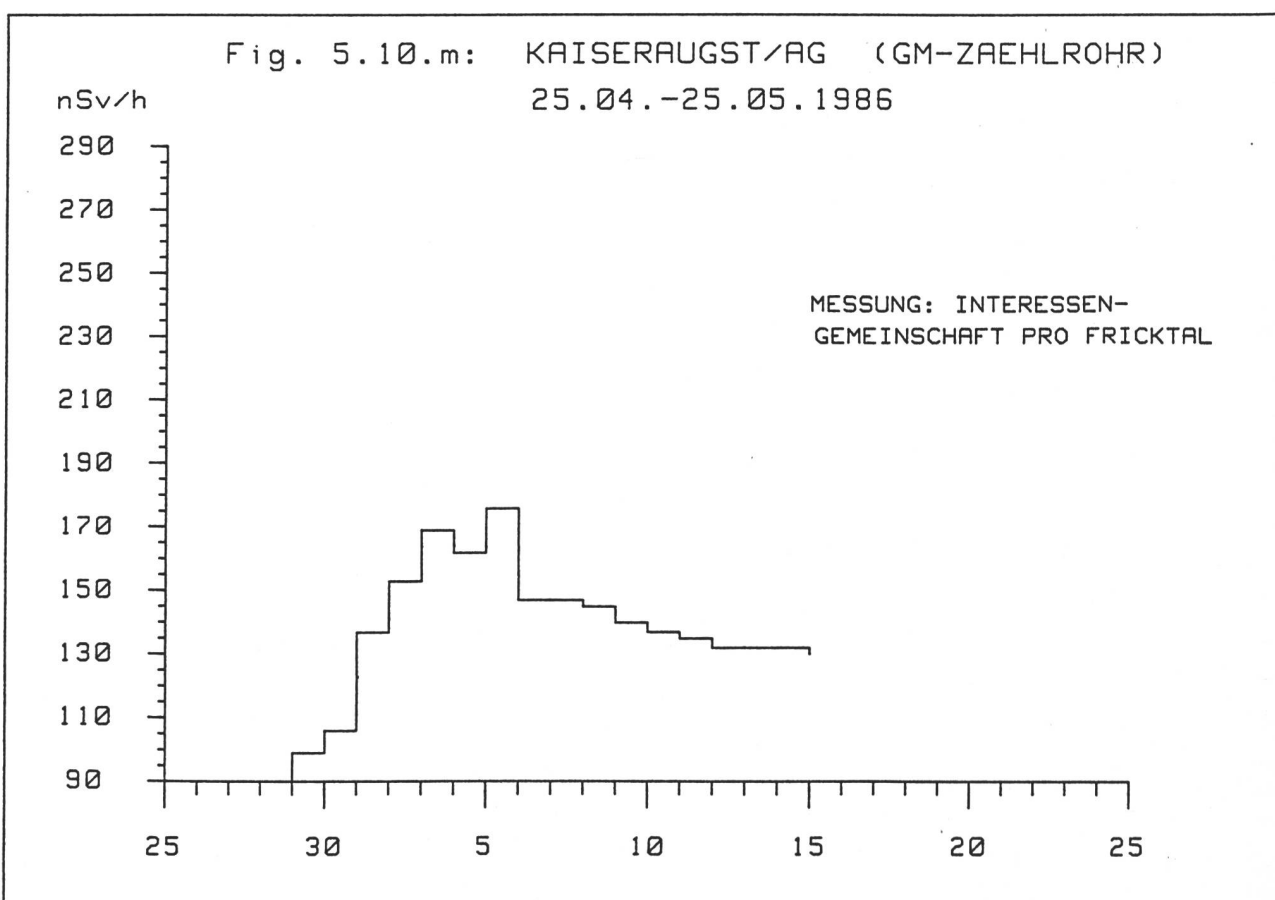
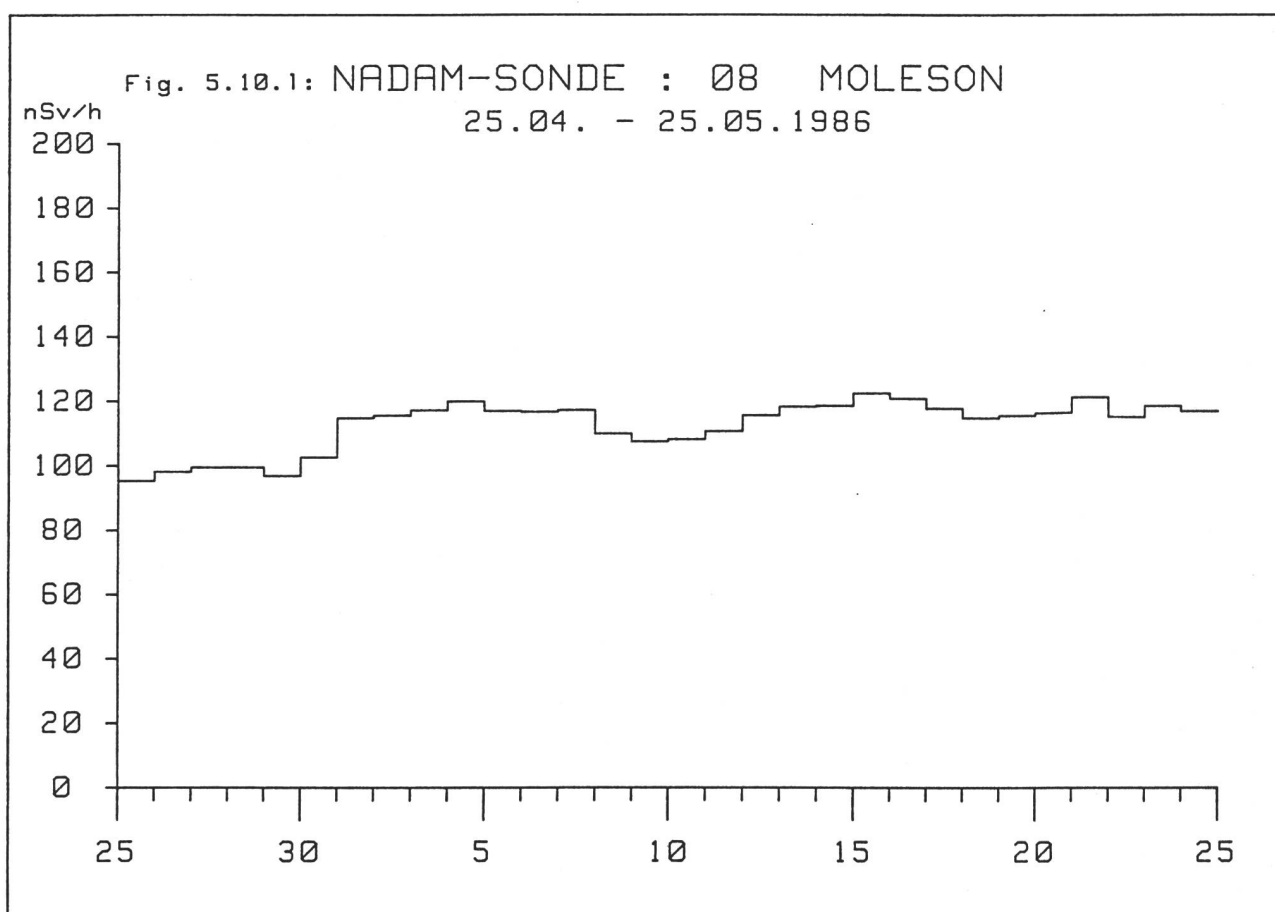


Fig. 5.10.n: STILLI/AG (GM-ZAEHLROHR)

25.04.-25.05.1986

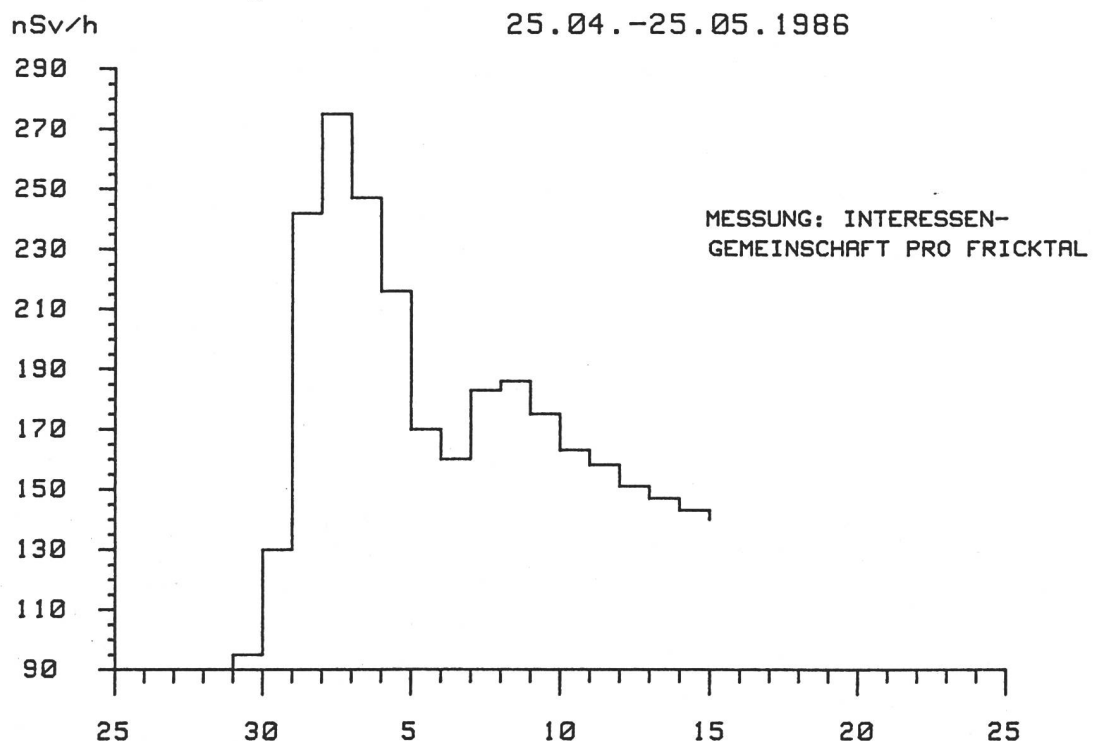


Fig. 5.10.o: ZEIHEN/AG (GM-ZAEHLROHR)

25.04.-25.05.1986

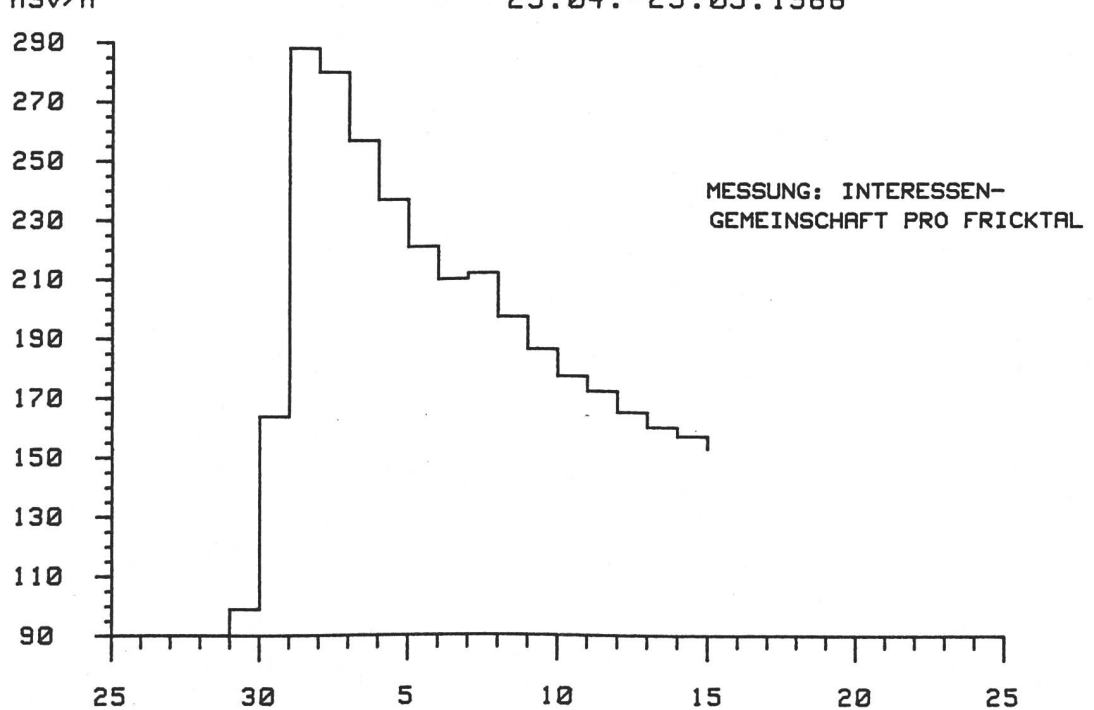


Fig. 5.10.p: LEIBSTADT/AG : CHLEMMI
(IONISATIONSKAMMER)
25.04.-25.05.1986

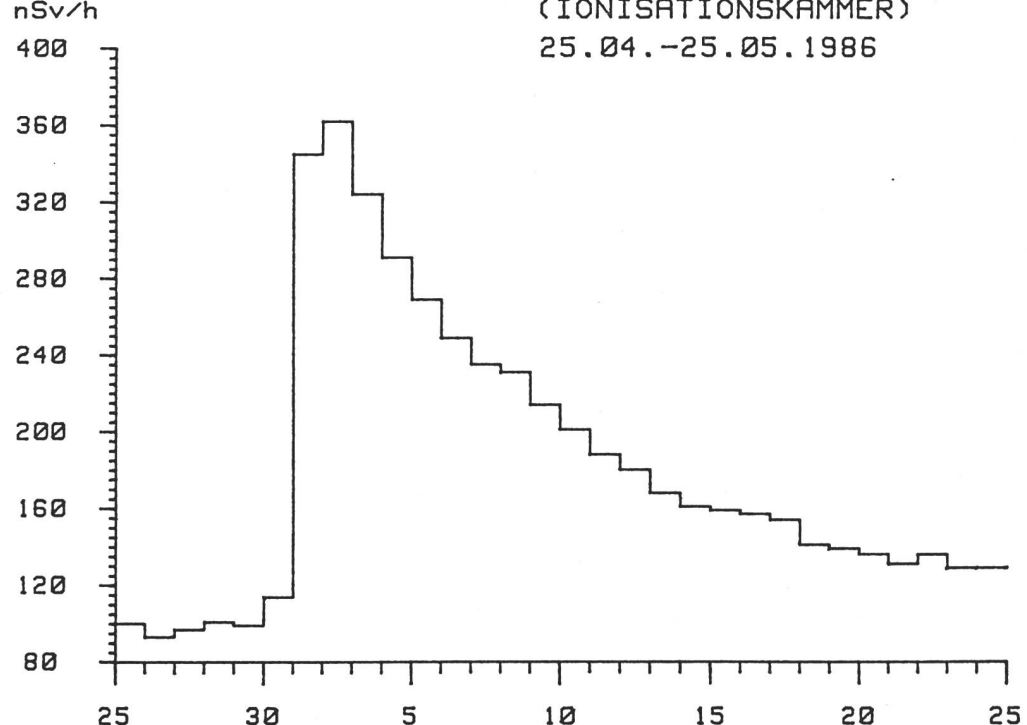


Fig. 5.10.q: FULL/AG : PUMPWERK
(IONISATIONSKAMMER)
25.04.-25.05.1986

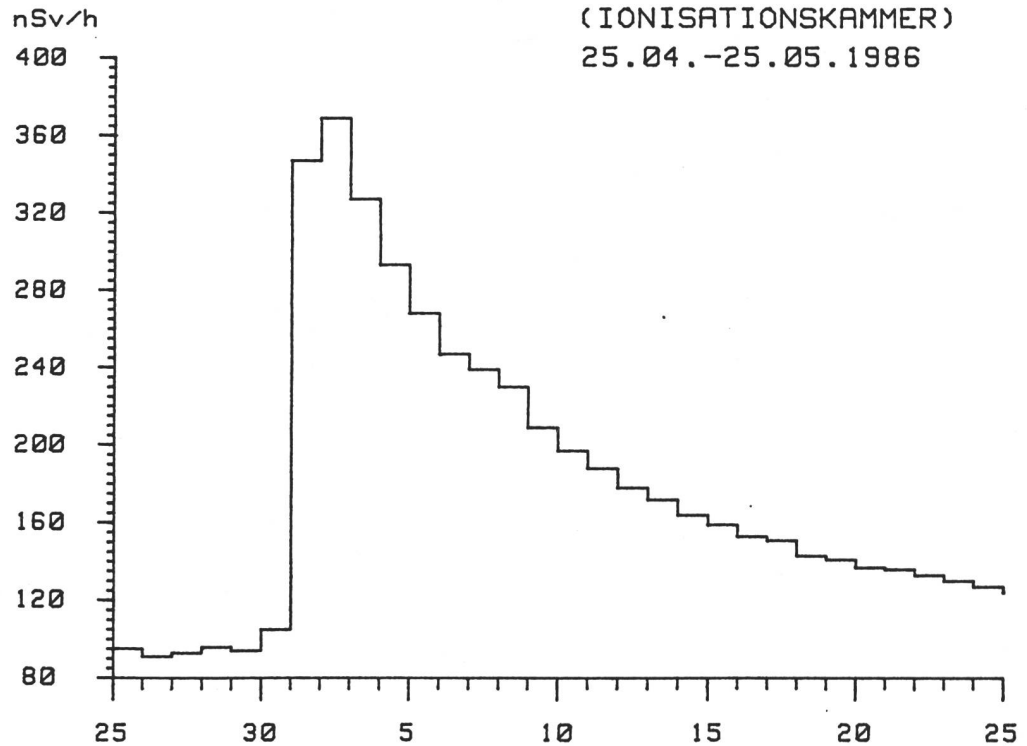


Fig. 5.10.r: UFEM HORN (MUEHLEBERG/BE)

nSv/h

(IONISATIONSKAMMER)

25.04.-25.05.1986

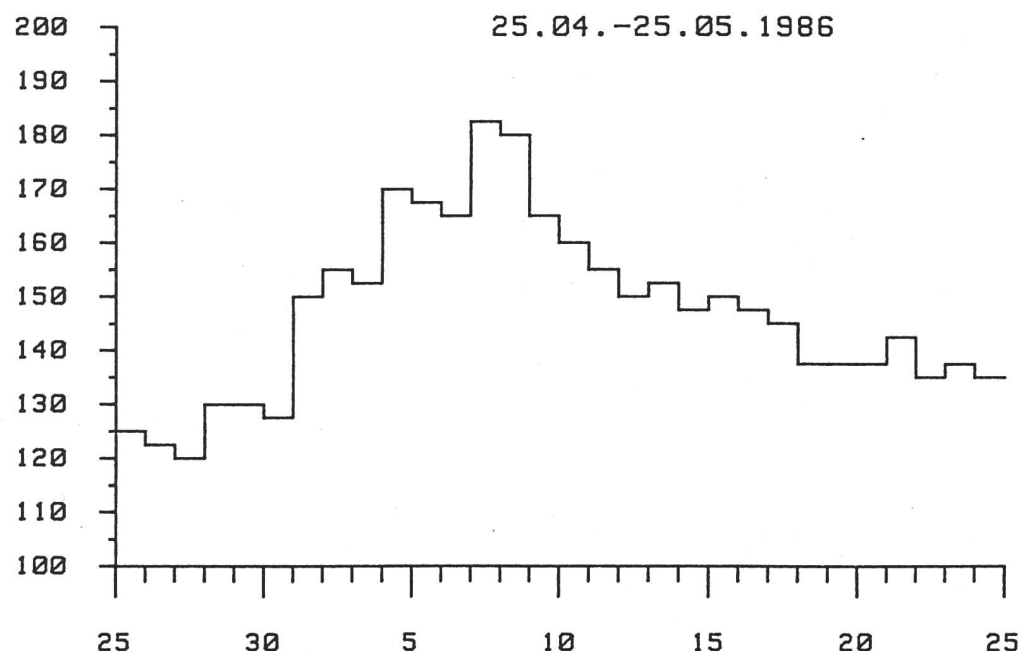


Fig. 5.10.s: MUEHLEBERG/BE : BKW-SCHALTZENTRALE

nSv/h

(IONISATIONSKAMMER)

25.04.-25.05.1986

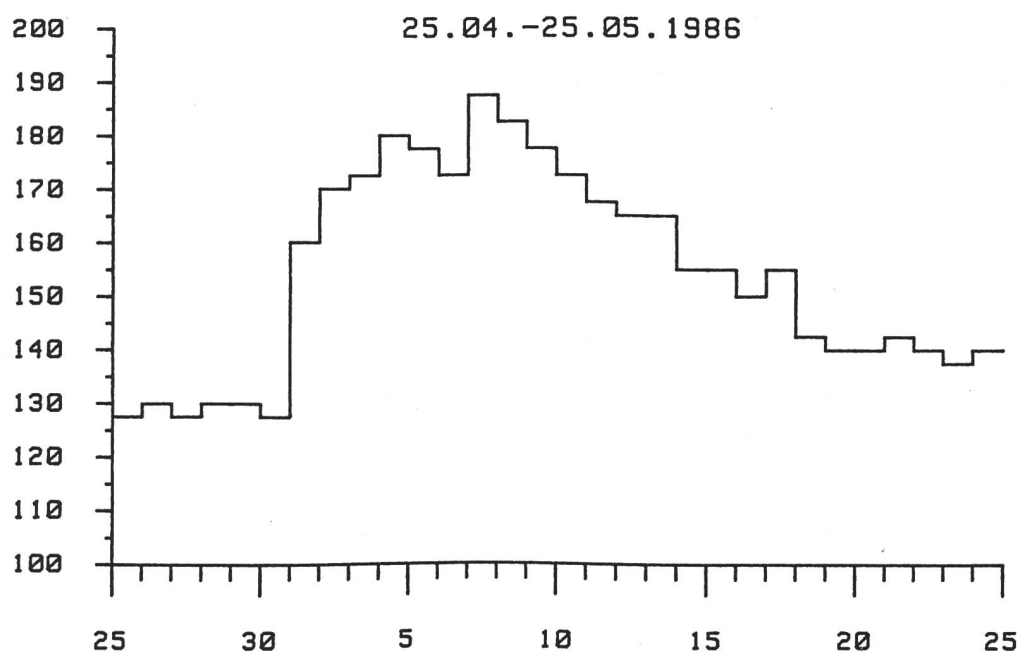


Fig. 5.10.t: NIEDERGOESEN/SO 1986
(IONISATIONSKAMMER)

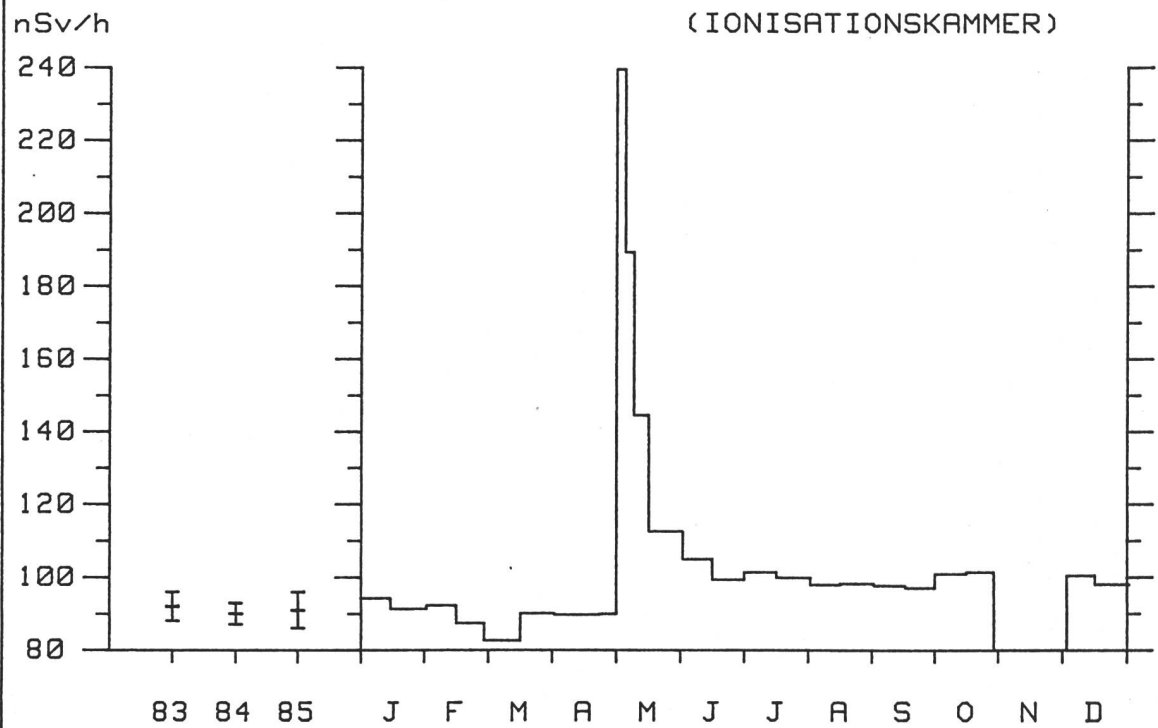


Fig. 5.10.u: NIEDERGOESEN/SO
(IONISATIONSKAMMER)
25.04.-25.05.1986

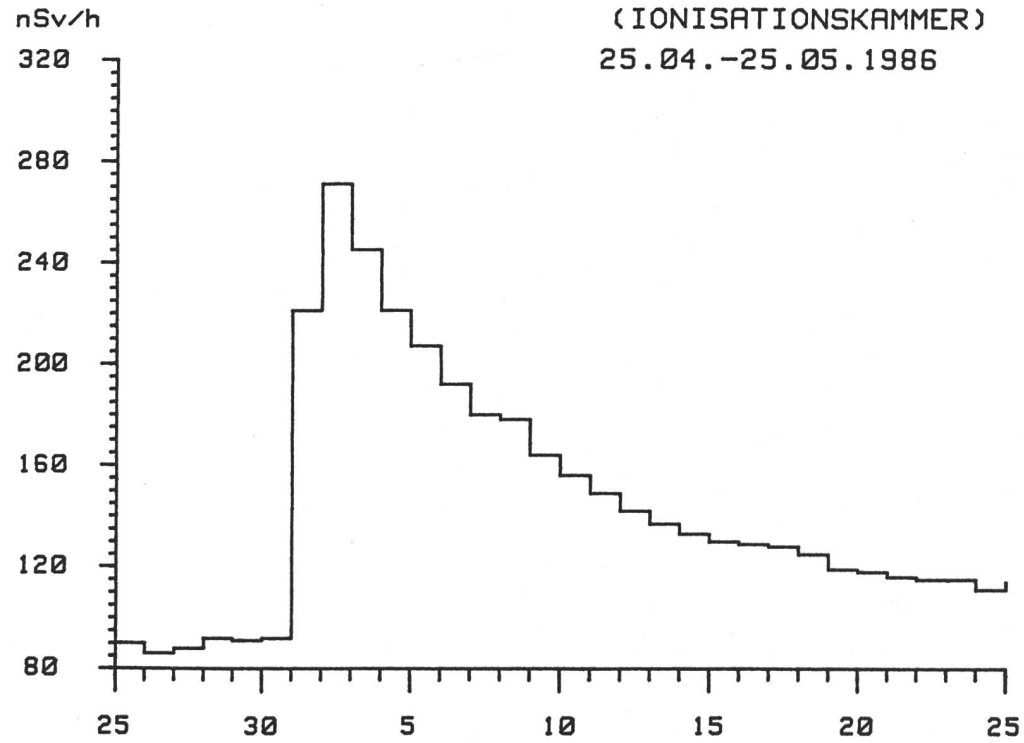


Fig.5.11.a.1: Cs-137 im Gras des Tessins, 1986

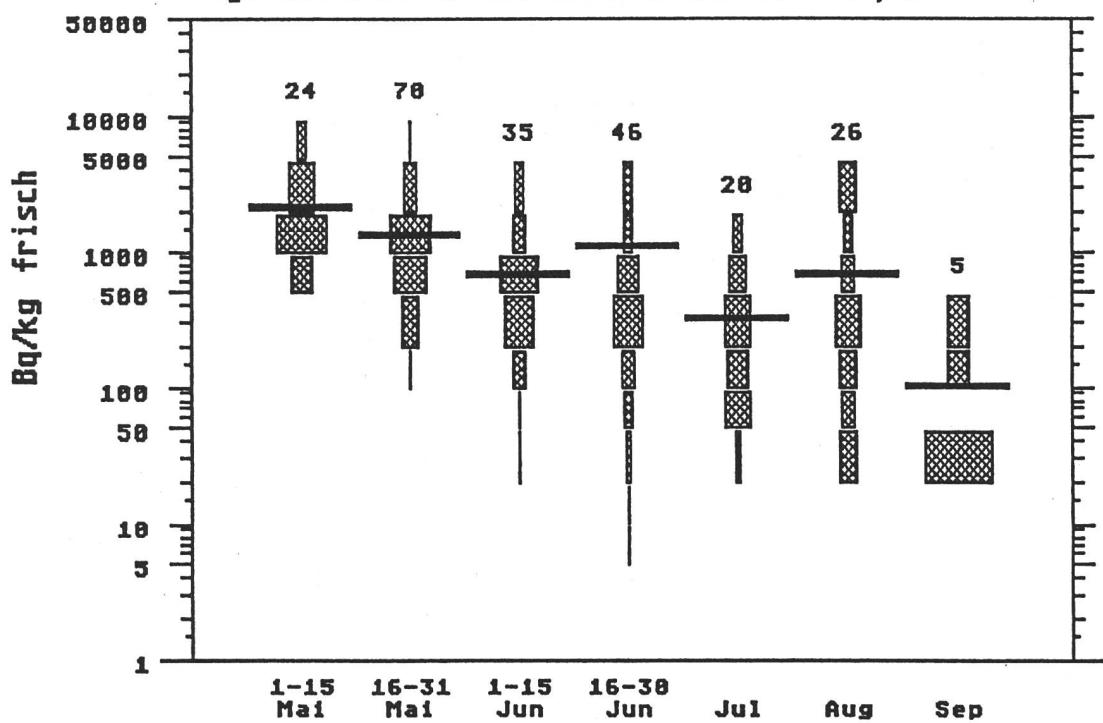


Fig.5.11.a.2: I-131 im Gras des Tessins, 1986

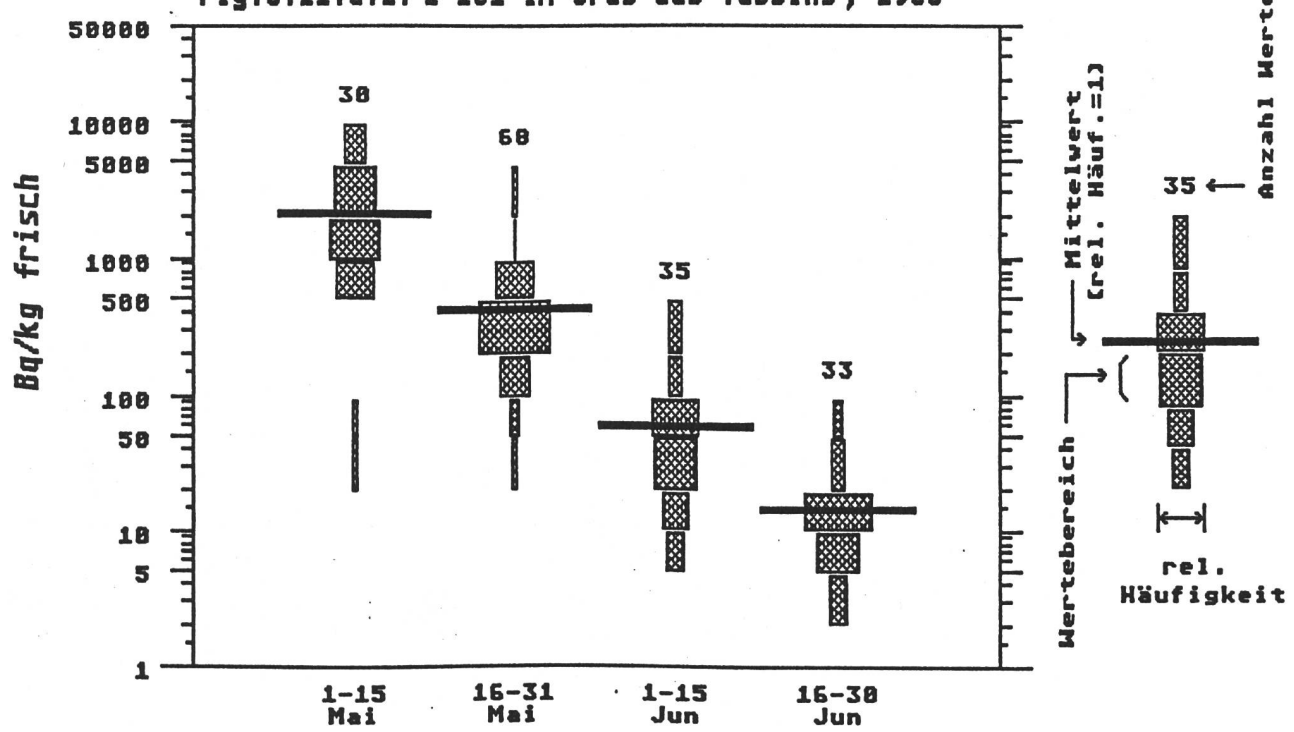


Fig.5.11.b.1: Cs-137 im Gras der Ostschweiz, 1986

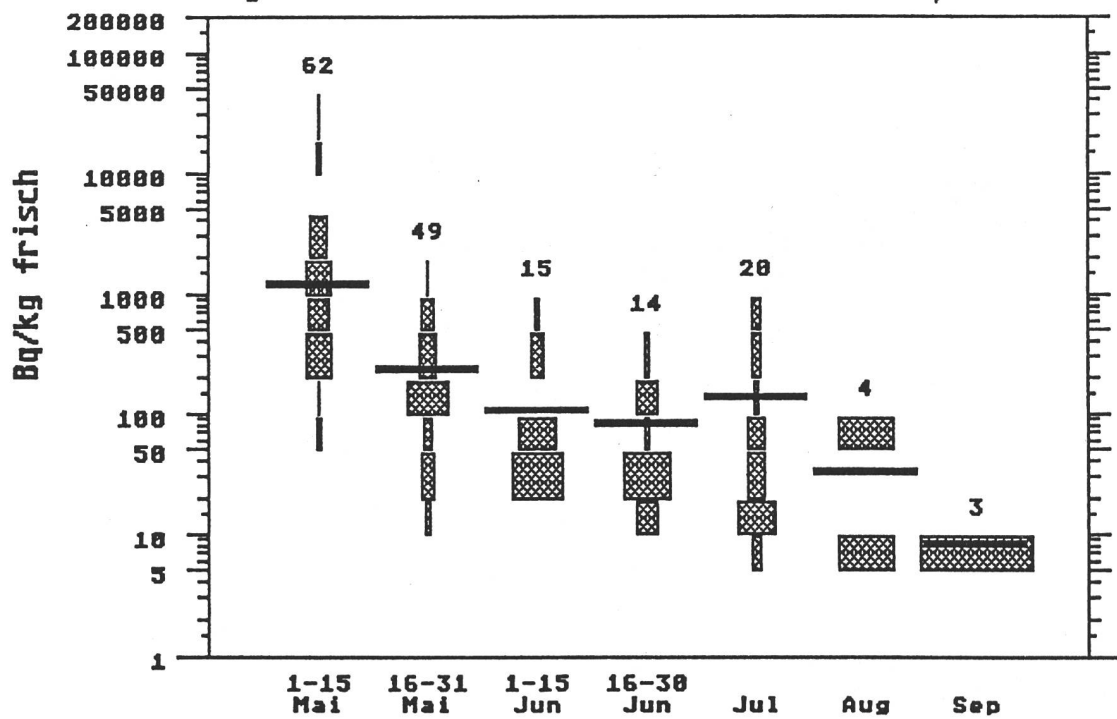


Fig.5.11.b.2: I-131 im Gras der Ostschweiz, 1986

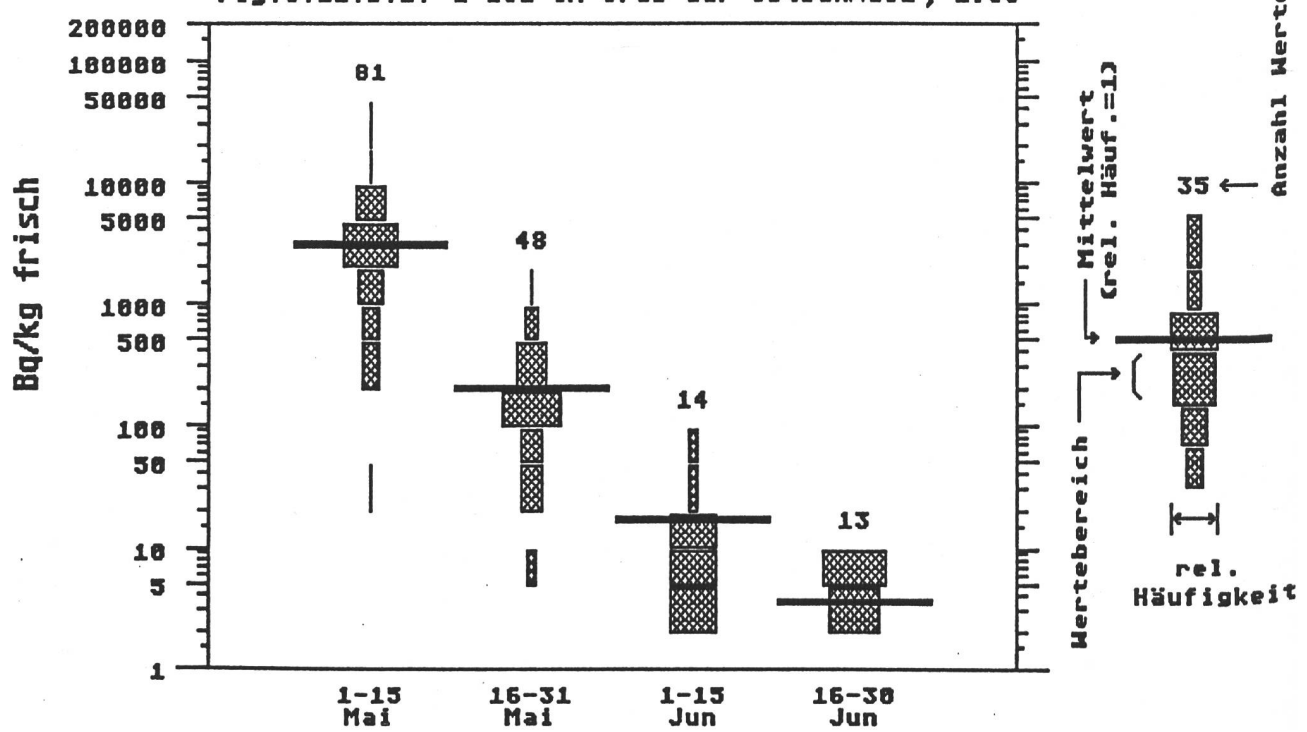


Fig.5.ii.c.1: Cs-137 im Gras der Zentral- und Nordschweiz, 1986

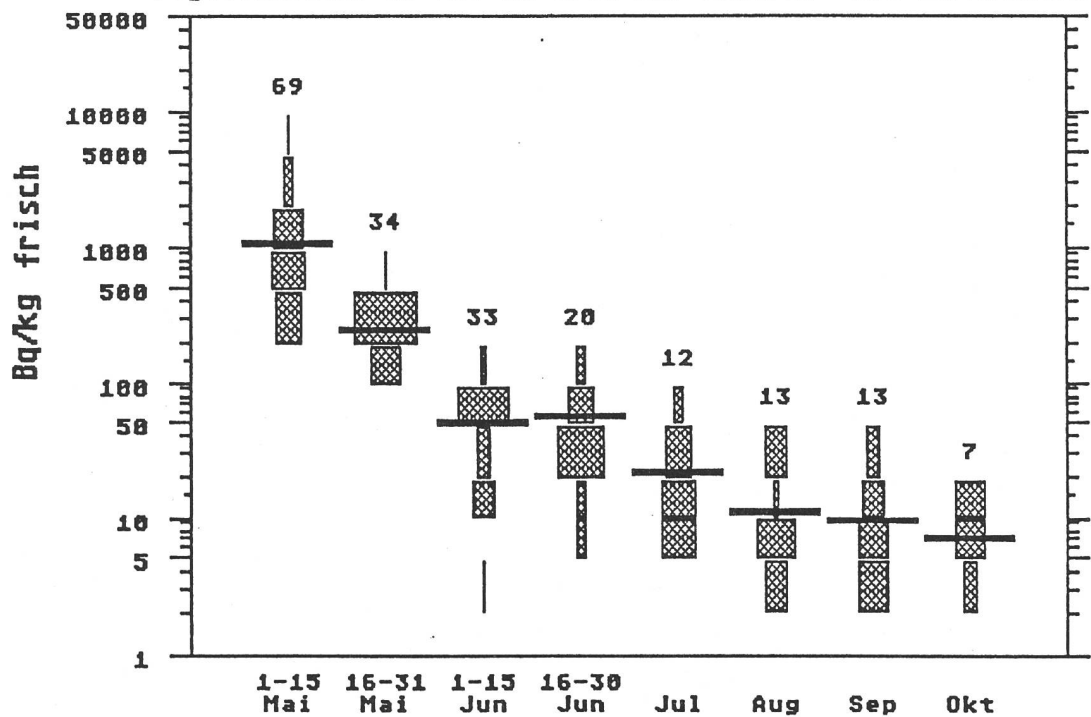


Fig.5.ii.c.2: I-131 im Gras der Zentral- und Nordschweiz, 1986

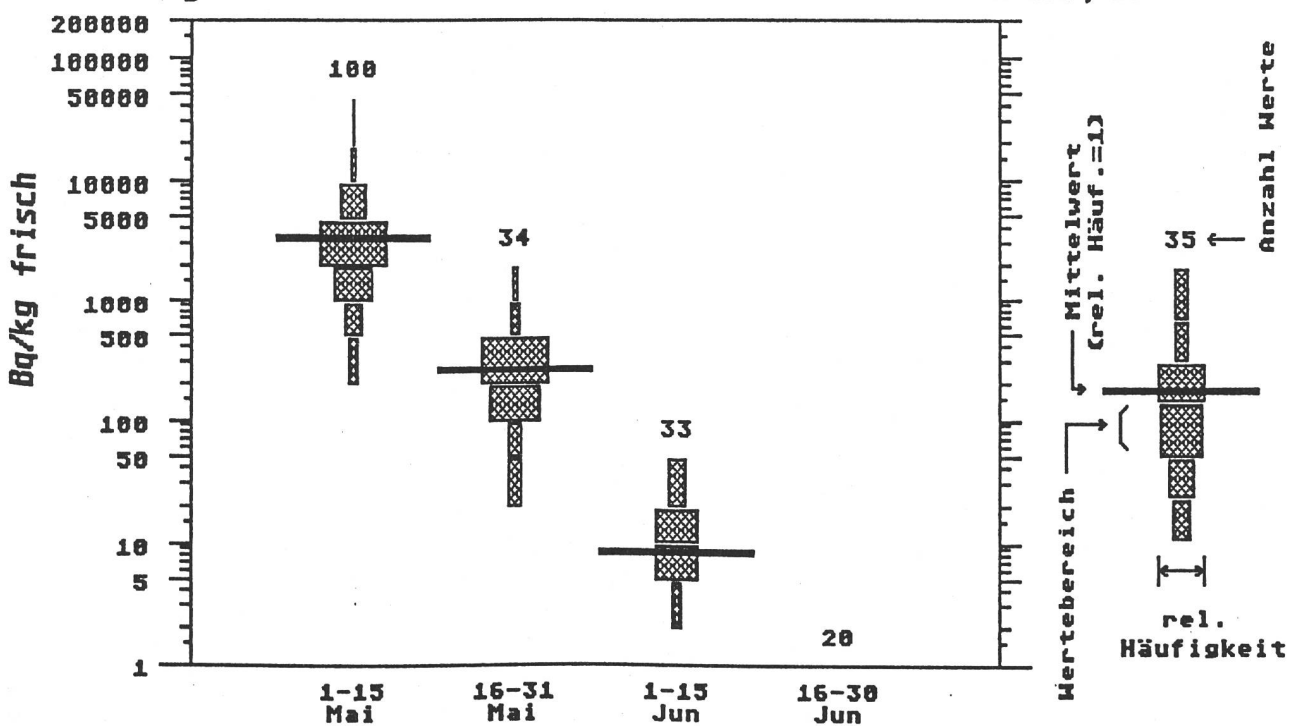


Fig.5.11.d.1: Cs-137 im Gras der Westschweiz, 1986

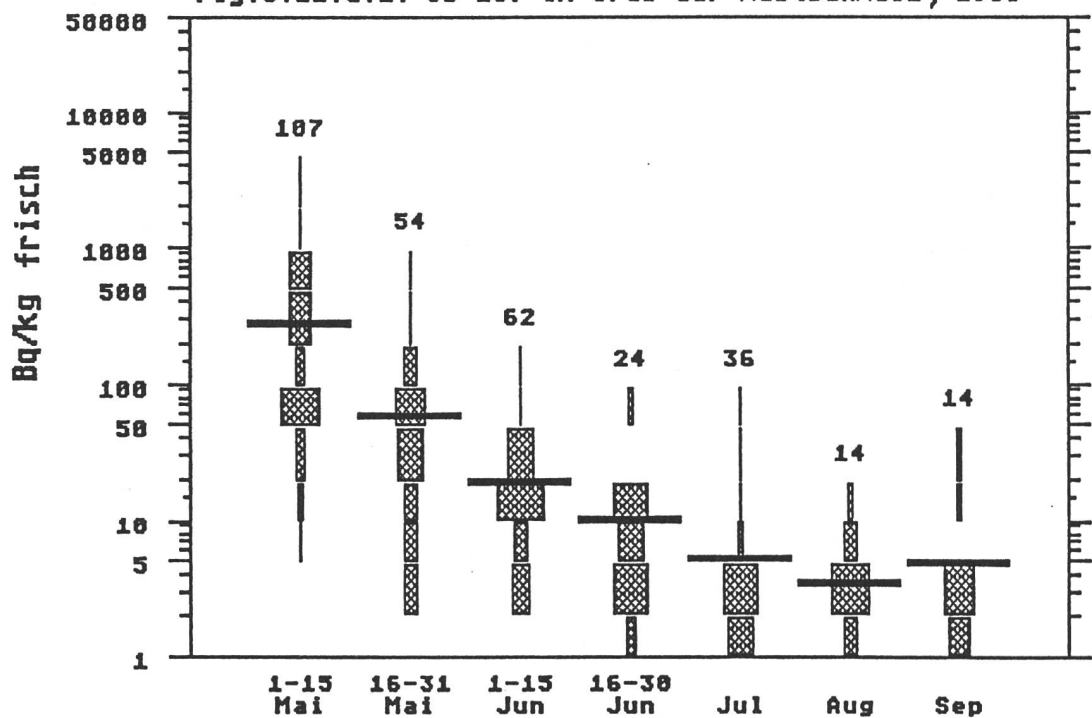


Fig.5.11.d.2: I-131 im Gras der Westschweiz, 1986

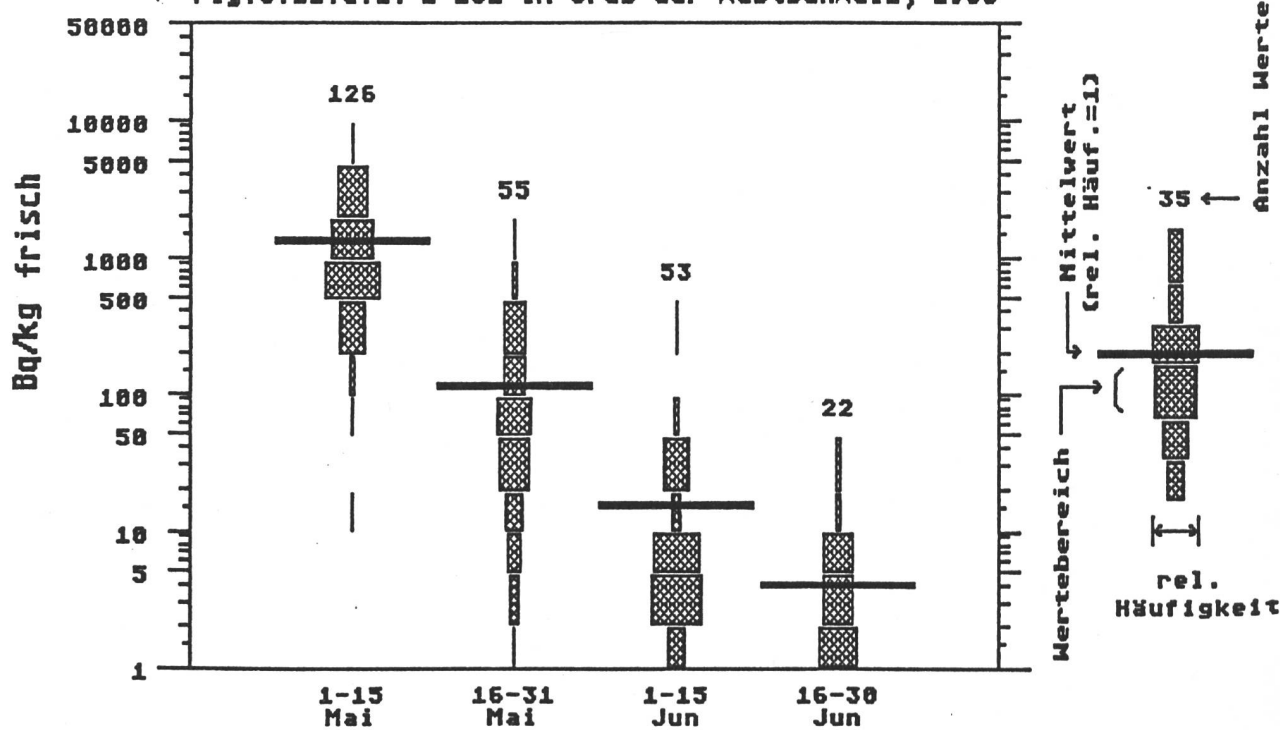


Fig.5.12.a: Radionuklide im Gras, Grangeneuve/FR 1986

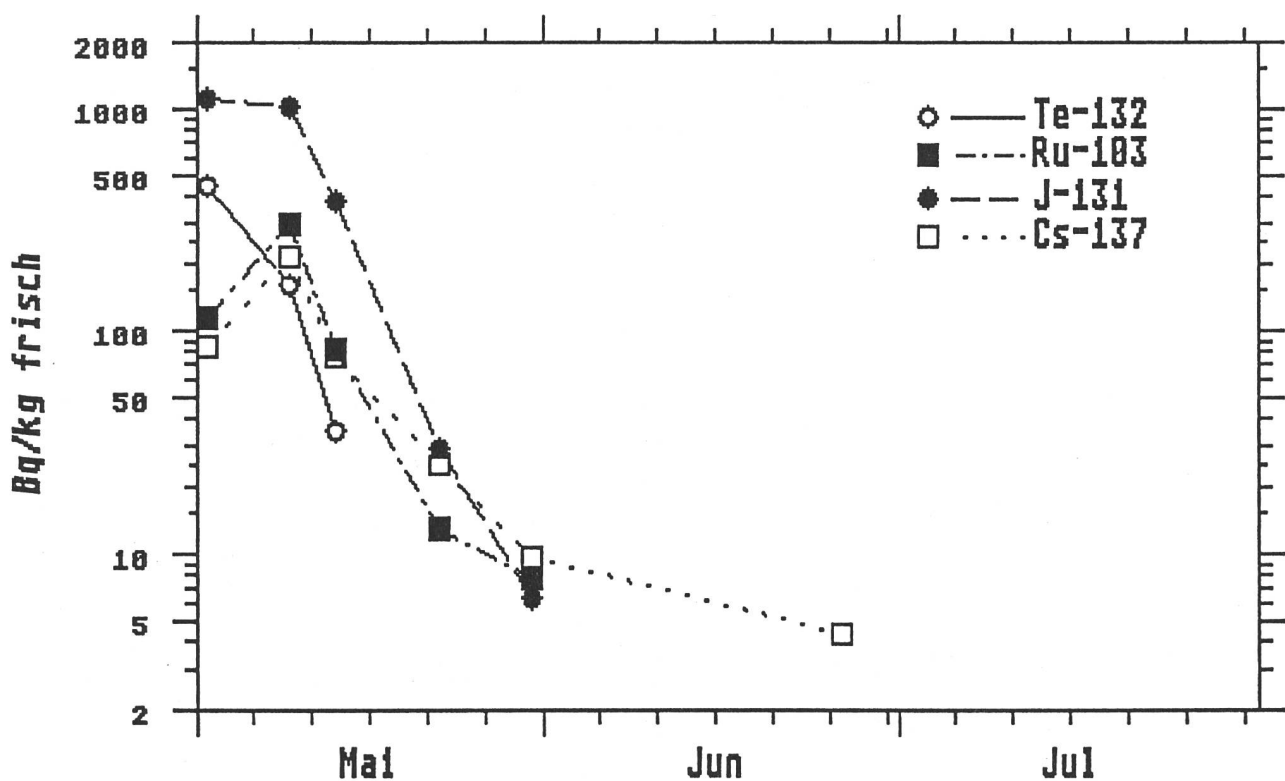


Fig.5.12.b: Radionuklide im Gras, Guschelmuth/FR 1986

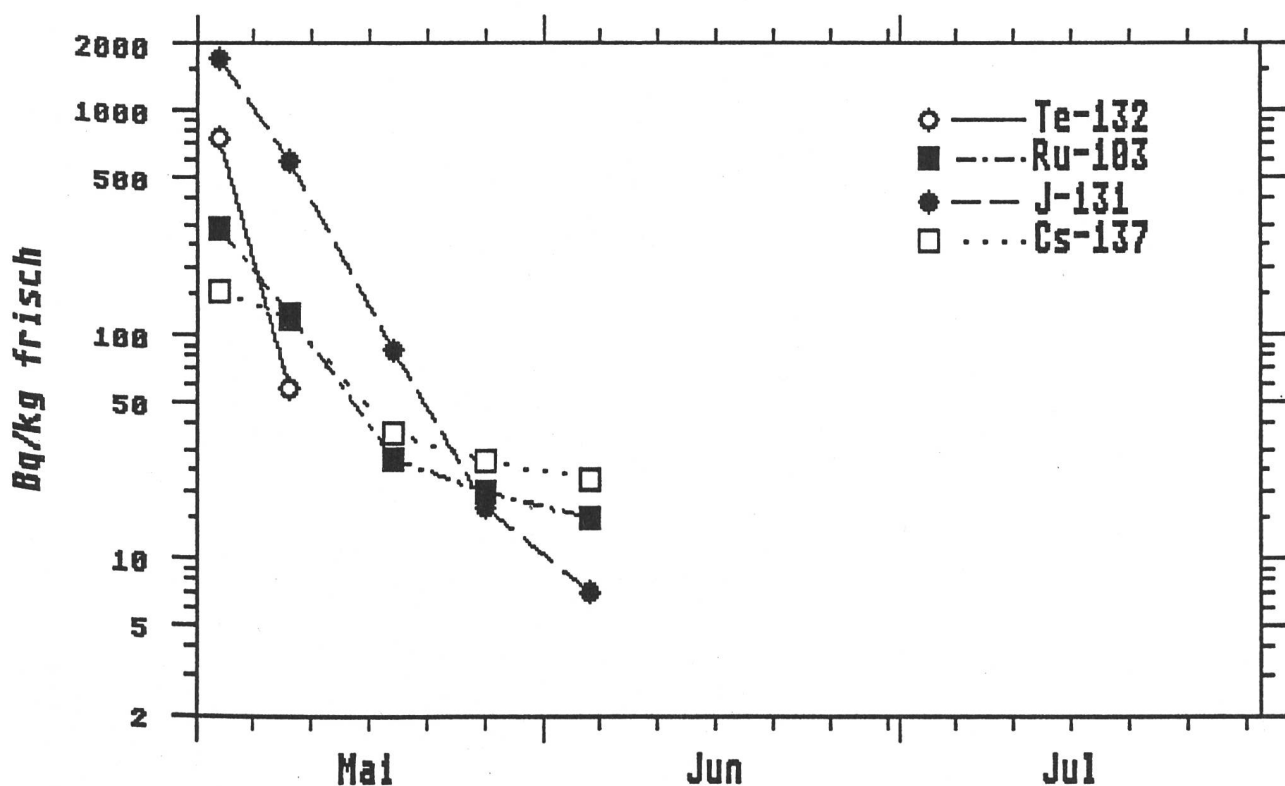


Fig.5.12.c: Radionuklide im Gras, Sessa/TI 1986

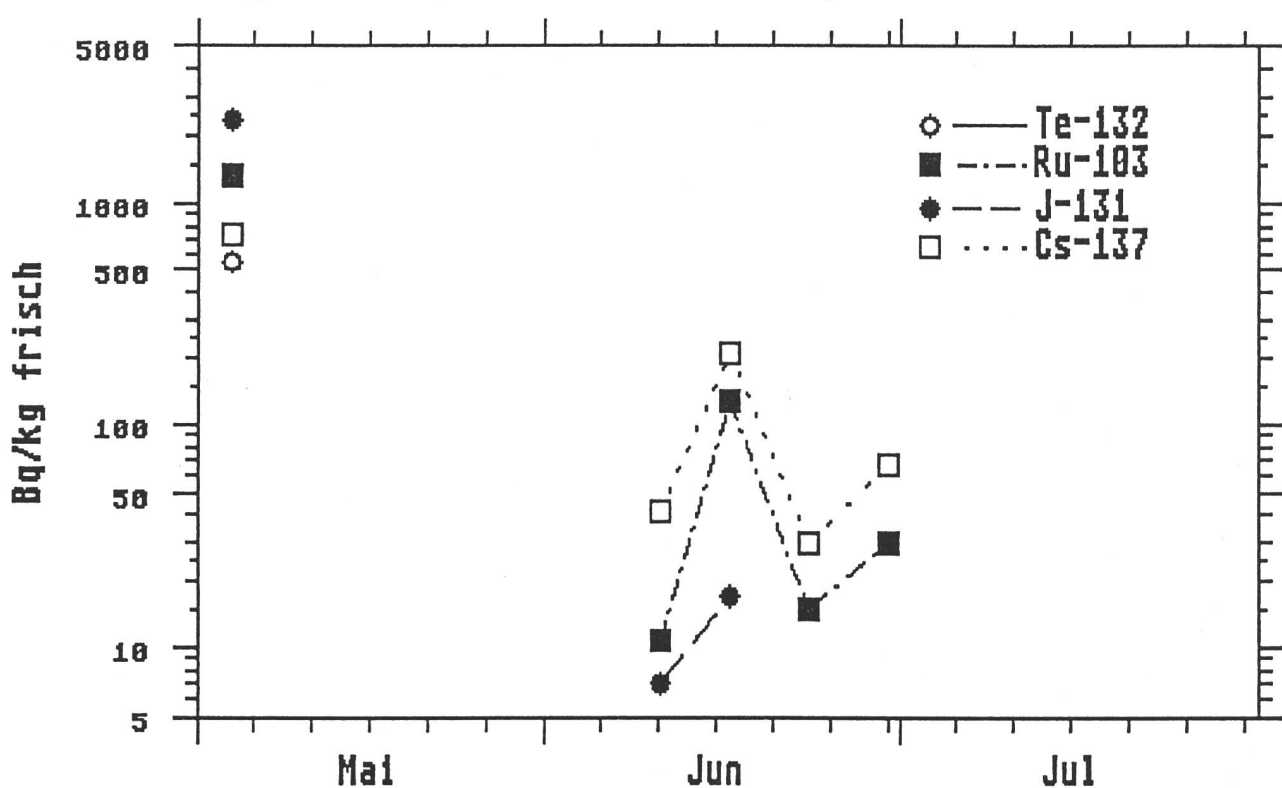


Fig.5.12.d: Radionuklide im Gras, Breganzona/TI 1986

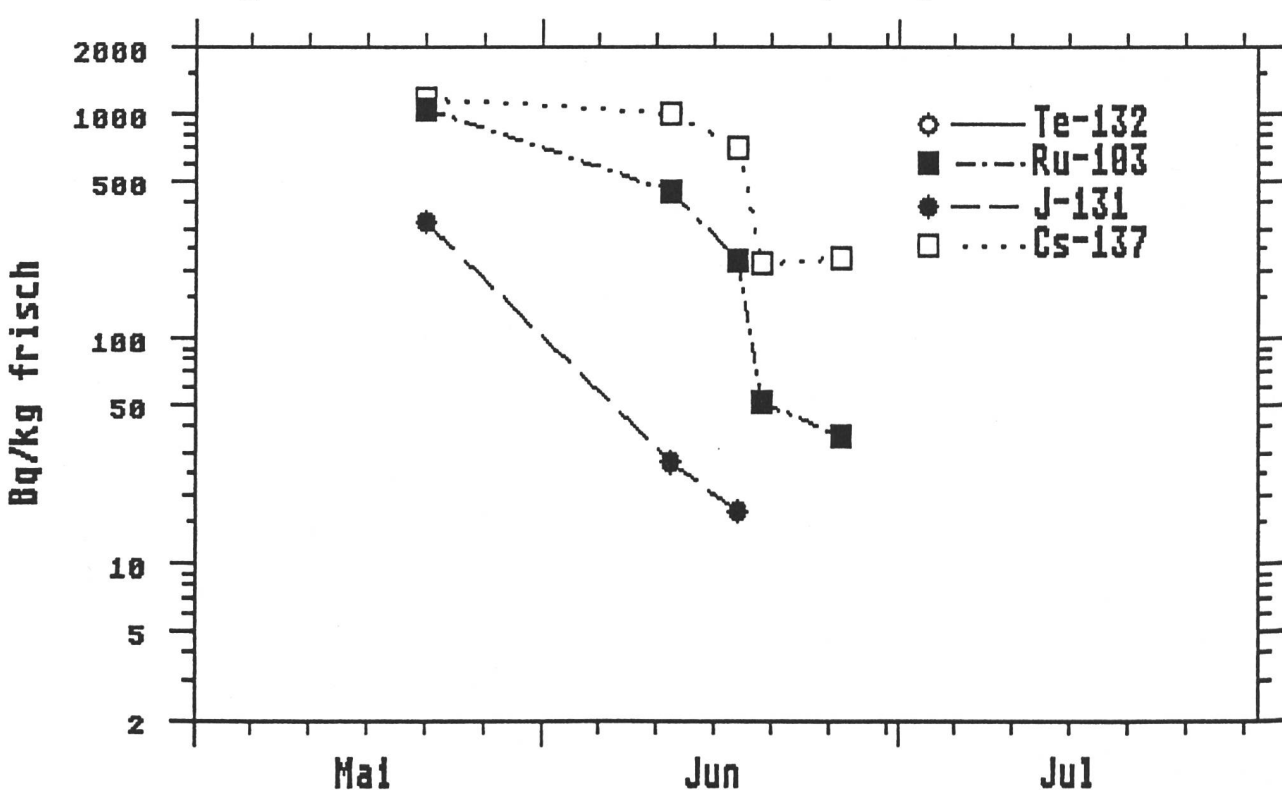


Fig.5.12.e: Radionuklide im Gras, Magadino/TI 1986

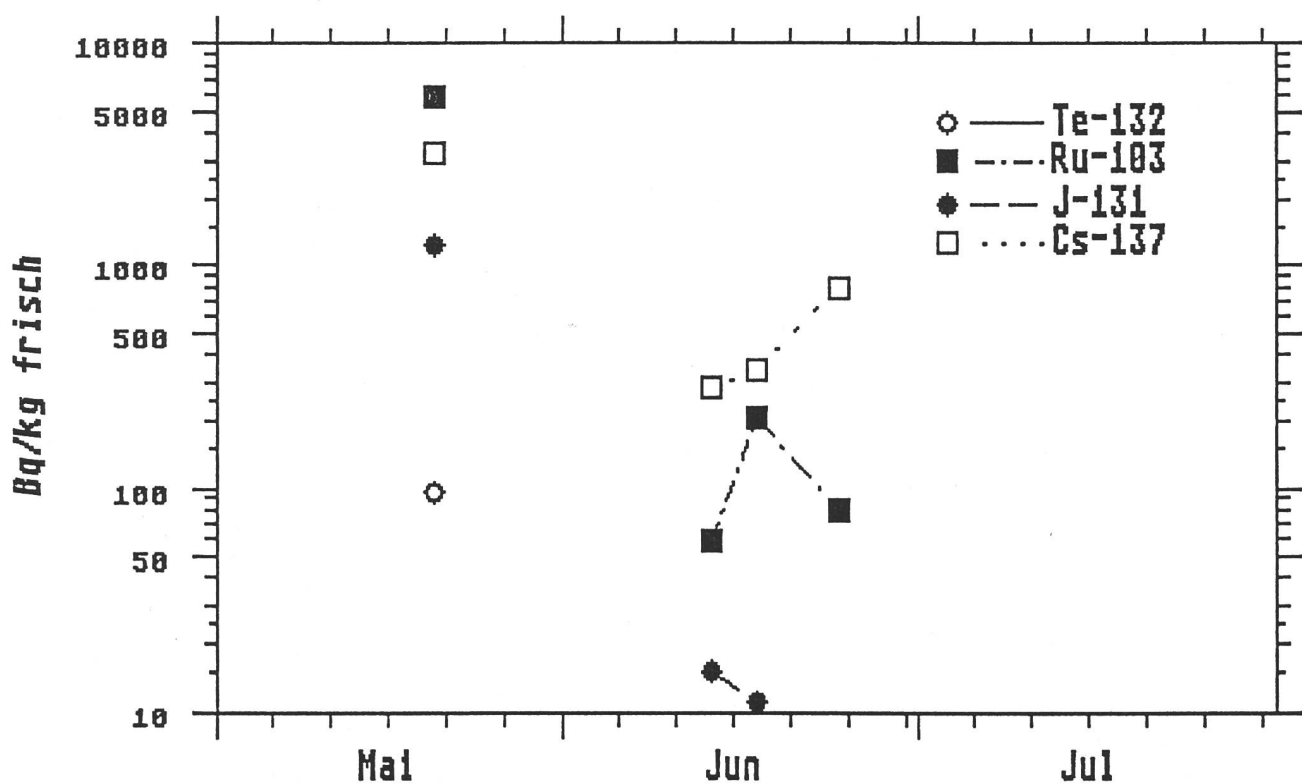


Fig.5.12.f: Radionuklide im Gras, Mezzovico/TI 1986

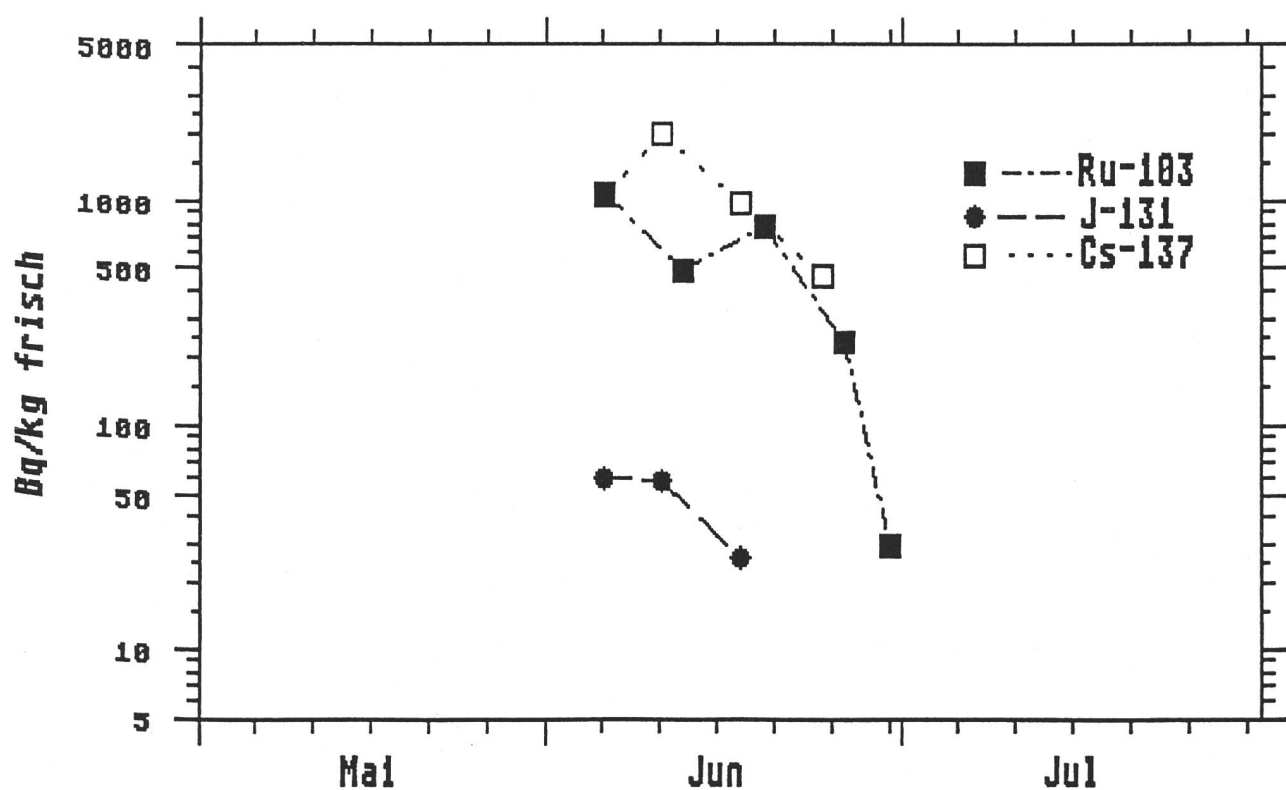


Fig.5.12.g: Radionuklide im Gras, Arogno/TI 1986

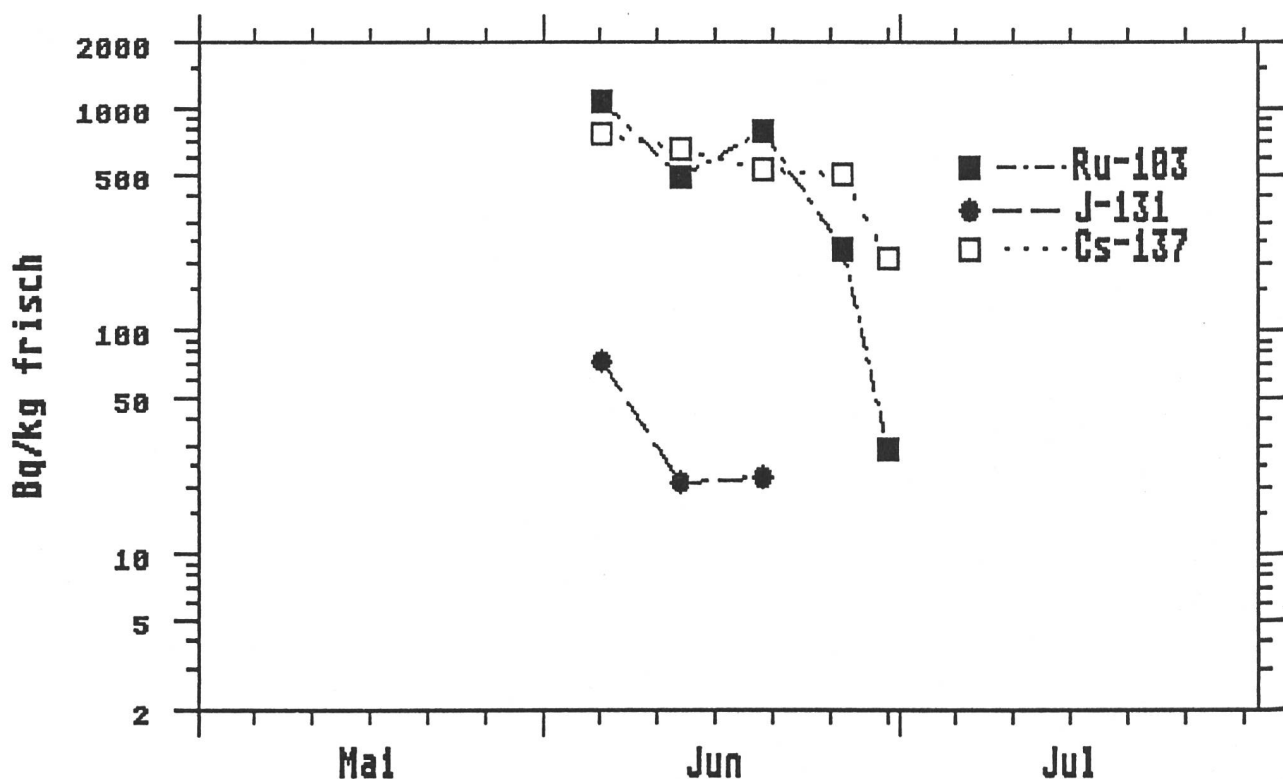


Fig.5.12.h: Radionuklide im Gras, Arosio/TI 1986

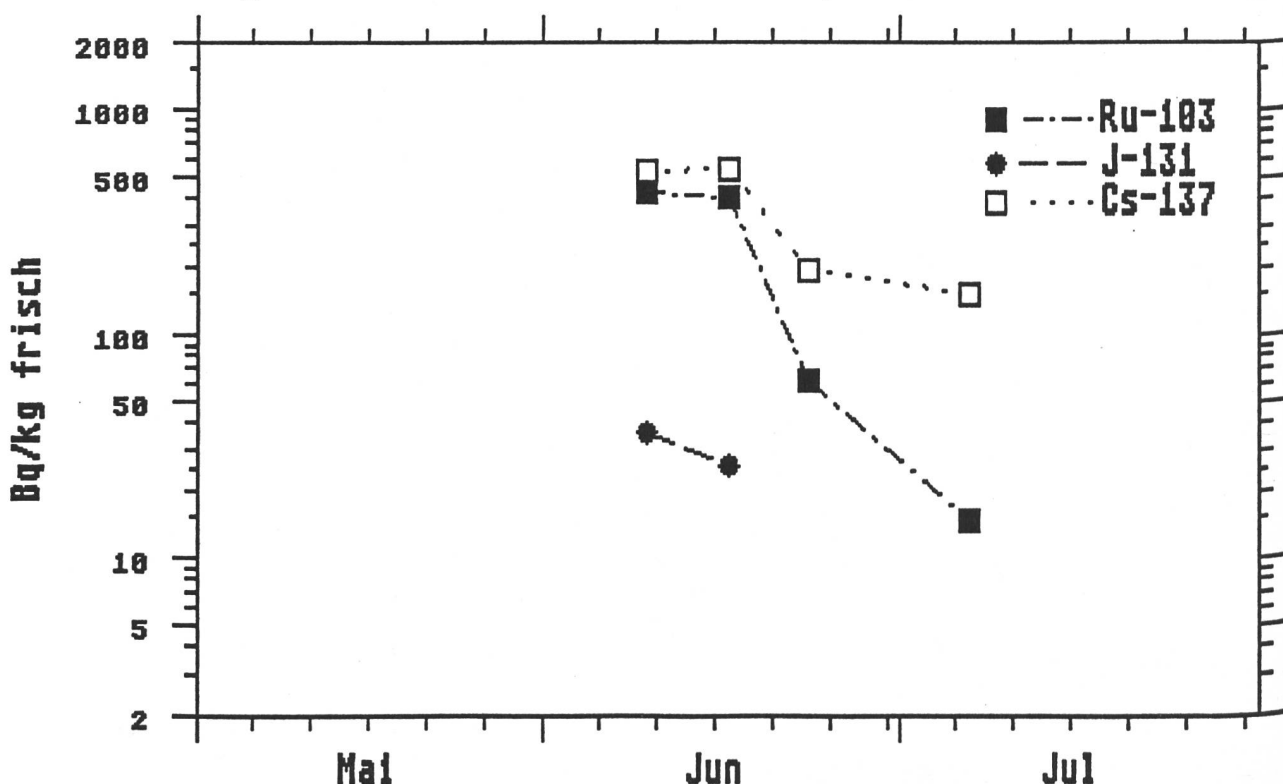


Fig.5.12.i: Radionuklide im Gras, Faulensee/BE (Einzelhof) 1986

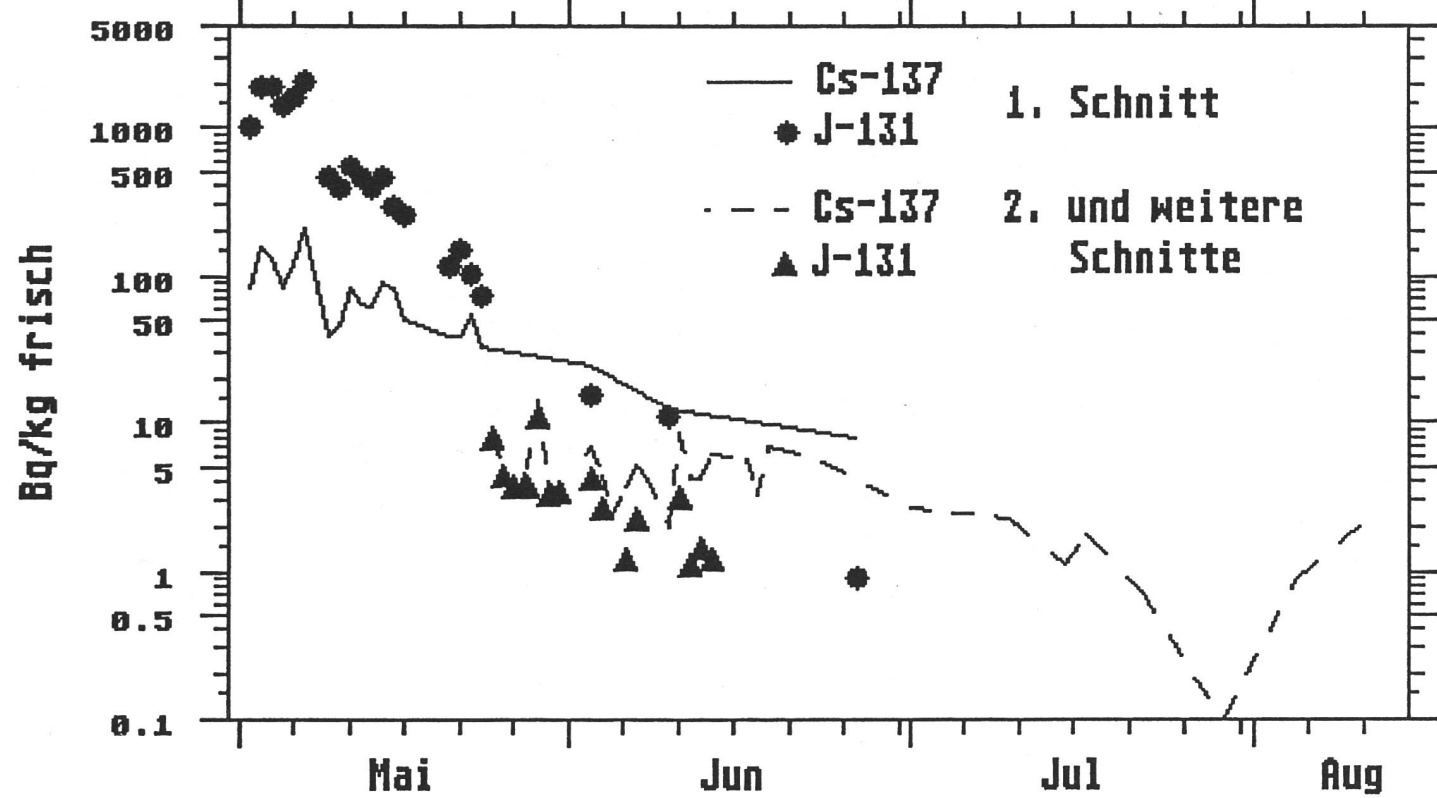


Fig.5.13: Bodenbelegung durch Atombomben-Fallout und Unfall Tschernobyl (1986)

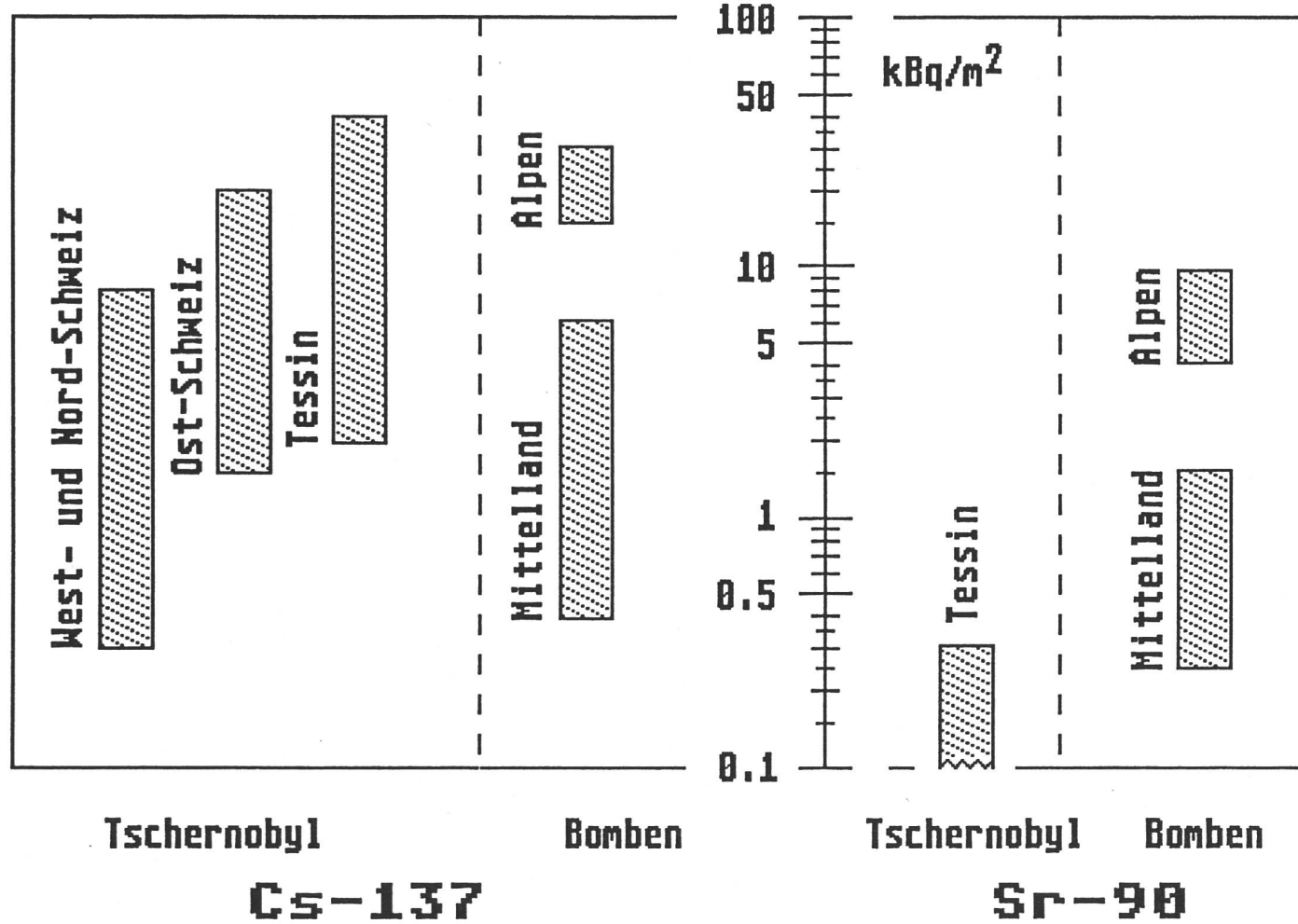


Fig.5.14.a: Cs-137 im Heu aus dem Tessin; 1986

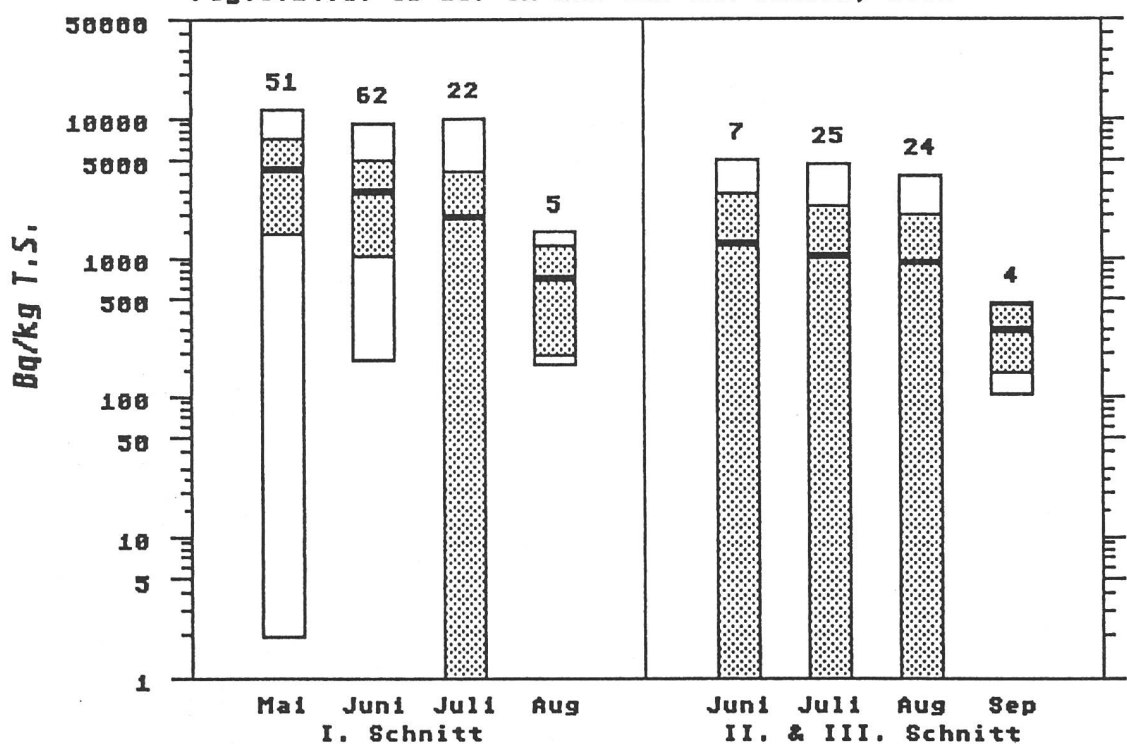


Fig.5.14.b: Cs-137 im Heu; ganze Schweiz 1986

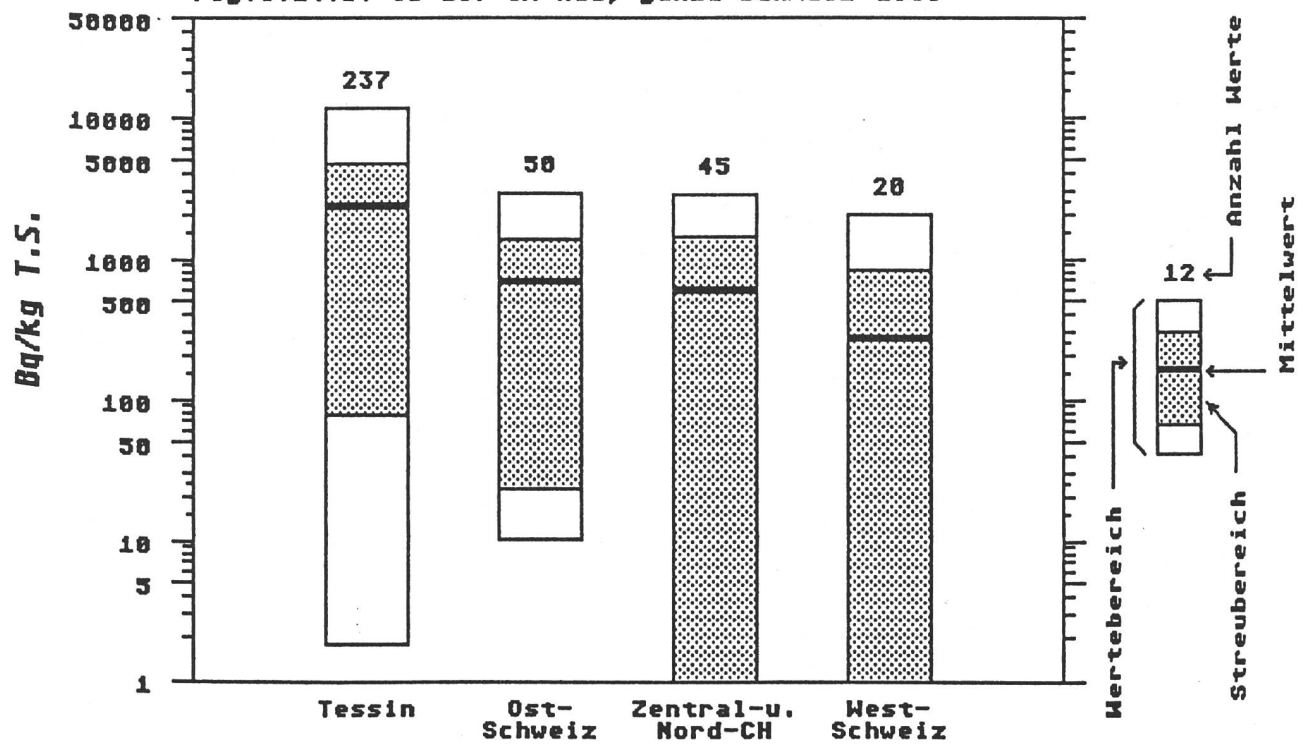


Fig.5.15.a: Cs-137 in Erdproben (Schicht: nominell 0-5 cm) 1986

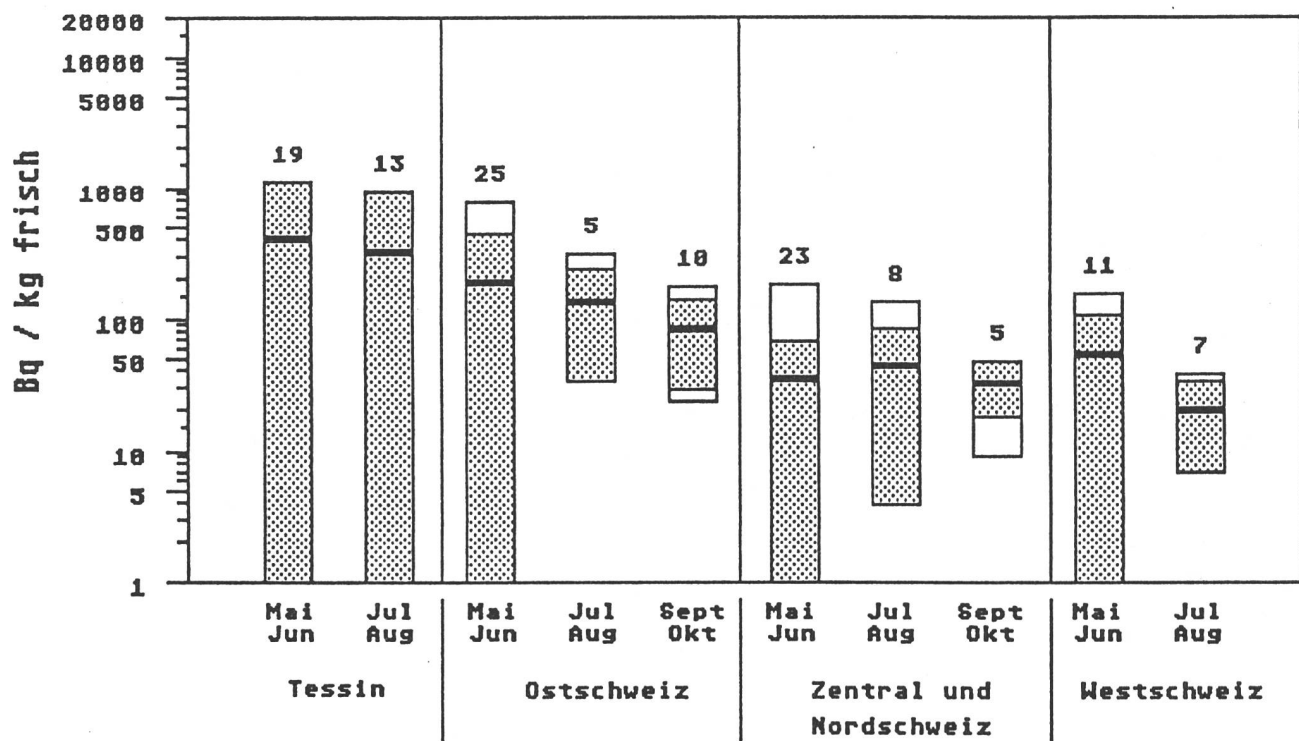


Fig.5.15.b: "altes" Cs-137 in Erdproben (ohne Tschernobyl-Anteil)
(Schicht: 0-5 cm) 1986

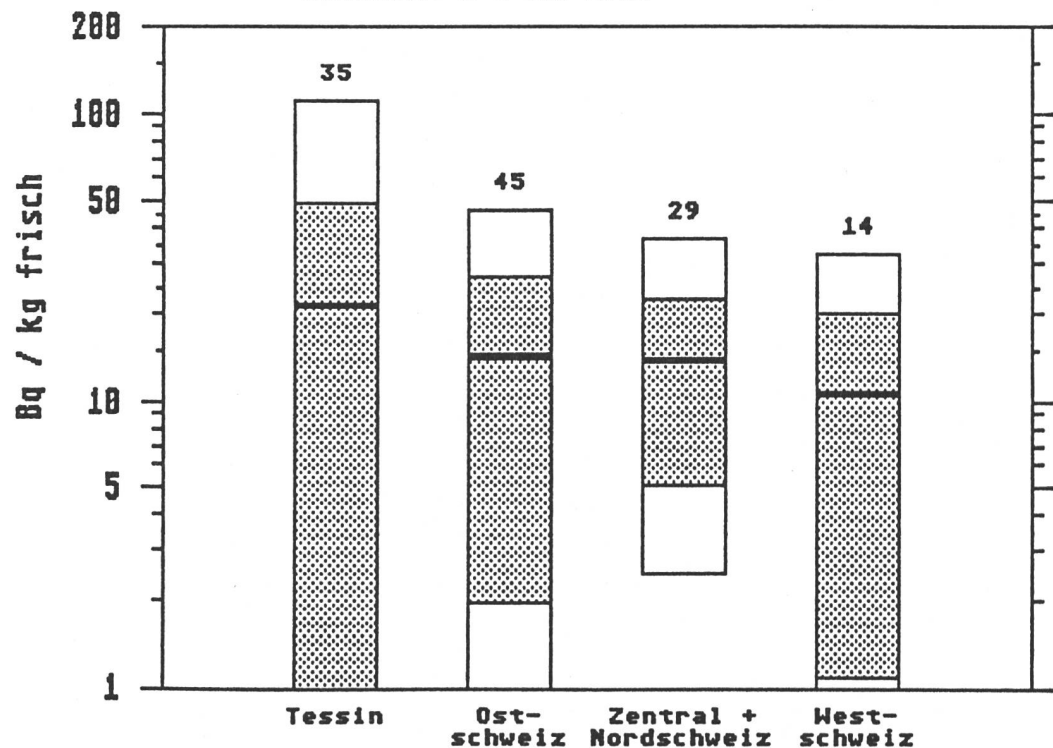


Fig.5.16.a: "in-situ" Messungen mit tragbarem Germanium-Detektor
Umgebung Beznau/EIR; Juni 1985

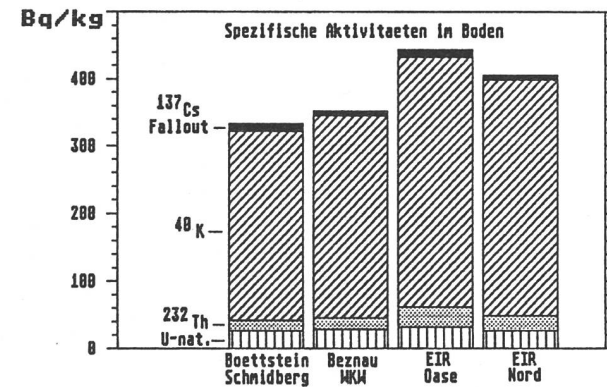
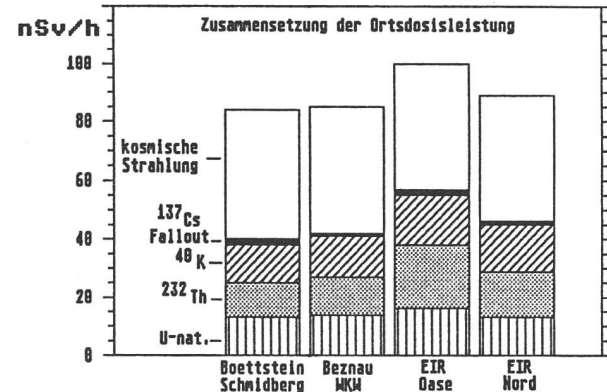


Fig.5.16.b: "in-situ" Messungen mit tragbarem Germanium-Detektor
Umgebung Beznau/EIR; Juli 1986

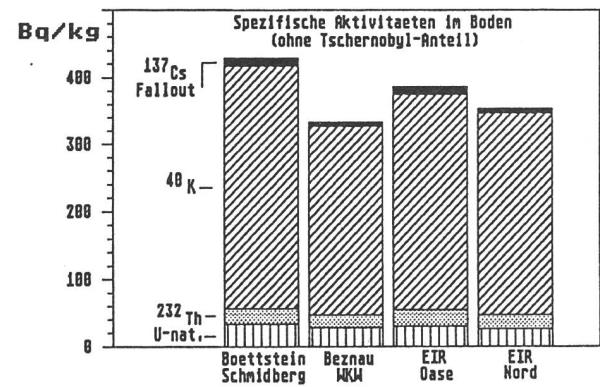
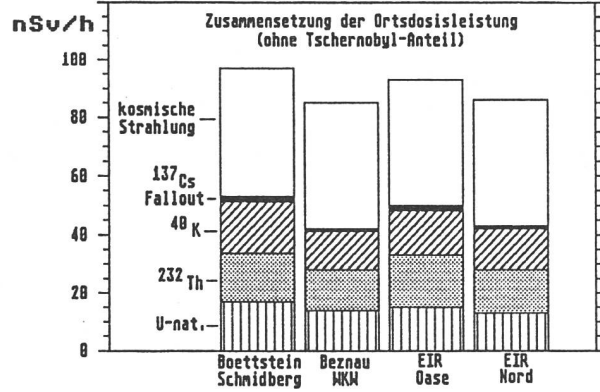


Fig.5.16.c: "in-situ" Messungen mit tragbarem Germanium-Detektor
Umgebung Beznau/EIR; Juli 1986

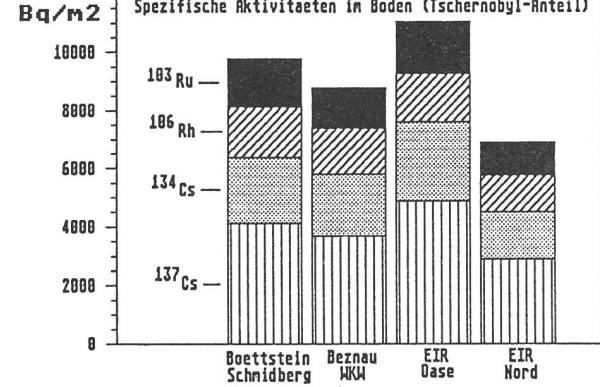
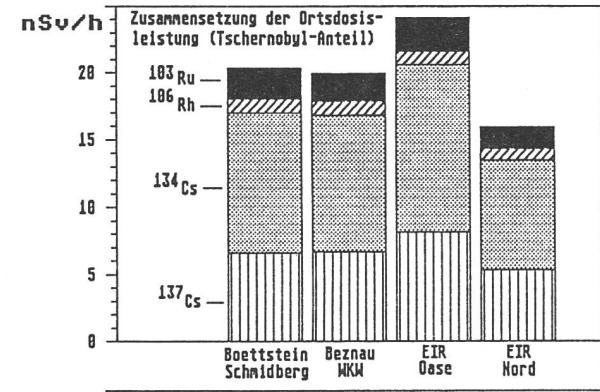


Fig.5.16.d:"in-situ" Messungen mit tragbarem Germanium-Detektor
Umgebung Leibstadt;Juni 1985

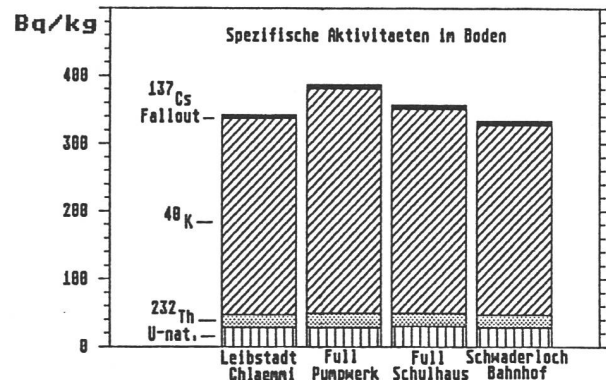
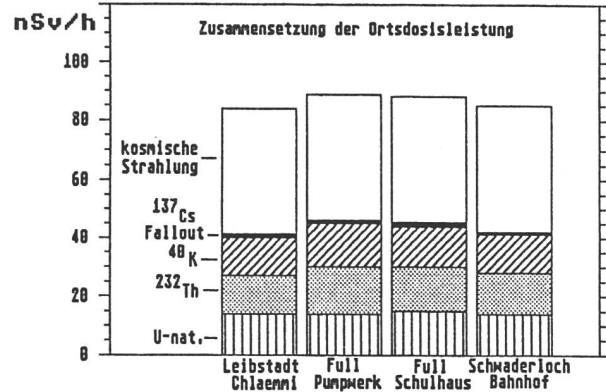


Fig.5.16.e:"in-situ" Messungen mit tragbarem Germanium-Detektor
Umgebung Leibstadt;Juli 1986

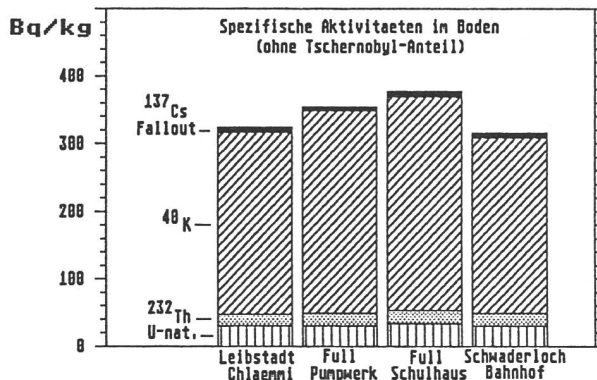
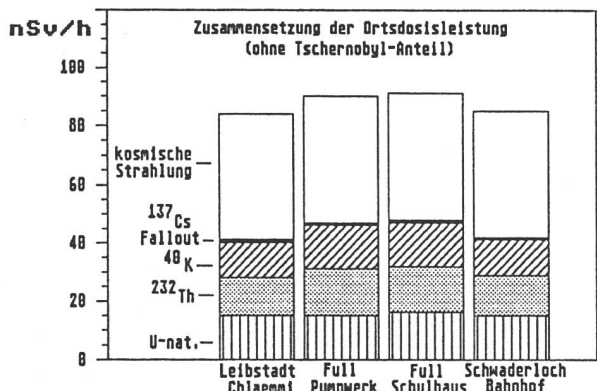


Fig.5.16.f:"in-situ" Messungen mit tragbarem Germanium-Detektor
Umgebung Leibstadt;Juli 1986

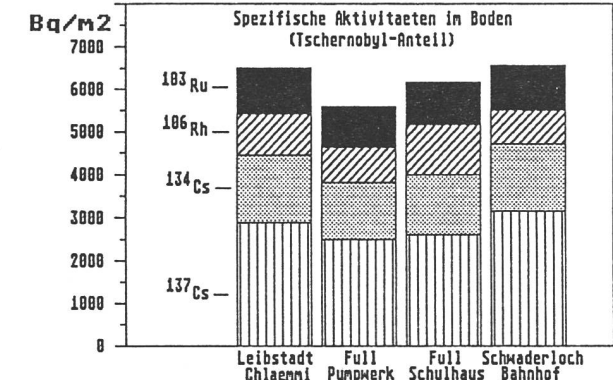
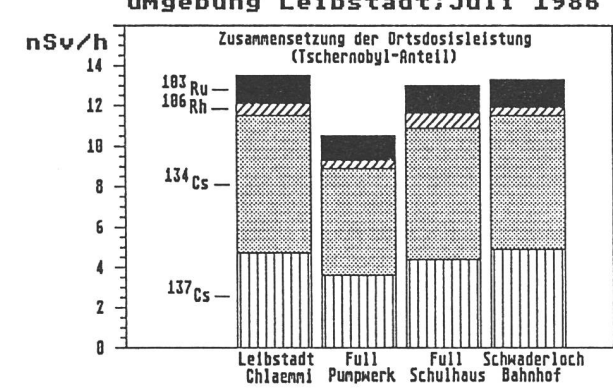


Fig. 5.16.g:"in-situ" Messungen mit tragbarem Germanium-Detektor Umgebung Goesgen; August 1985

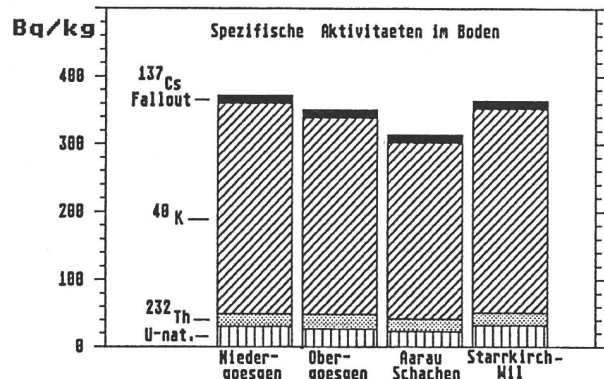
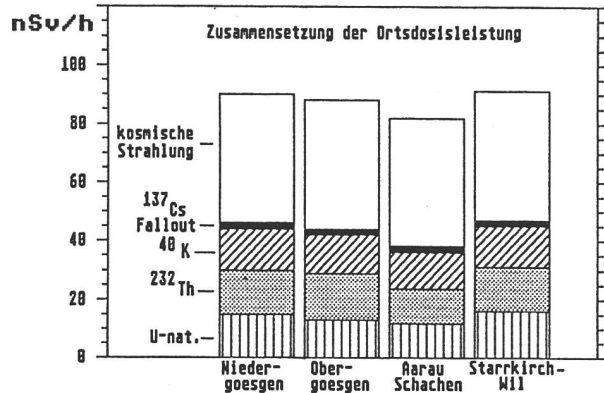


Fig. 5.16.h:"in-situ" Messungen mit tragbarem Germanium-Detektor Umgebung Goesgen; Juni 1986

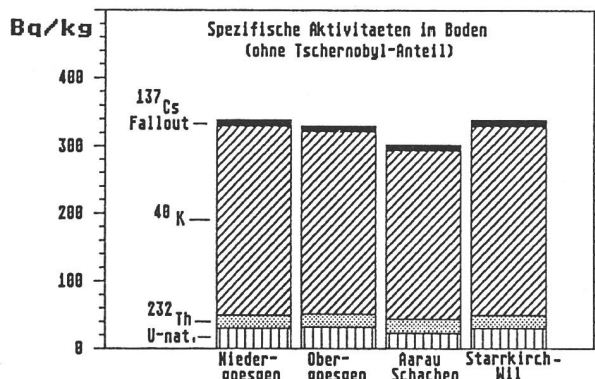
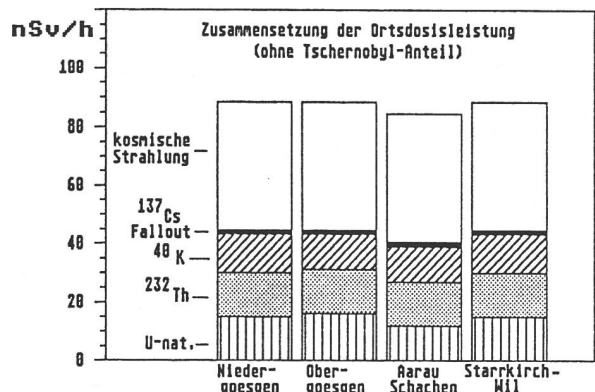


Fig. 5.16.i:"in-situ" Messungen mit tragbarem Germanium-Detektor Umgebung Goesgen; Juni 1986

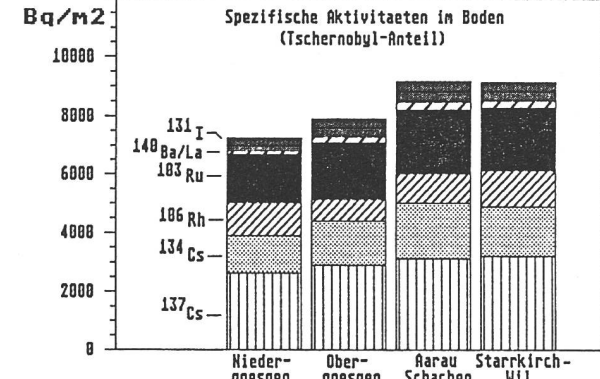
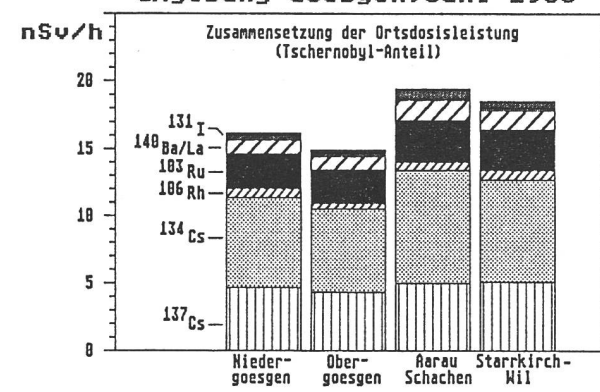


Fig.5.16.j:"in-situ" Messungen mit tragbarem Germanium-Detektor

Umgebung Muehleberg; Juli 1985

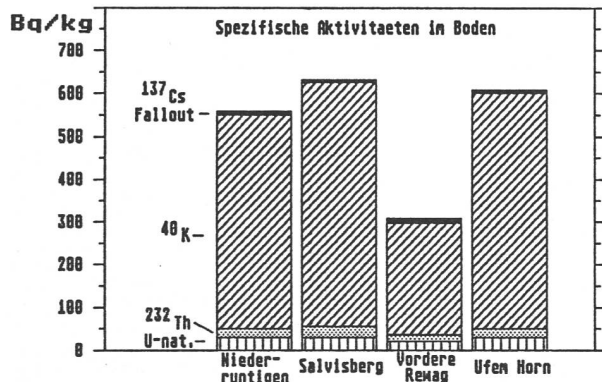
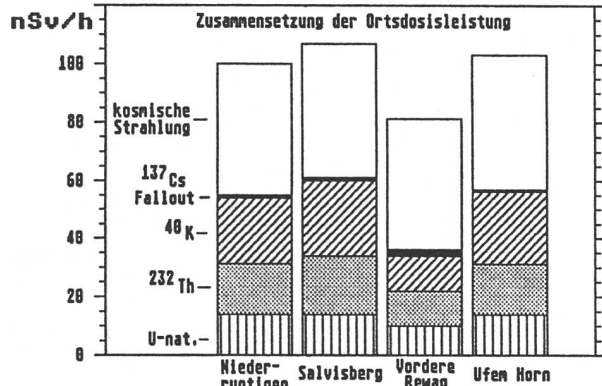


Fig.5.16.k:"in-situ" Messungen mit tragbarem Germanium-Detektor

Umgebung Muehleberg; Juni 1986

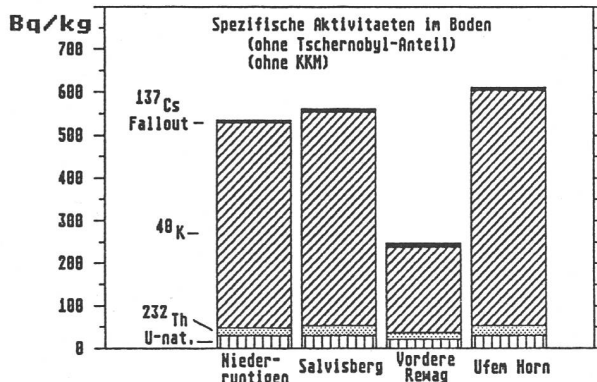
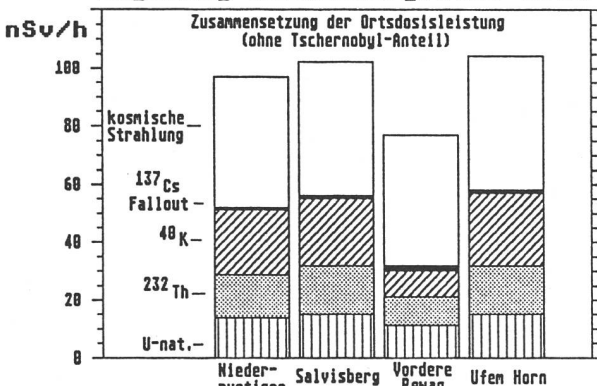


Fig.5.16.l:"in-situ" Messungen mit tragbarem Germanium-Detektor

Umgebung Muehleberg; Juni 1986

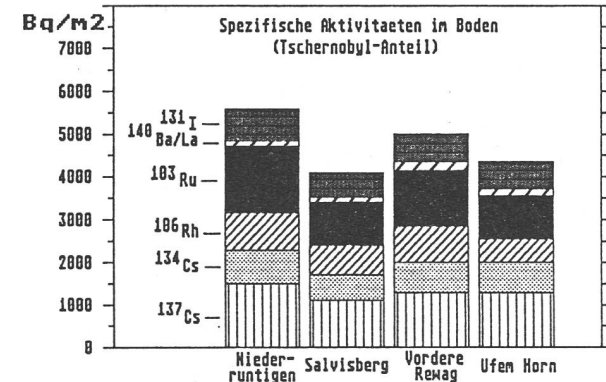
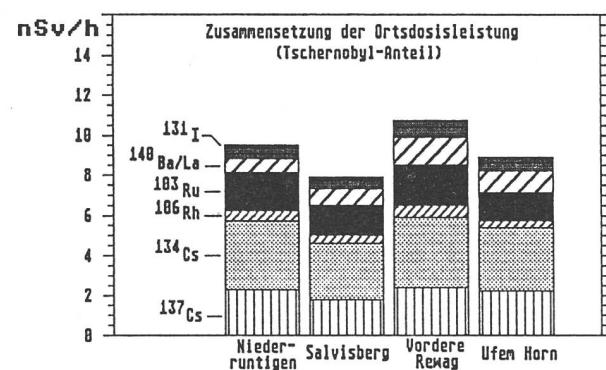


Fig.5.16.m: "in-situ"-Messungen mit tragbarem Germanium-Detektor
Umgebung Muehleberg; 1986

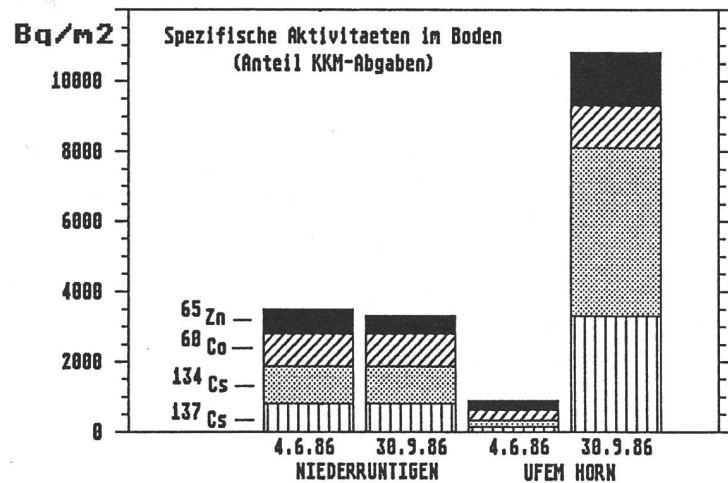
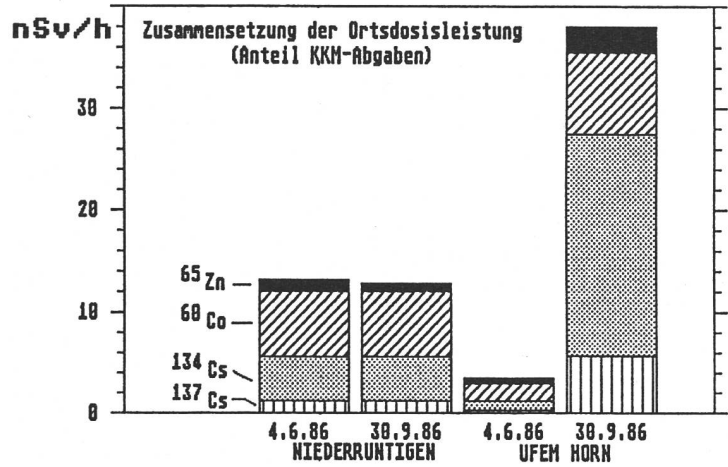


Fig. 5.16.n: "in-situ"
Messungen mit tragbarem
Germanium-Detektor im
Jura; Mai 1986

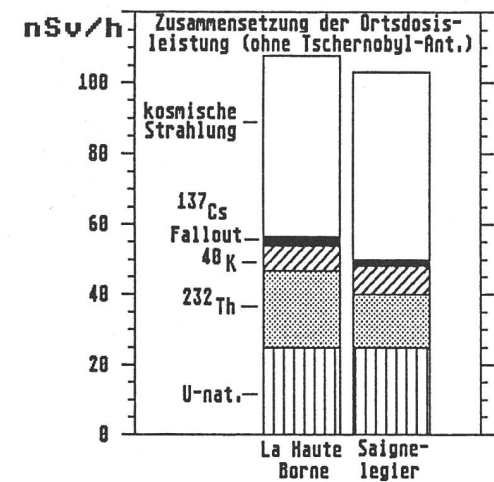
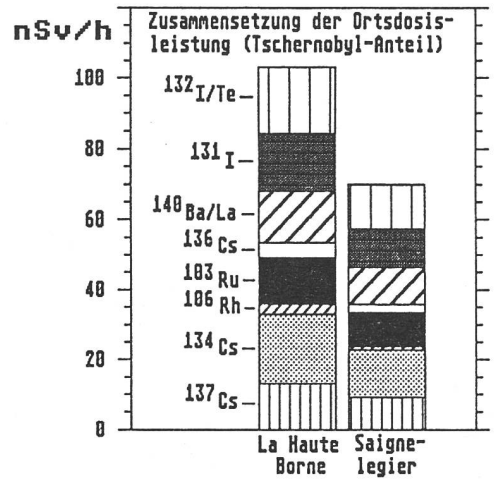


Fig. 5.16.o: "in-situ"
Messungen mit tragbarem
Germanium-Detektor im
Jura; Mai 1986



The chart displays the specific activities of different radionuclides in soil samples from two locations. The y-axis represents activity in Bq/kg, ranging from 0 to 300. The x-axis lists the locations: La Haute-Borne and Saigne-legier. Four bars represent the contributions of different radionuclides: ^{137}Cs Fallout, ^{40}K , ^{232}Th , and U-nat. The total activity is the sum of these contributions.

Location	^{137}Cs Fallout (Bq/kg)	^{40}K (Bq/kg)	^{232}Th (Bq/kg)	U-nat. (Bq/kg)	Total (Bq/kg)
La Haute-Borne	~250	~10	~10	~10	~270
Saigne-legier	~250	~10	~10	~10	~270

Fig.5.16.p: "in-situ" Messungen
mit tragbarem Germanium-
Detektor in Magadino(TI)
Mai, Juni, Juli 1986

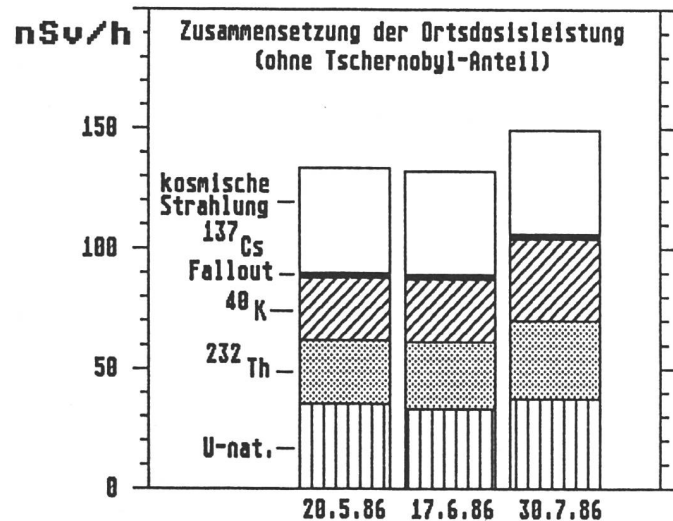
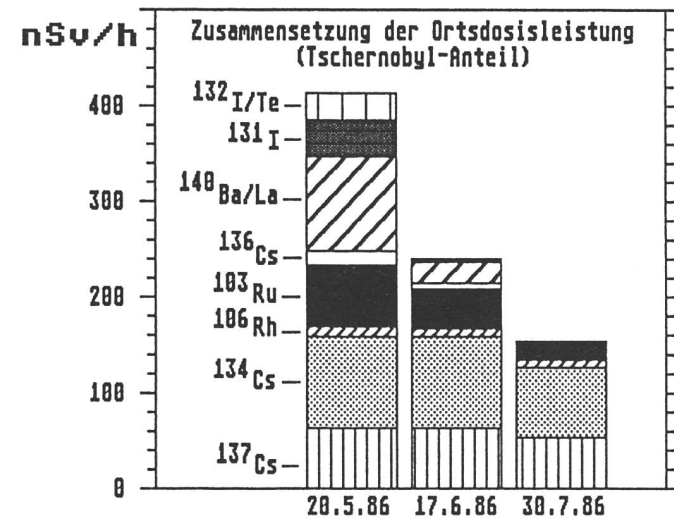


Fig.5.16.q:"in-situ" Messungen
mit tragbarem Germanium-
Detektor in Magadino(TI)
Mai, Juni, Juli 1986



Datum	^{137}Cs Fallout (Bq/kg)	^{40}K (Bq/kg)	^{232}Th (Bq/kg)	U-nat. (Bq/kg)
29.5.86	~680	~680	~10	~10
17.6.86	~680	~680	~10	~10
30.7.86	~880	~680	~10	~10

Date	$^{132}\text{I}/\text{Te}$	^{131}I	$^{140}\text{Ba}/\text{La}$	^{136}Cs	^{103}Ru	^{106}Rh	^{134}Cs	^{137}Cs
28.5.86	~150,000	~10,000	~5,000	~10,000	~10,000	~10,000	~10,000	~10,000
17.6.86	~100,000	~10,000	~5,000	~10,000	~10,000	~10,000	~10,000	~10,000
30.7.86	~60,000	~10,000	~5,000	~10,000	~10,000	~10,000	~10,000	~10,000

Fig. 5.16.r: "in-situ" Messungen mit tragbarem Germanium-Detektor in Breganzona(TI) Mai, Juni, Juli 1986

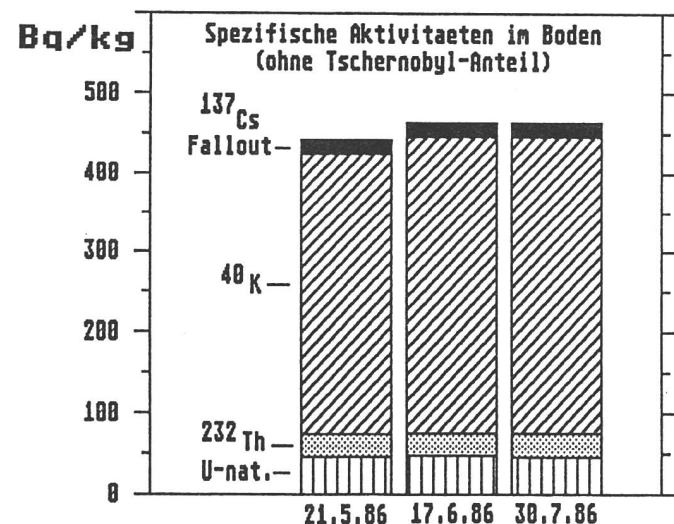
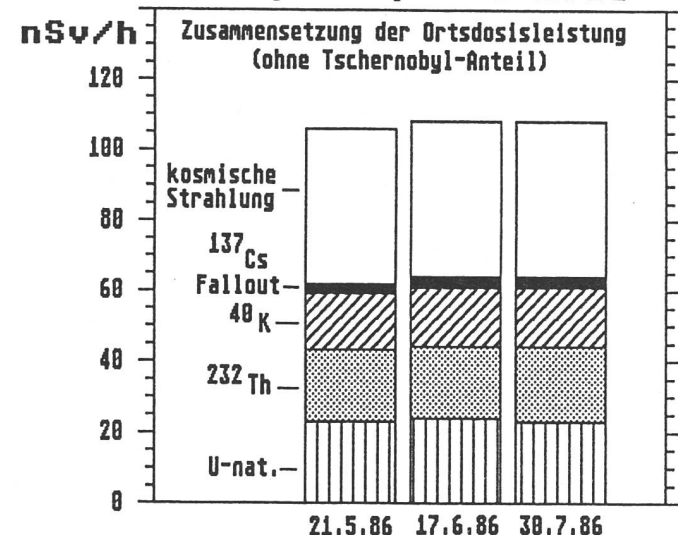


Fig. 5.16.s: "in-situ" Messungen mit tragbarem Germanium-Detektor in Breganzona(TI) Mai, Juni, Juli 1986

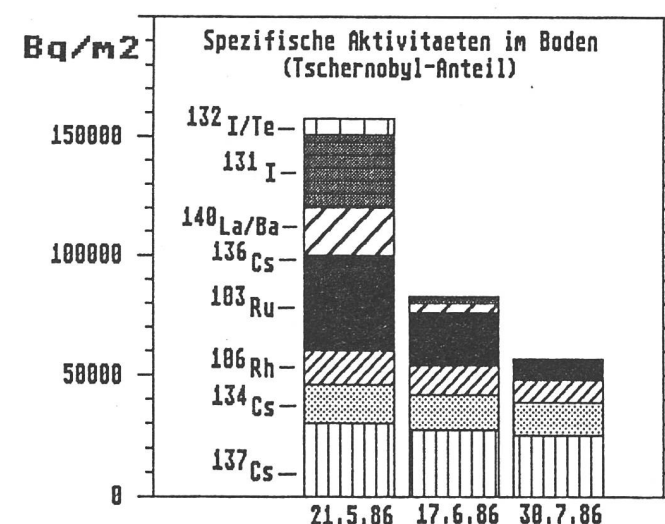
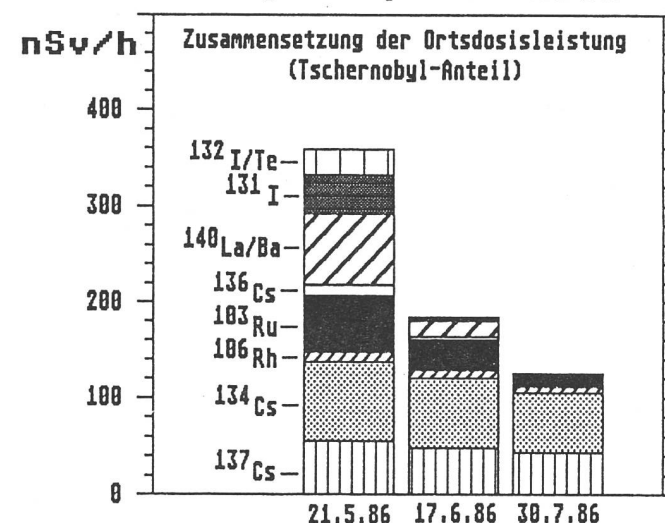


Fig. 5.16.t:"in-situ" Messungen mit tragbarem Germanium-Detektor in Caslano(TI)
Mai, Juni, Juli 1986

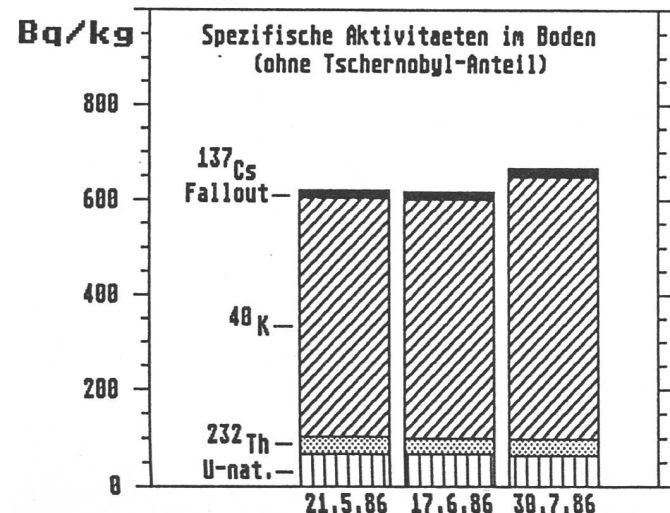
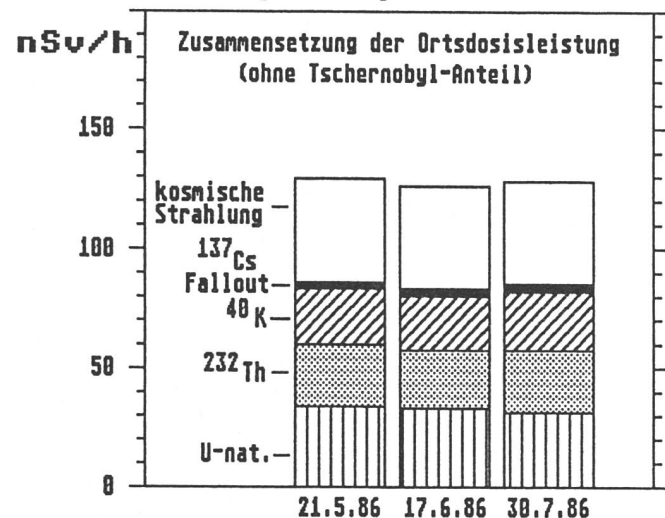


Fig. 5.16.u:"in-situ" Messungen mit tragbarem Germanium-Detektor in Caslano(TI)
Mai, Juni, Juli 1986

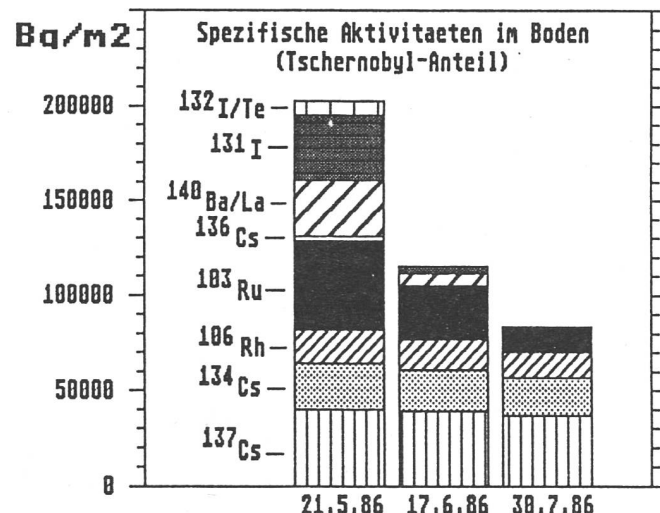
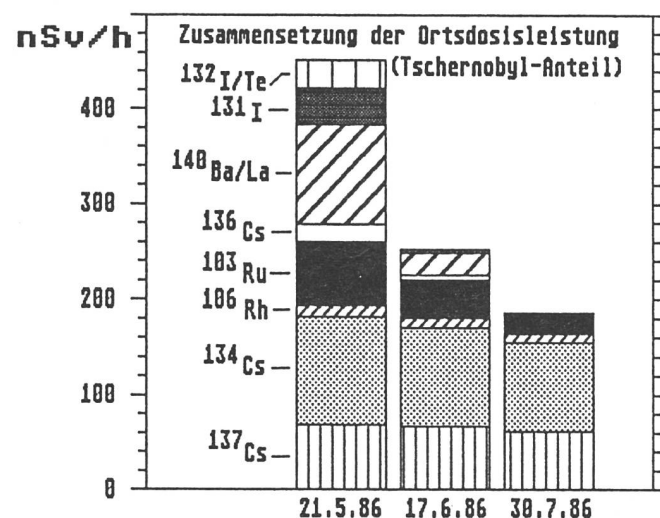


Fig. 5.16.v:"in-situ" Messungen mit tragbarem Germanium-Detektor in Genestrerio(TI) Mai, Juni, Juli 1986

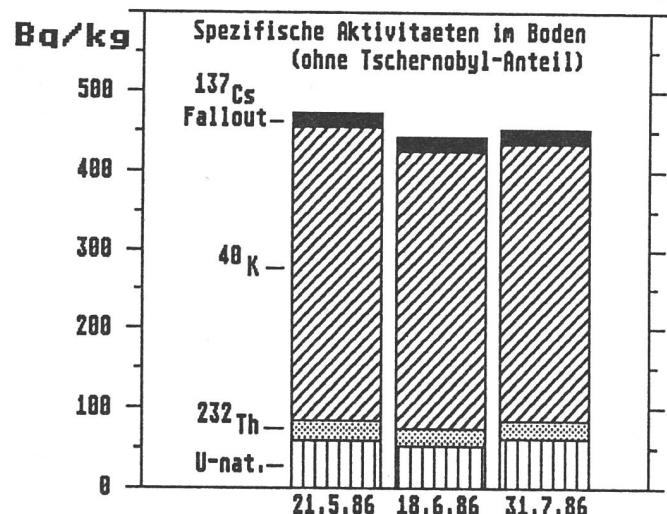
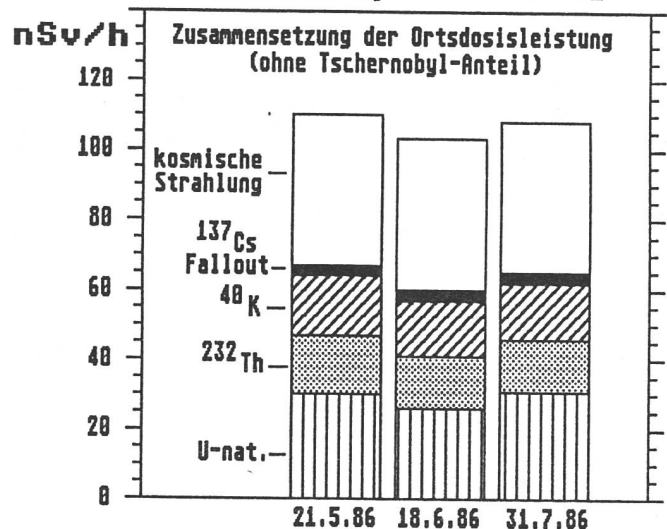


Fig. 5.16.w:"in-situ" Messungen mit tragbarem Germanium-Detektor in Genestrerio(TI) Mai, Juni, Juli 1986

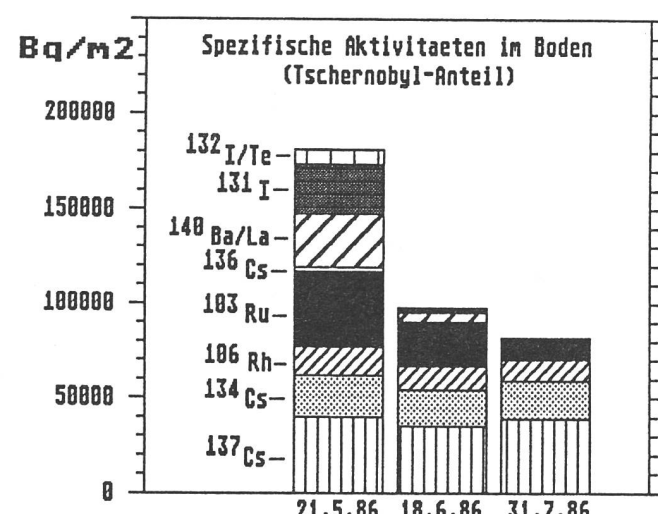
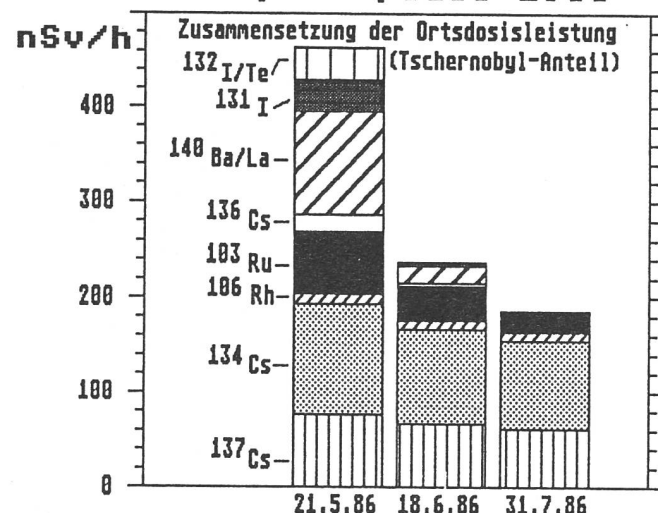
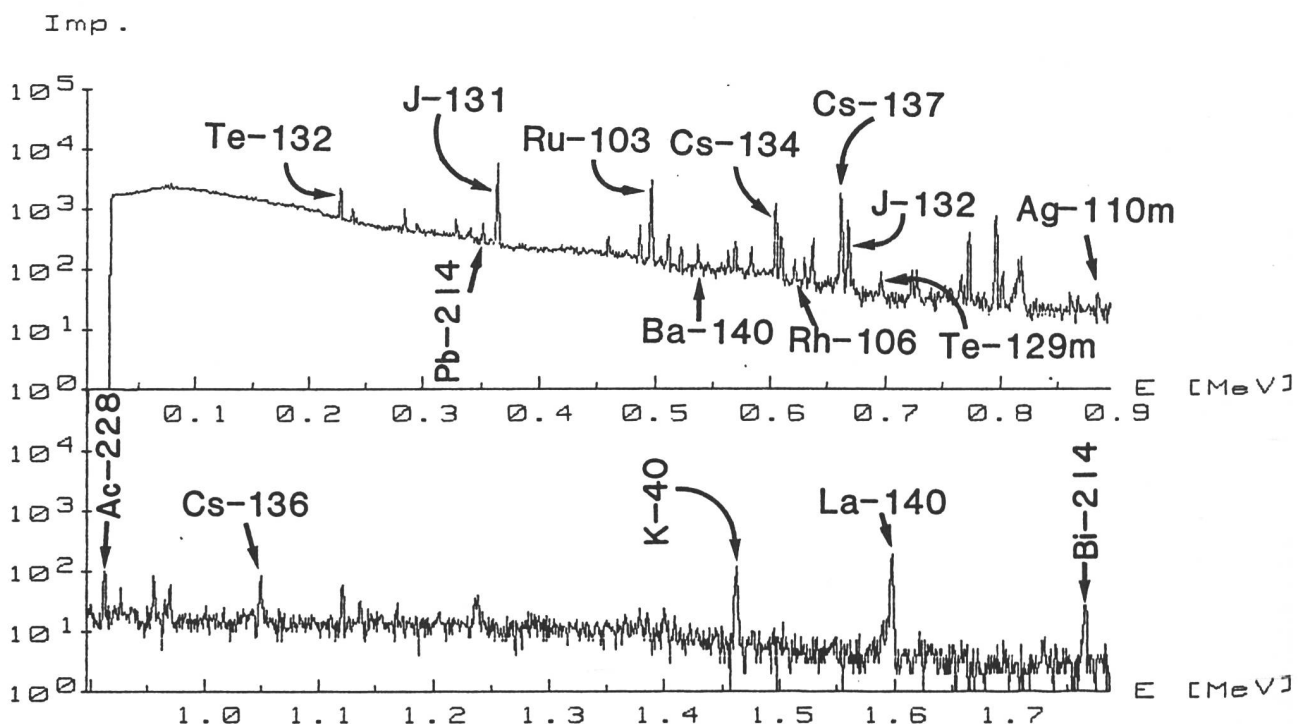


Fig. 5.16.x: In Situ-Gamma-Spektroskopie nach dem Unfall Tschernobyl.

LA HAUTE BORNE (JU) 15.5.86 2000 s



NIEDERRUNTINGEN (KKM) 3.6.86 10000 sec

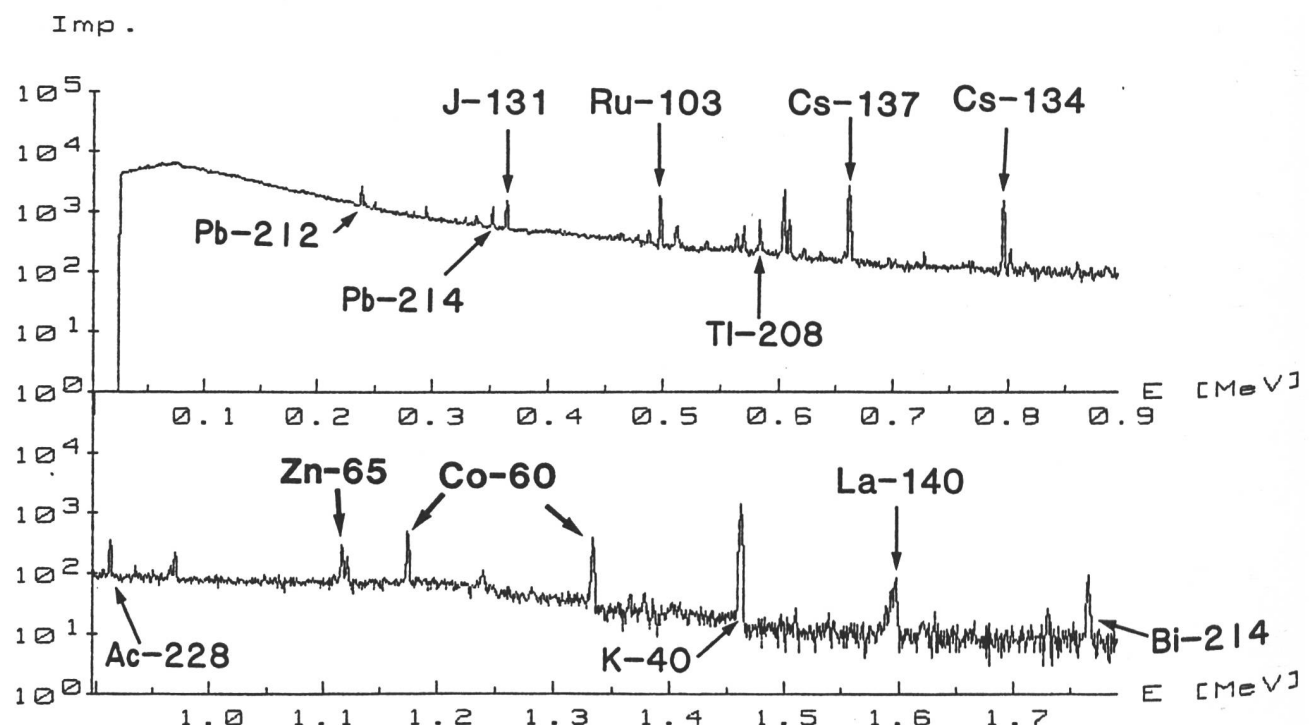


Fig.5.17.a: Cs-137-Konzentration im Bodensee

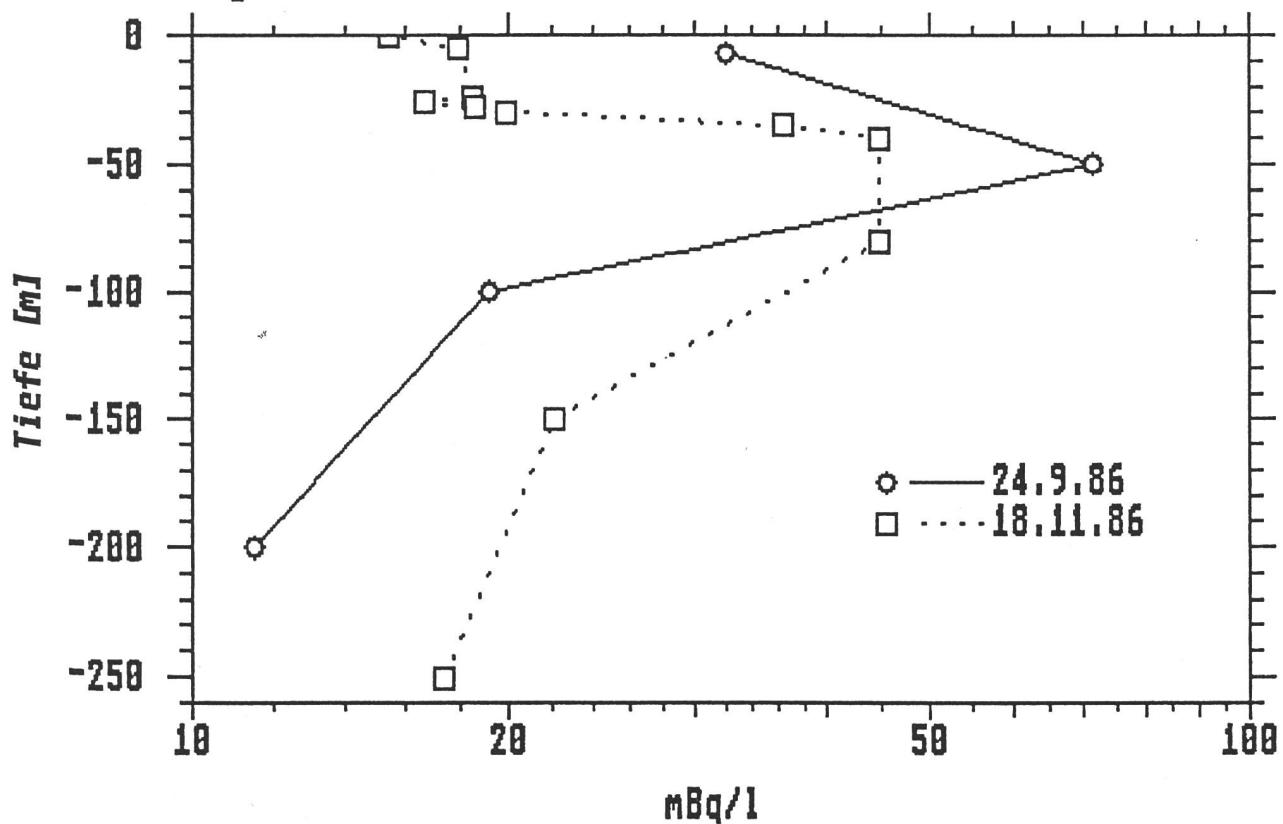


Fig.5.17.b: Cs-137-Konzentration im Sempachersee

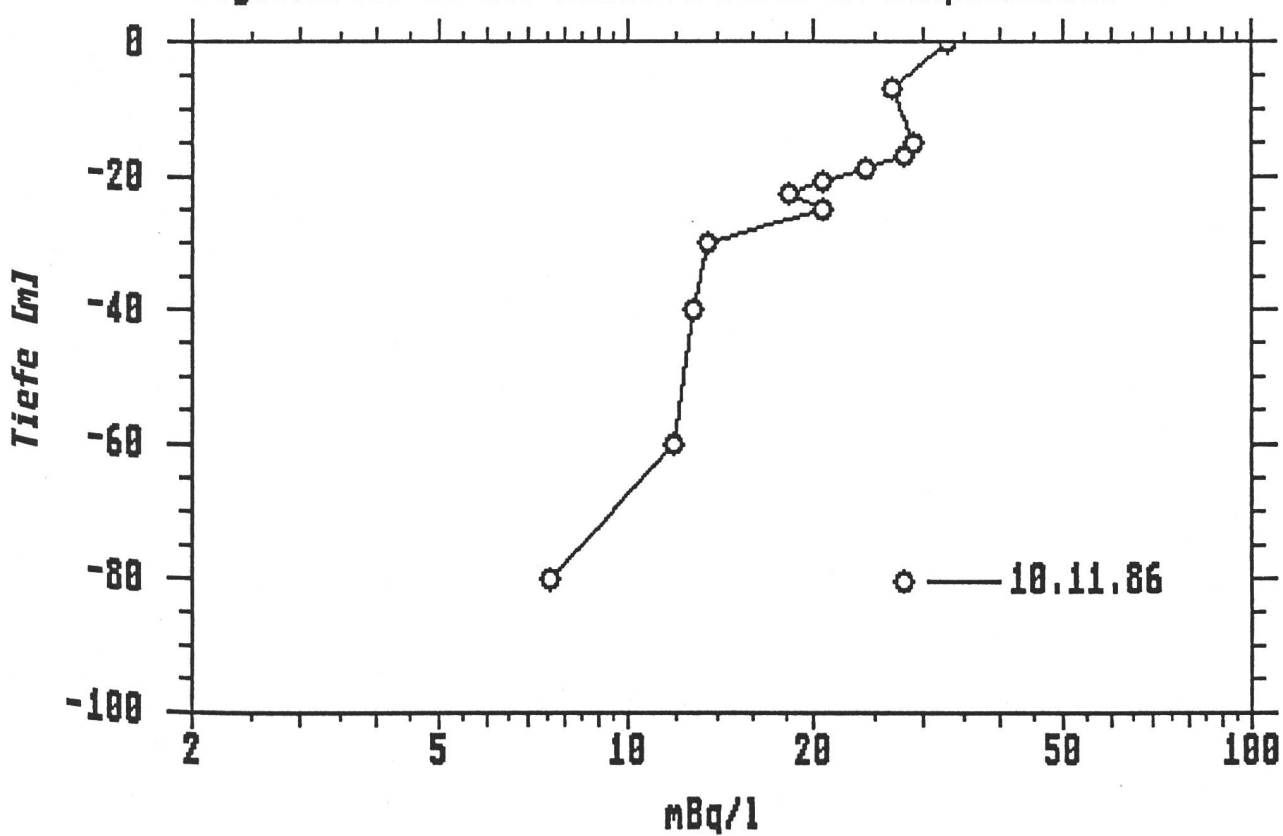


Fig. 5.17.c: Cs-137-Konzentration im Zürichsee

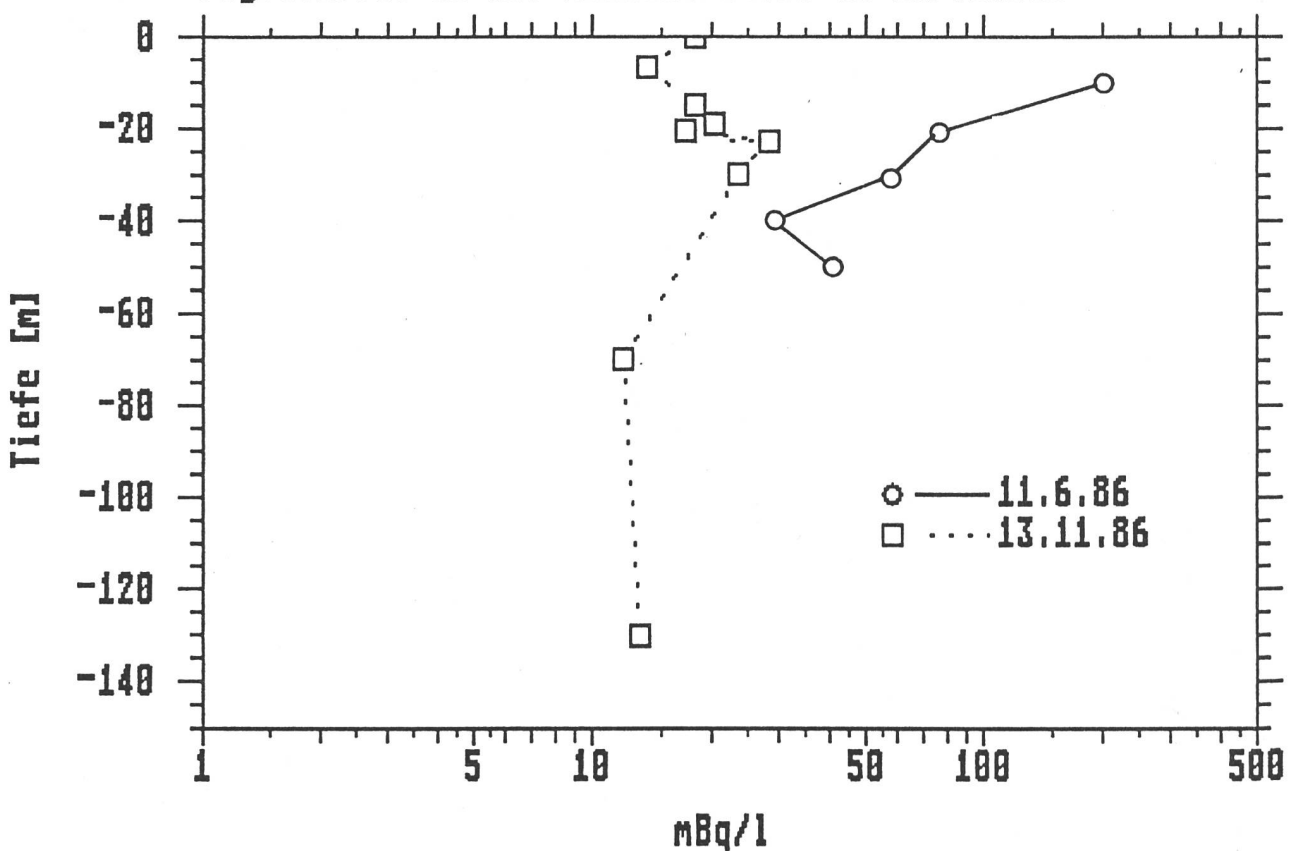


Fig. 5.17.d: Cs-137-Konzentration im Lüganersee

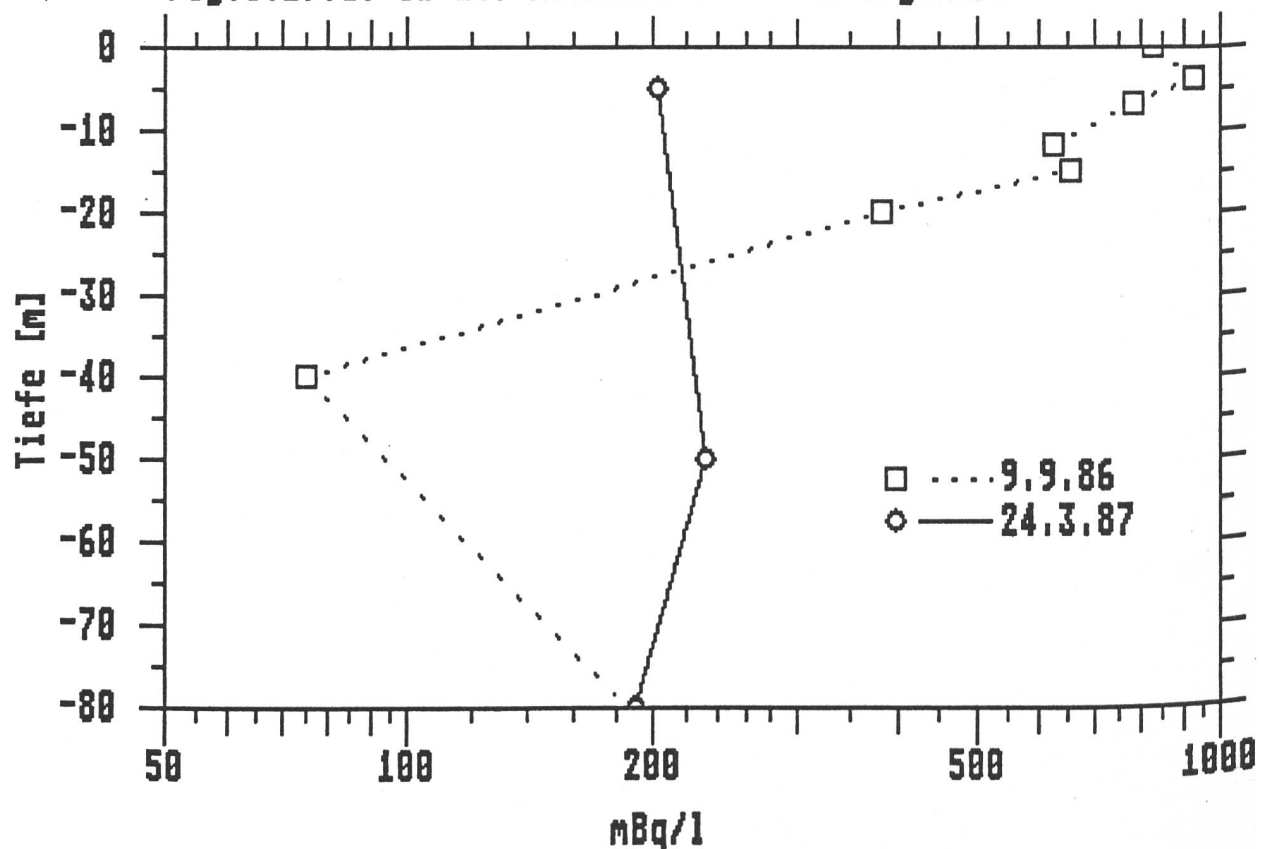


Fig.5.18.a.1: Cs-137 in der Kuhmilch des Tessins 1986/87

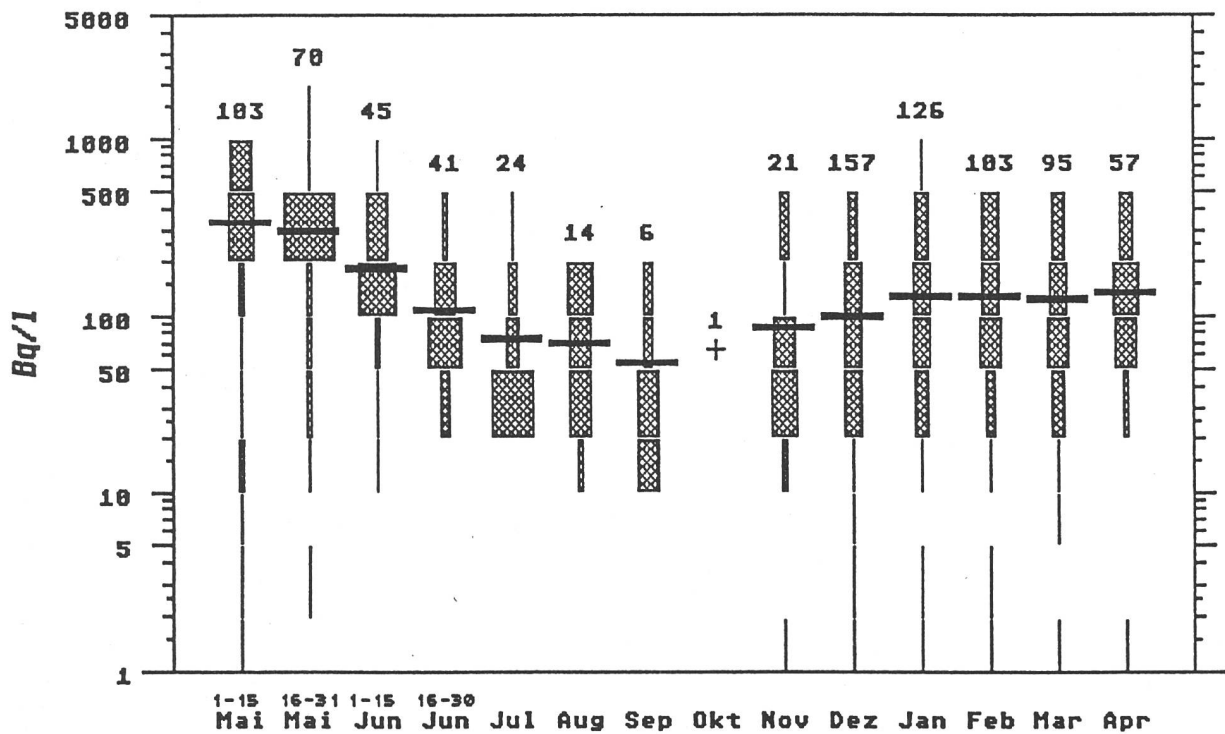


Fig.5.18.a.2: I-131 in der Kuhmilch des Tessins 1986

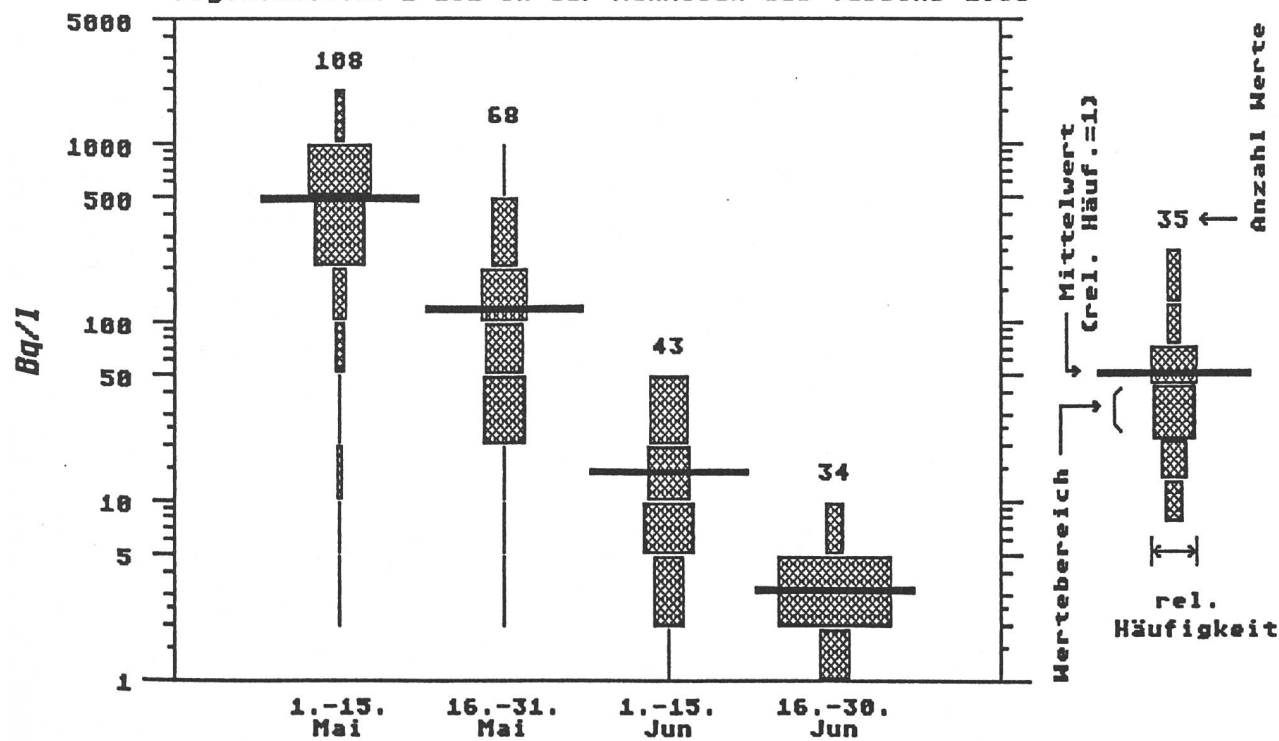


Fig.5.18.b.1: Cs-137 in der Kuhmilch der Ostschweiz 1986/87

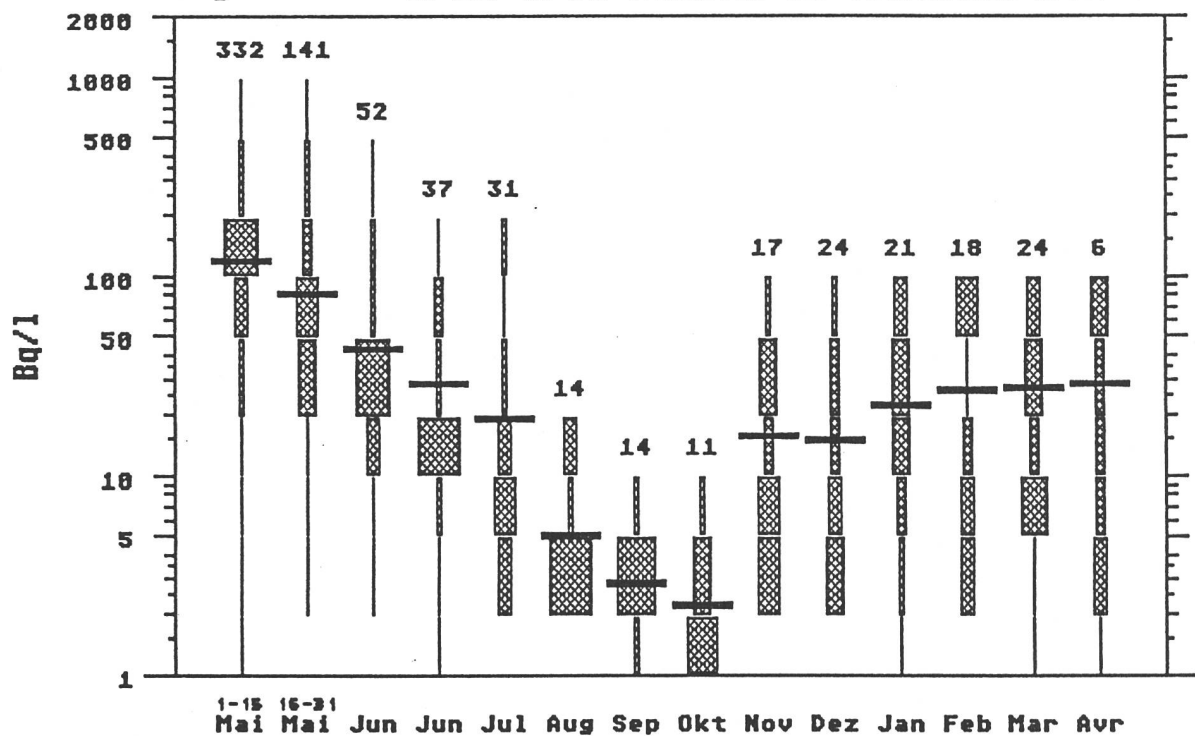


Fig.5.18.b.2: I-131 in der Kuhmilch der Ostschweiz 1986

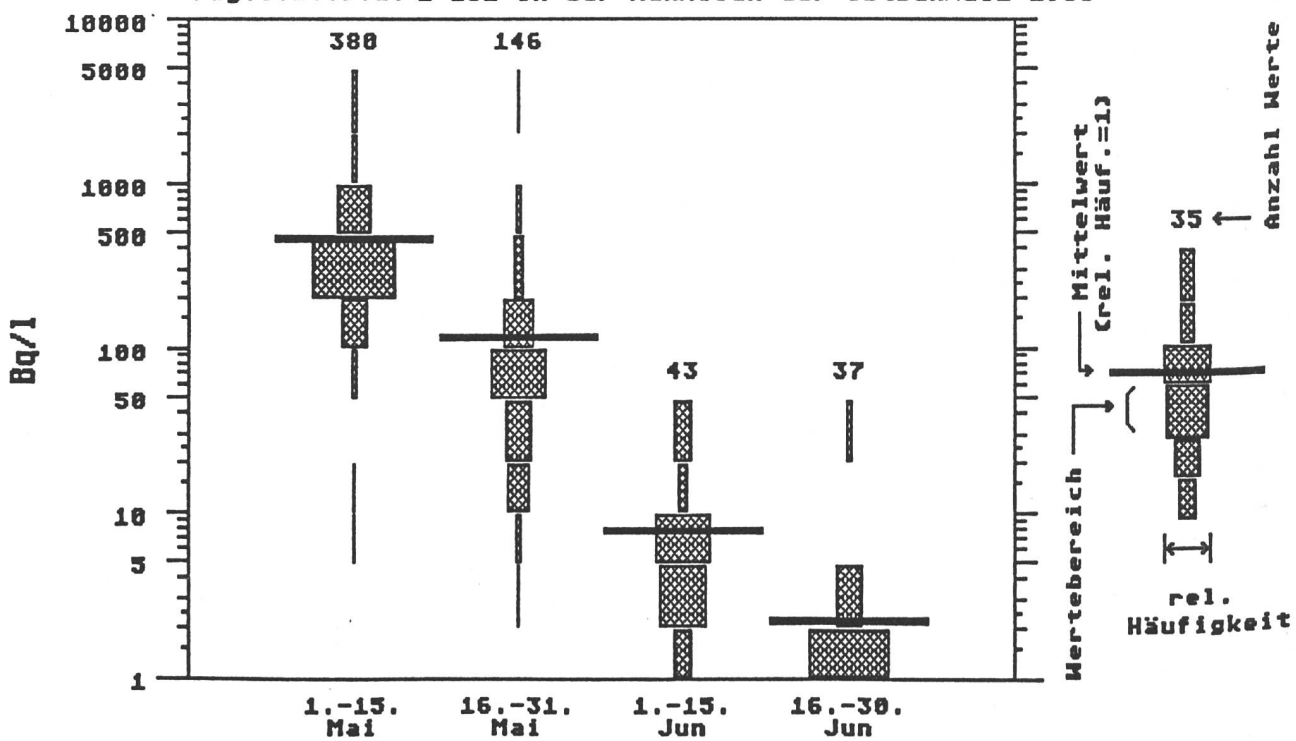


Fig.5.18.c.1: Cs-137 in der Kuhmilch der Zentral- und Nordschweiz 1986/87

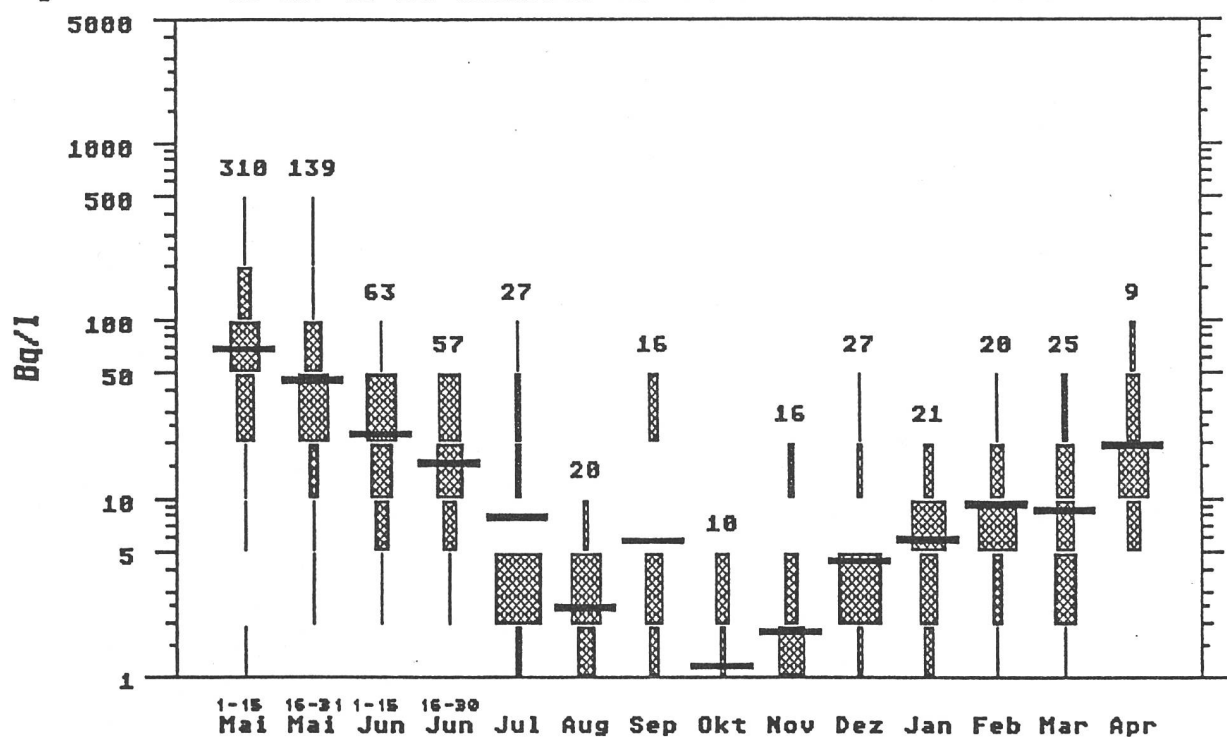


Fig.5.18.c.2: I-131 in der Kuhmilch der Zentral- und Nordschweiz 1986

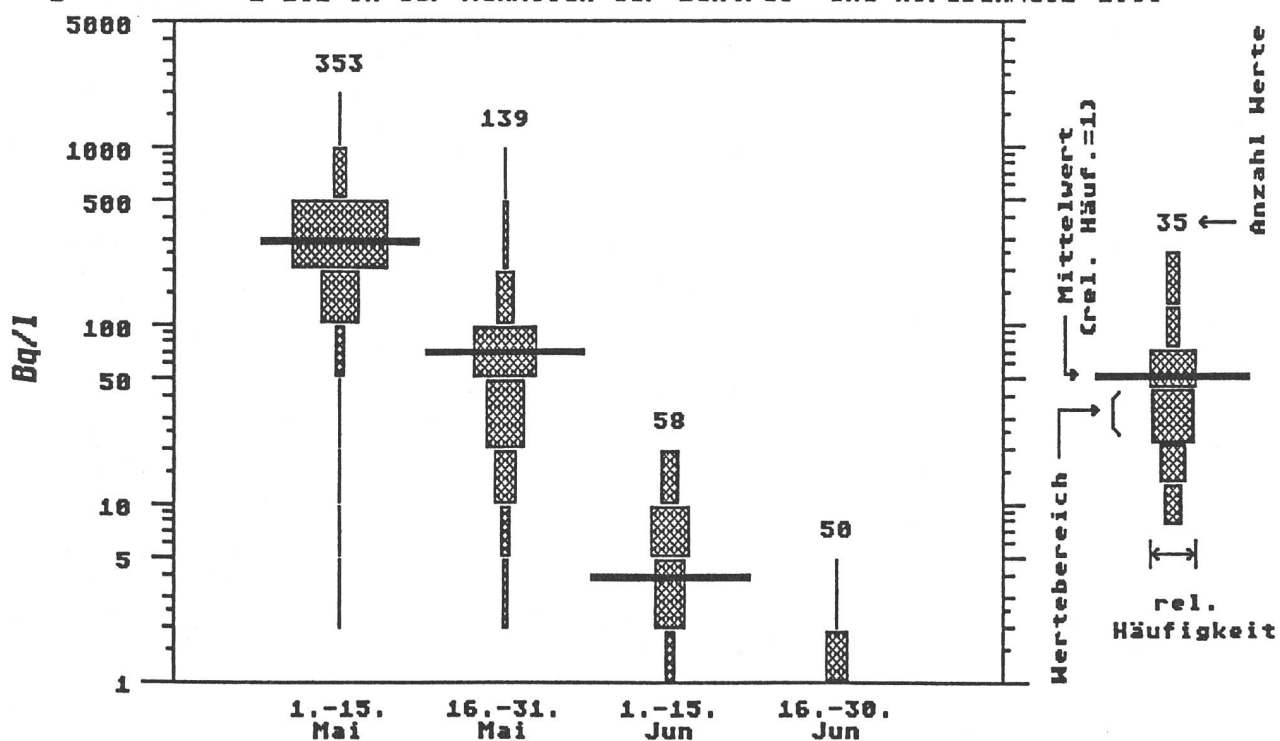


Fig.5.18.d.1: Cs-137 in der Kuhmilch der Westschweiz 1986/87

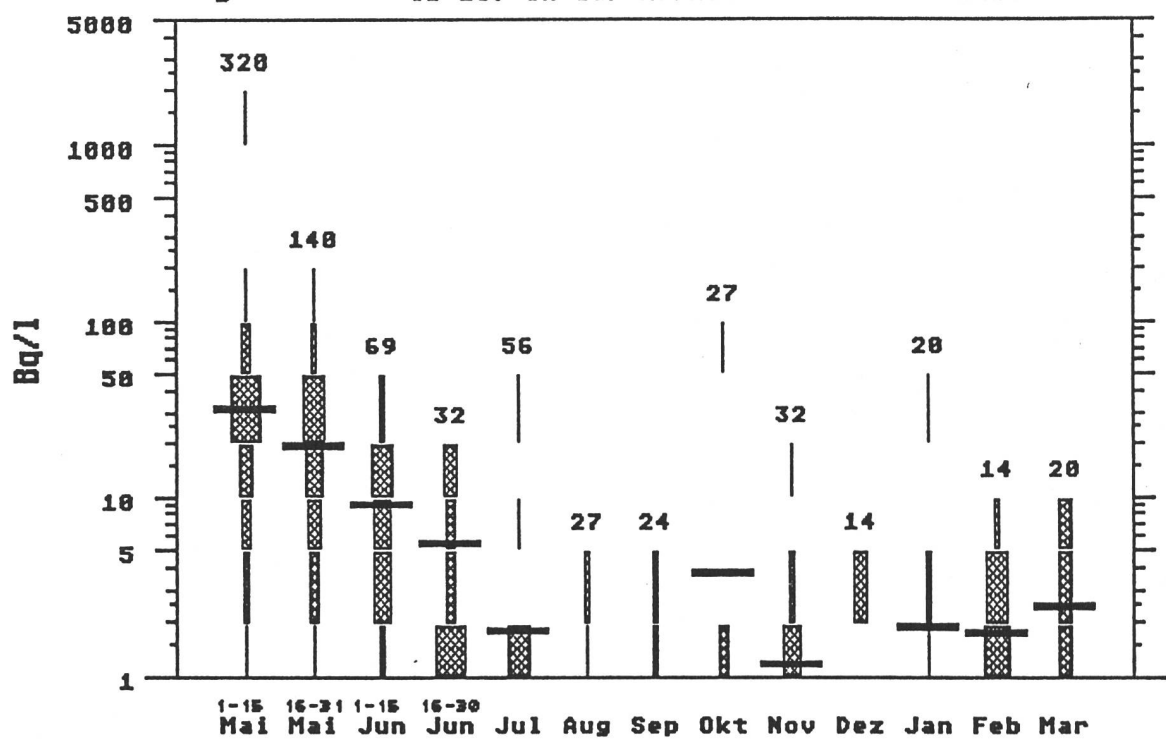


Fig.5.18.d.2: I-131 in der Kuhmilch der Westschweiz 1986

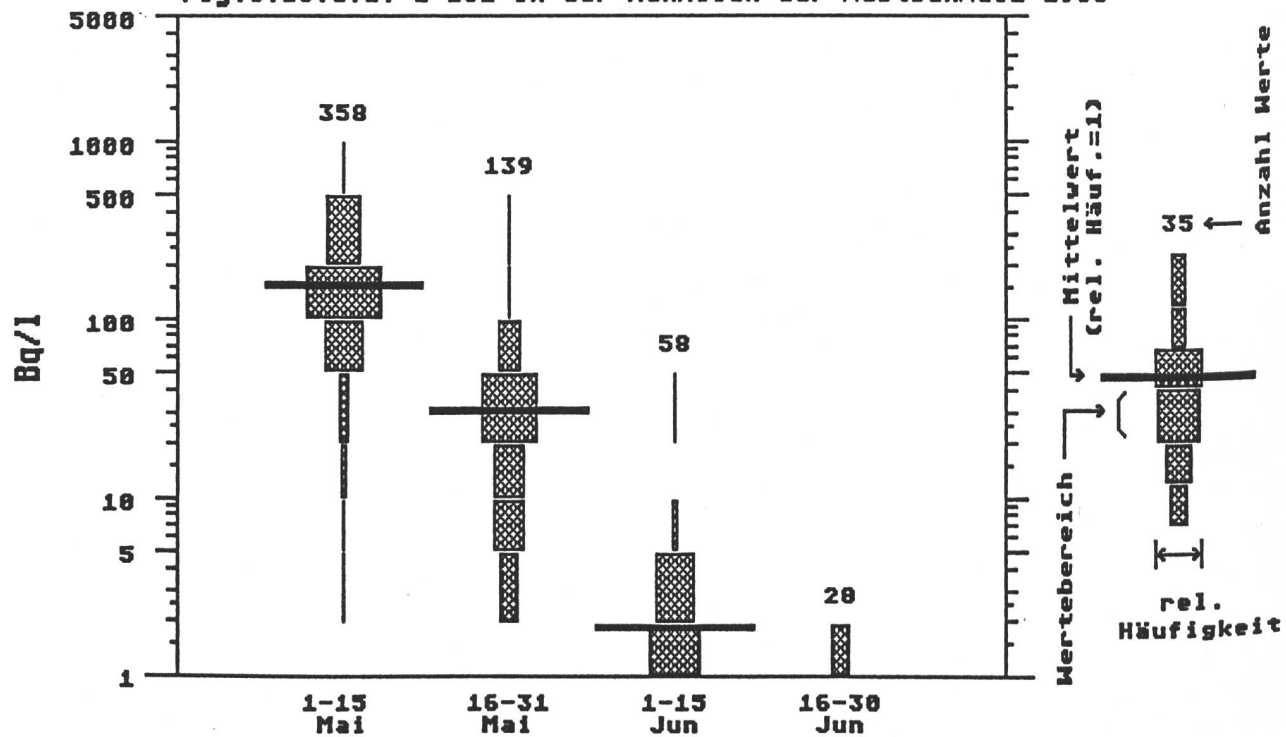


Fig.5.19.a: Cs-137 in Kuhmilch aus Graubünden; 1986 / 87

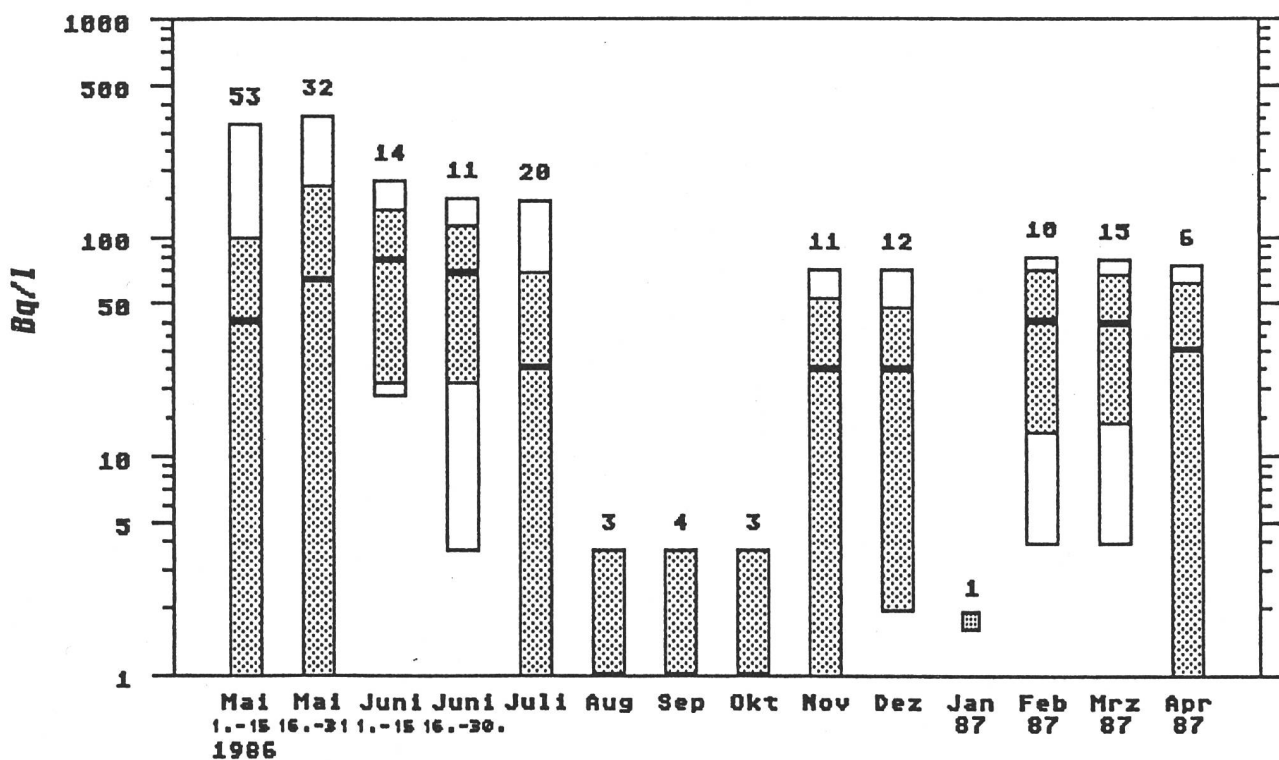


Fig.5.19.b: J-131 in Kuhmilch aus Graubünden; 1986

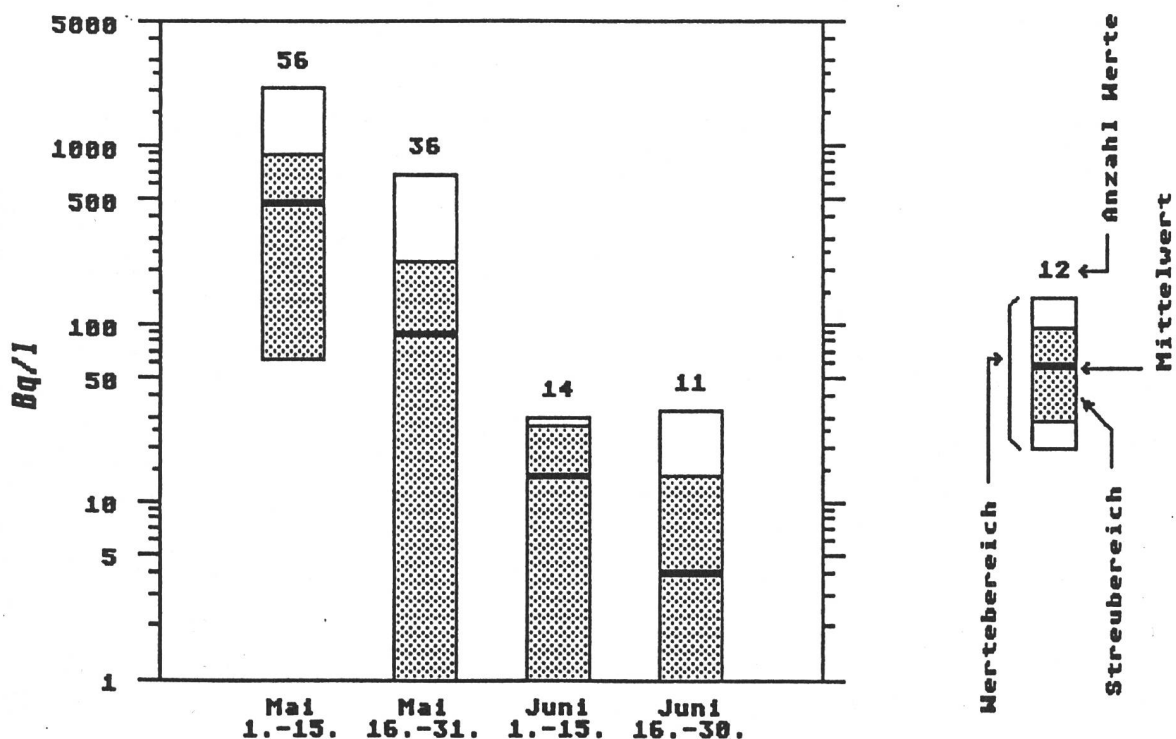


Fig. 5.19.c: Cs-137 in Kuhmilch Nord-West-Schweiz (BL,BS,SO); 1986/87

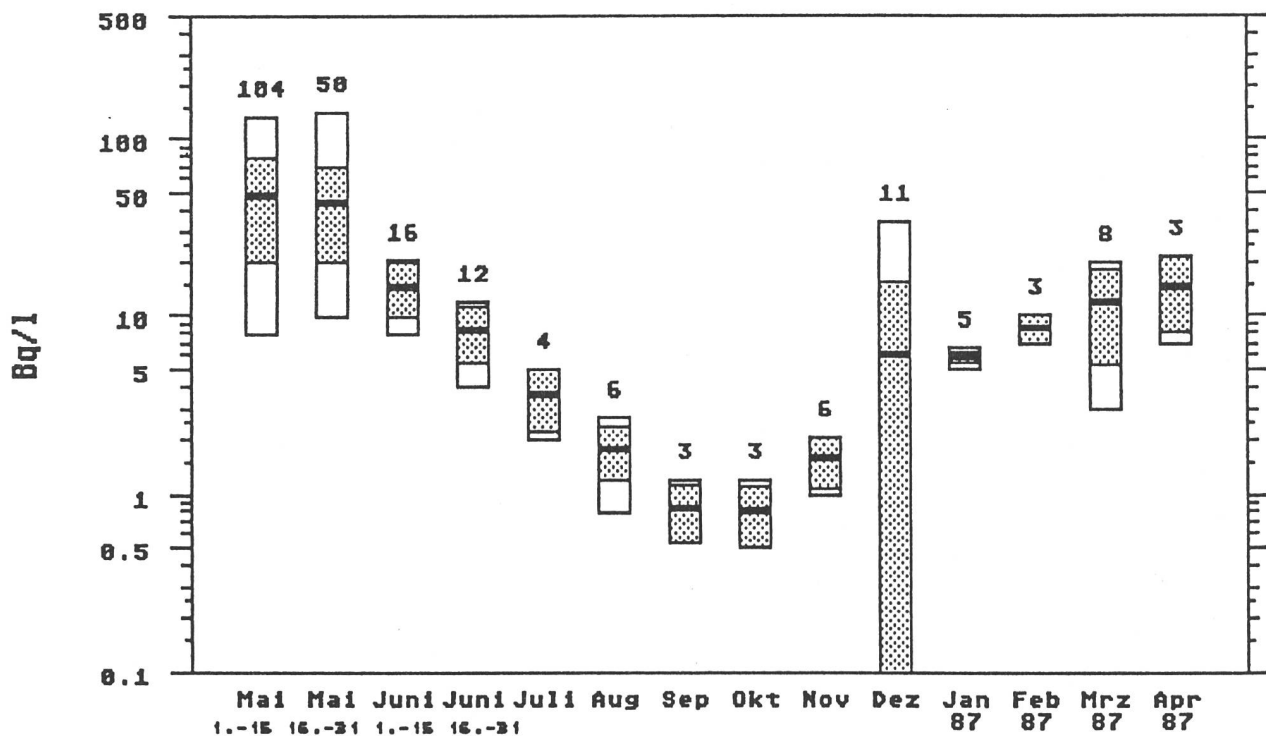


Fig. 5.19.d: J-131 in Kuhmilch Nord-West-Schweiz (BL,BS,SO); 1986

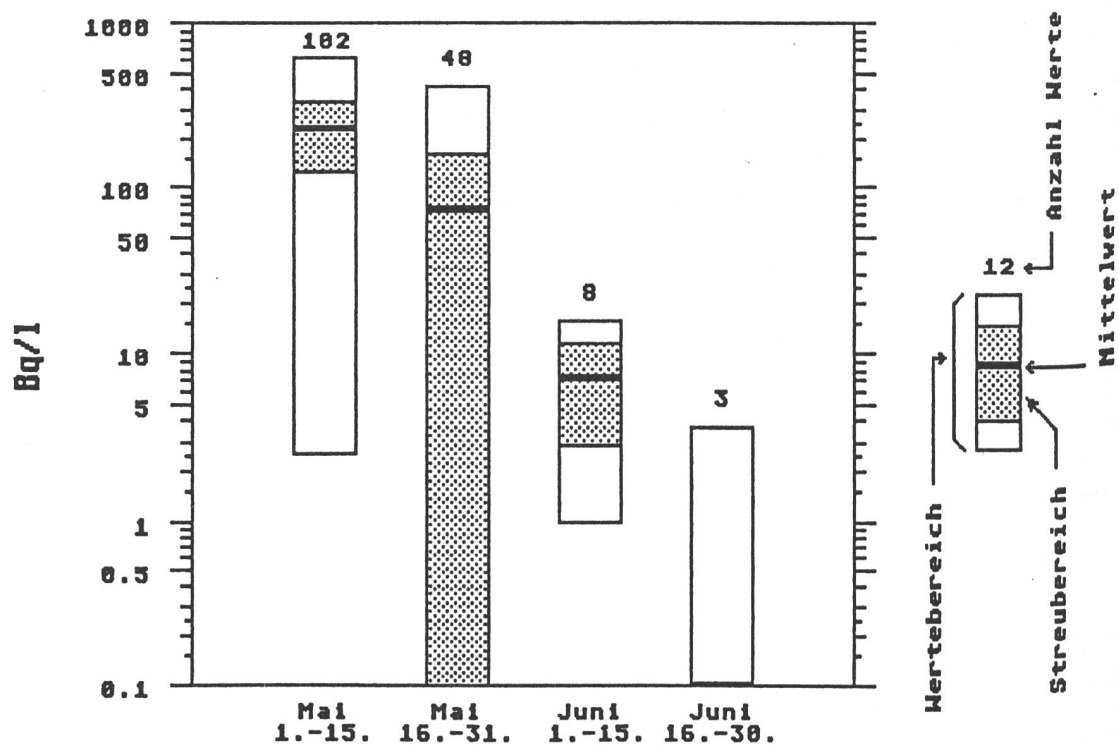
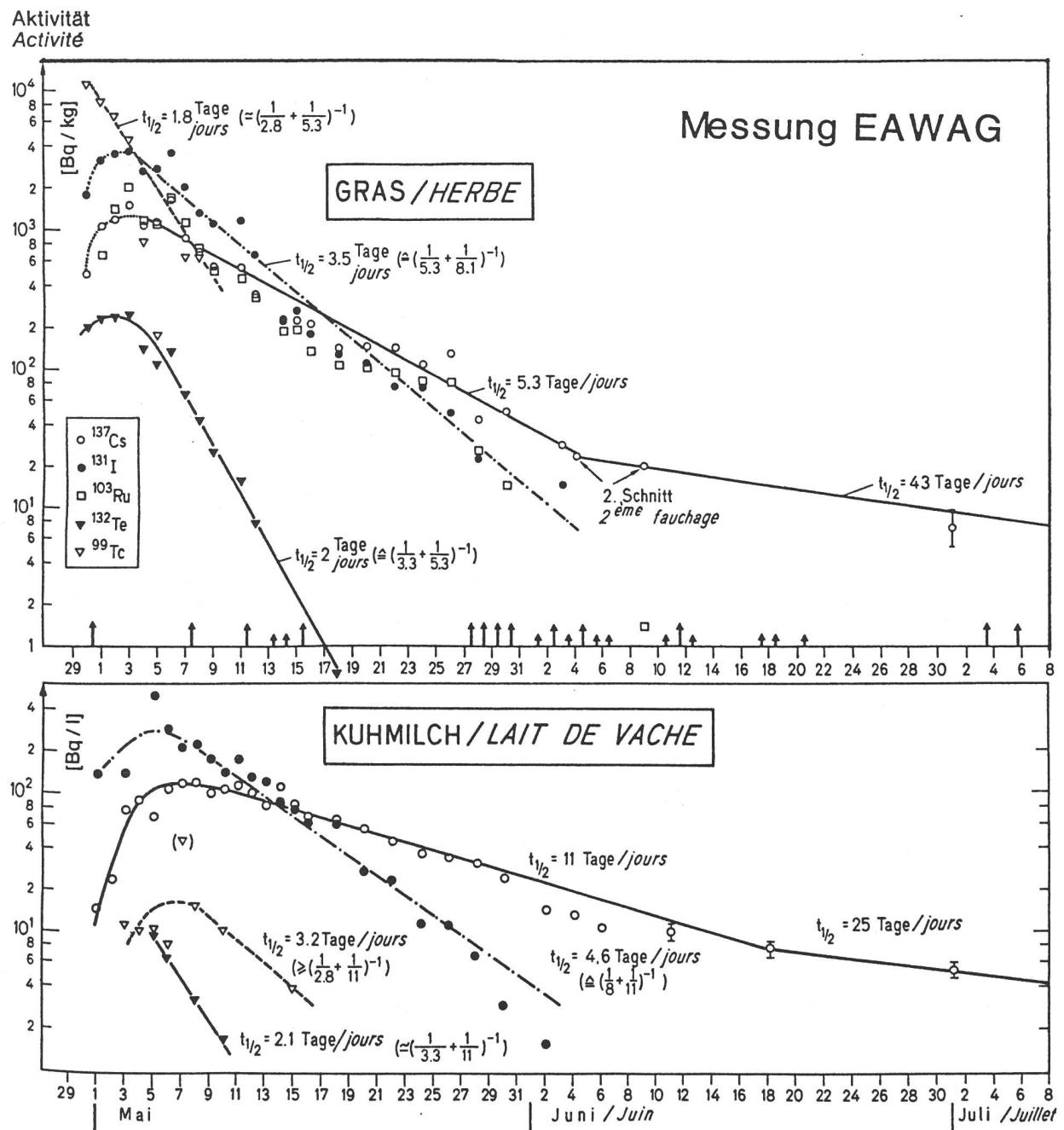


Fig. 5.20.a: Radionuklide in Milch und Gras von einem Hof aus Hermikon/ZH



**Fig.5.20.b: Radionuklide in Frischmilch
aus Grangeneuve/FR**

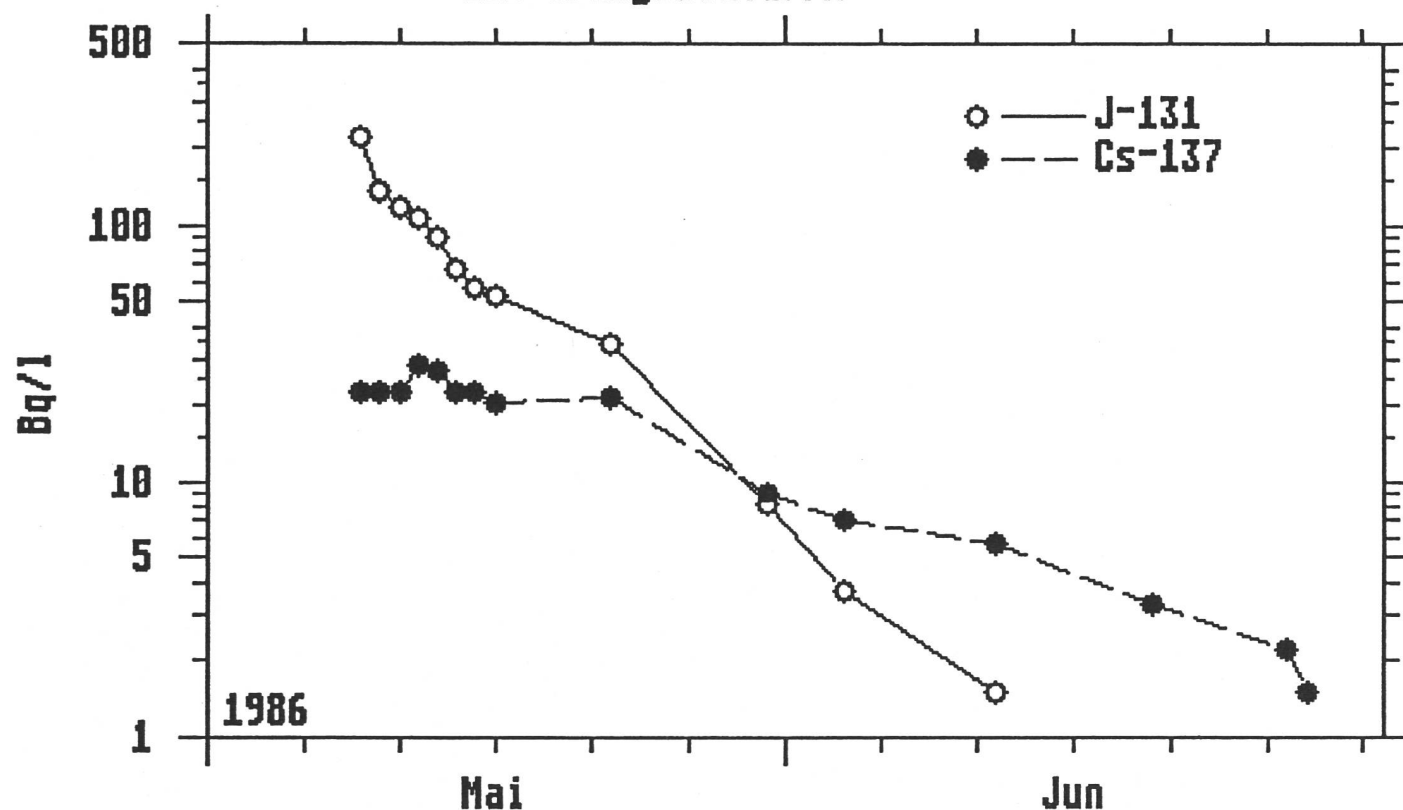


Fig. 5.20.c:

RADIONUKLIDE IN DER MILCH AUS OBERBÖZBERG

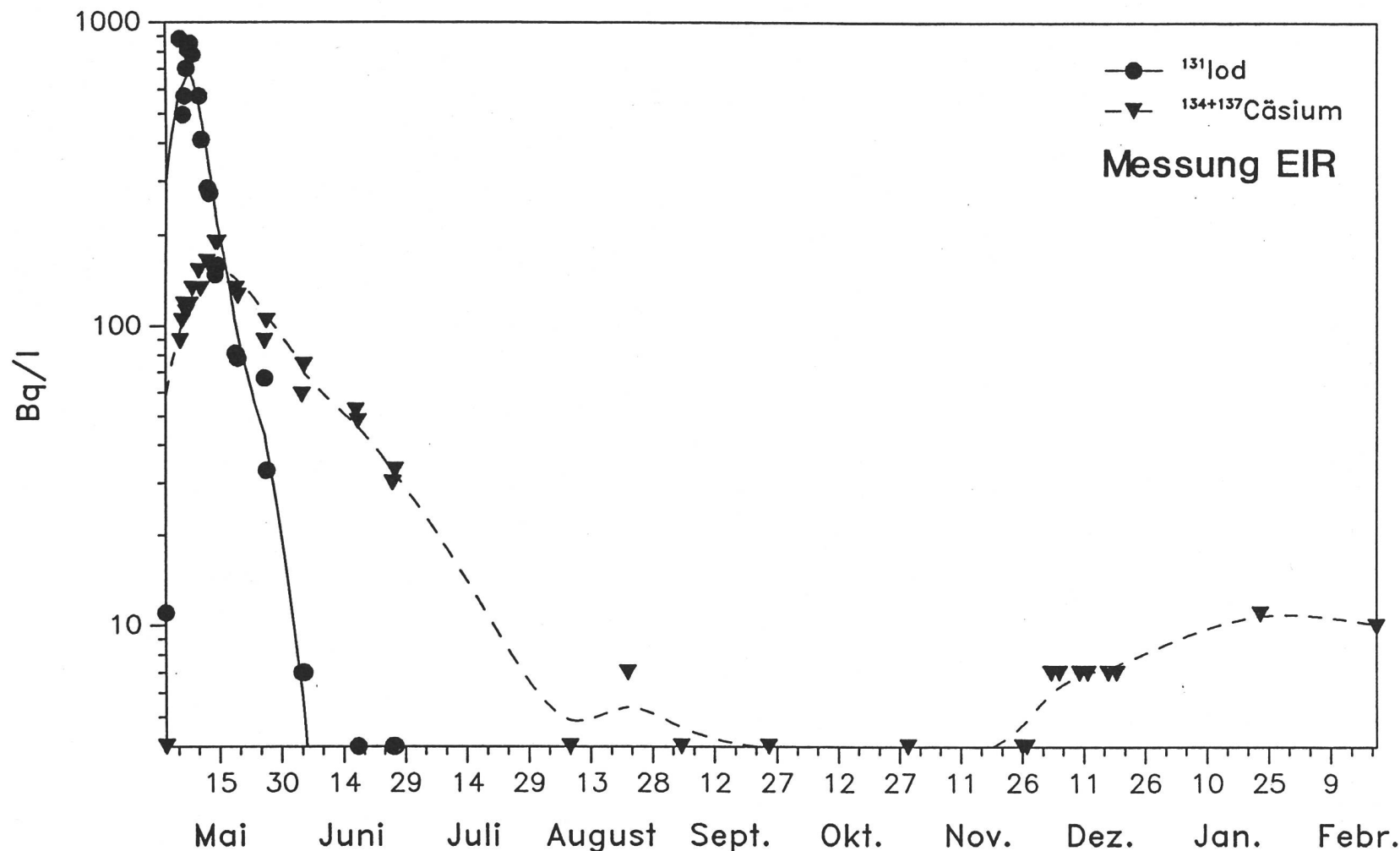


Fig.5.20.d: Radionuklide in der Milch aus
Alta Leventina + Valle Blenio/TI

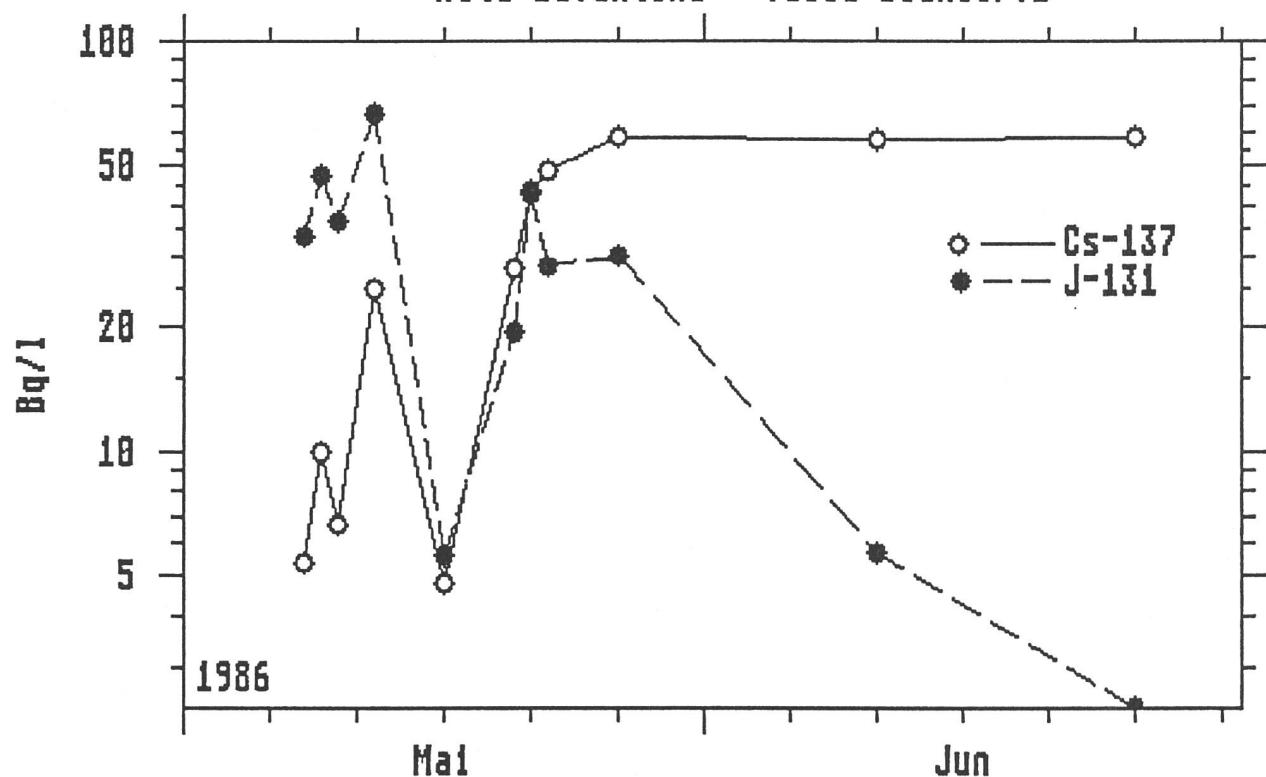


Fig.5.20.e: Radionuklide in der Milch
aus Rancate/TI

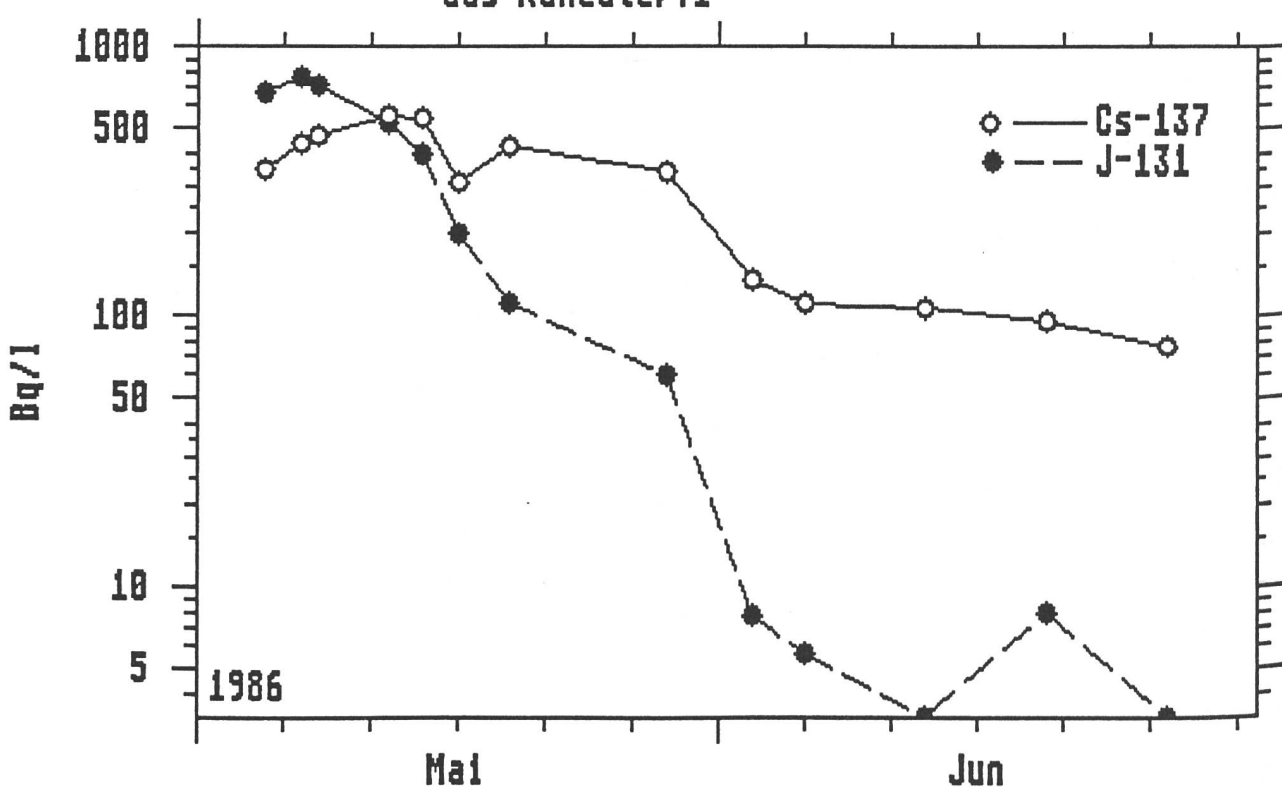


Fig.5.20.f: Radionuklide in der Milch
aus Breganzona/TI

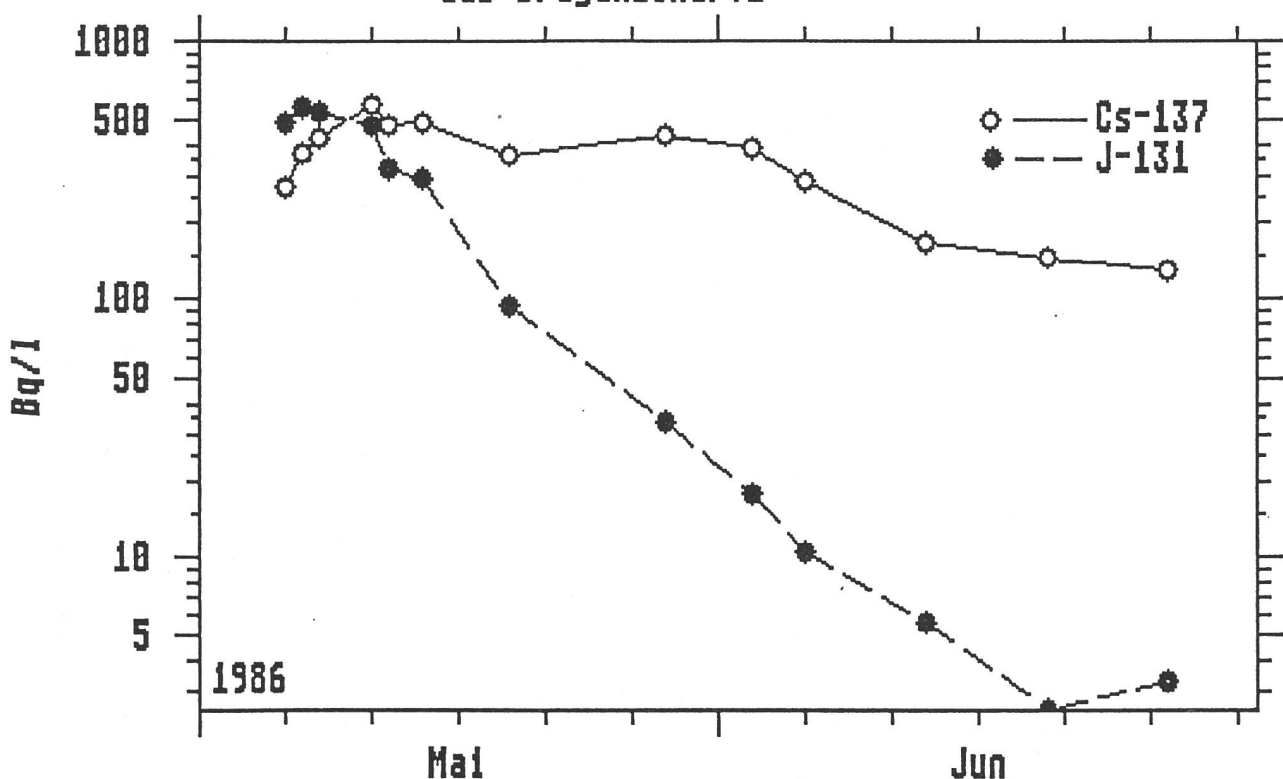


Fig.5.20.g: Radionuklide in der Milch
aus Novazzano/TI

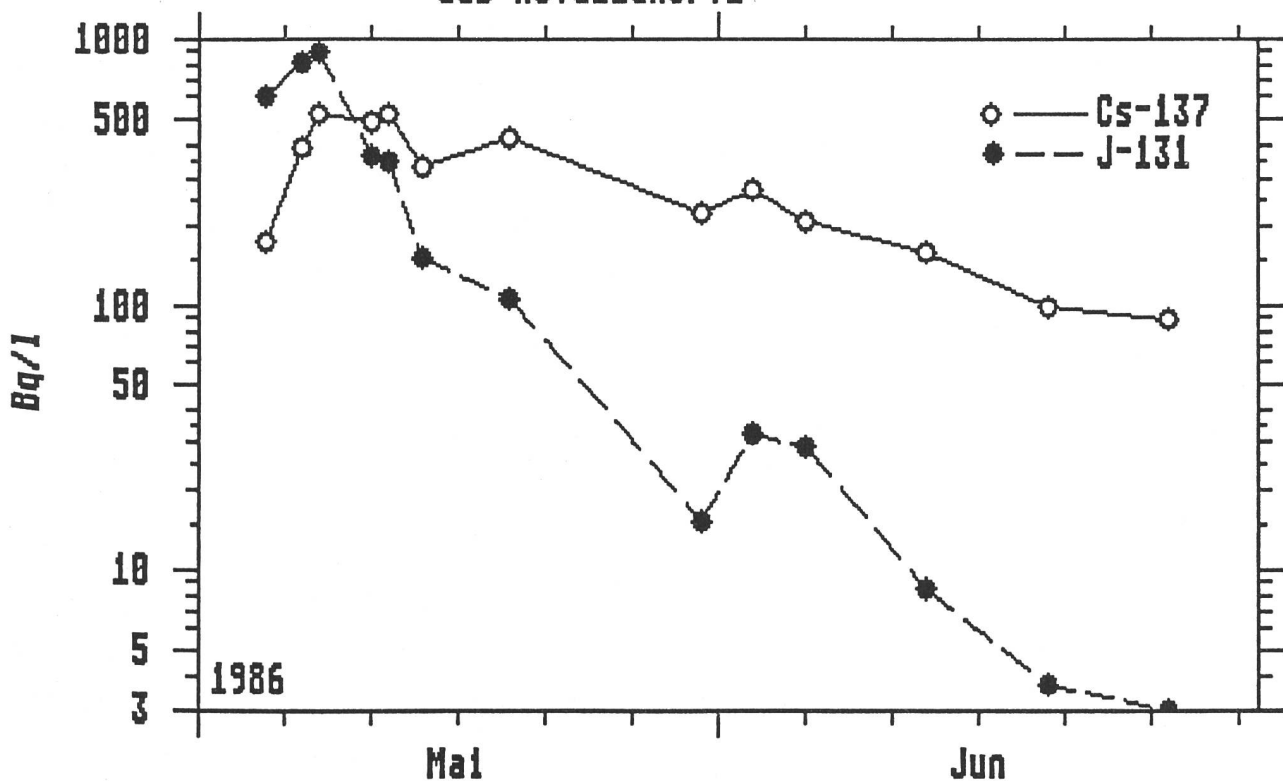


Fig.5.20.h: Radionuklide in der Milch aus Sessa/TI

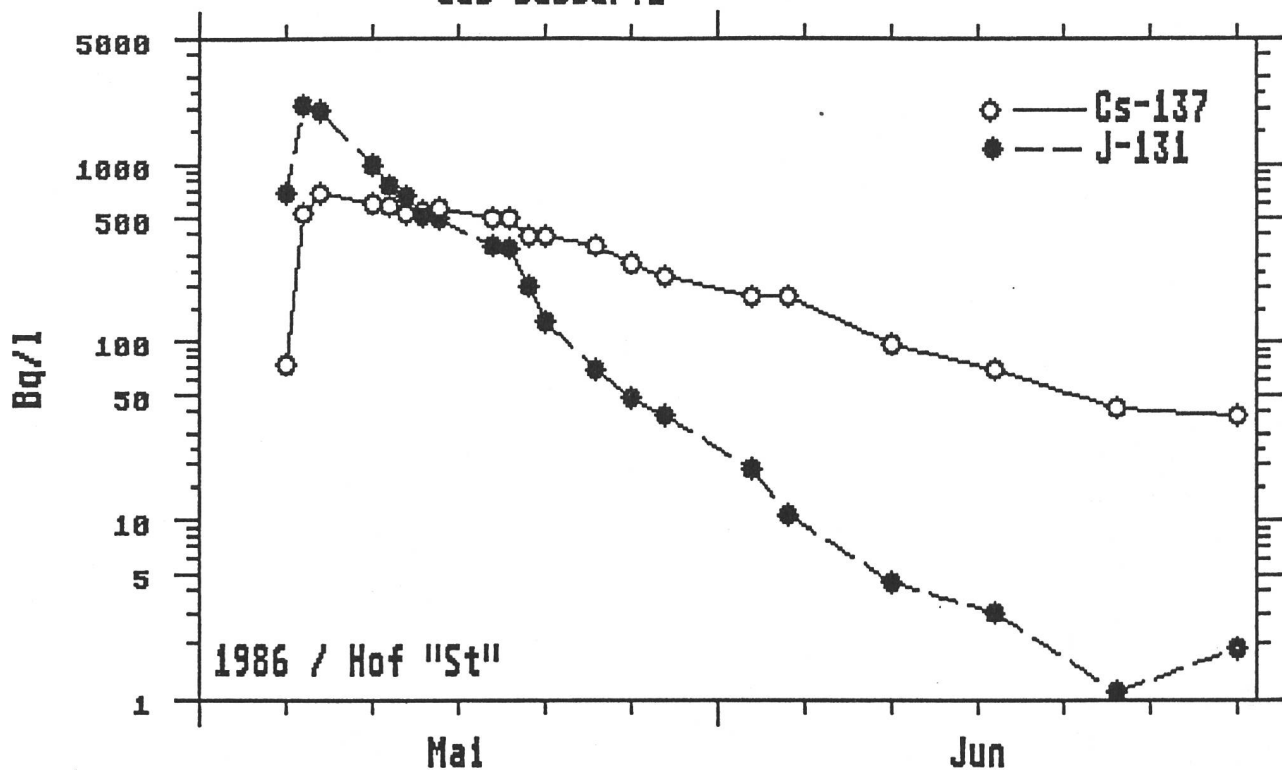


Fig.5.20.i: Radionuklide in der Milch aus Sessa/TI

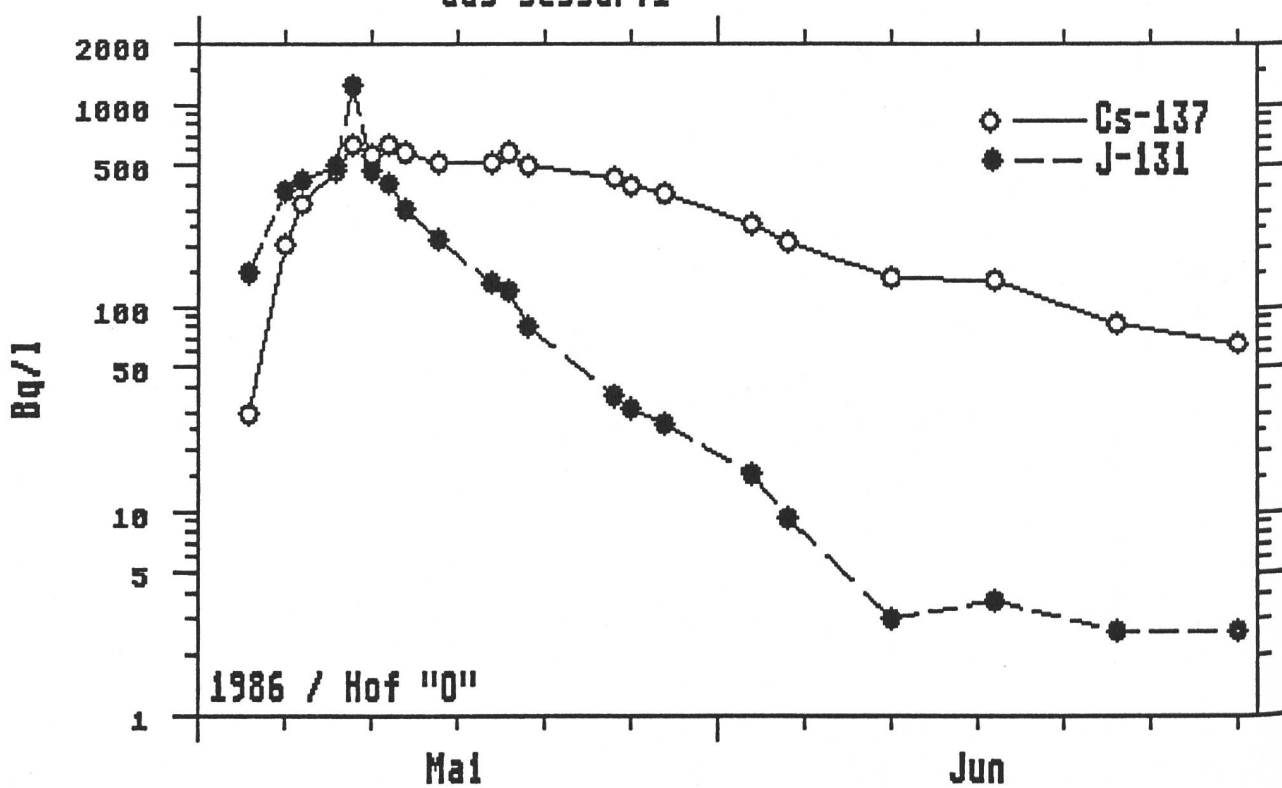


Fig.5.20.k: Radionuklide in der Milch
aus Guschelmuth/FR

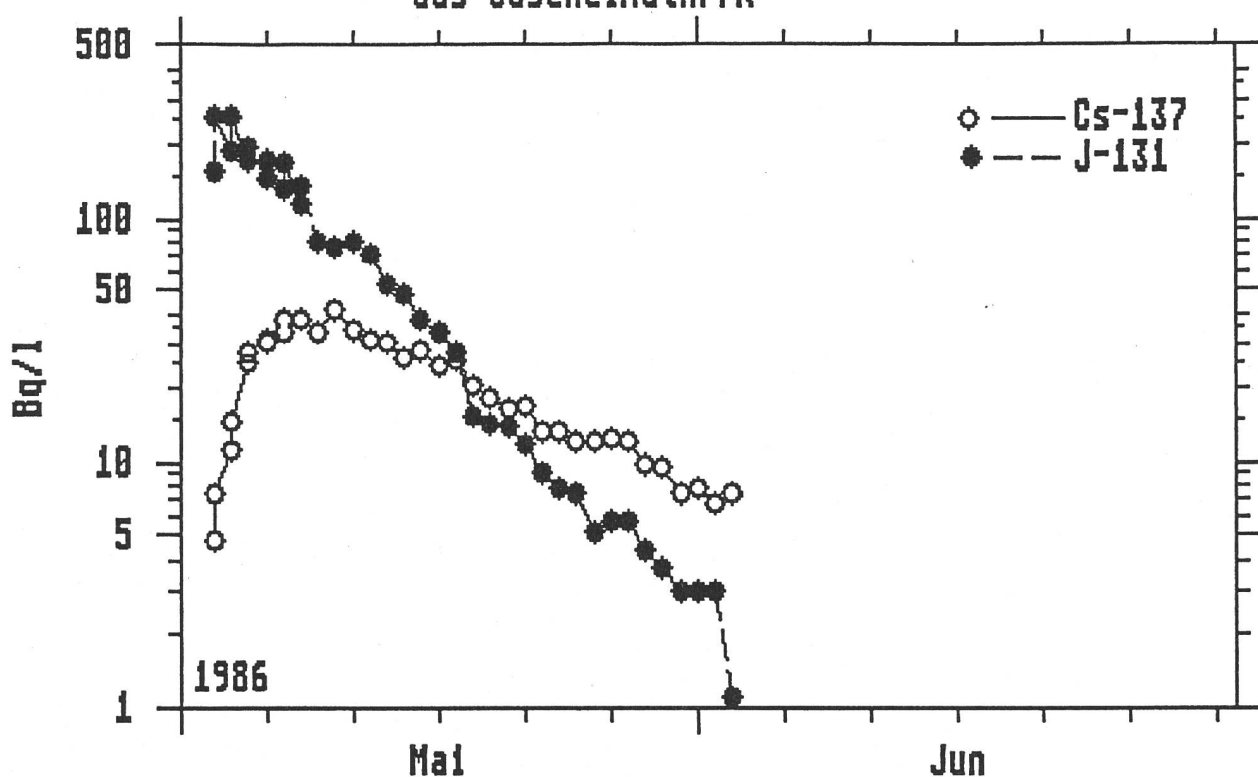


Fig.5.20.l: Radionuklide in der Milch
aus Russy/FR

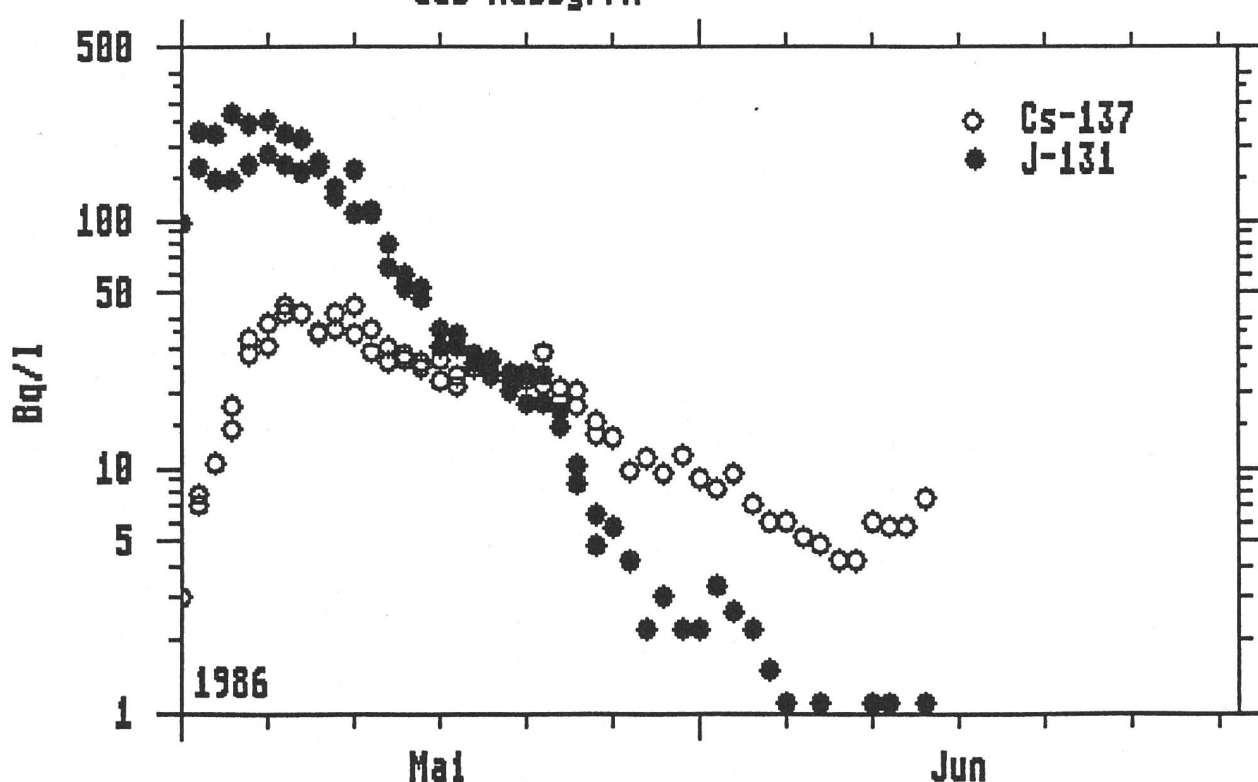


Fig.5.20.m: Radionuklide in Kuhmilch
aus Faulensee/BE (Einzelhof)

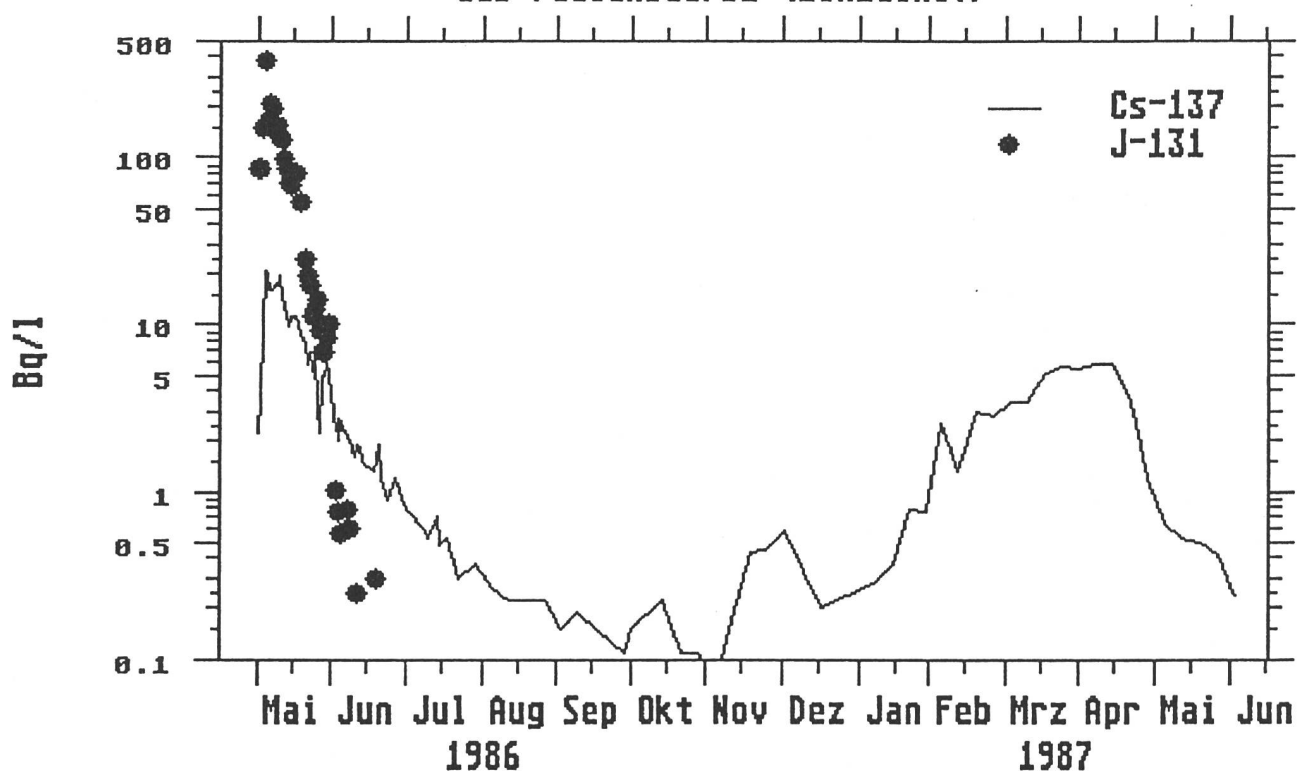
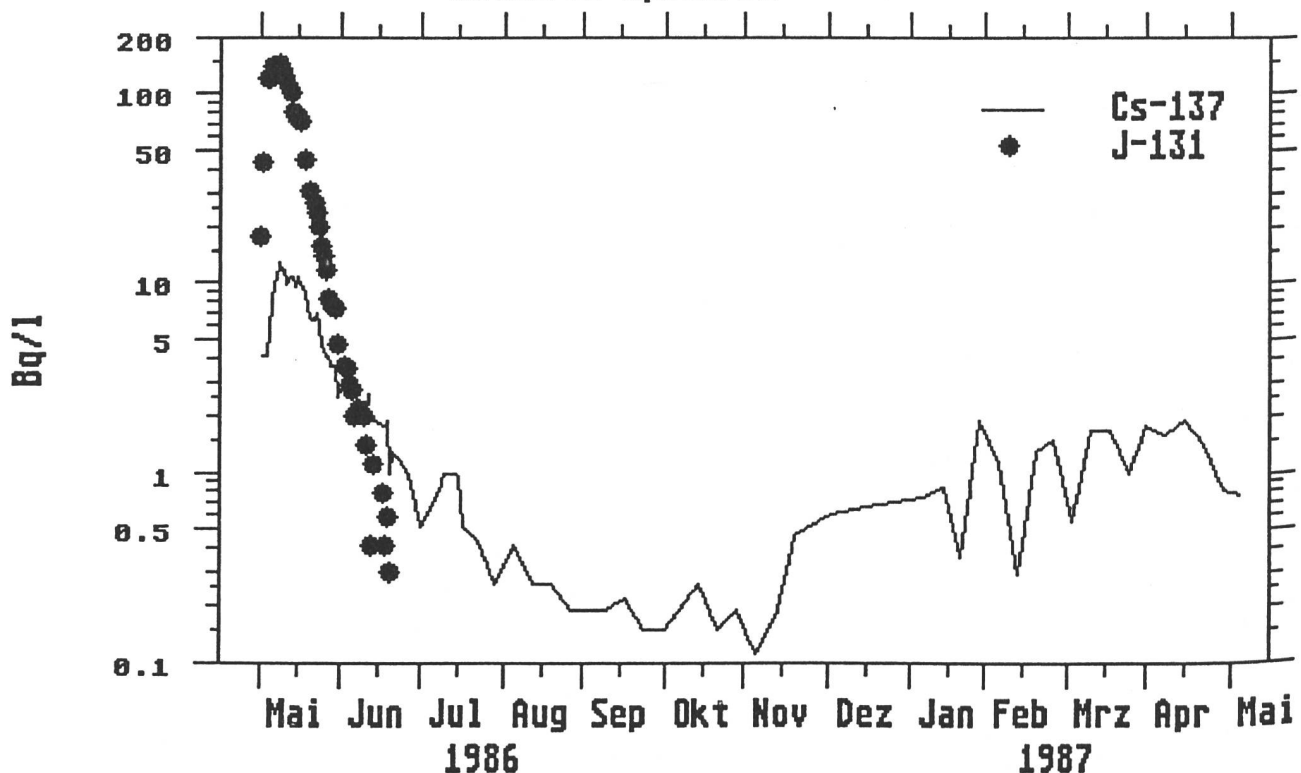


Fig.5.20.n: Radionuklide in Kuhmilch
Molkerei Spiez/BE



**Fig.5.20.o: Radionuklide in Kuhmilch
von der Alp Lattreien/BE**

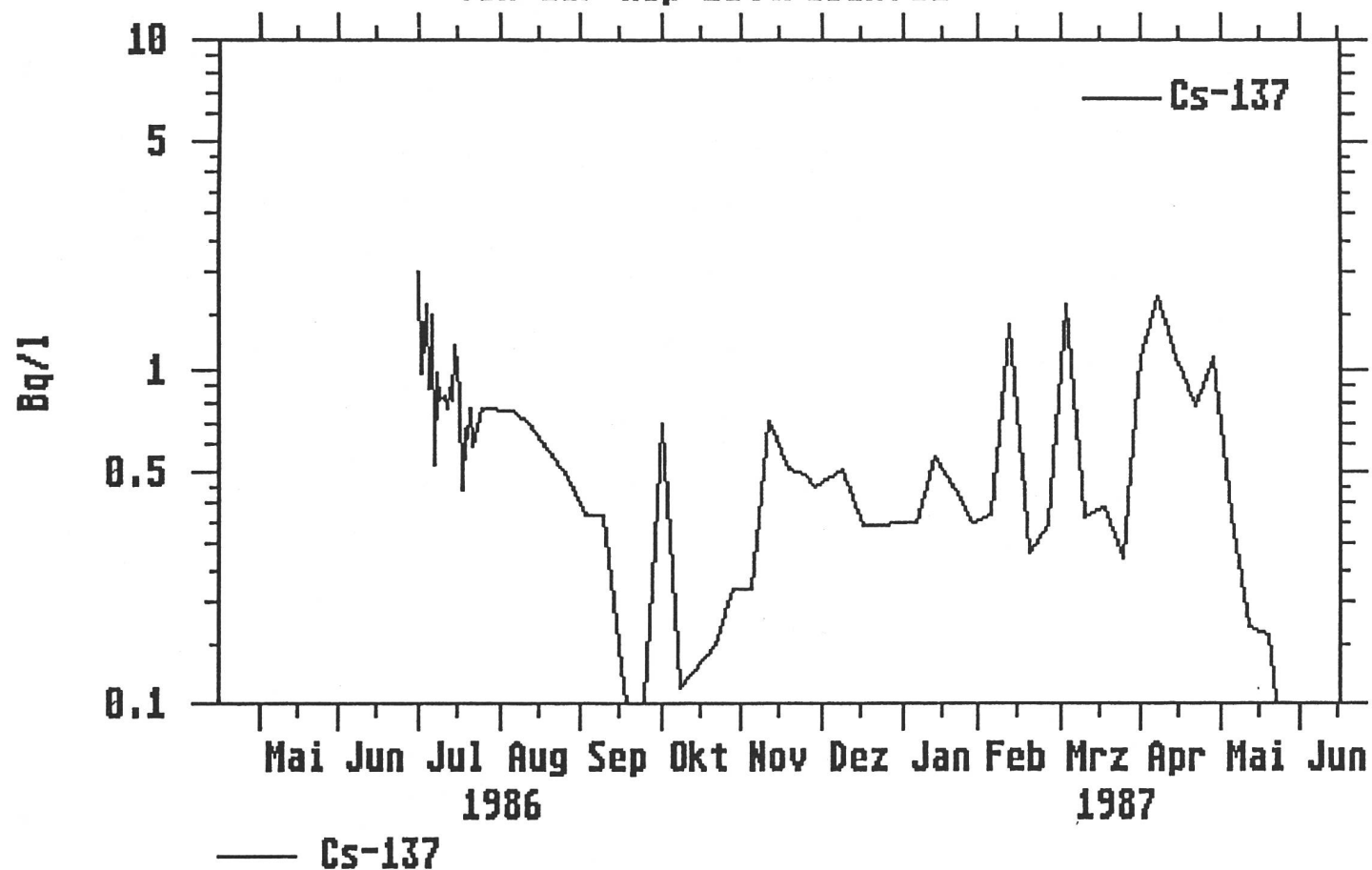


Fig.5.21.a: Cs-137 in Molkereimilch Tessin (Locarno) 1986/87

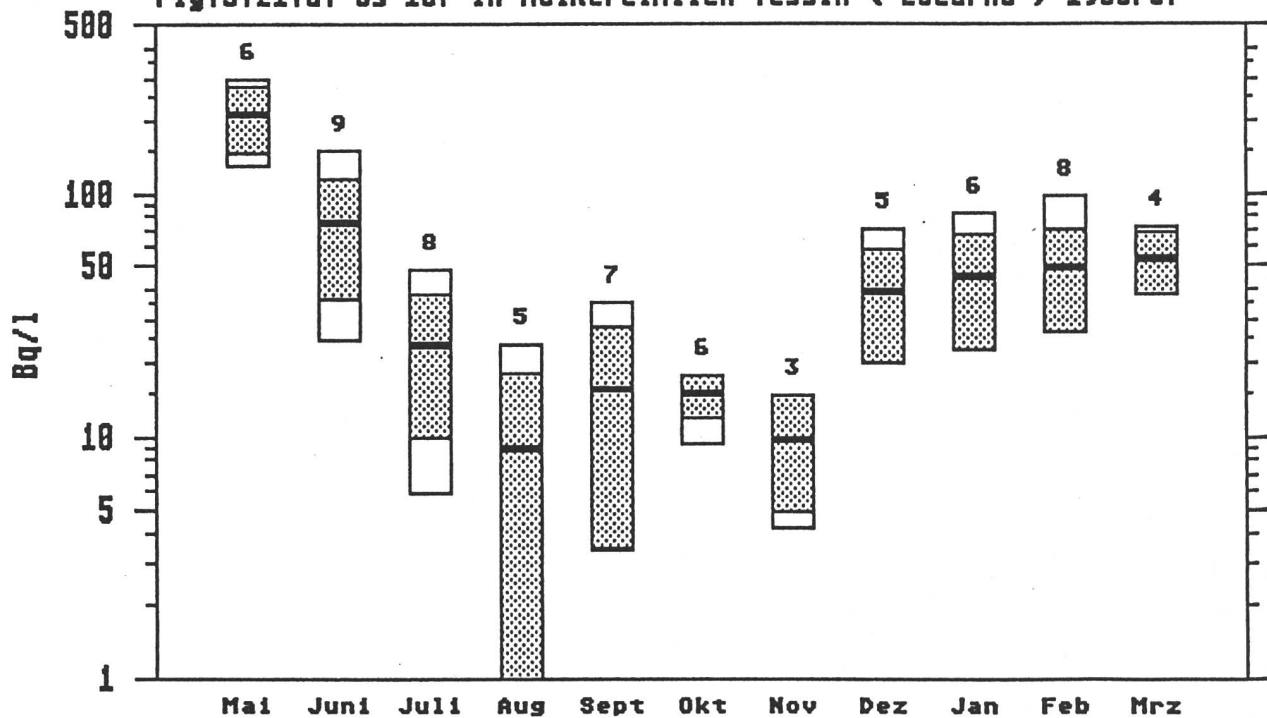


Fig.5.21.b: Cs-137 in Molkereimilch Ostschweiz
(Zürich und Gossau) 1986/87

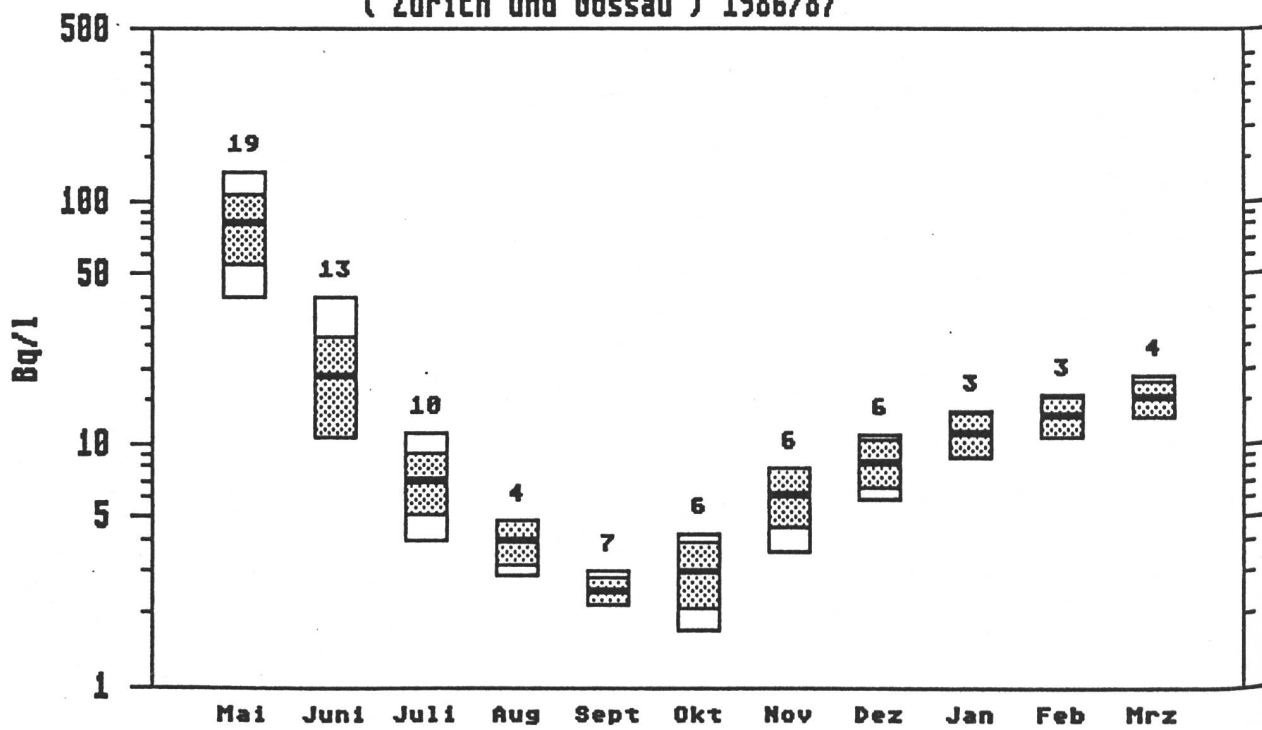


Fig.5.21.c: Cs-137 in Molkereimilch Zentralschweiz
(Luzern und Suhr) 1986/87

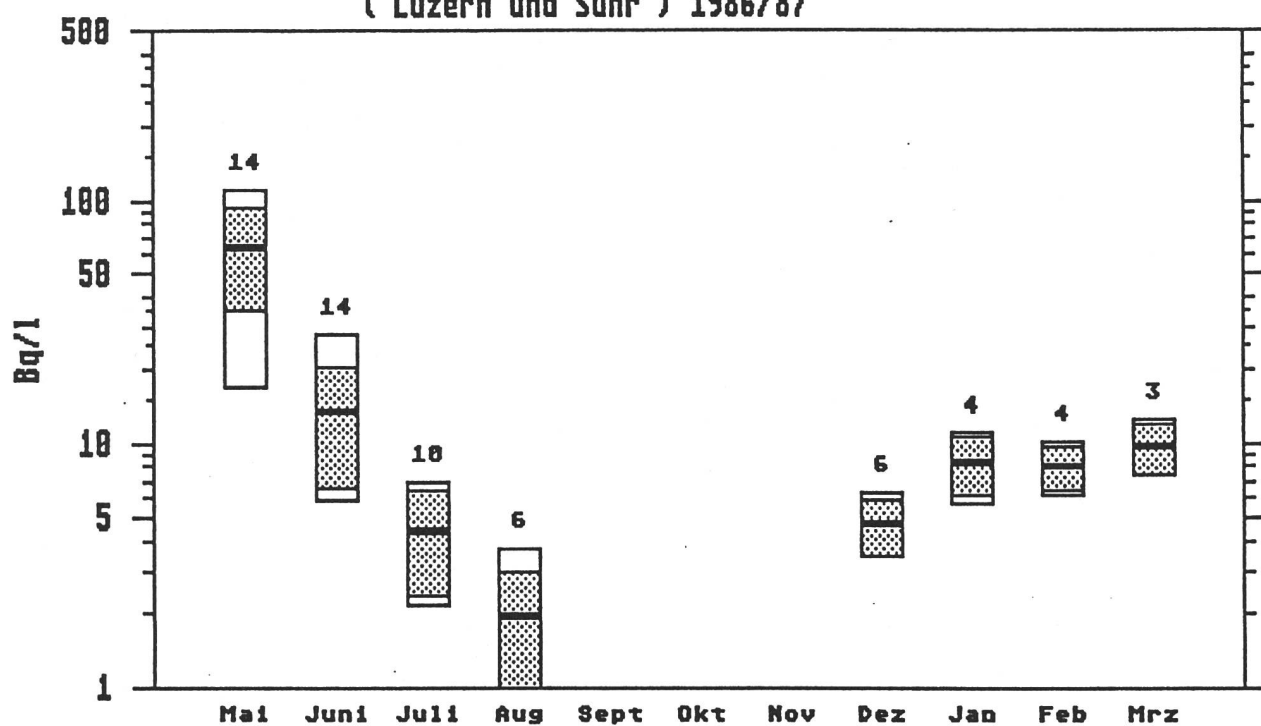


Fig.5.21.d: Cs-137 in Verbandsmilch (Cremo FR und VM Bern) 1986/87

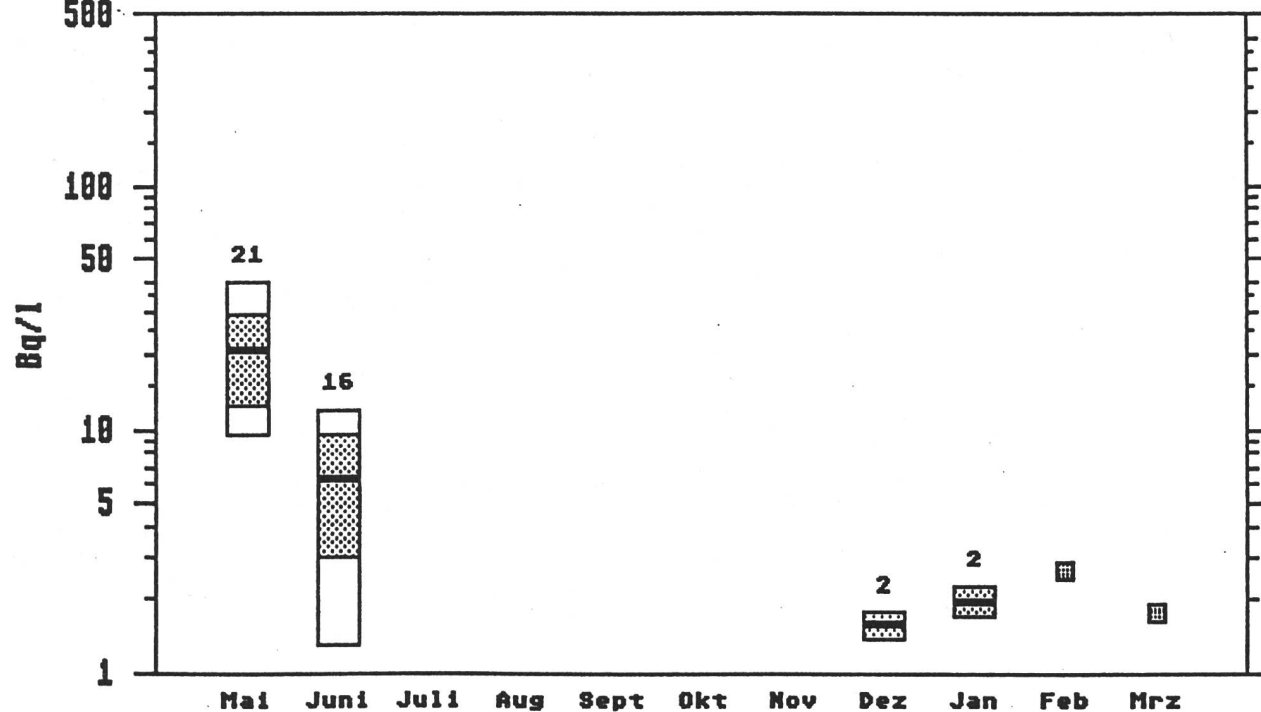


Fig.5.22.a: J-131 in Molkereimilch

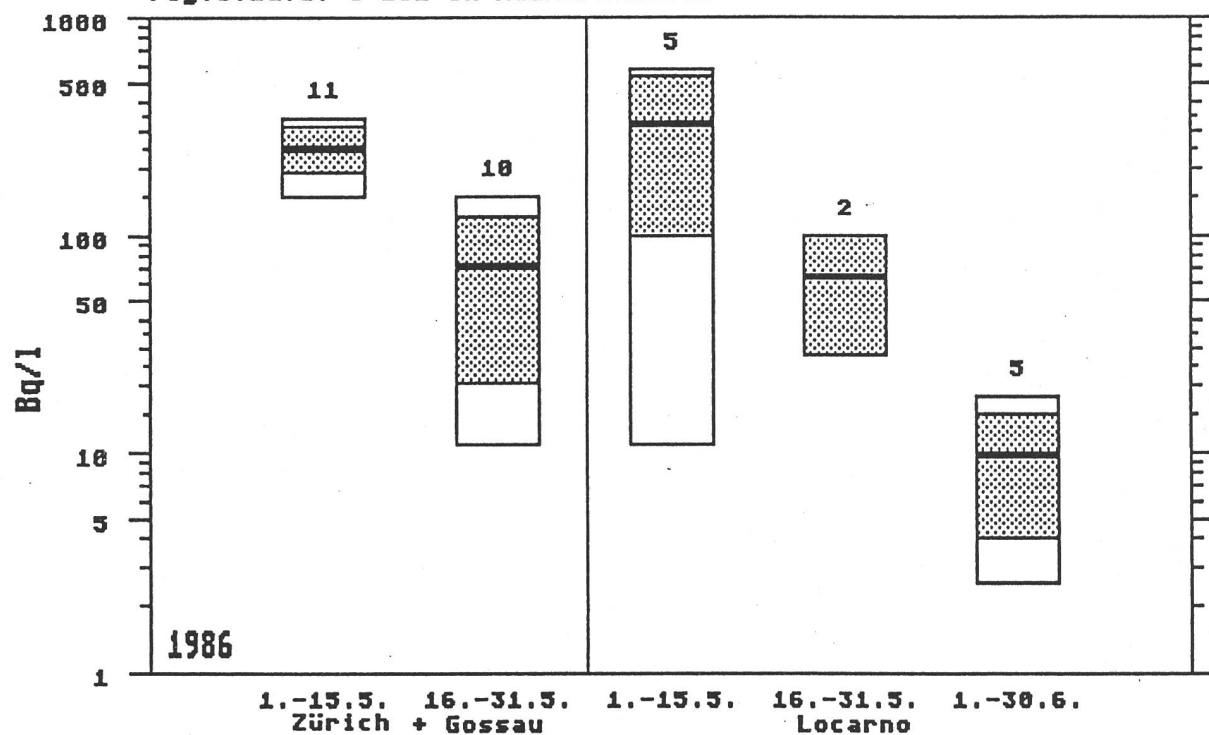


Fig.5.22.b: J-131 in Molkereimilch

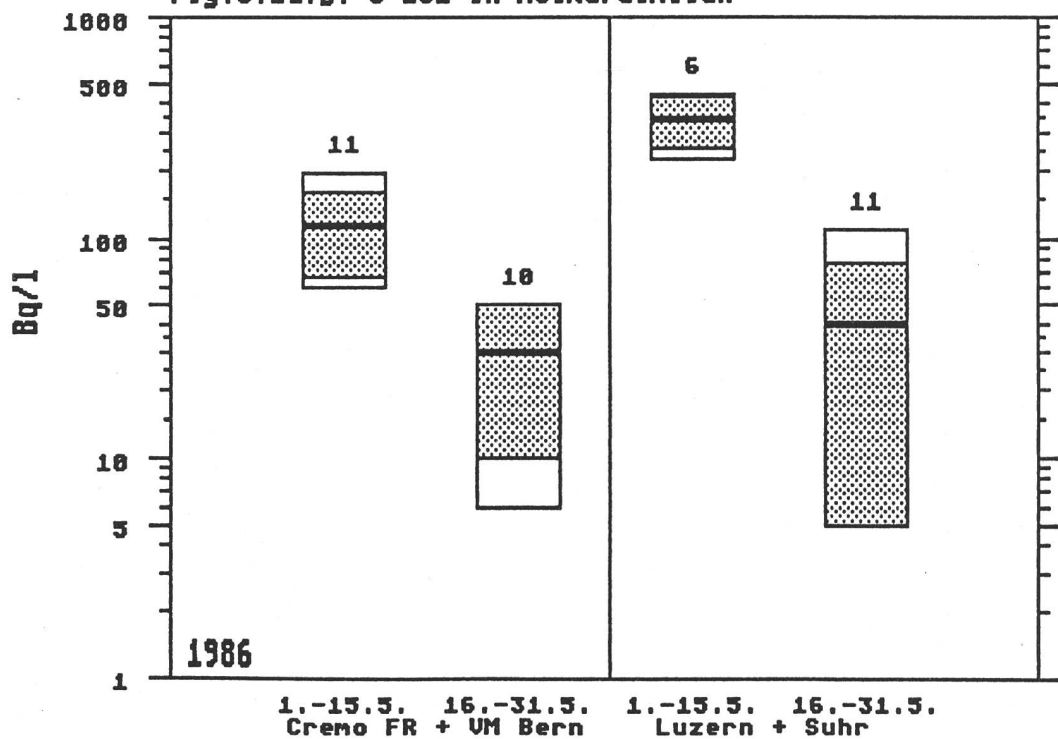


Fig.5.23.a: Cs-137 in Käseriemilch Ostschweiz 1986

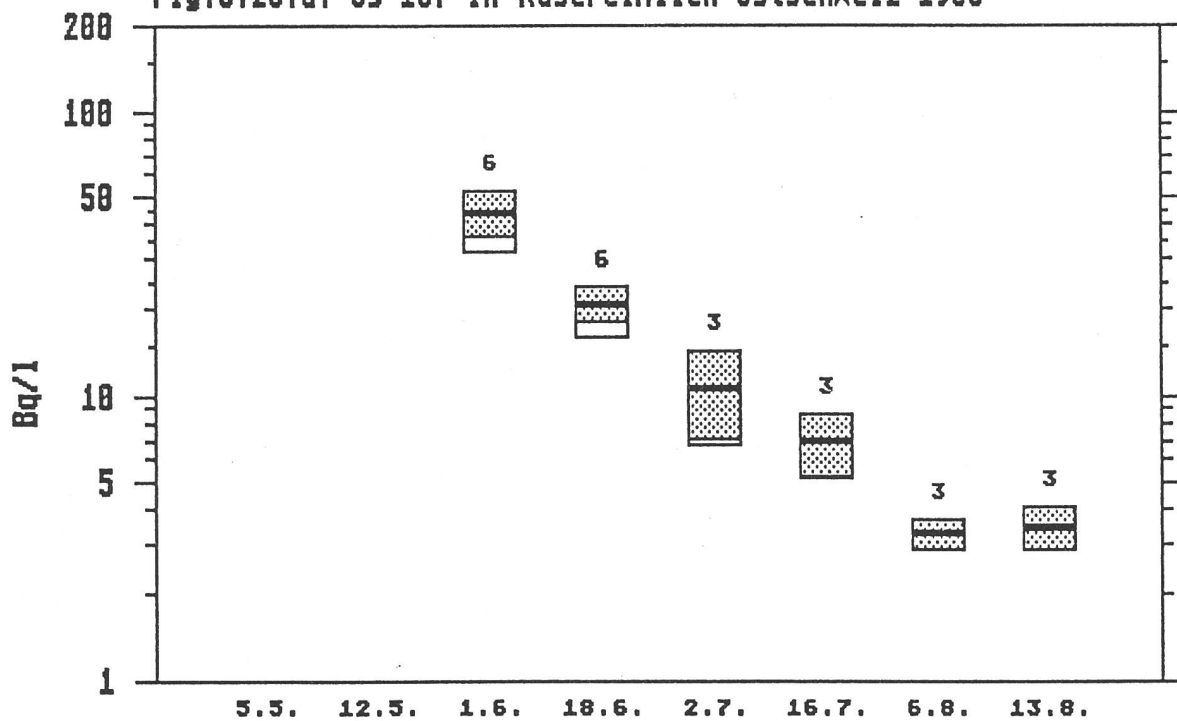


Fig.5.23.b: Cs-137 in Käse Ostschweiz 1986

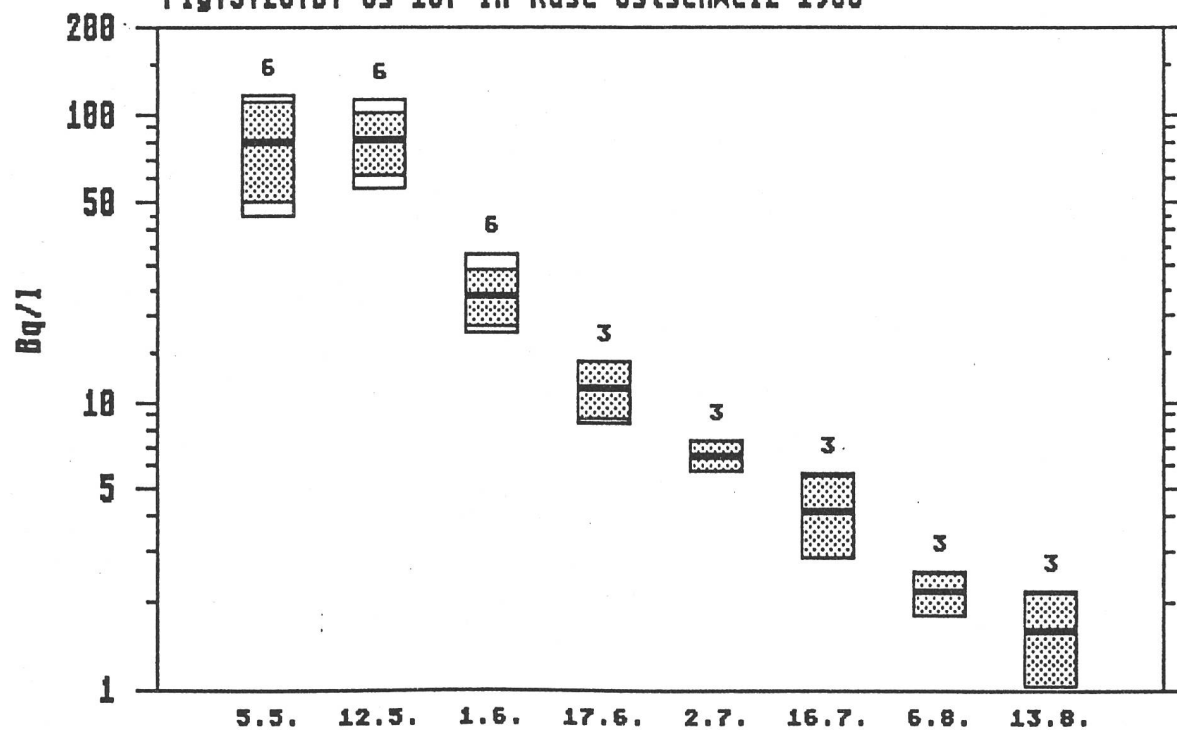


Fig.5.23.c: Cs-137 in Käsereimilch,
Schweiz ohne Ostschweiz und Tessin, 1986

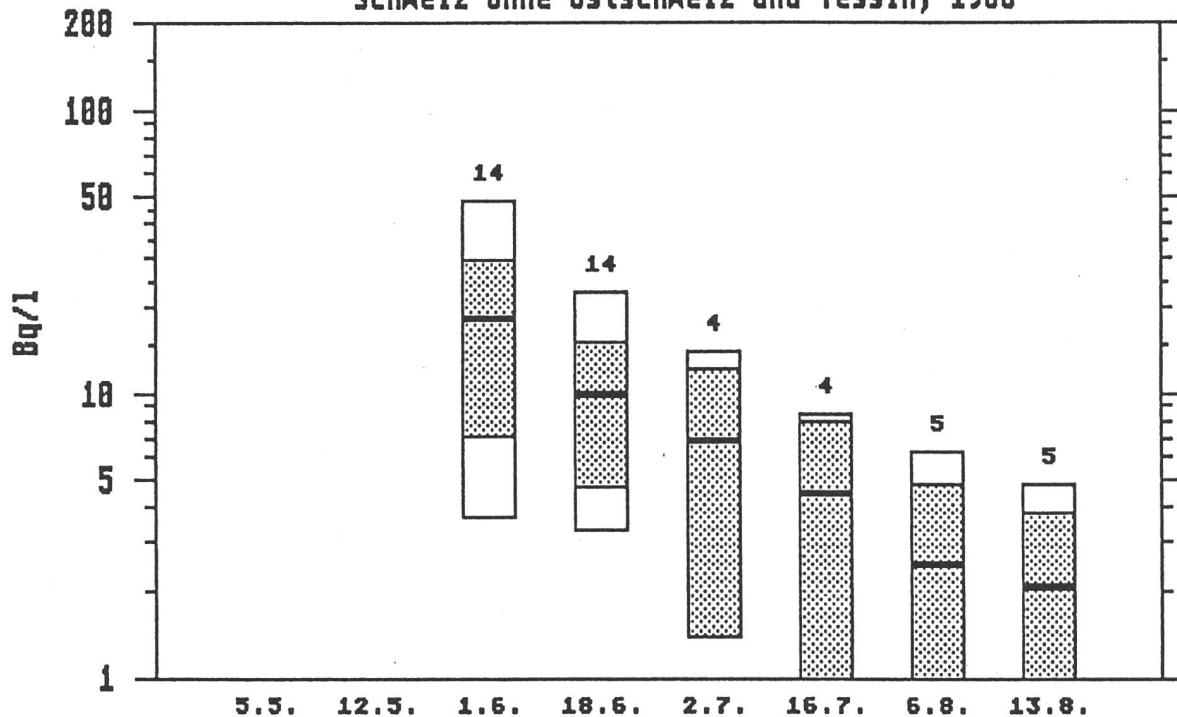


Fig.5.23.d: Cs-137 in Käse,
Schweiz ohne Ostschweiz und Tessin, 1986

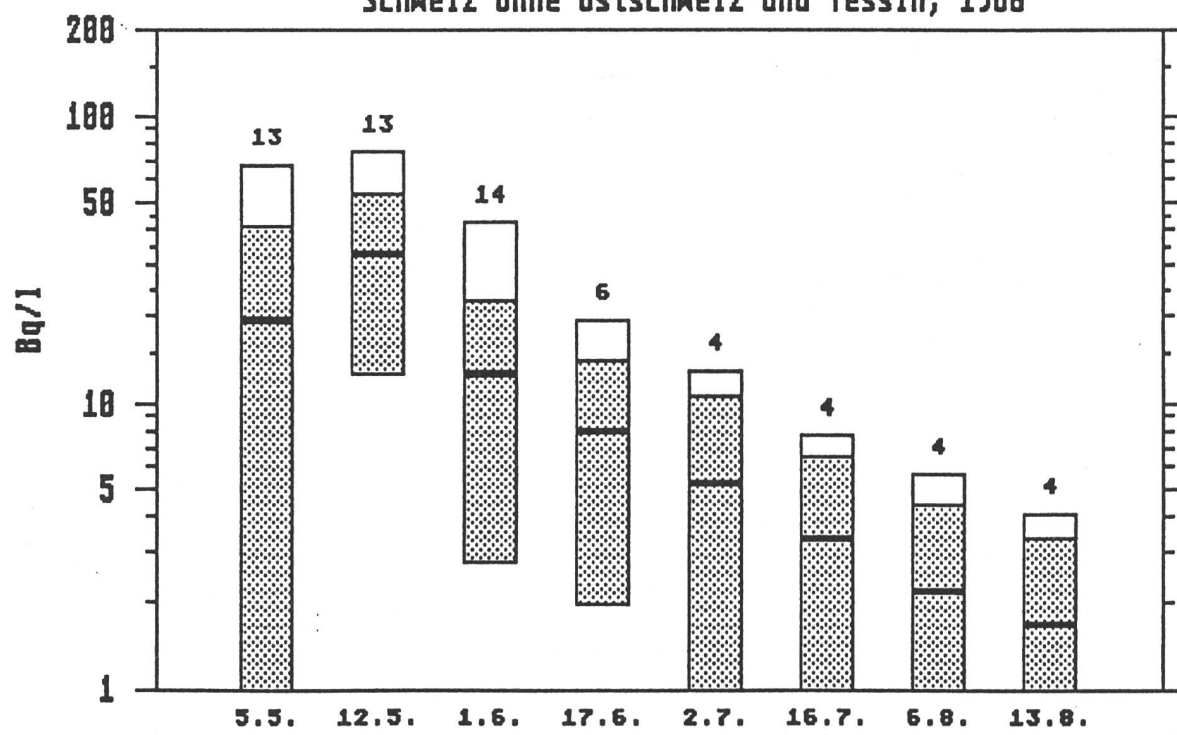


Fig.5.23.e: Übergang von Caesium aus Milch in Rahm und Butter

G(%) = Gewichtsanteil
F(g/kg) = Fettgehalt
Cs(Bq/kg) = gemessene Cs-137-Akt. bezogen auf 100 Bq/kg in der Milch
Cs(%) = Anteil der Caesium-137 - Aktivität in Bezug auf 100 % in der Milch (berechnet)

Vollmilch

G = 100; **F** = 40
Cs(Bq/kg) = 100
Cs(%) = 100

Magermilch

G = 87.5; **F** = 0.2
Cs(Bq/kg) = ---
Cs(%) = 91

Rahm

G = 12.5; **F** = 320
Cs(Bq/kg) = 73±15
Cs(%) = 9±2

Buttermilch

G = 7.7; **F** = 3.0
Cs(Bq/kg) = ---
Cs(%) = ~ 8

Butter

G = 4.8; **F** = 830
Cs(Bq/kg) = 6-23
Cs(%) = 0.3-1.1

Fig.5.23.f: Verteilung von Caesium und Jod in Milch und Milchprodukten (Käseproduktion)

G(%) = Gewichtsanteil

F(g/kg) = Fettgehalt

Cs(Bq/kg) = gemessene Cs-137-Akt.
bezogen auf 100 Bq/kg
in der Milch

Cs(%) = Anteil Caesium-137 *)
J(Bq/Kg) = gemessene J-131-Akt.
bezogen auf 100 Bq/kg
in der Milch

J(%) = Anteil Jod-131*)

*) bezogen auf 100 % in
der Milch (berechnet)

Vollmilch

G = 100;	F = 40
Cs(Bq/kg)	= 100
Cs(%)	= 100
J(Bq/kg)	= 100
J(%)	= 100



Kesselmilch

G = 97.0;	F = 31.3
Cs(Bq/kg)	= ---
Cs(%)	= 98
J(Bq/kg)	= ---
J(%)	= 98

Rahn

G = 3.0;	F = 320
Cs(Bq/kg)	= ---
Cs(%)	= 2
J(Bq/kg)	= ---
J(%)	= 2

Käse

G = 8.2;	F = 306
Cs(Bq/kg)	= 61±9
Cs(%)	= 5±1
J(Bq/kg)	= 320±100
J(%)	= 25±9

Molke (+ 10 l Wasser)

G = 98.9;	F = 5.3
Cs(Bq/kg)	= 90±8
Cs(%)	= 93
J(Bq/kg)	= 79±12
J(%)	= 73

Käserreibutter

G = 1.8;	F = 830
Cs(Bq/kg)	= ---
Cs(%)	= ~0.2
J(Bq/kg)	= ---
J(%)	= ~0.2

Magermolke

G = 97.2;	F = 0.2
Cs(Bq/kg)	= ---
Cs(%)	= ~92
J(Bq/kg)	= ---
J(%)	= ~72

Rahn

G = 1.6;	F = 320
Cs(Bq/kg)	= ---
Cs(%)	= ~1
J(Bq/kg)	= ---
J(%)	= ~1

Buttermilch

G = 2.9;	F = 3
Cs(Bq/kg)	= ---
Cs(%)	= ~3
J(Bq/kg)	= ---
J(%)	= ~3

Fig.5.23.g: Transferfaktoren für Caesium

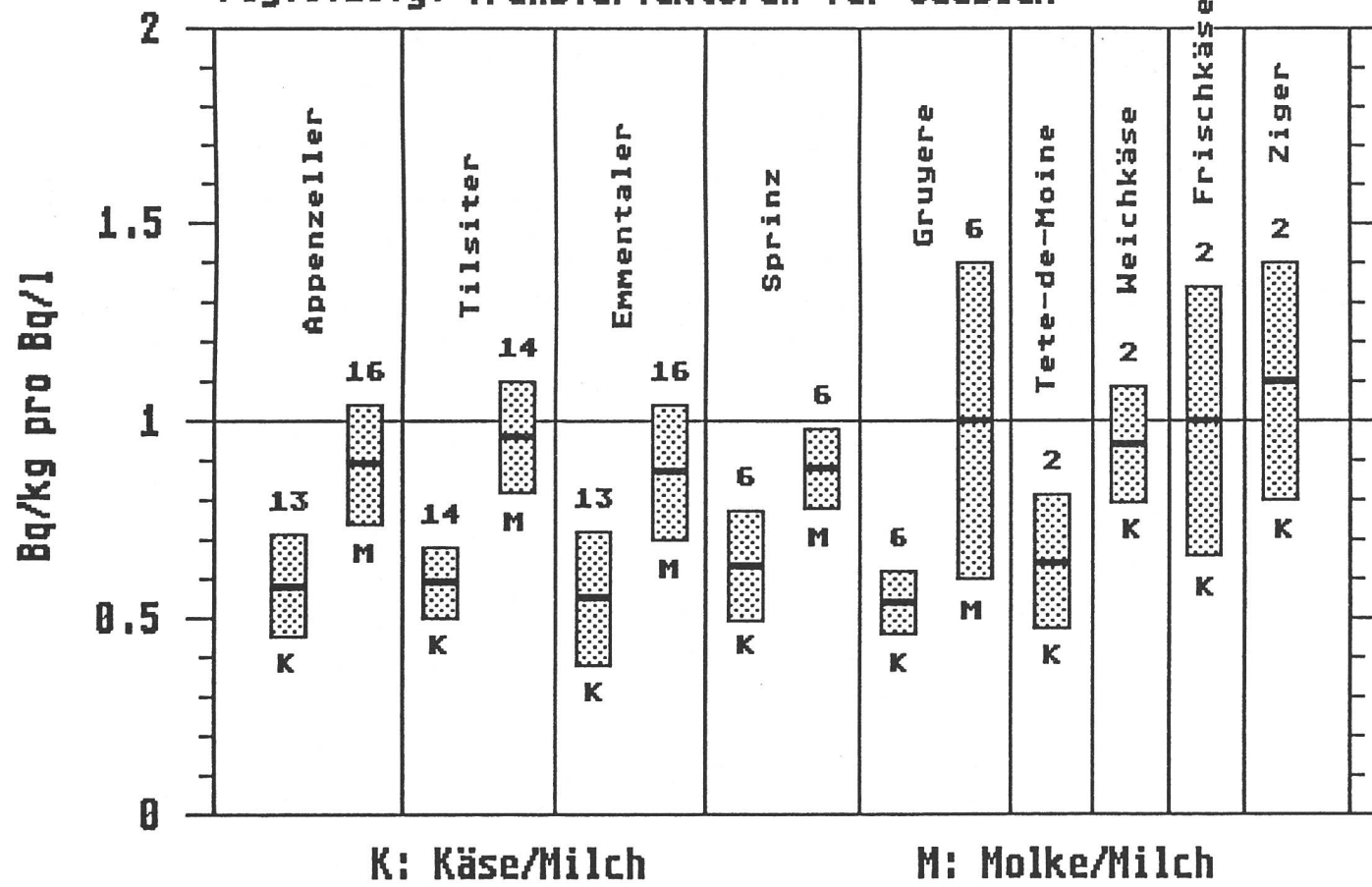


Fig.5.23.h: Transferfaktoren für Strontium

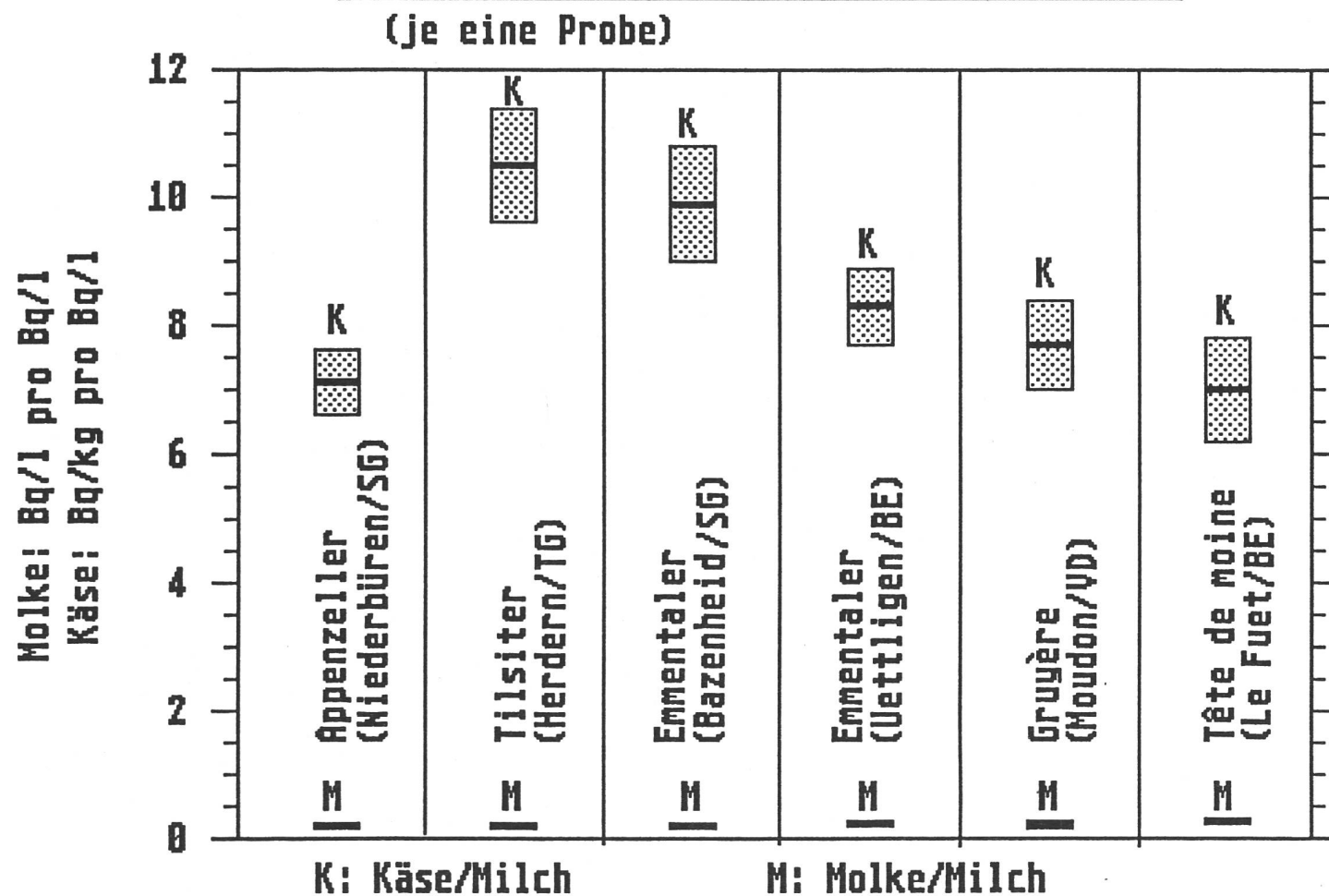


Fig. 5.23i: Transferfaktoren von Cs-137 resp. I-131 für Milchprodukte

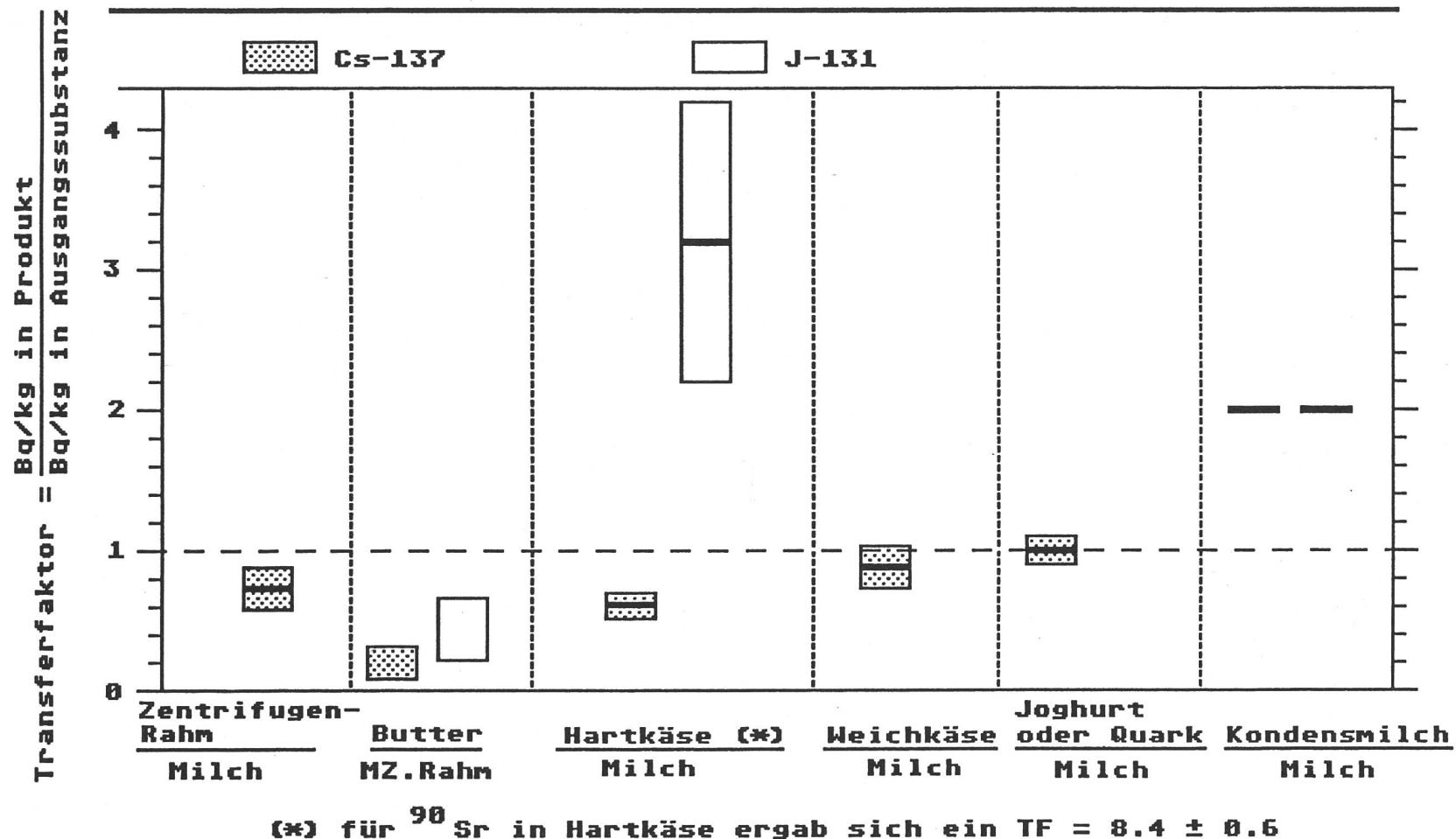


Fig.5.24.a: Cs-137 im Rahm, ganze Schweiz

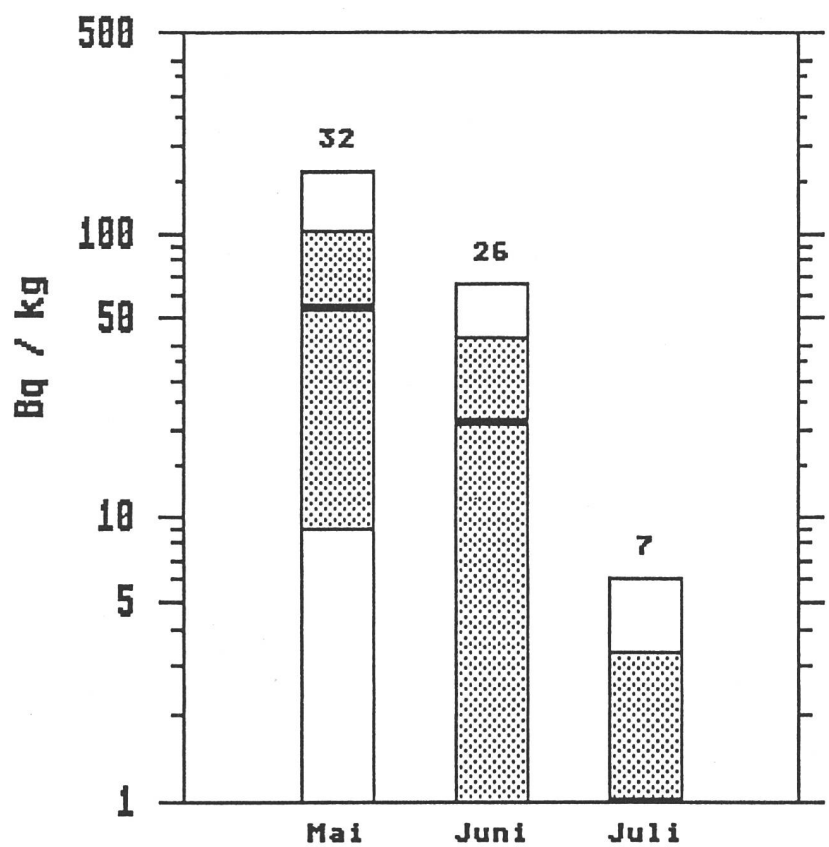


Fig.5.24.b: J-131 im Rahm, ganze Schweiz

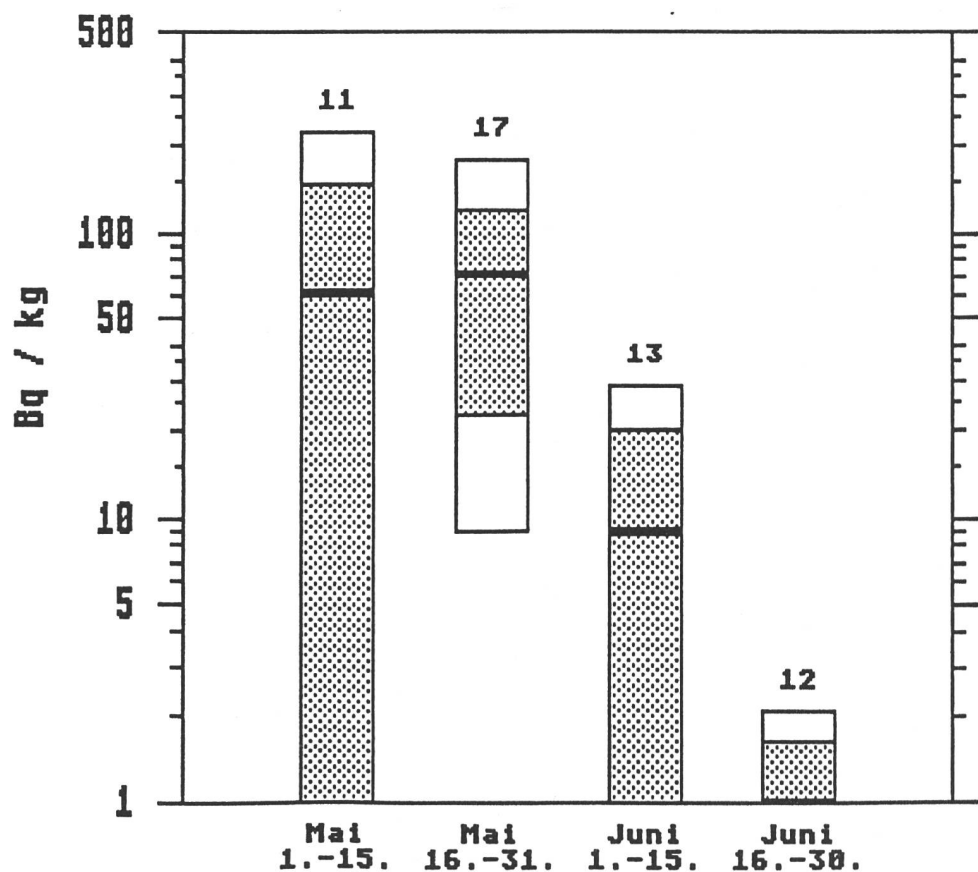


Fig.5.24.c: Cs-137 in Butter, ganze Schweiz

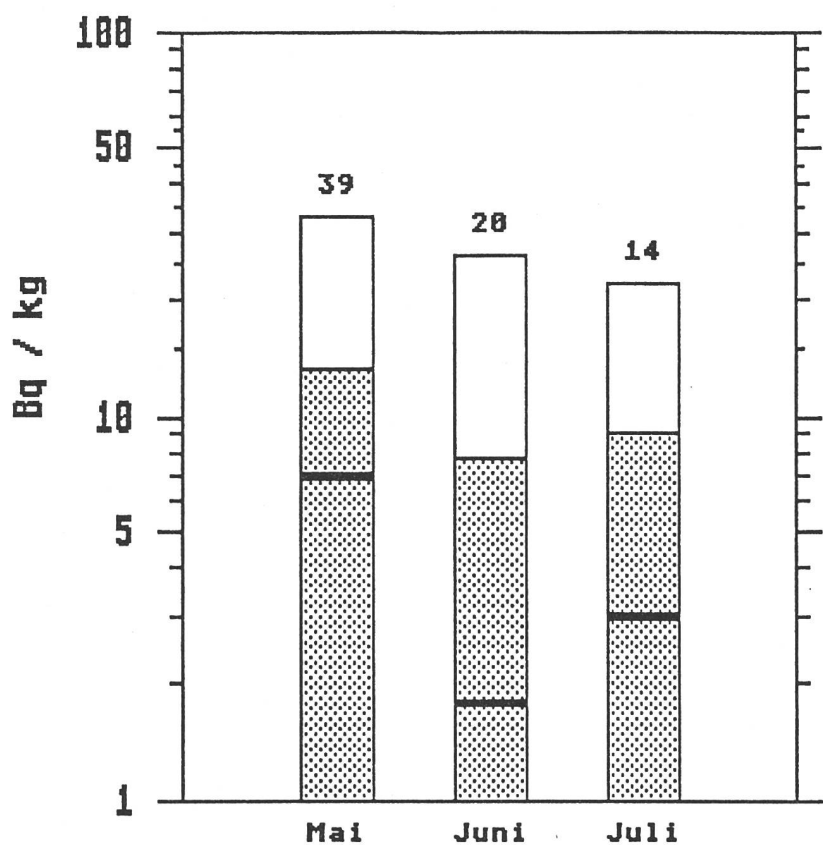


Fig.5.24.d: J-131 in Butter, ganze Schweiz

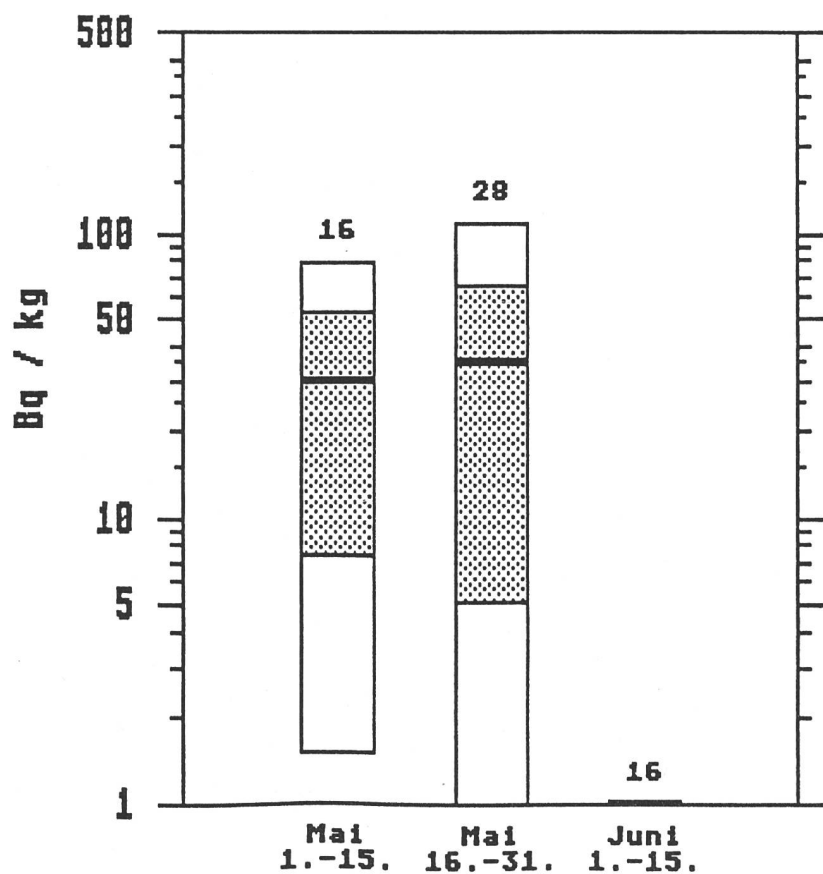


Fig. 5.25 a: Cs-137 in Butter, Mai 1986

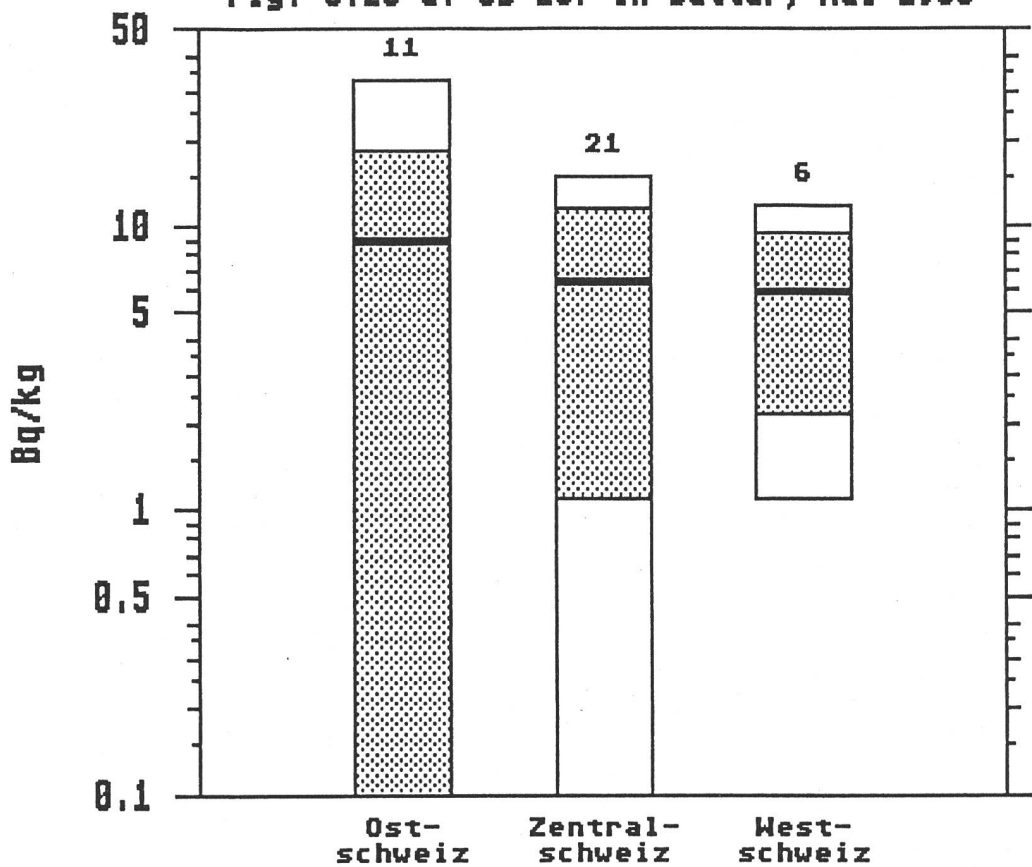


Fig. 5.25 b: J-131 in Butter, Mai 1986

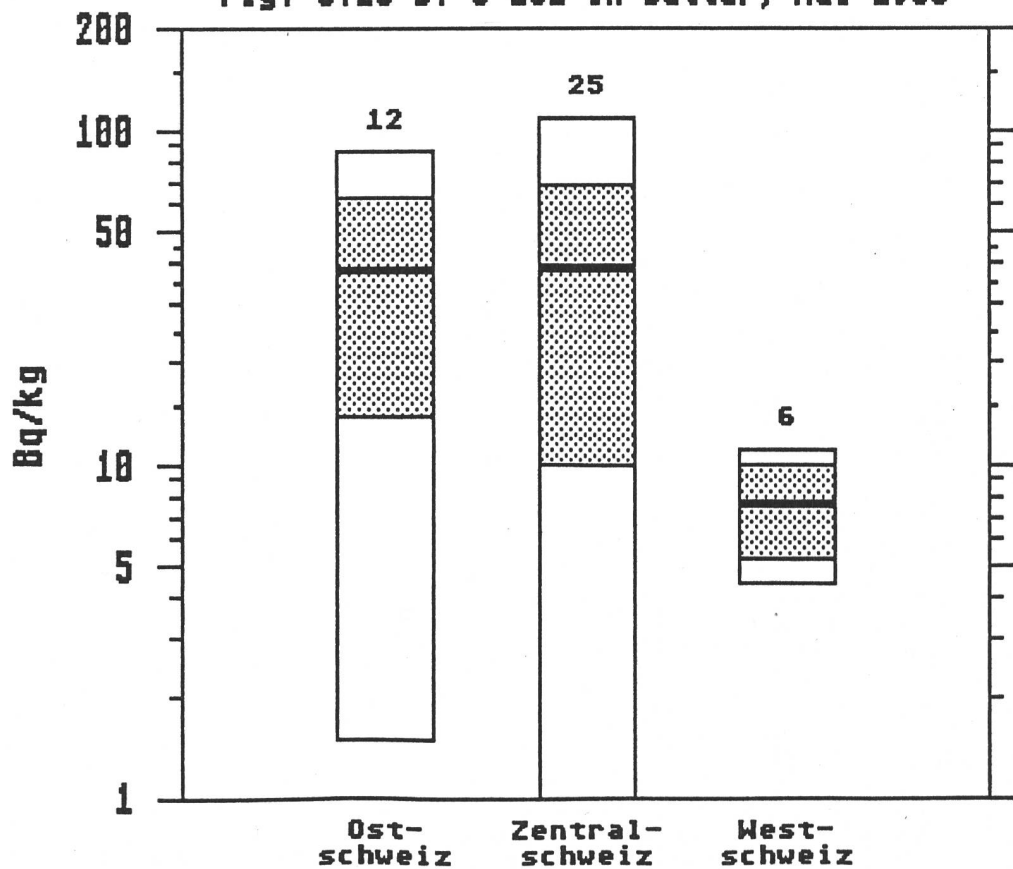


Fig.5.25.c: Cs-137 in Quark, ganze Schweiz

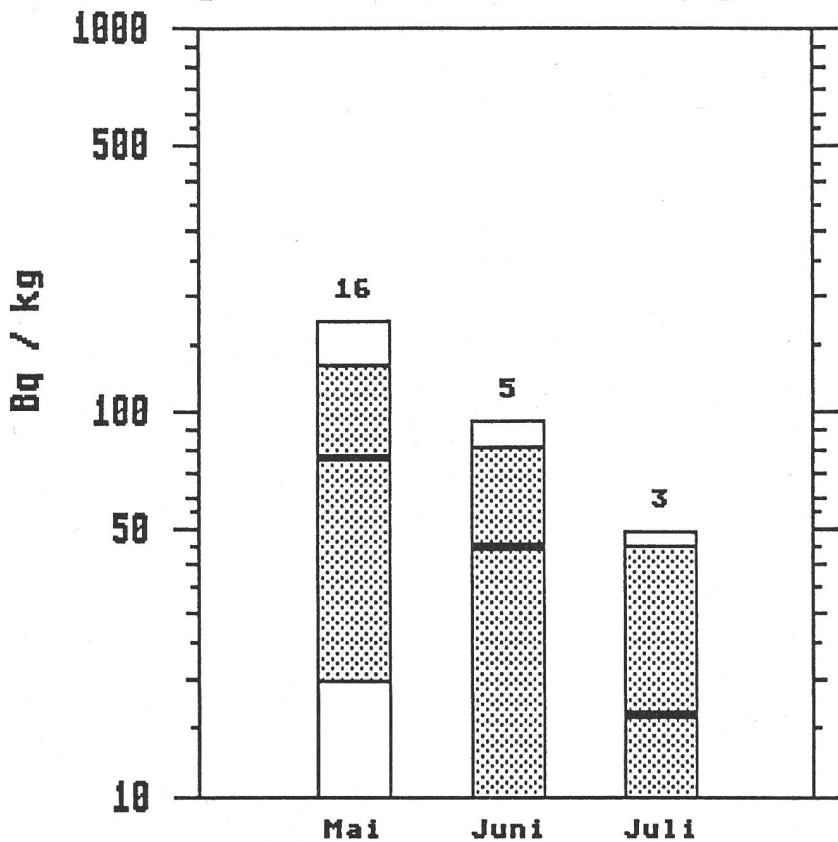


Fig.5.25.d: J-131 in Quark, ganze Schweiz

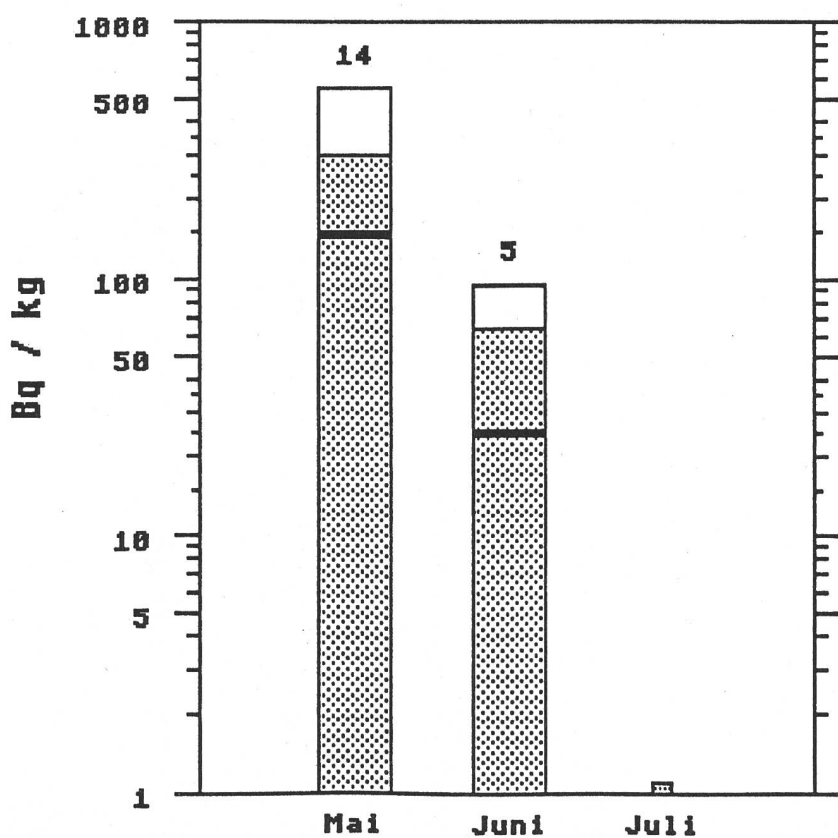


Fig.5.25.e: Cs-137 in Joghurt, ganze Schweiz

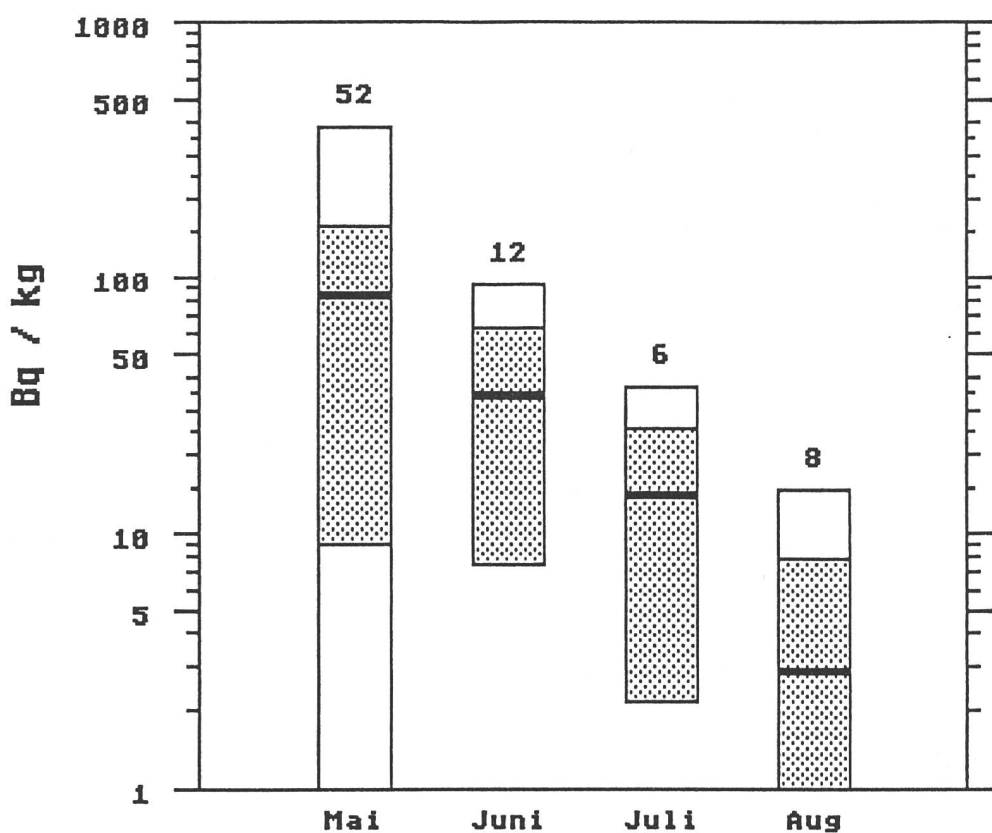


Fig.5.25.f: J-131 in Joghurt, ganze Schweiz

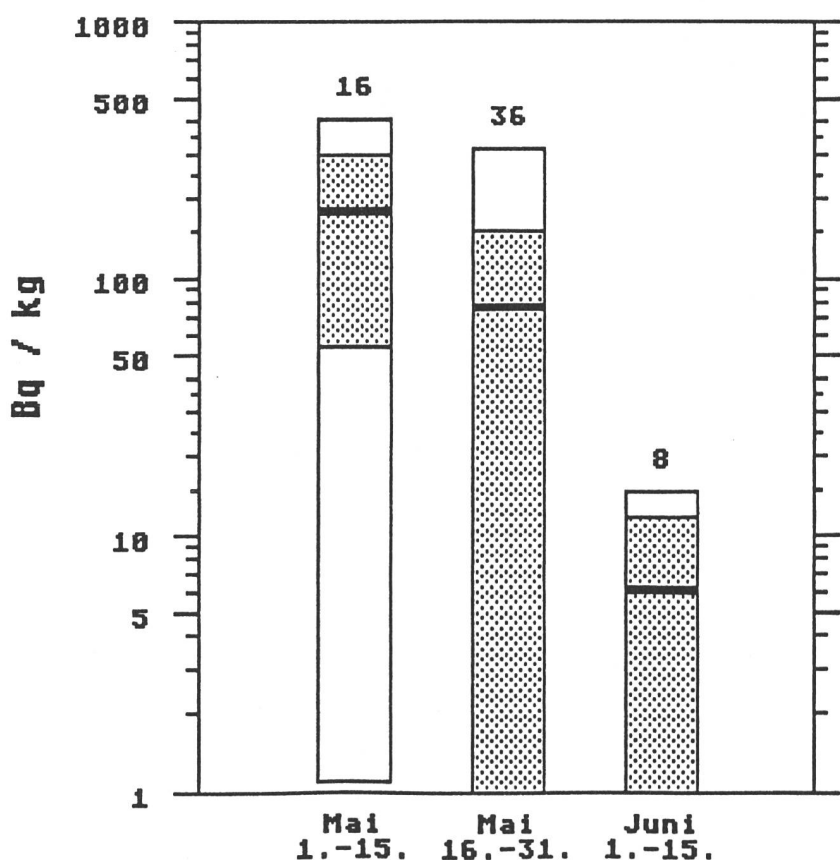


Fig.5.26.a: Cs-137 in Milch TI (Winter 86/87)

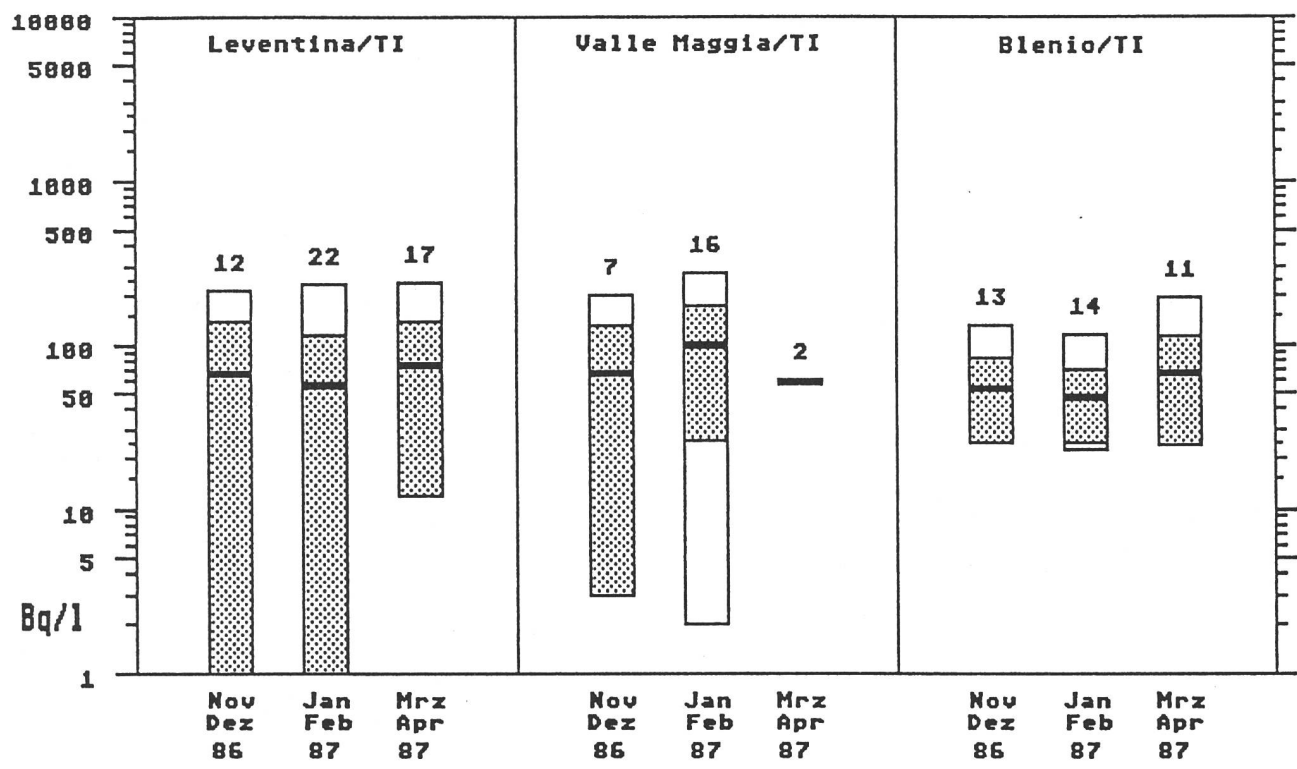


Fig.5.26.b: Cs-137 in Milch TI (Winter 86/87)

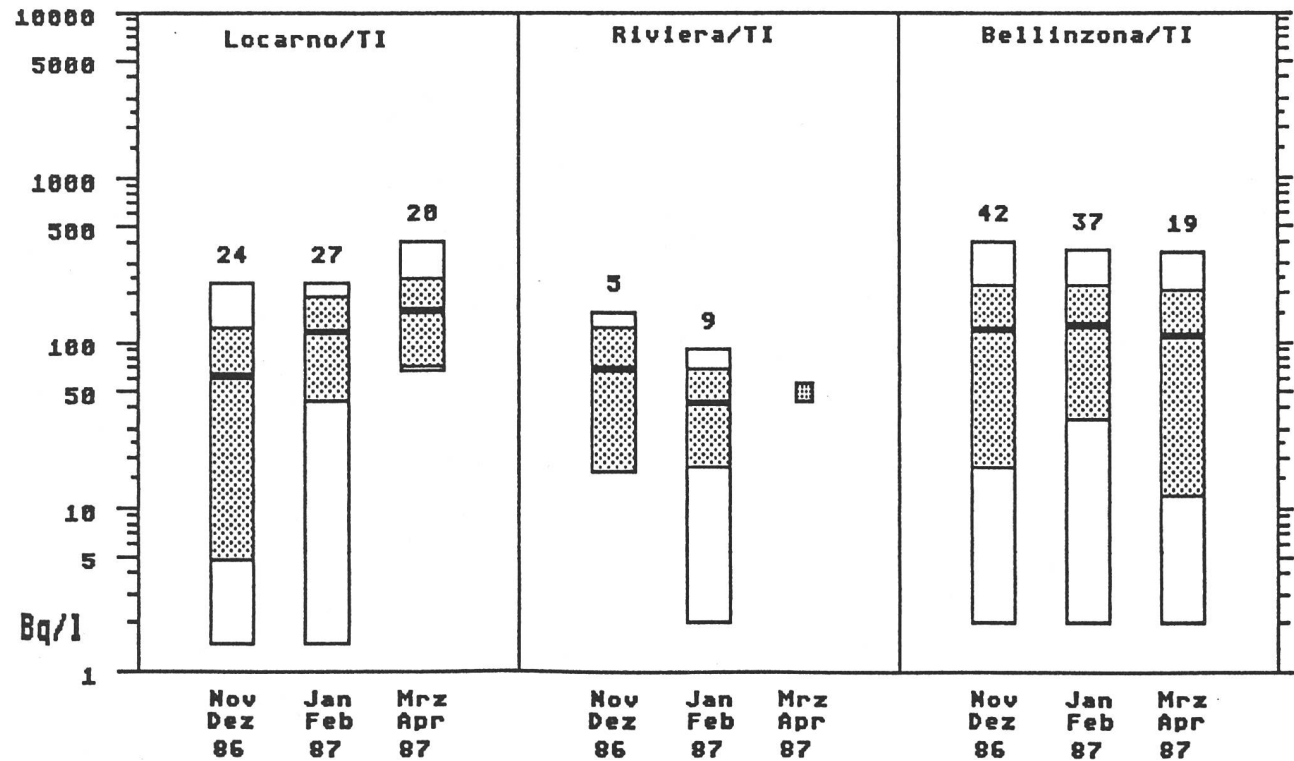


Fig.5.26.c: Cs-137 in Milch TI (Winter 86/87)

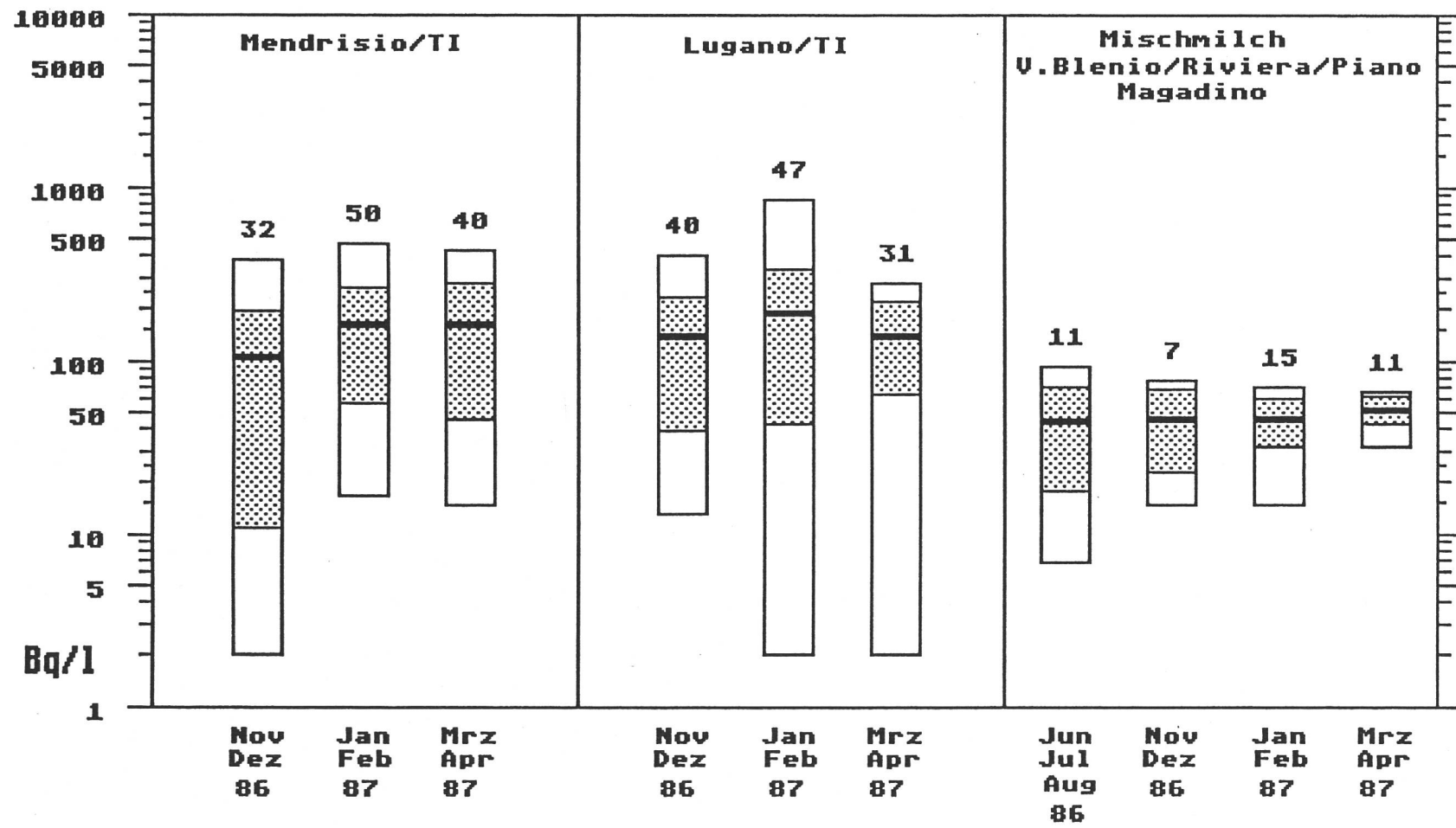


Fig.5.27.a: Cs-137 in Milch Kanton Schaffhausen 86/87

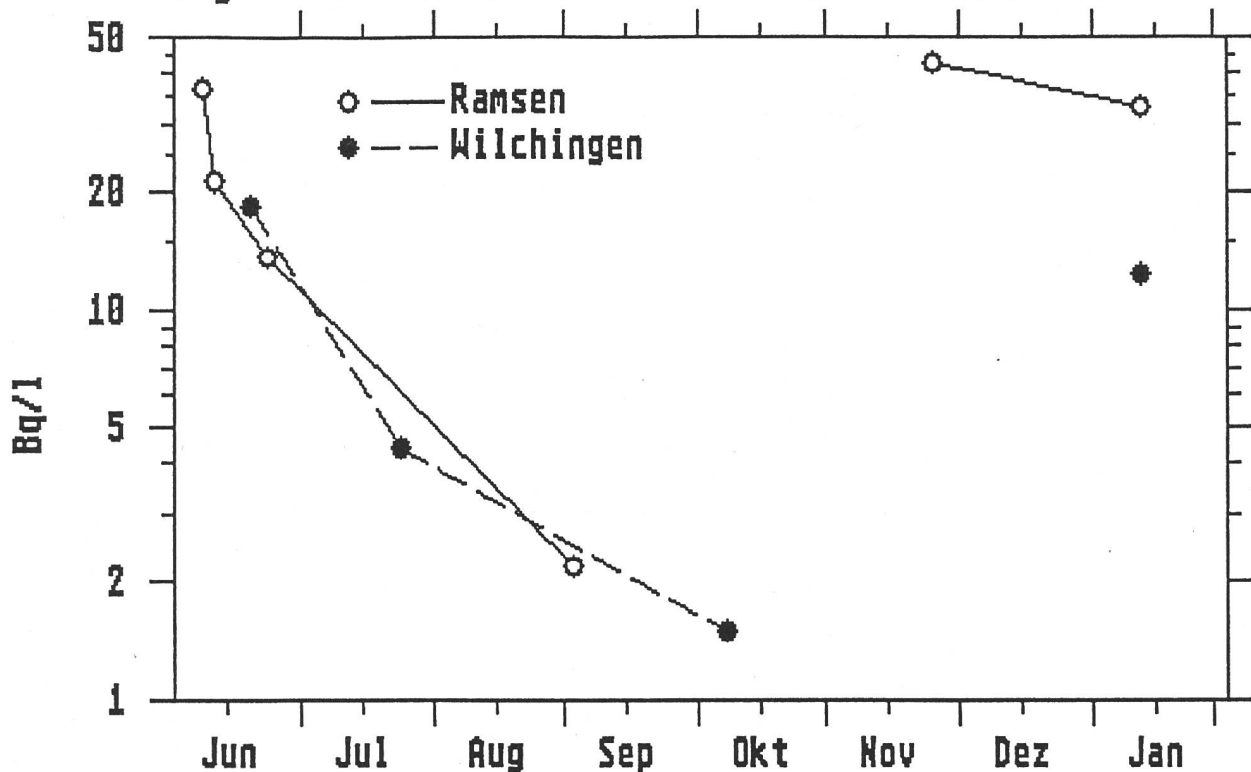


Fig.5.27.b: Cs-137 in Milch, Hunzenschwil/AG 1987

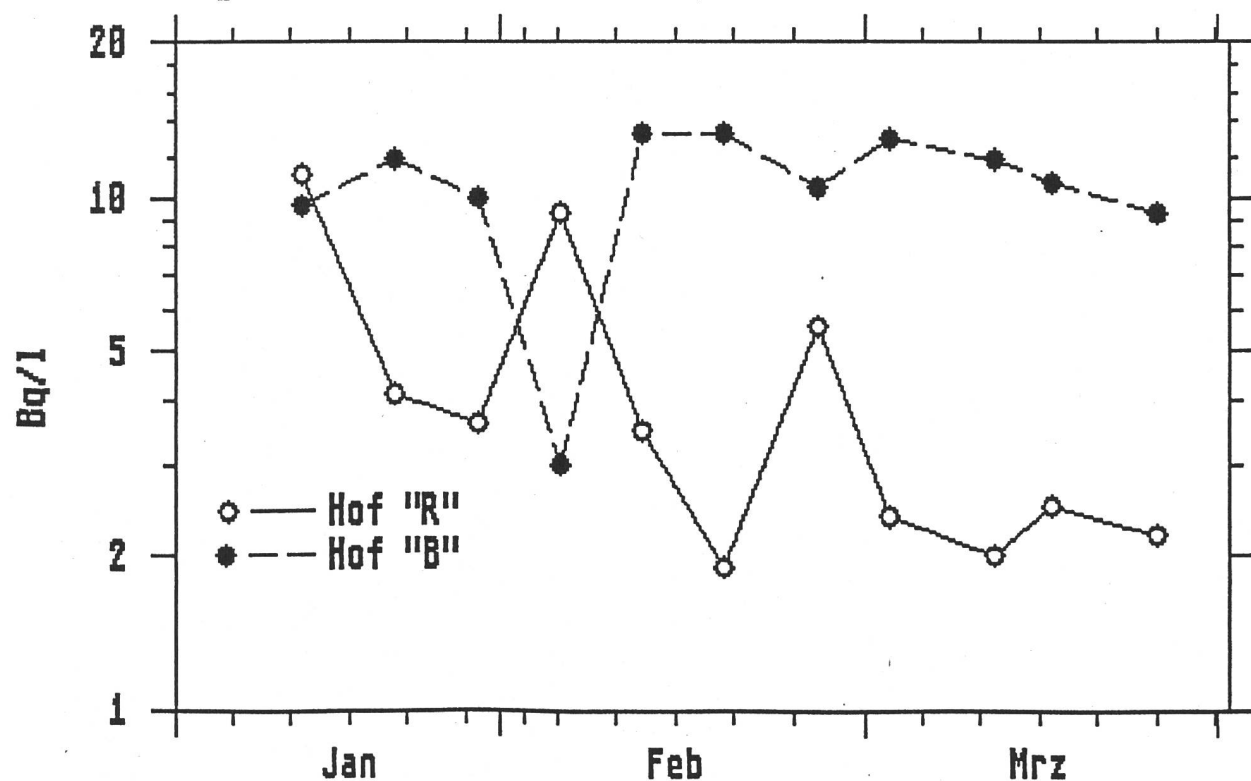


Fig.5.27.c: Cs-137 in Milch, Neuenkirch/LU 86/87

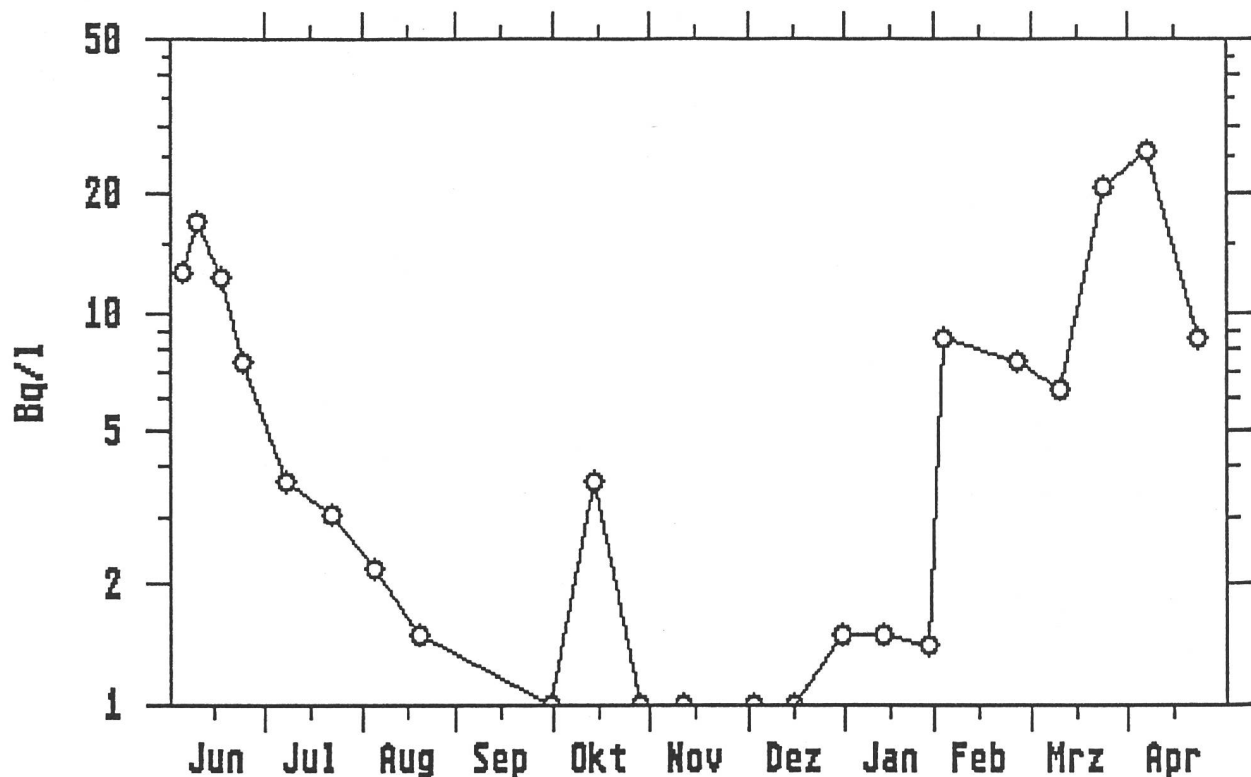


Fig.5.27.d: Cs-137 in Milch, Kanton Appenzell 86

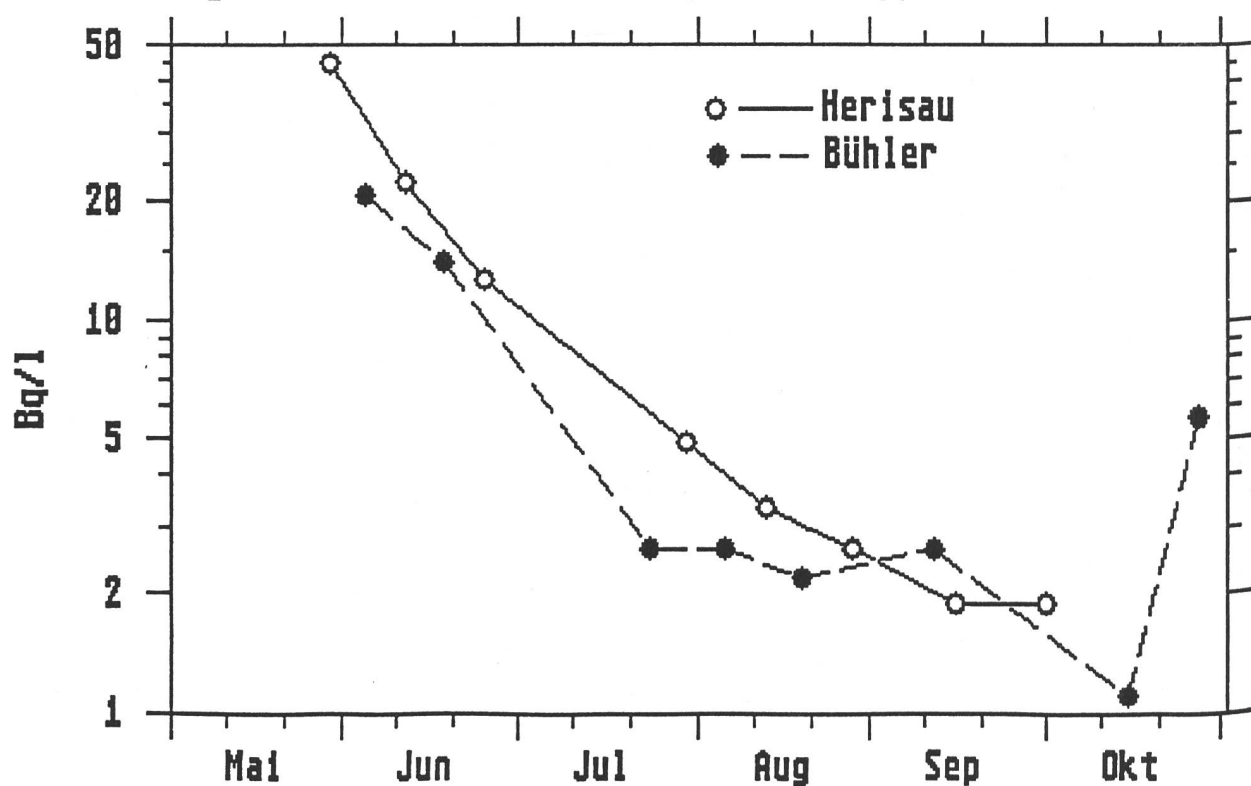


Fig.5.27.e: Cs-137 in Milch, Kanton Thurgau 86/87

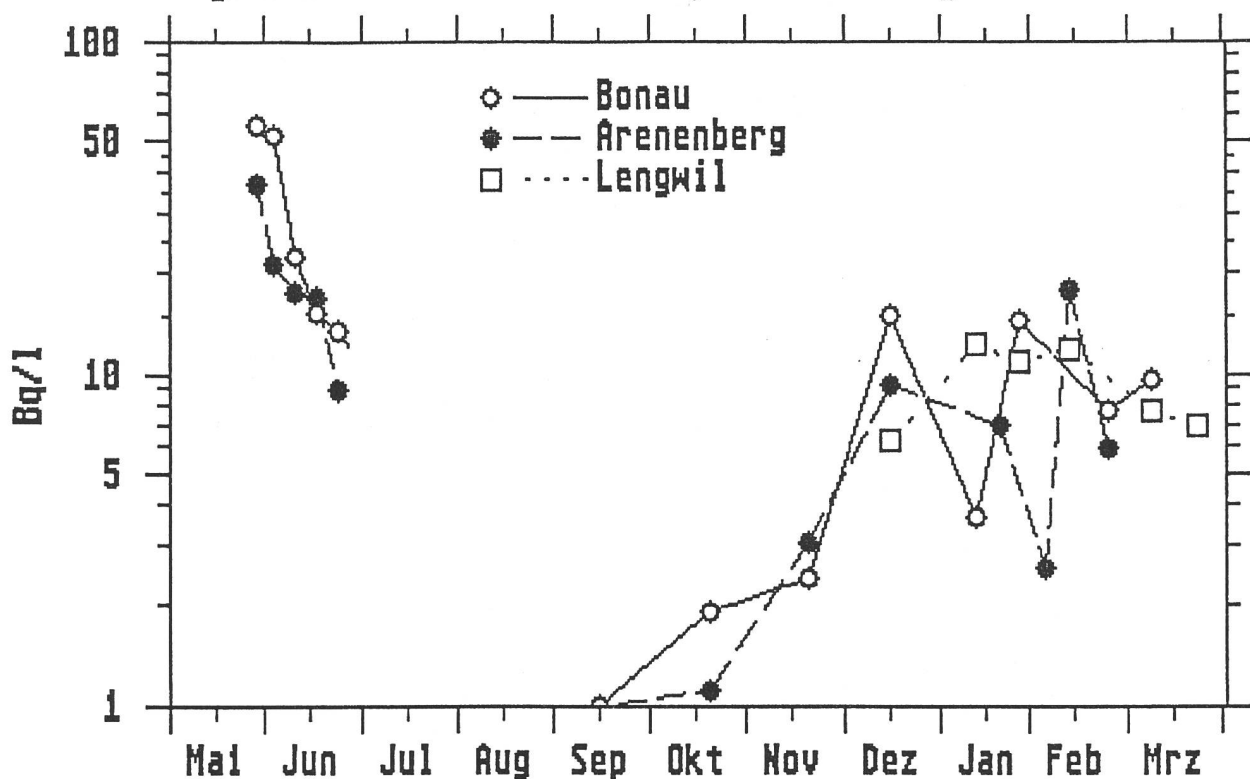


Fig.5.27.f: Cs-137 in Milch, Altstätten/SG 86/87

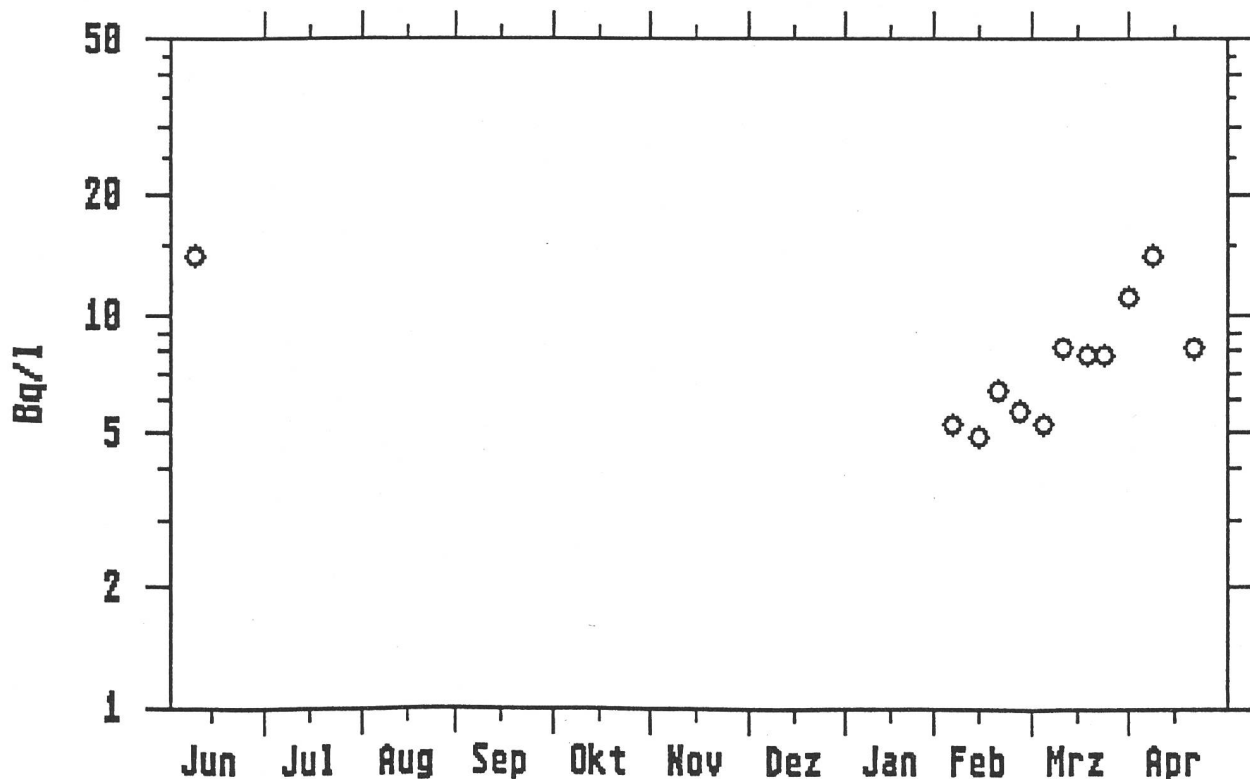


Fig.5.28.a: Cs-137 in Schafmilch, Tessin

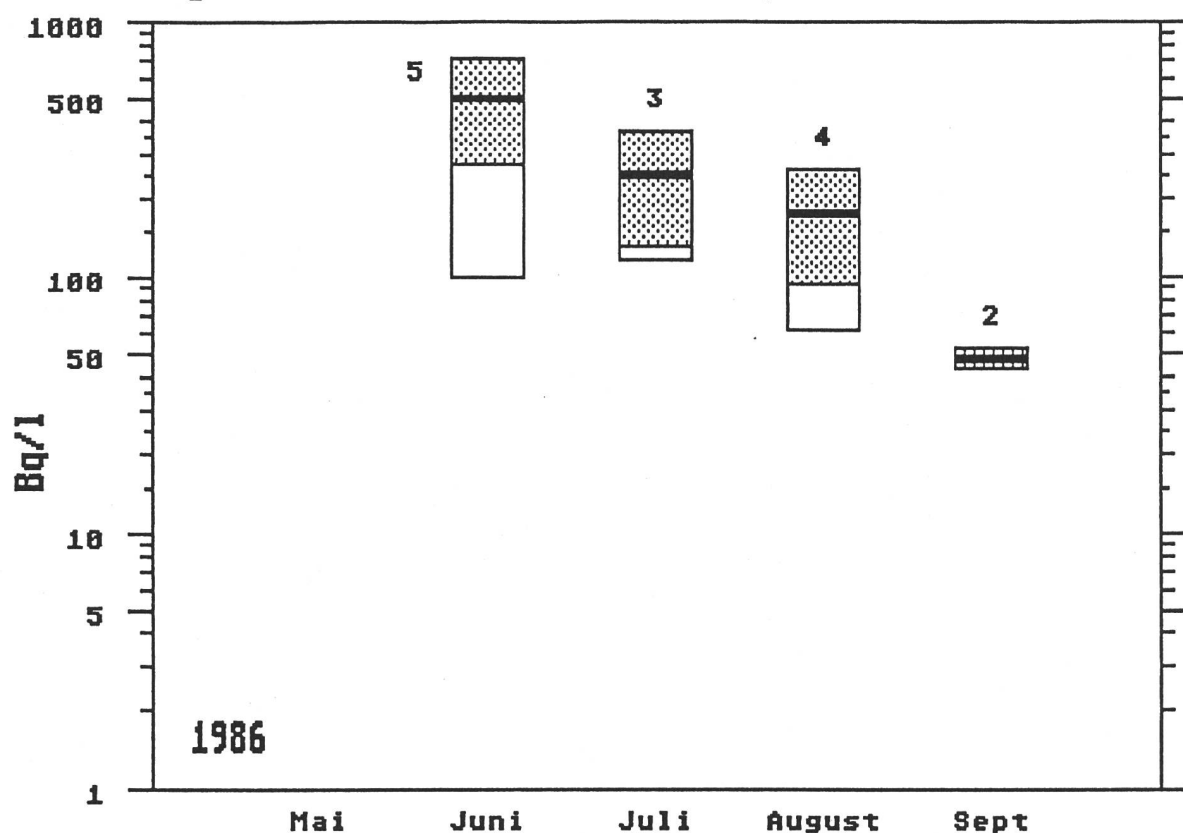


Fig.5.28.b: J-131 in Schafmilch, Tessin

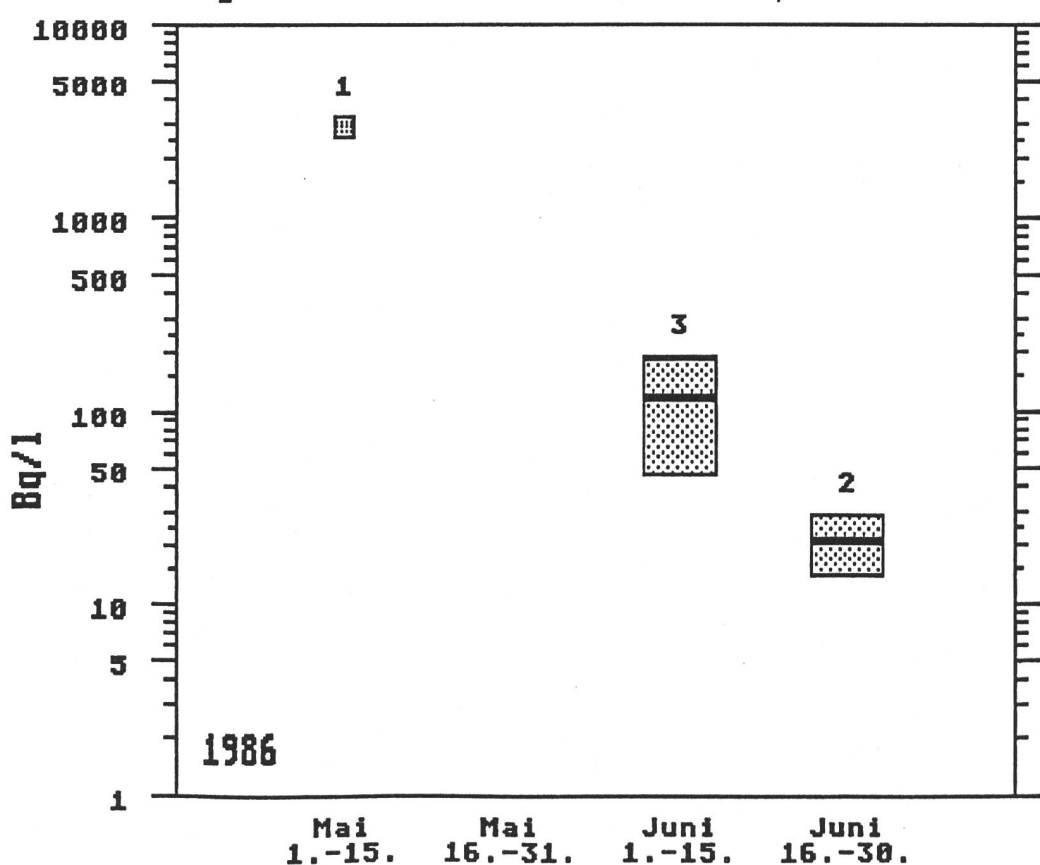


Fig.5.28.c: Cs-137 in Schafmilch, Ostschweiz

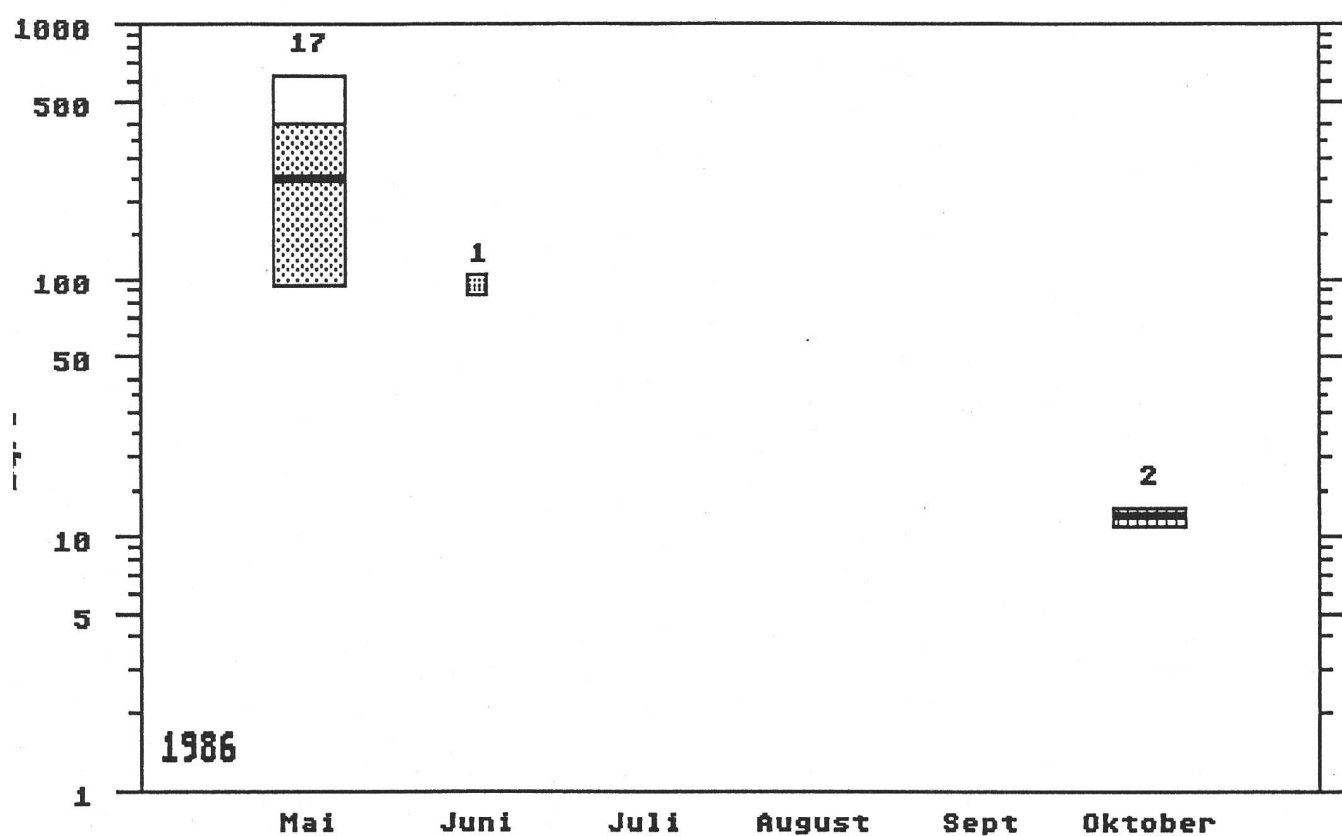


Fig.5.28.d: J-131 in Schafmilch, Ostschweiz

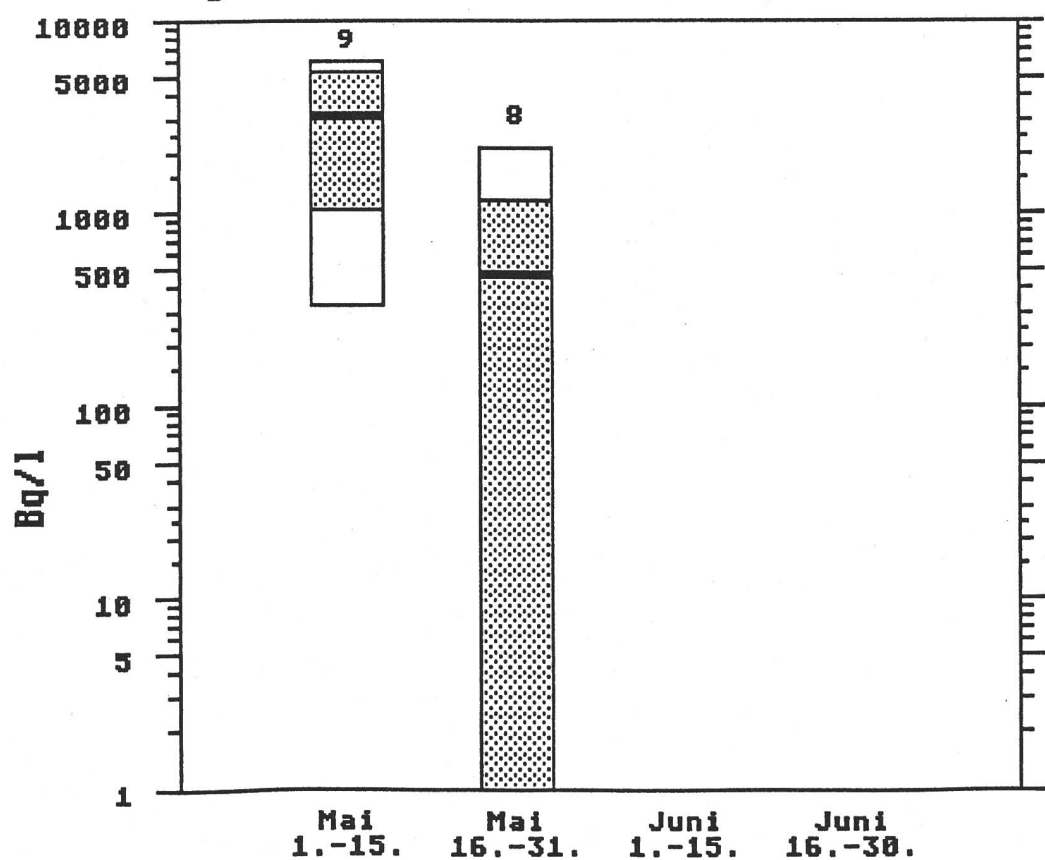


Fig.5.28.e: Cs-137 in Schafmilch
Zentral- und Nordschweiz

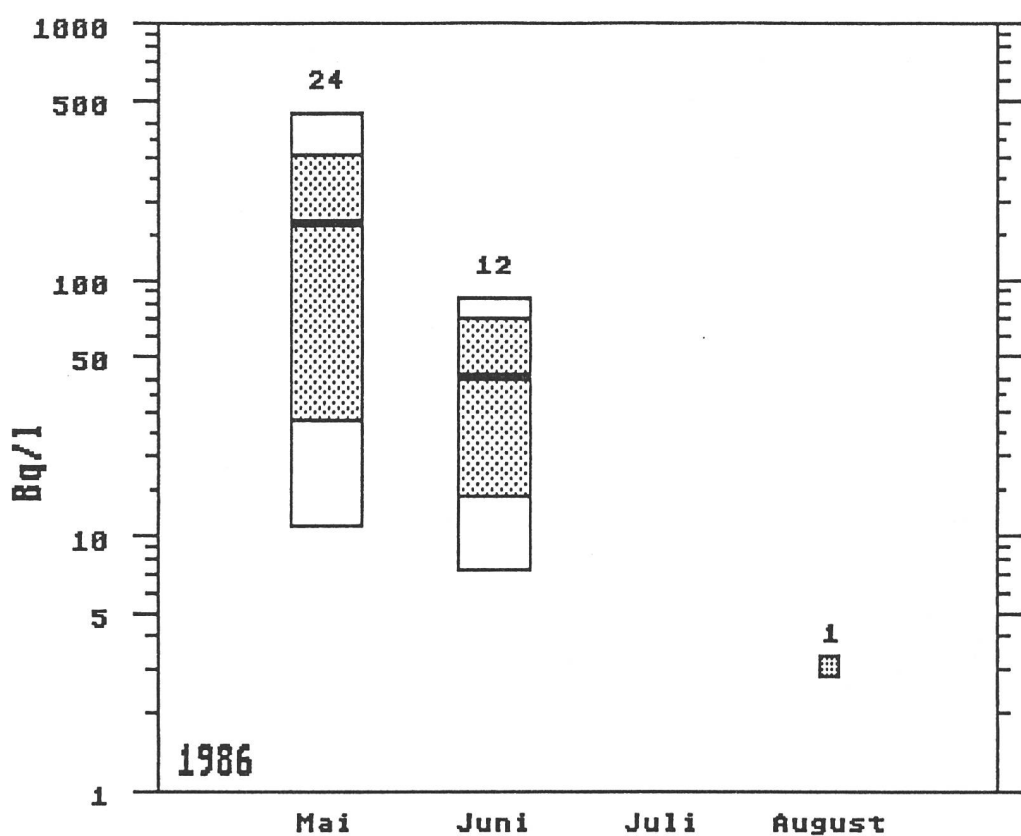


Fig.5.28.f: J-131 in Schafmilch
Zentral- und Nordschweiz

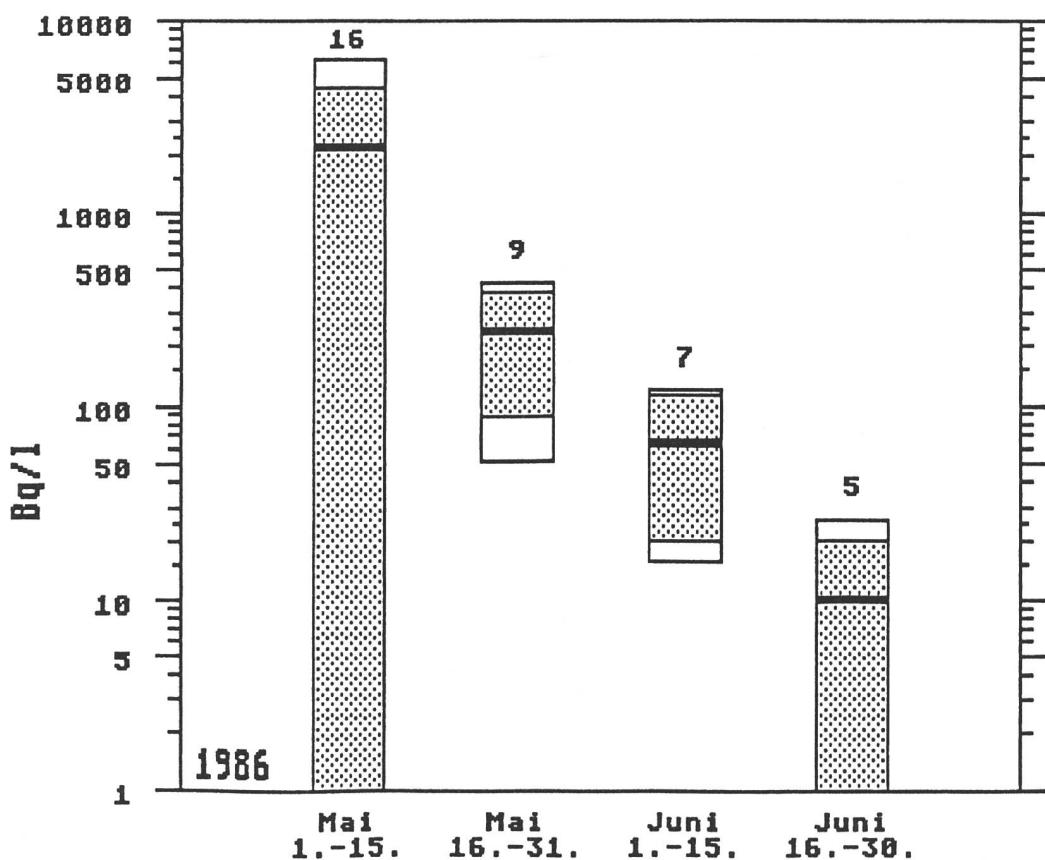


Fig.5.28.g: Cs-137 in Schafmilch, Westschweiz

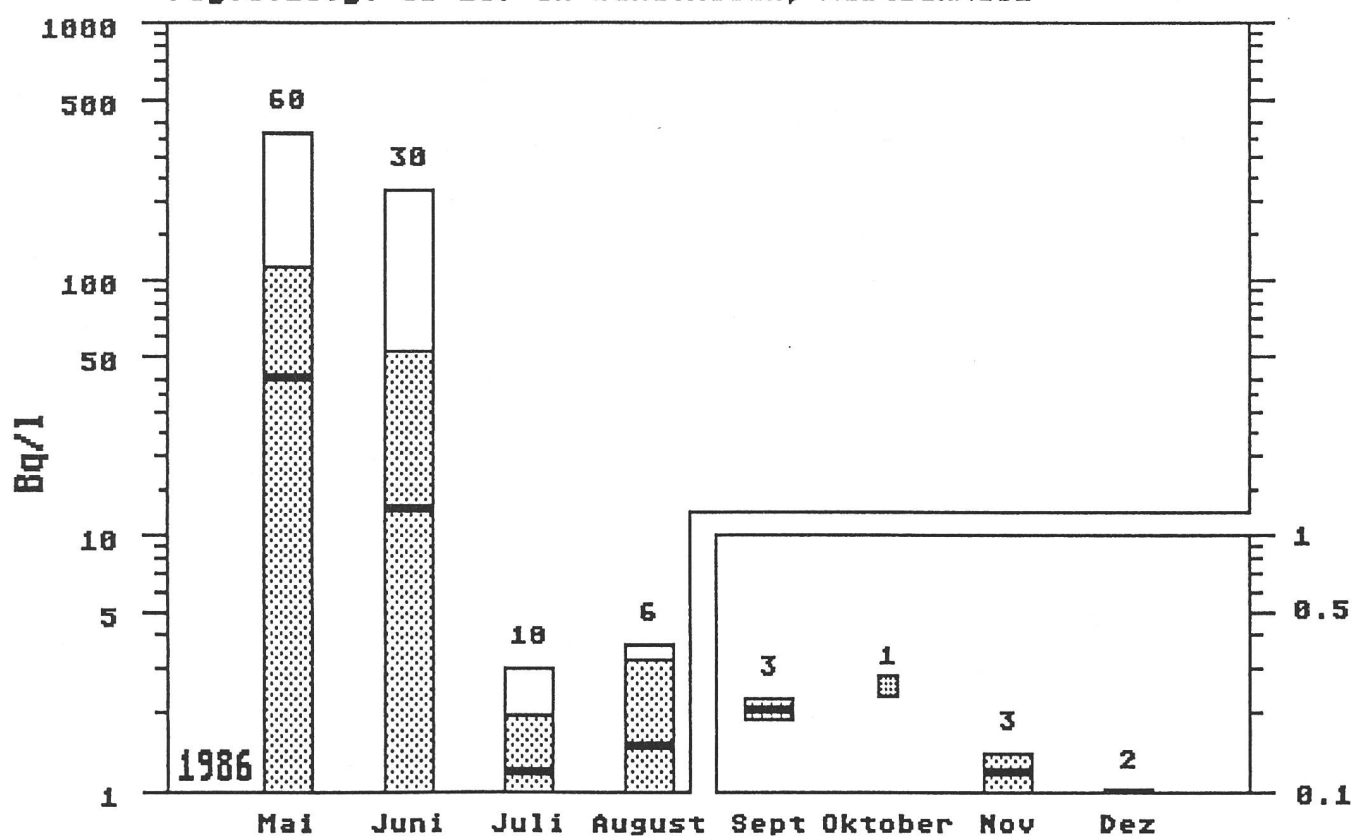


Fig.5.28.h: J-131 in Schafmilch, Westschweiz

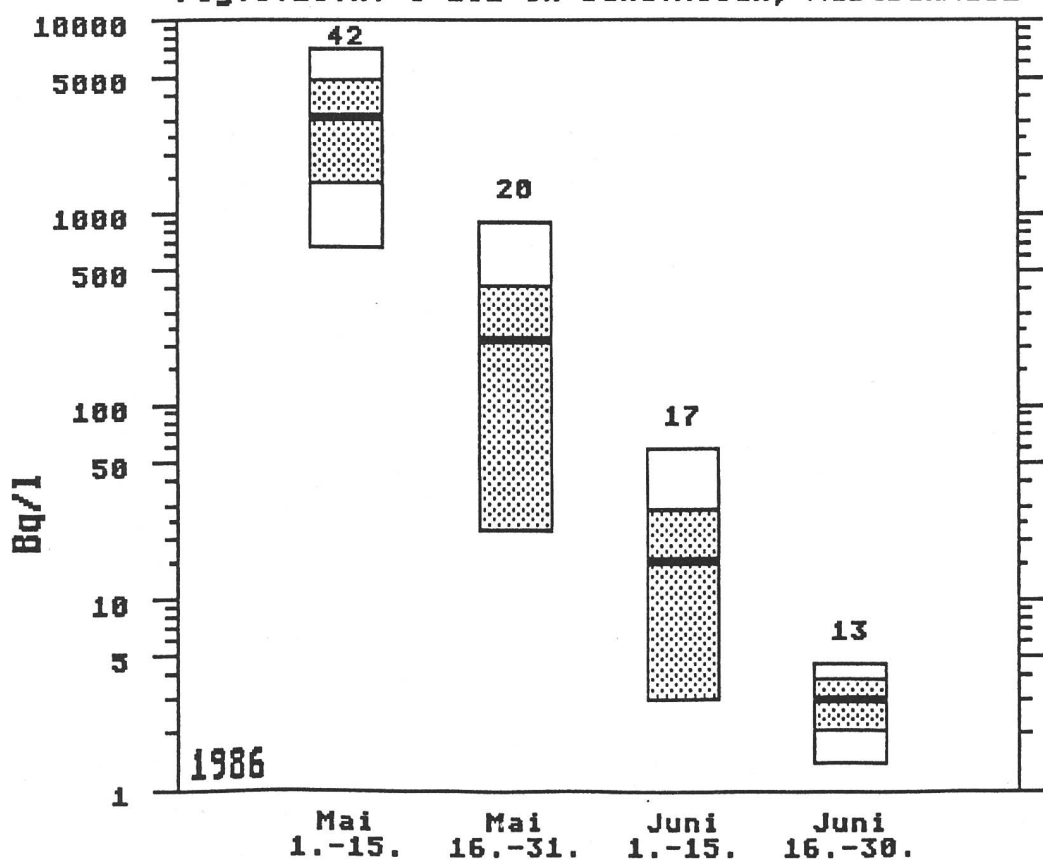


Fig.5.28.i: Cs-137 in Ziegenmilch, Tessin

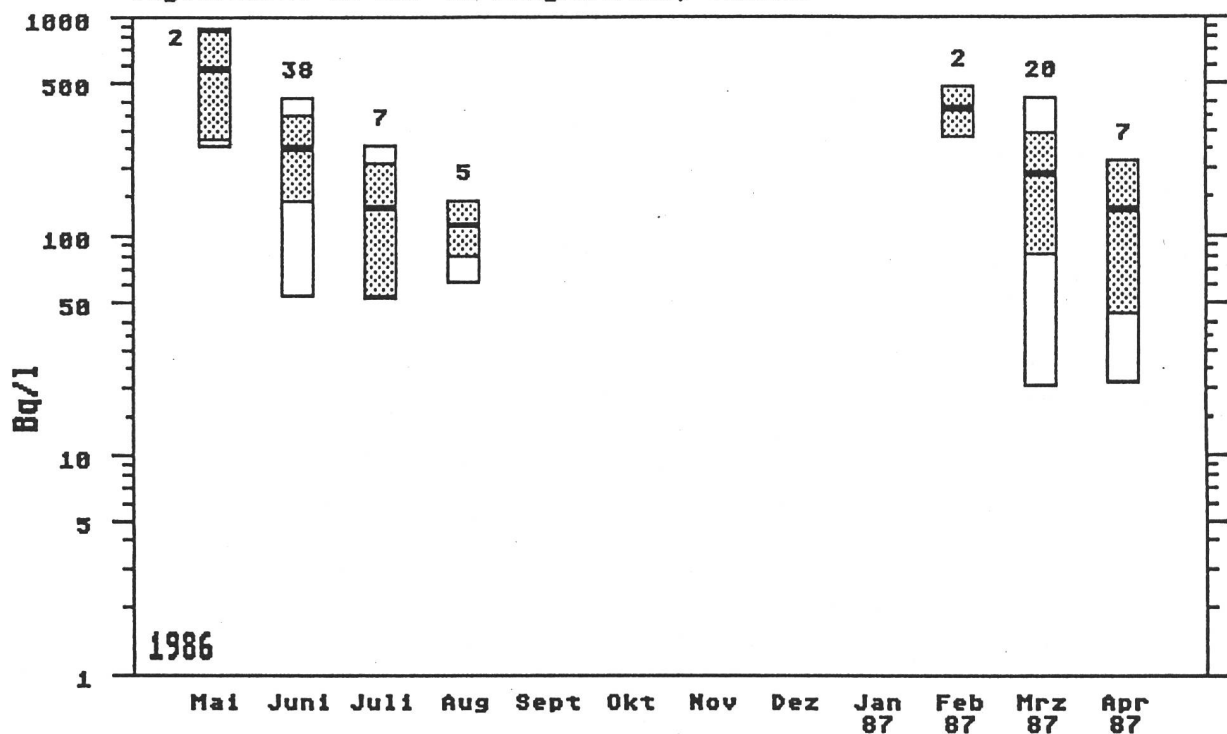


Fig.5.28.k: J-131 in Ziegenmilch, Tessin

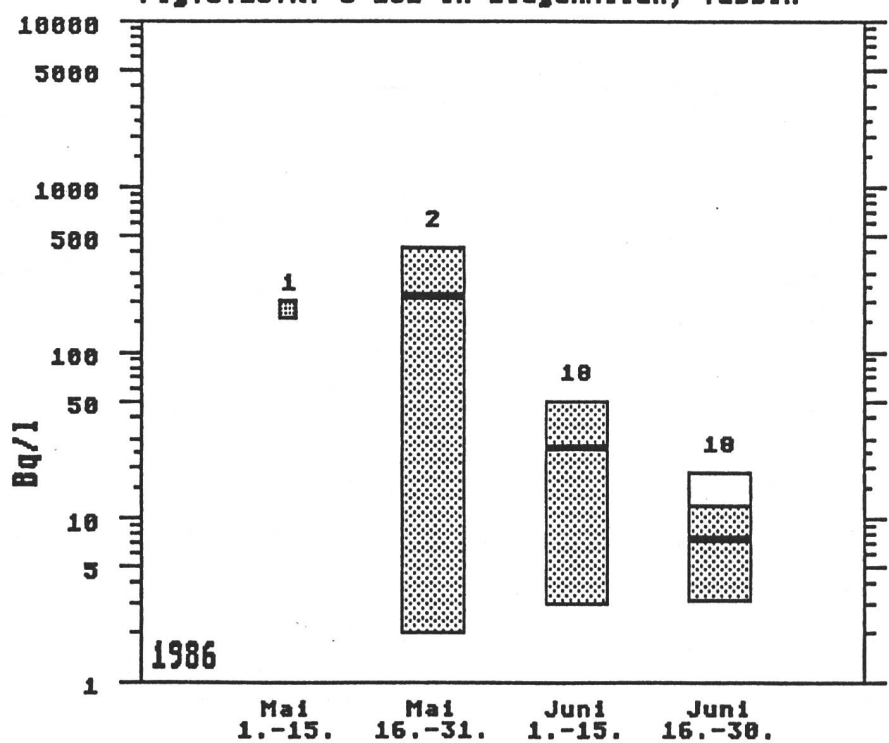


Fig.5.28.1: Cs-137 in Ziegenmilch, Westschweiz

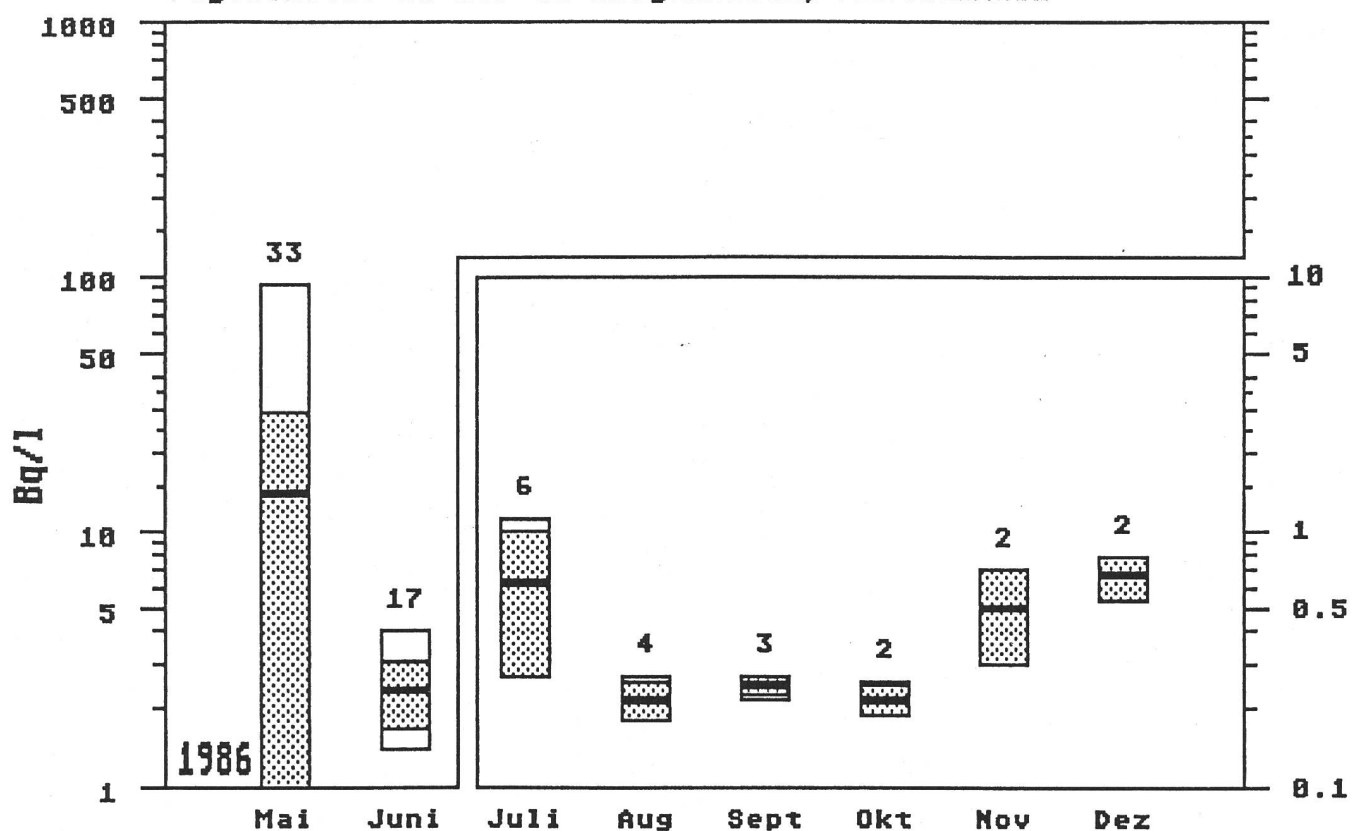


Fig.5.28.m: J-131 in Ziegenmilch, Westschweiz

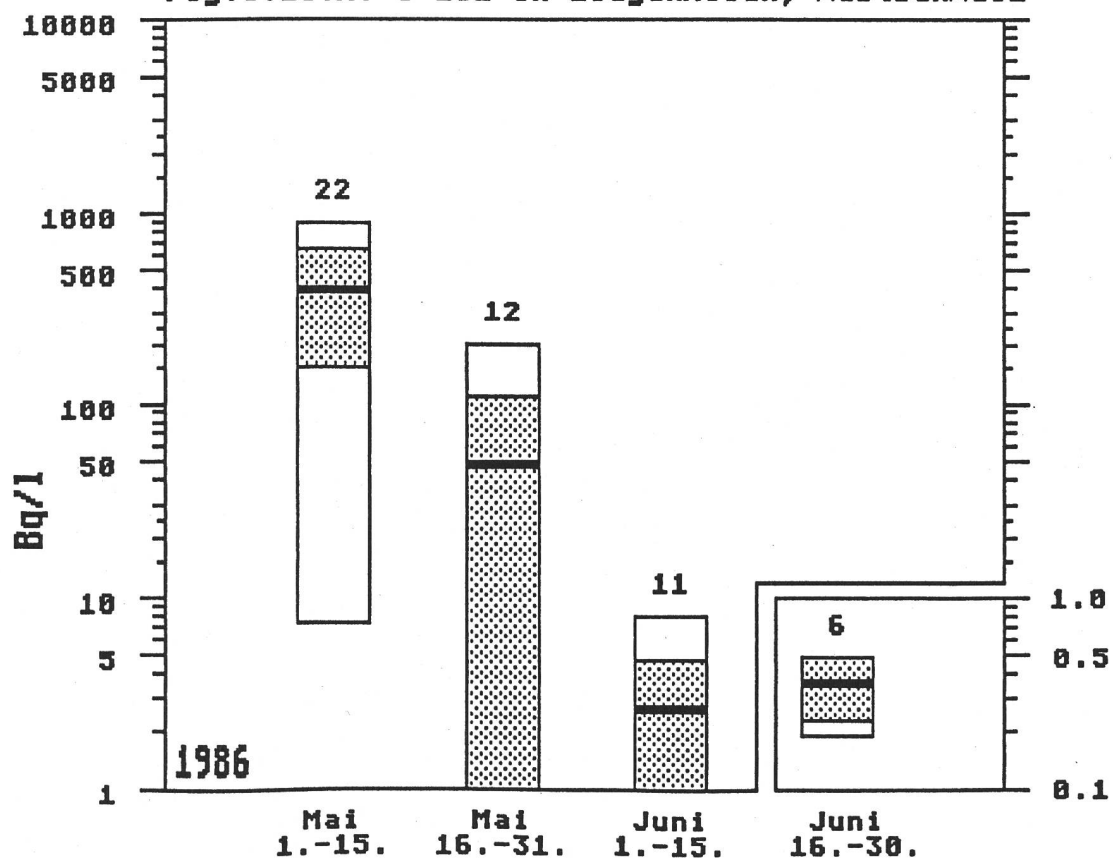


Fig.5.28.n: Ziegenmilch Hondrich /BE 1986

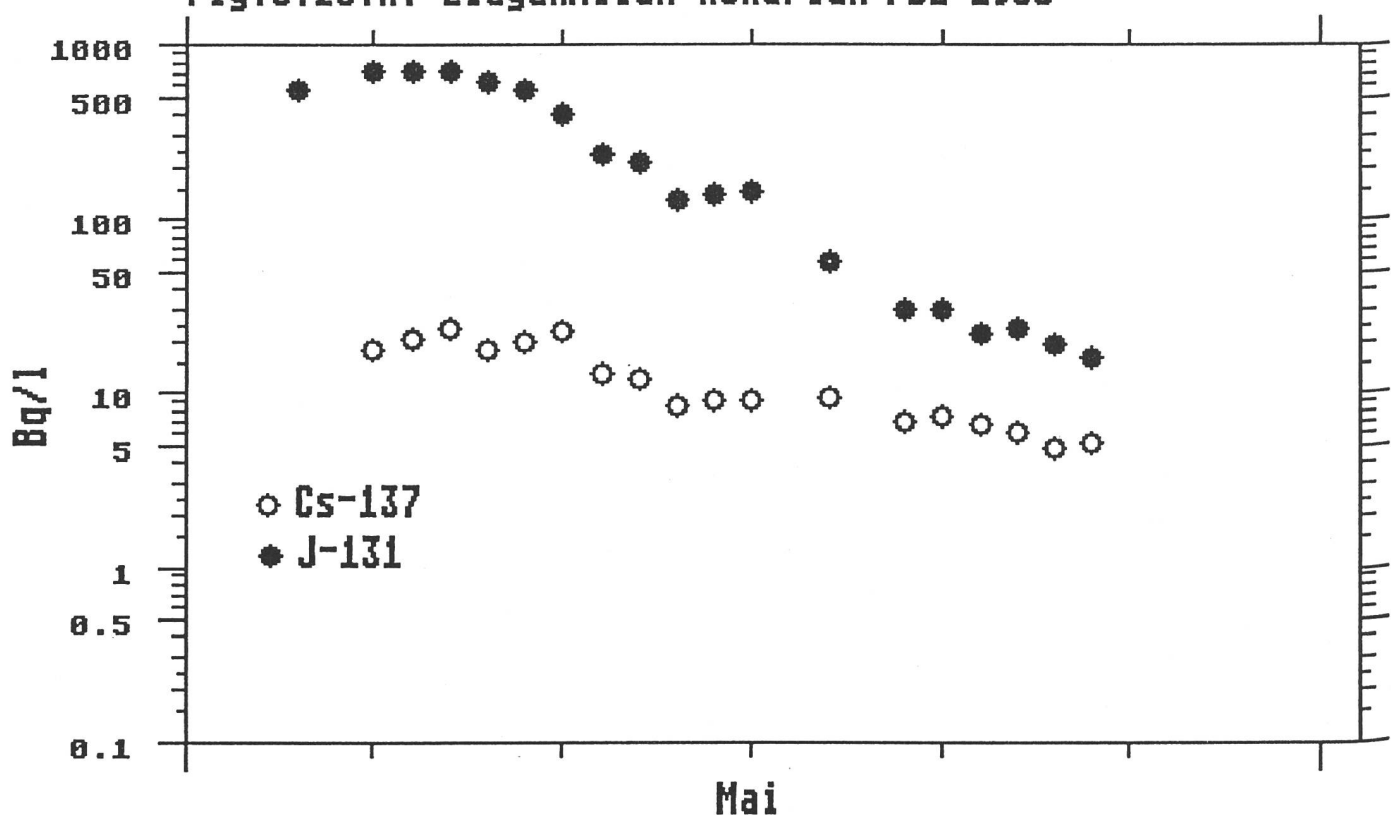


Fig.5.28.o: Ziegenmilch Einigen /BE 1986

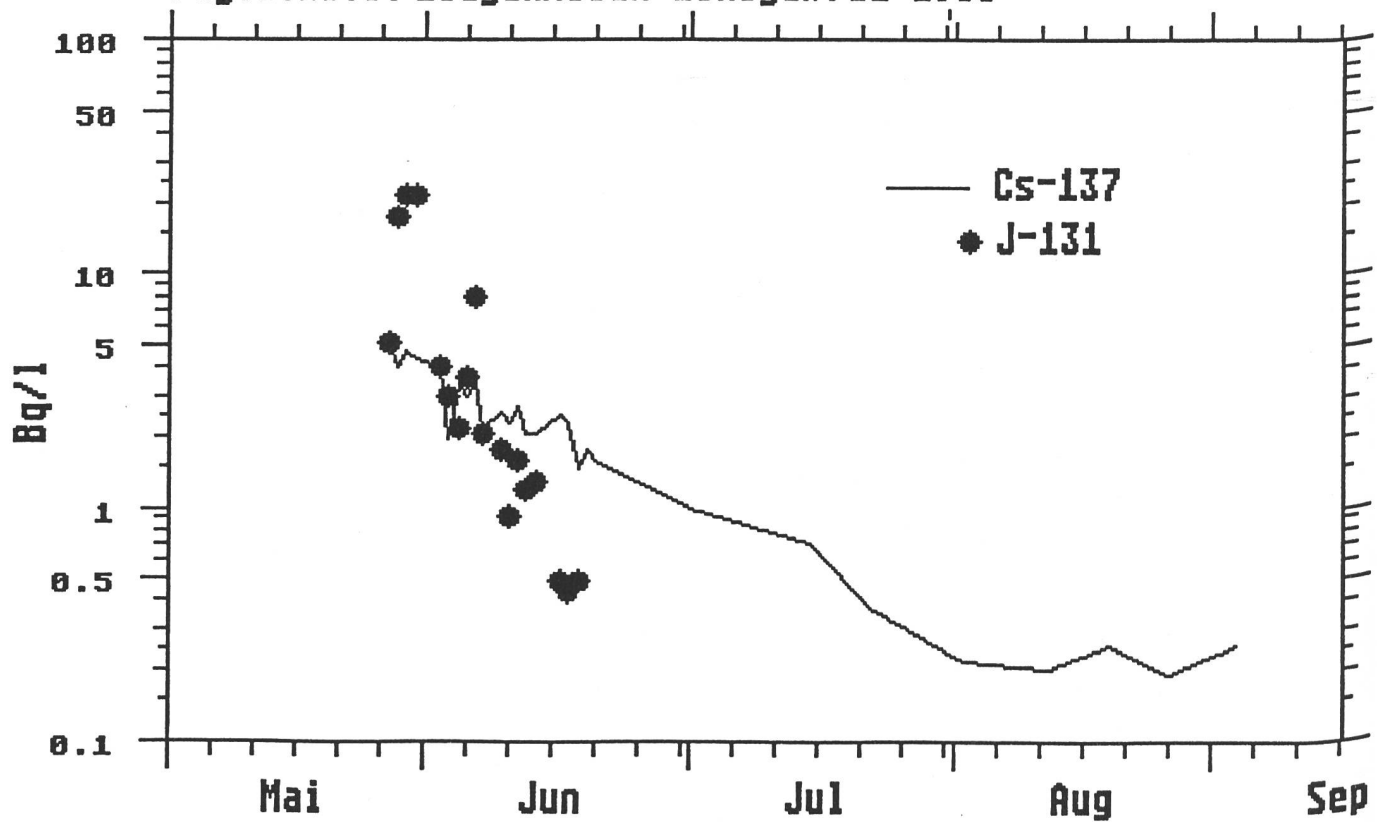


Fig.5.28.p: Schafmilch Spiez/BE 1986

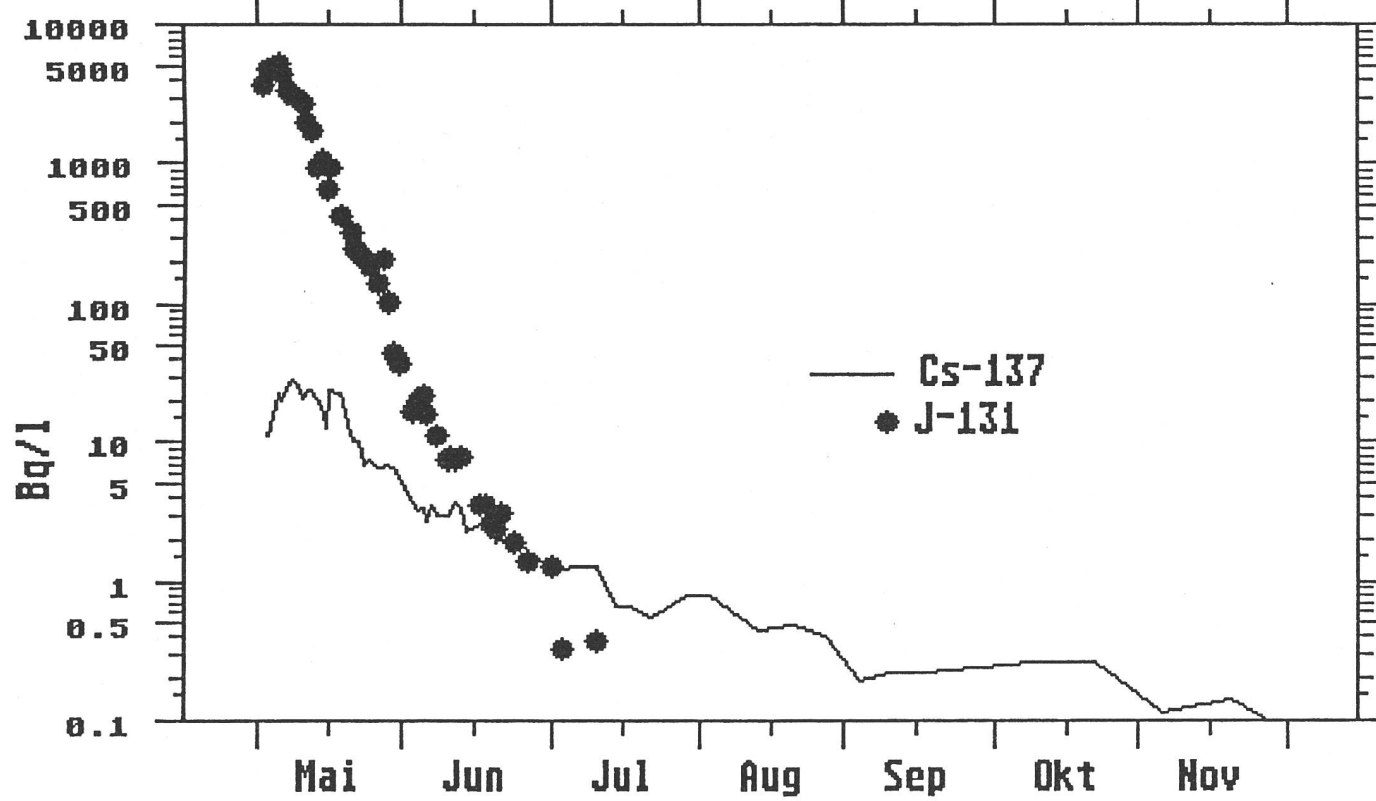


Fig.5.29.a: Cs-137 in Schafkäse, ganze Schweiz

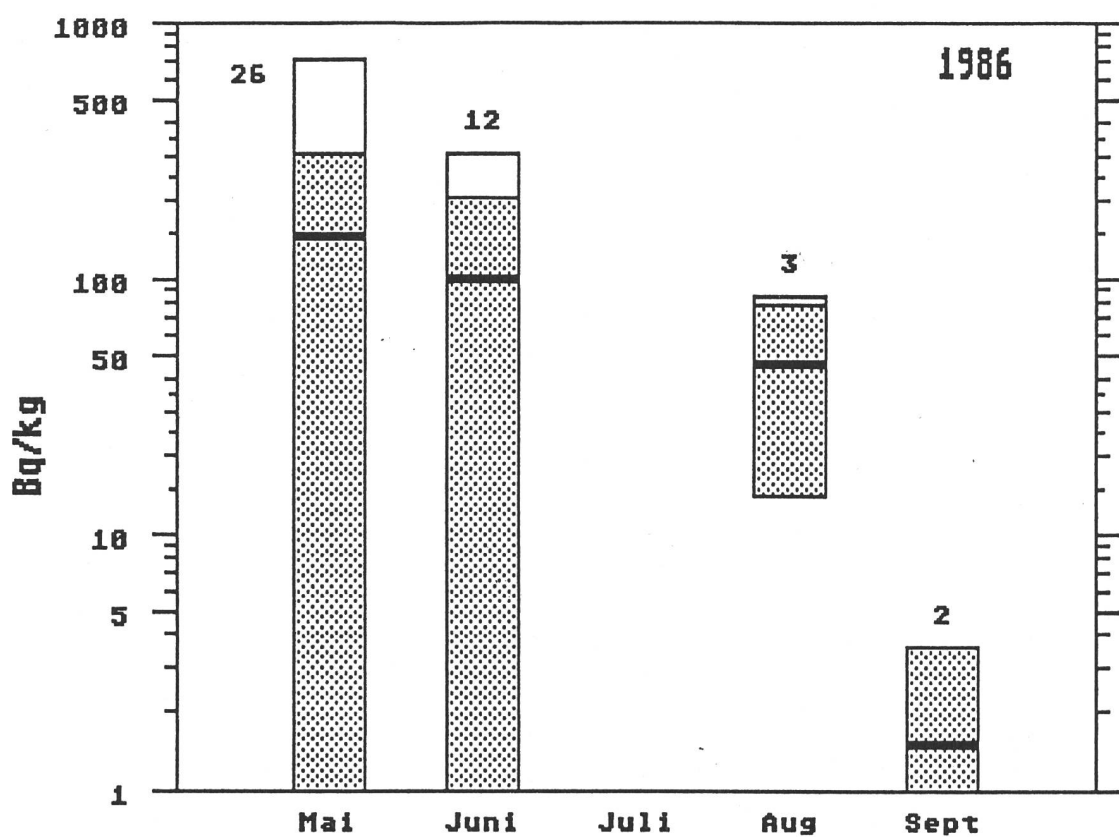


Fig.5.29.b: J-131 in Schafkäse, ganze Schweiz

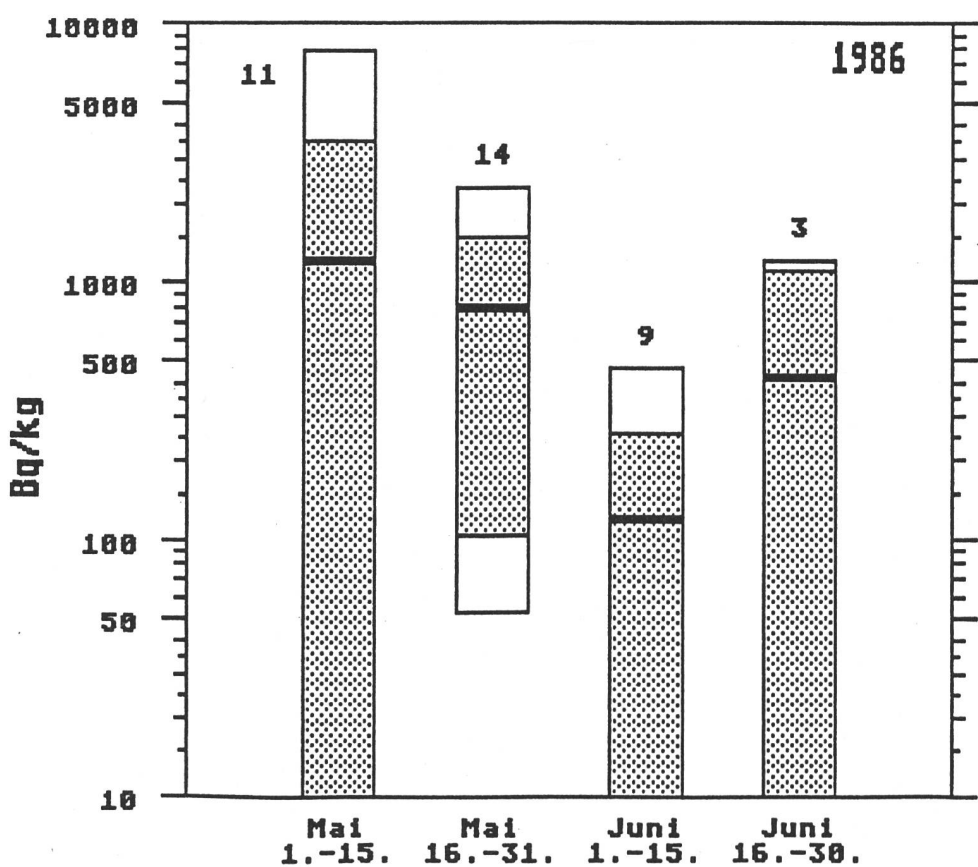


Fig.5.29.c: Cs-137 in Ziegenkäse, ganze Schweiz

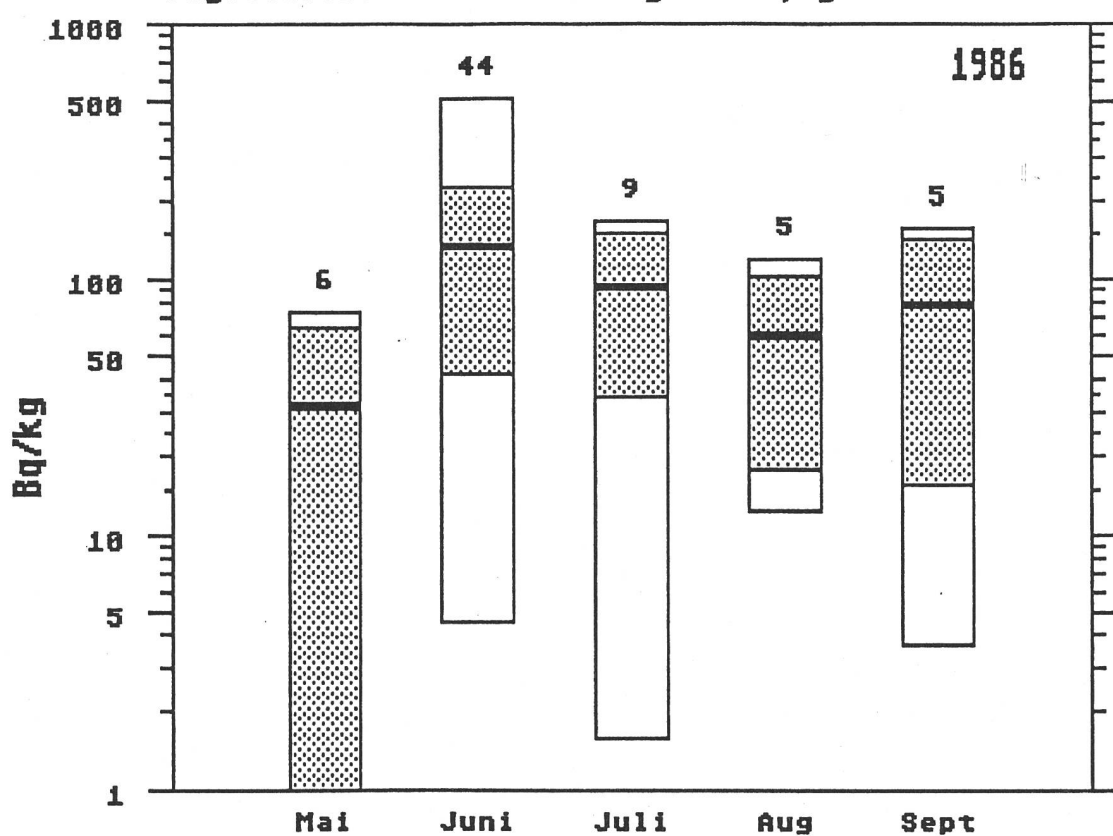


Fig.5.29.d: J-131 in Ziegenkäse, ganze Schweiz

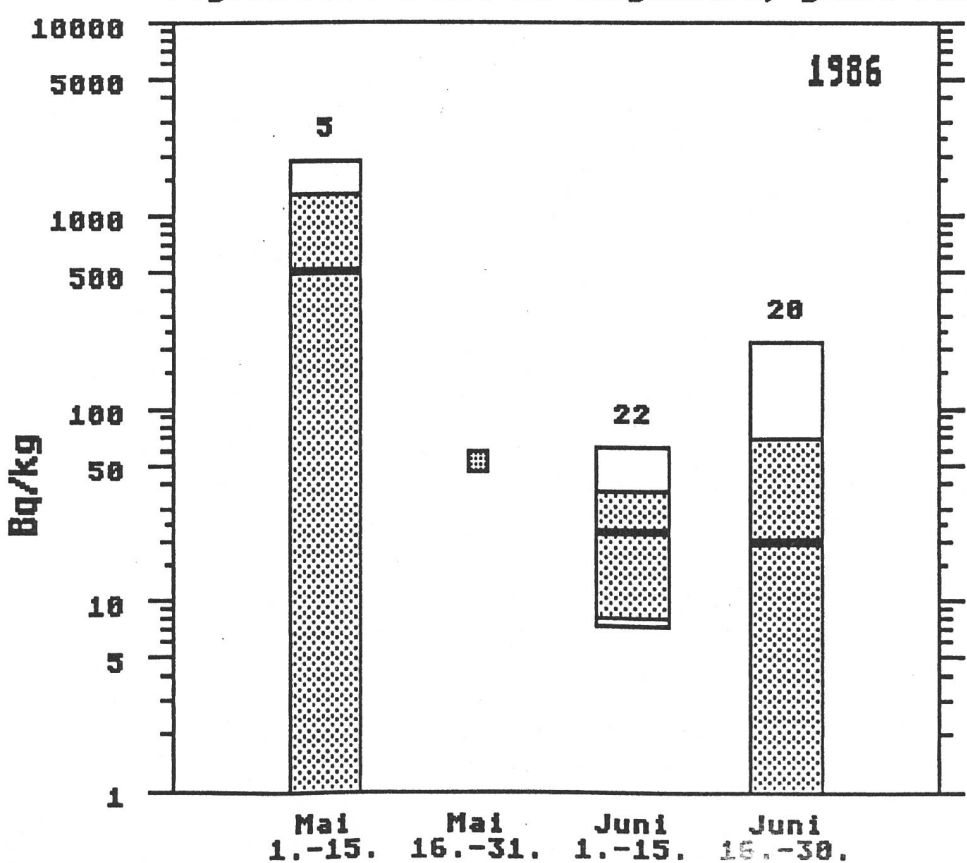


Fig.5.29.e: Cs-137 in Käse (Kuhmilch), Tessin

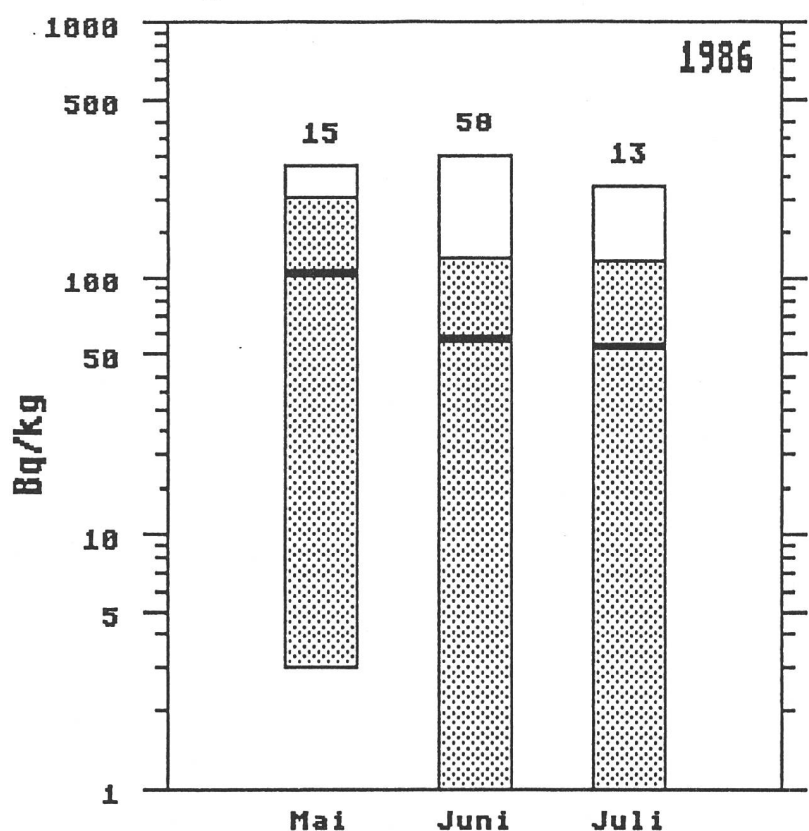


Fig.5.29.f: J-131 in Käse (Kuhmilch), Tessin

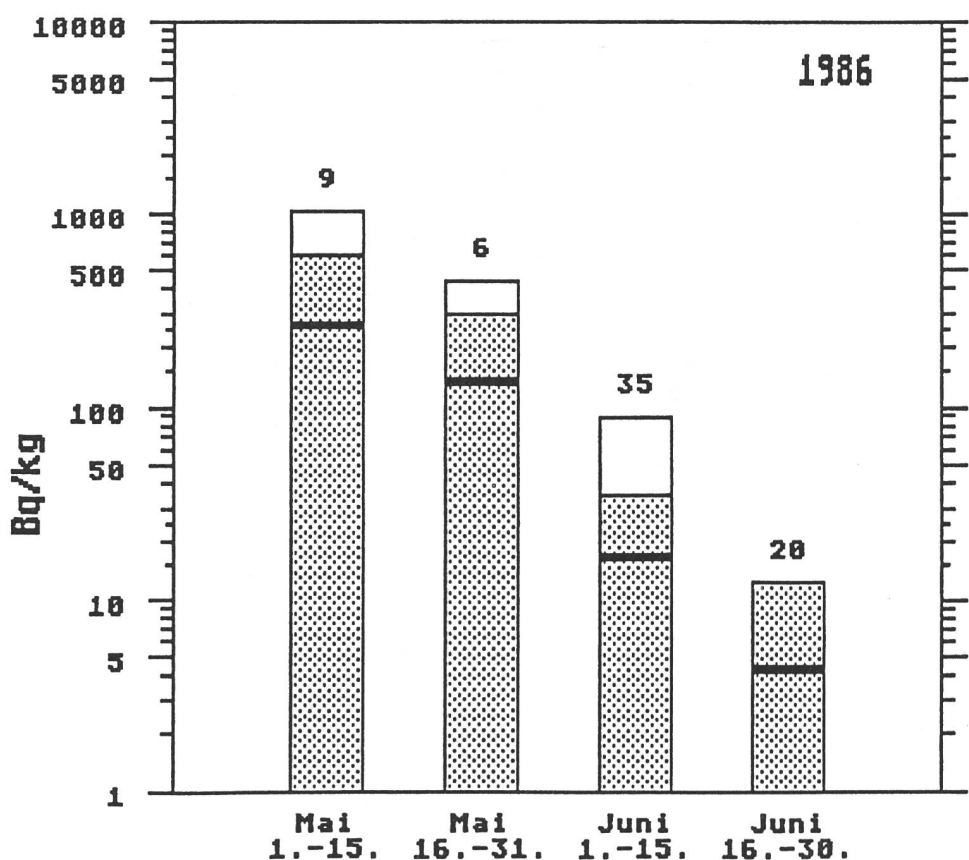


Fig.5.30.a: Cs-137 in Fischen, Lago Ceresio (Luganersee)

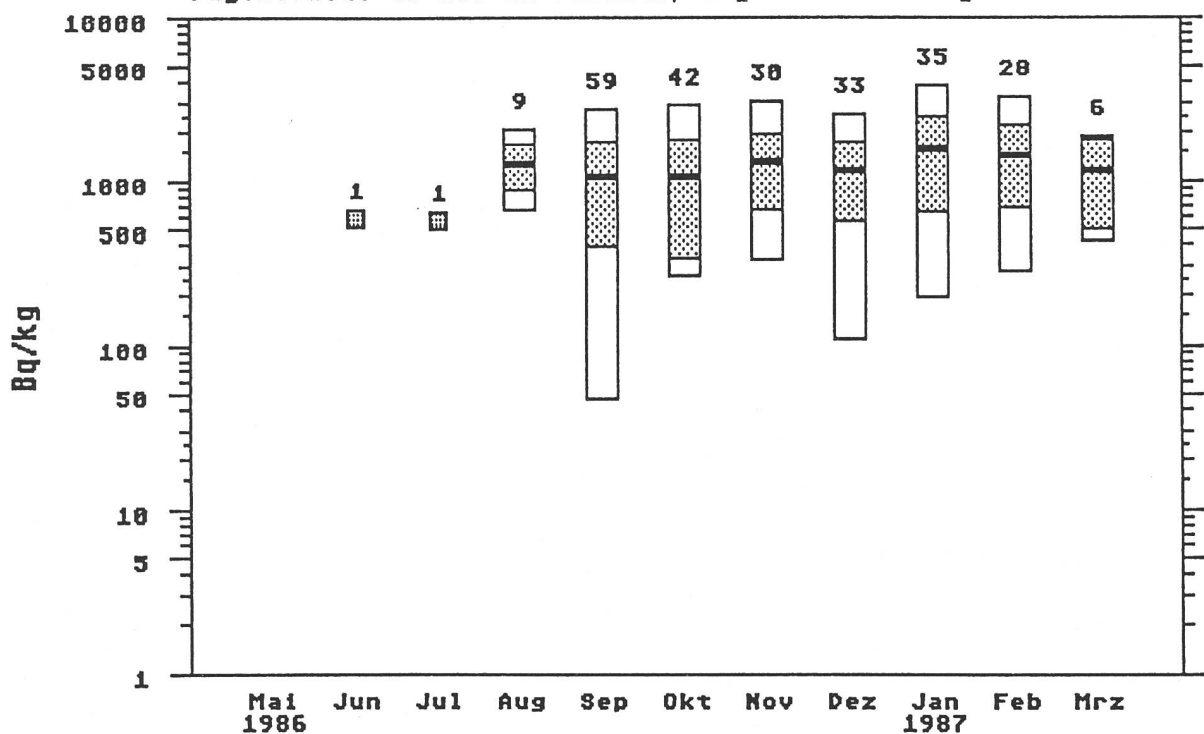


Fig.5.30.b: Cs-137 in Fischen, Lago Ceresio (Luganersee)

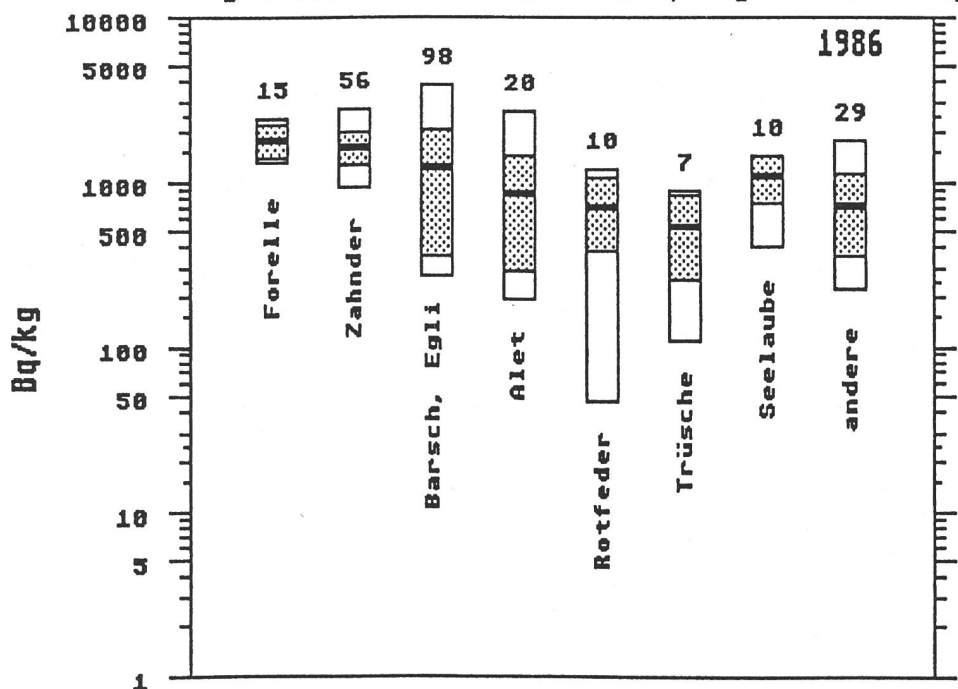


Fig.5.30.c: Cs-137 in Fischen, Lago Maggiore

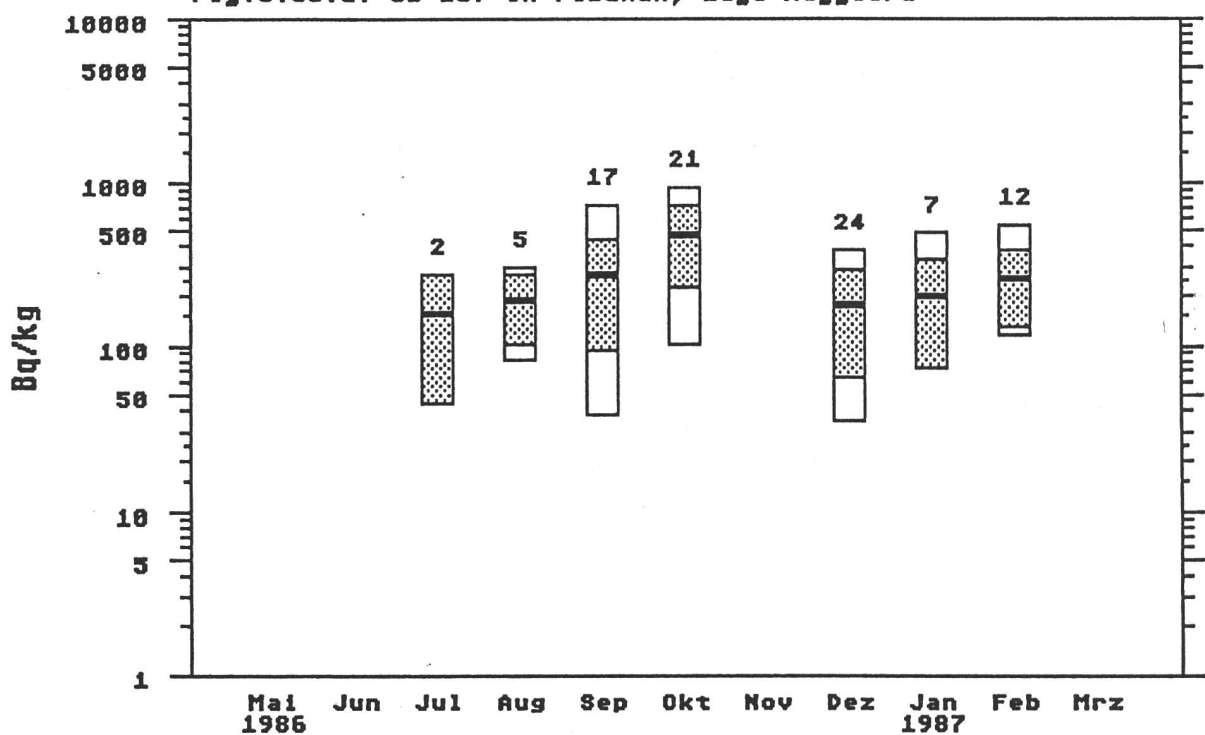


Fig.5.30.d: Cs-137 in Fischen, Tessin

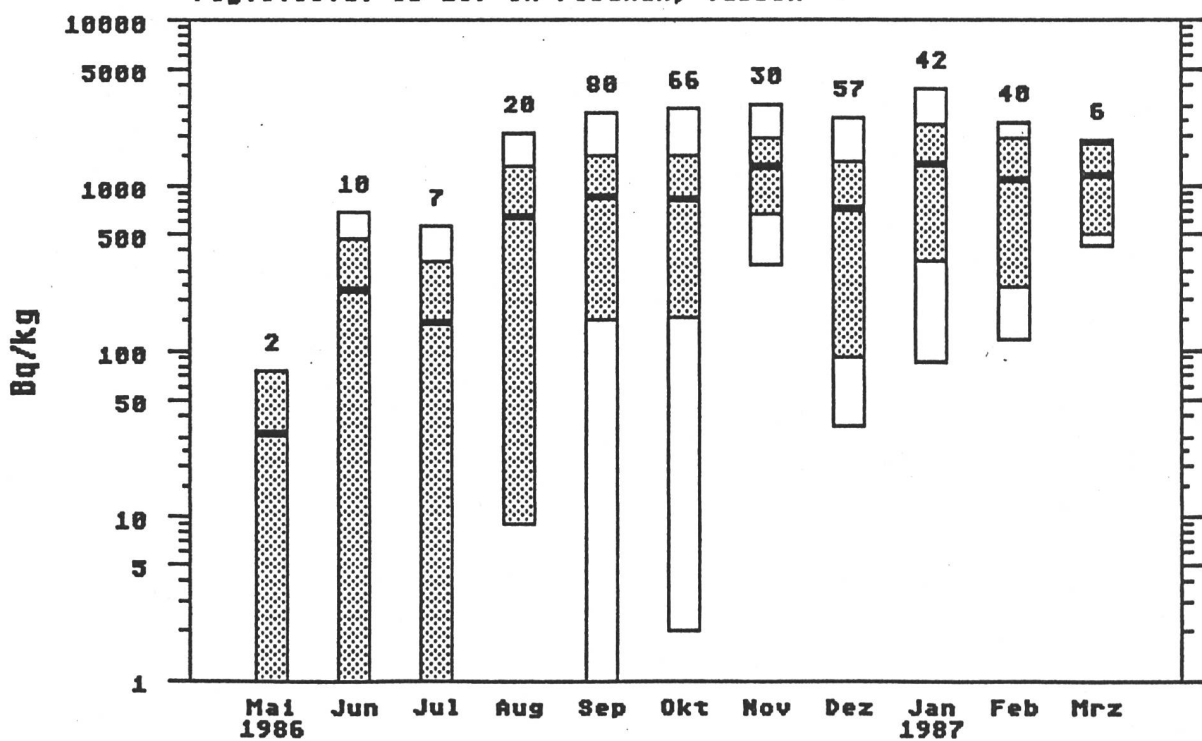


Fig.5.30.e: Cs-137 in Fischen, Bodensee

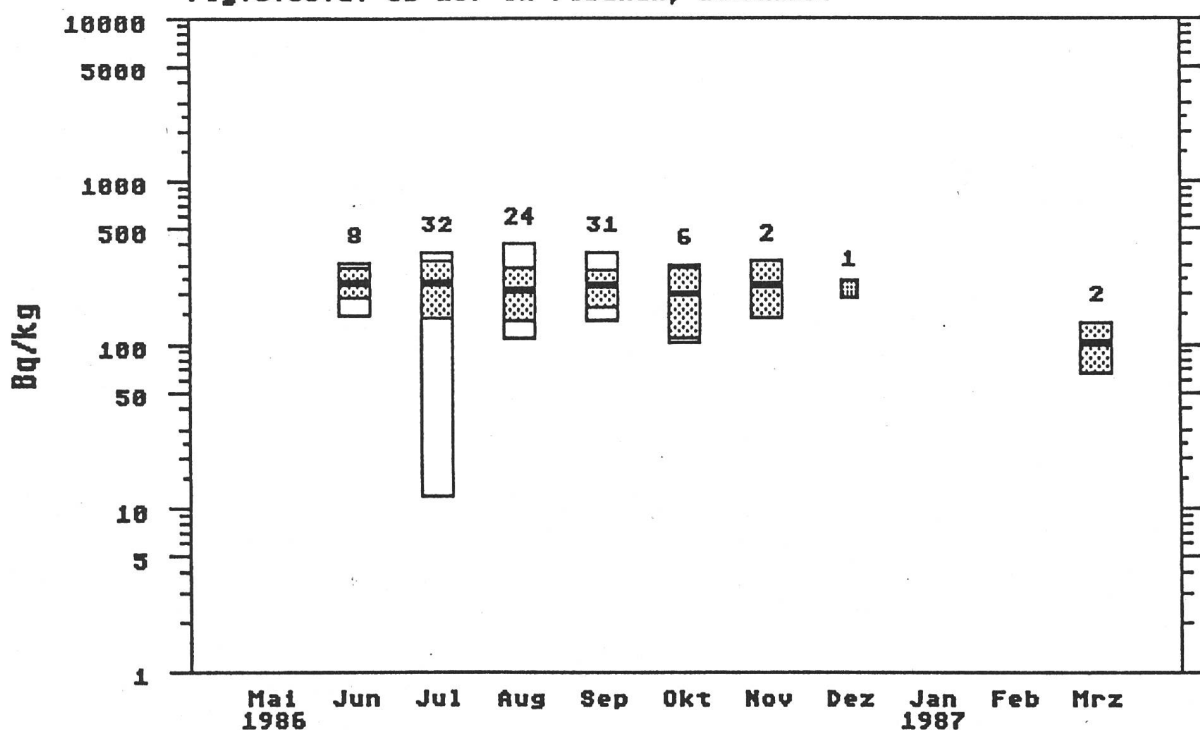


Fig.5.30.f: Cs-137 in Fischen, Ubrige Schweiz

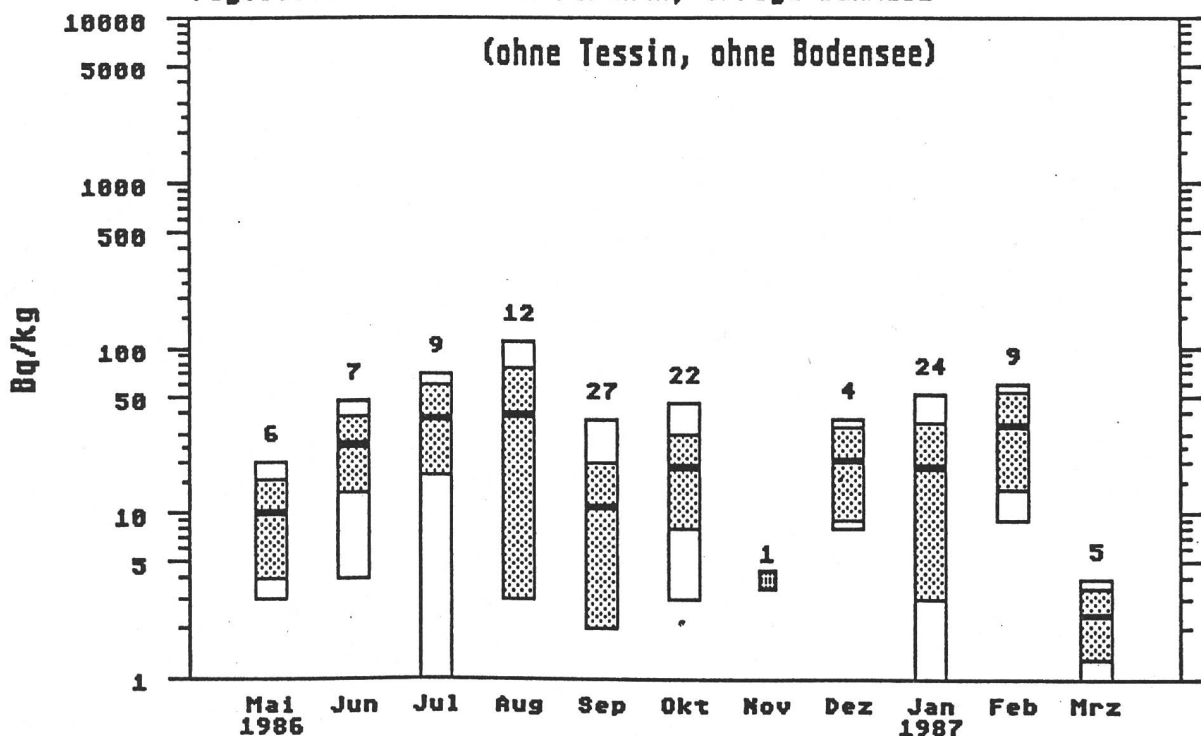


Fig.5.30.g: Cs-137 in Fischen 1986

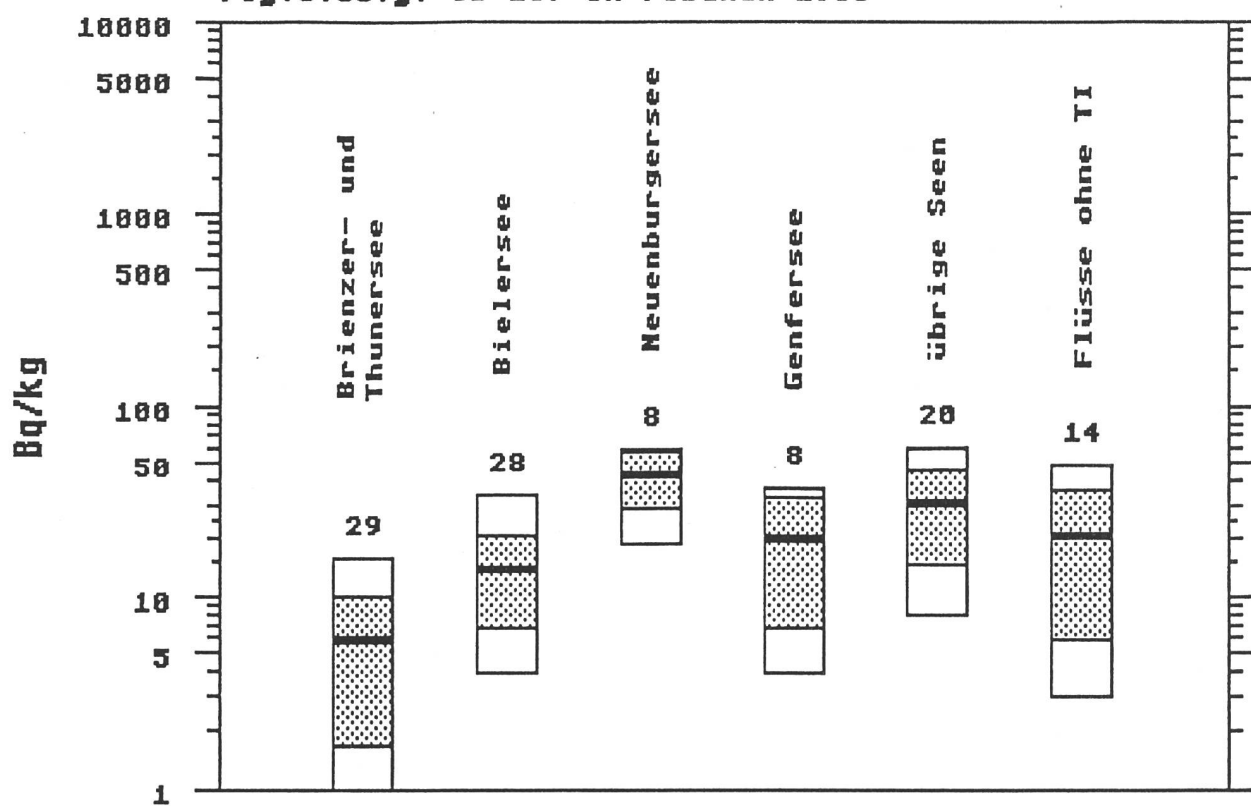


Fig.5.30.h: Cs-137 in Fischen 1986

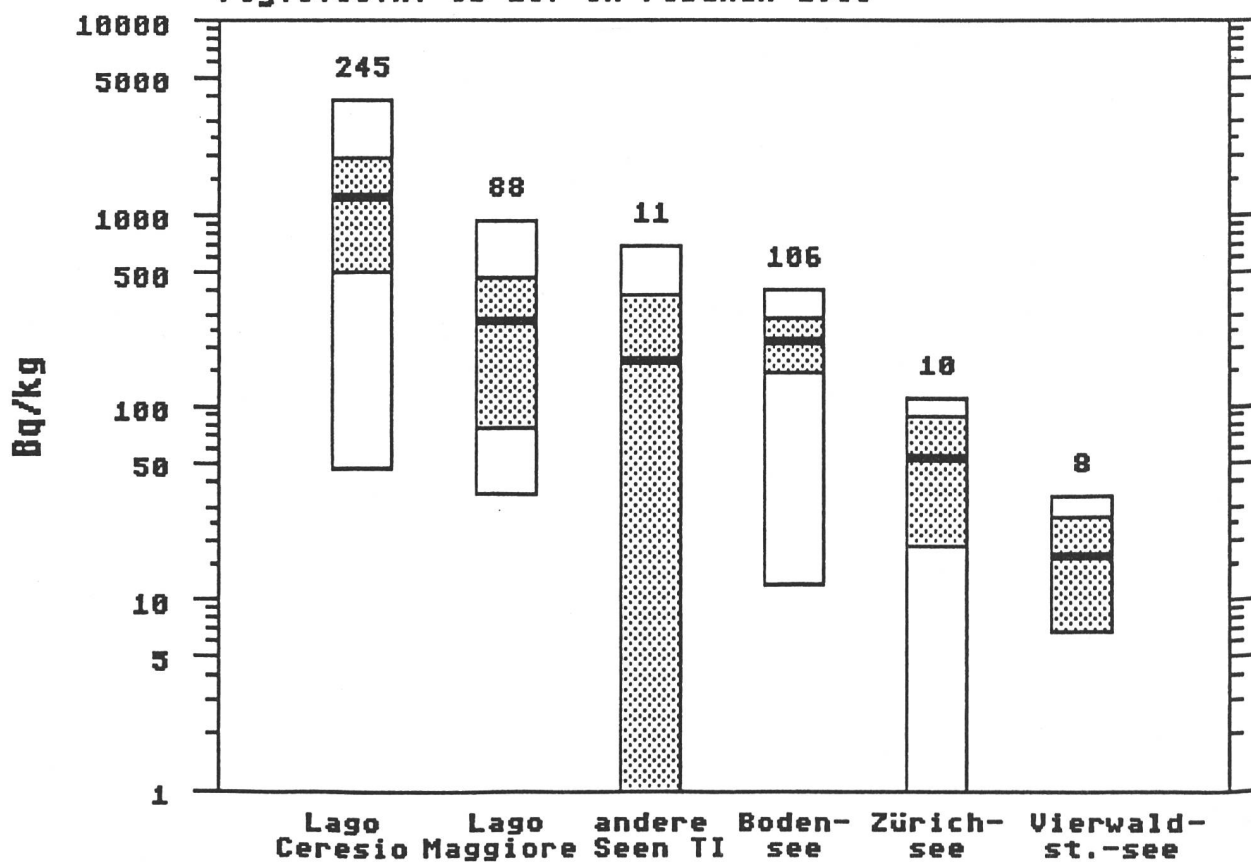


Fig.5.31.a: Cs-137 im Wild, Tessin

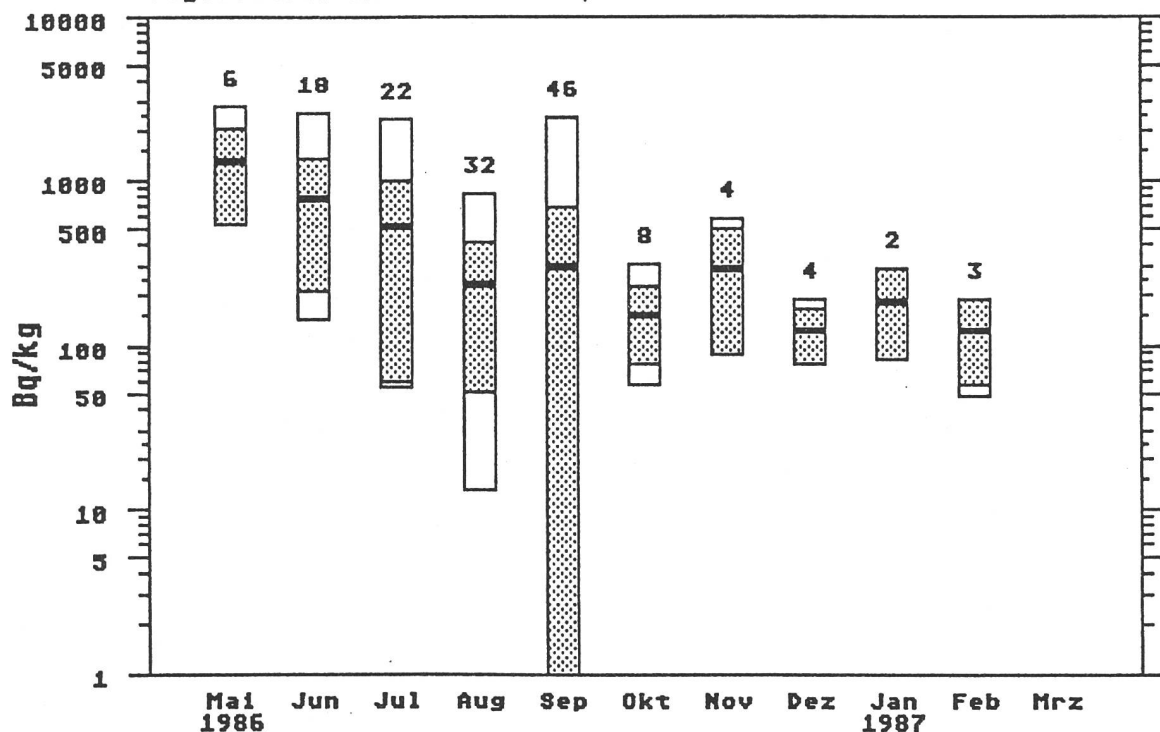


Fig.5.31.b: Cs-137 im Wild, Ostschweiz

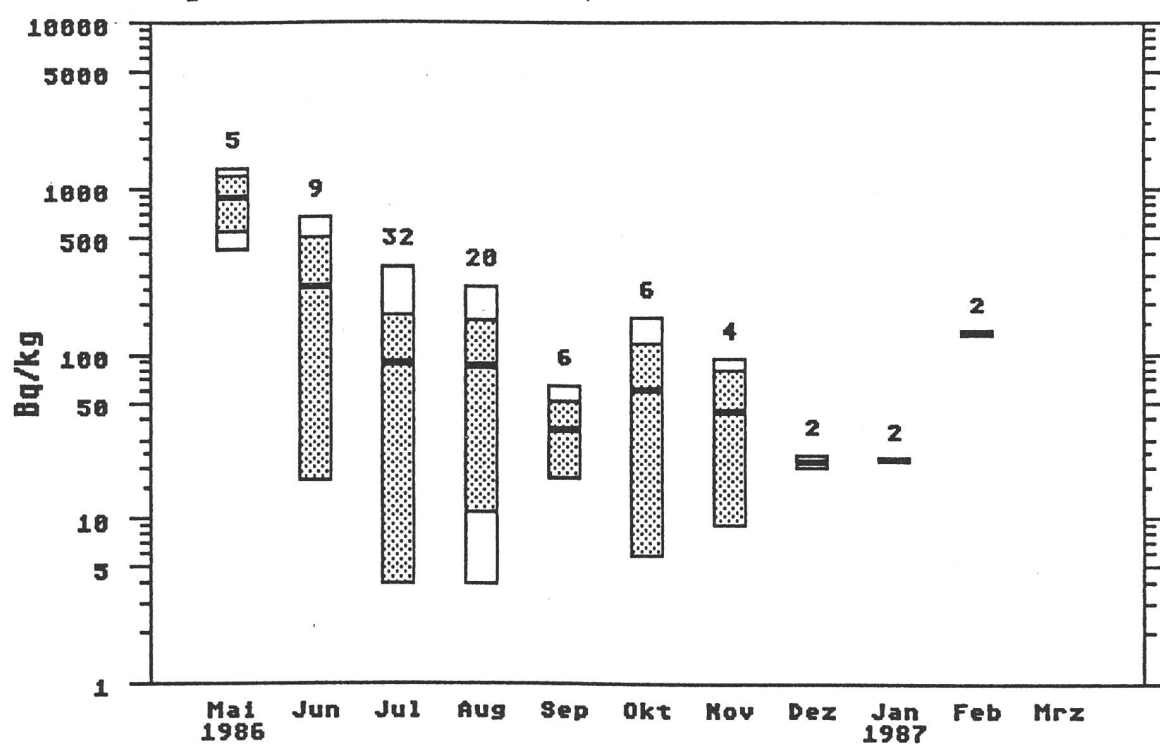


Fig.5.31.c: Cs-137 im Wild, TI/GR 1986

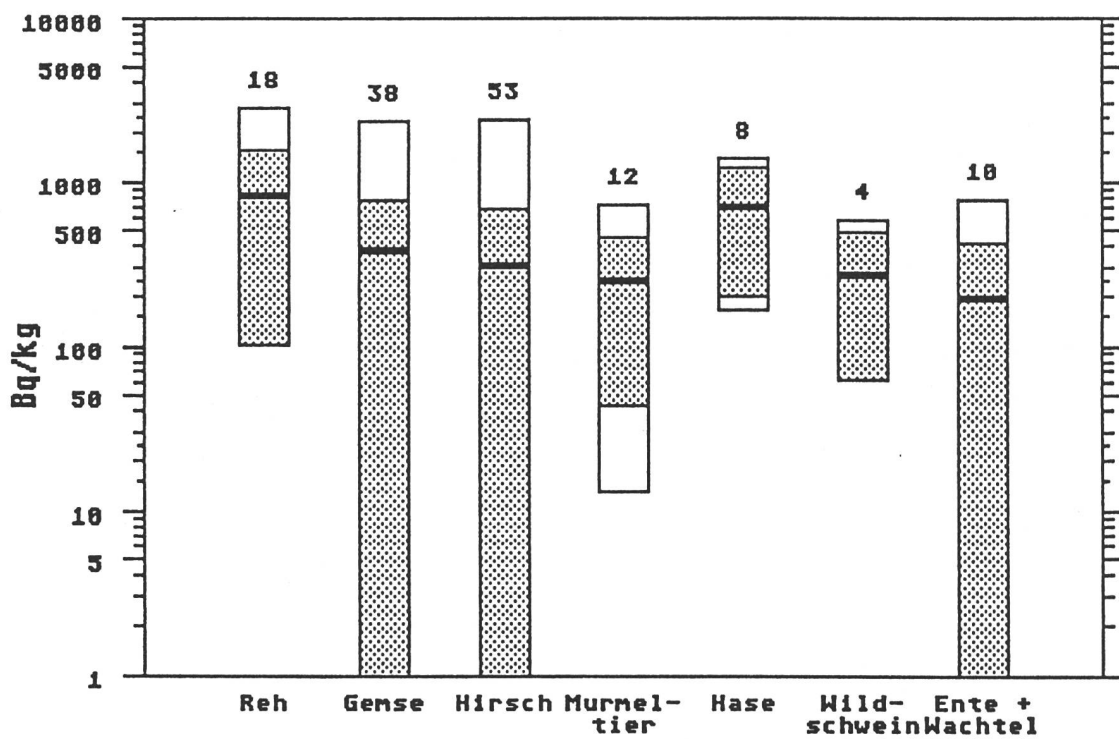


Fig.5.31.d: Cs-137 im Wild, Ostschweiz 1986

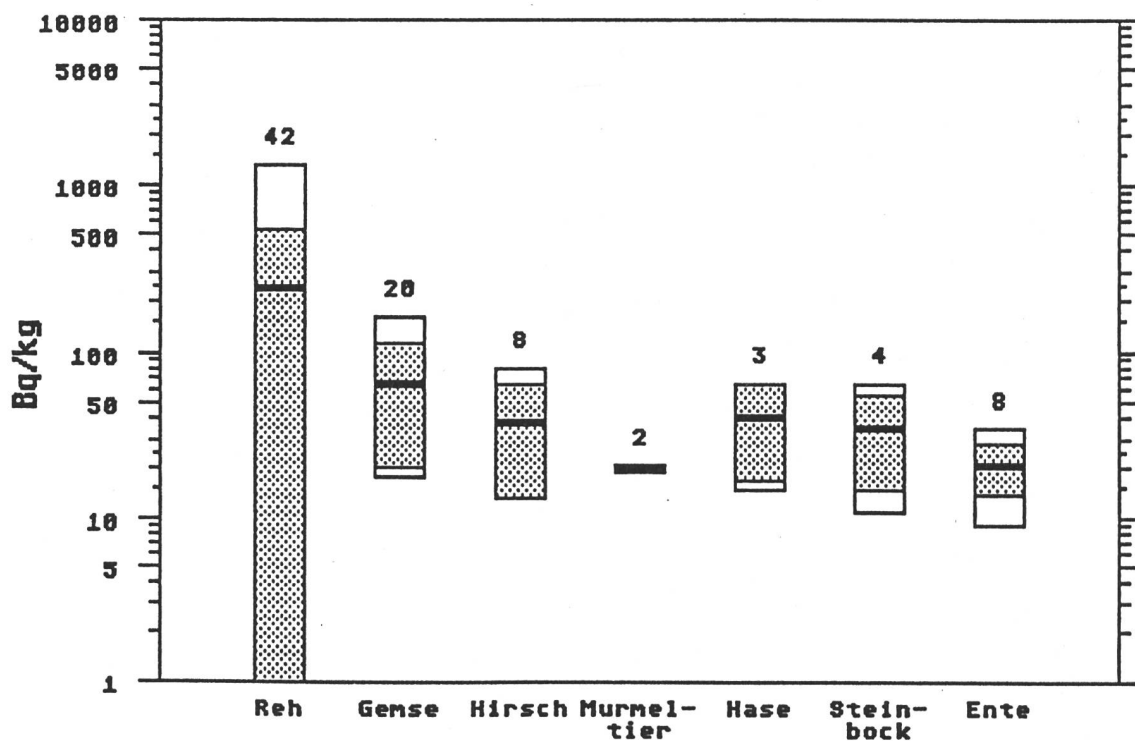


Fig.5.32.a: Cs-137 in Schafen und Ziegen, Tessin

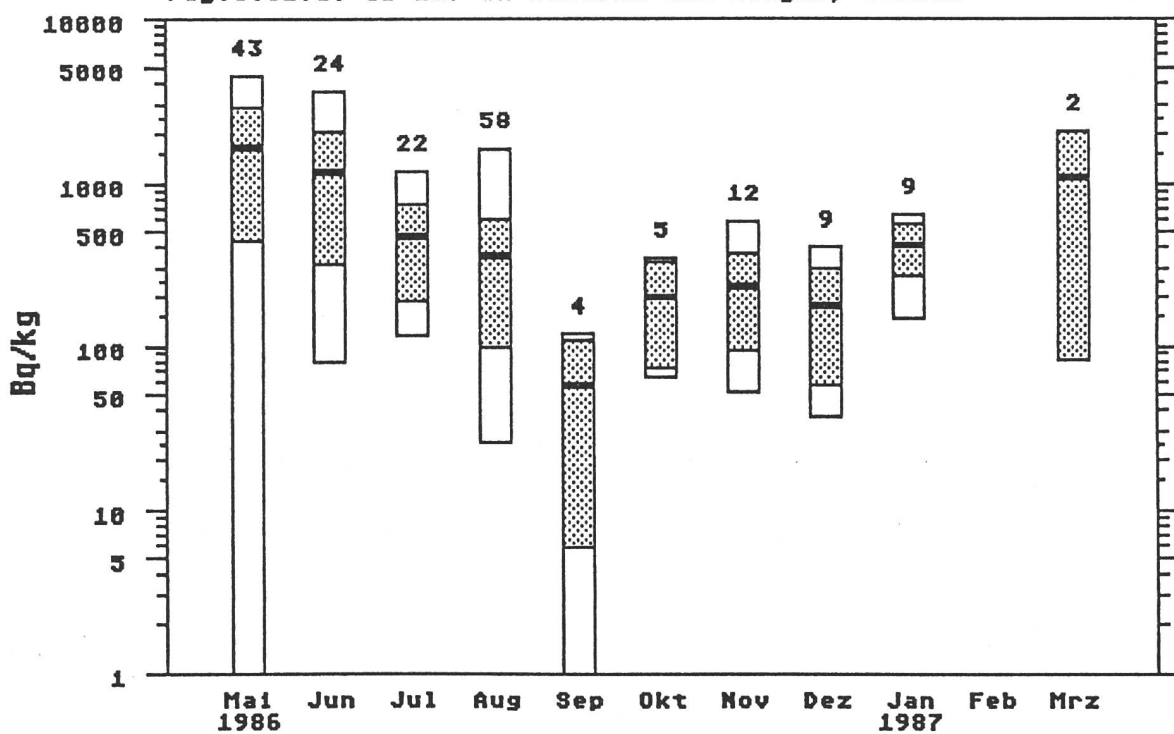


Fig.5.32.b: Cs-137 in Schafen und Ziegen, Ostschweiz

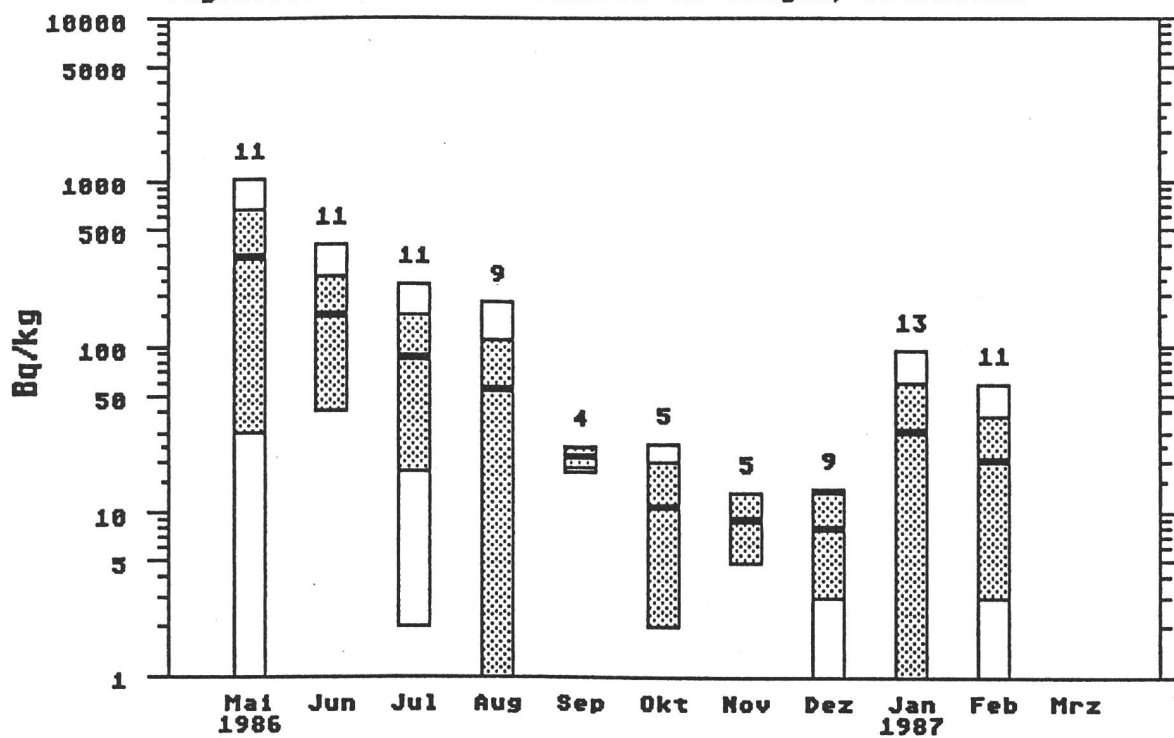


Fig.5.32.c: Cs-137 in Schafen und Ziegen, Übrige Schweiz

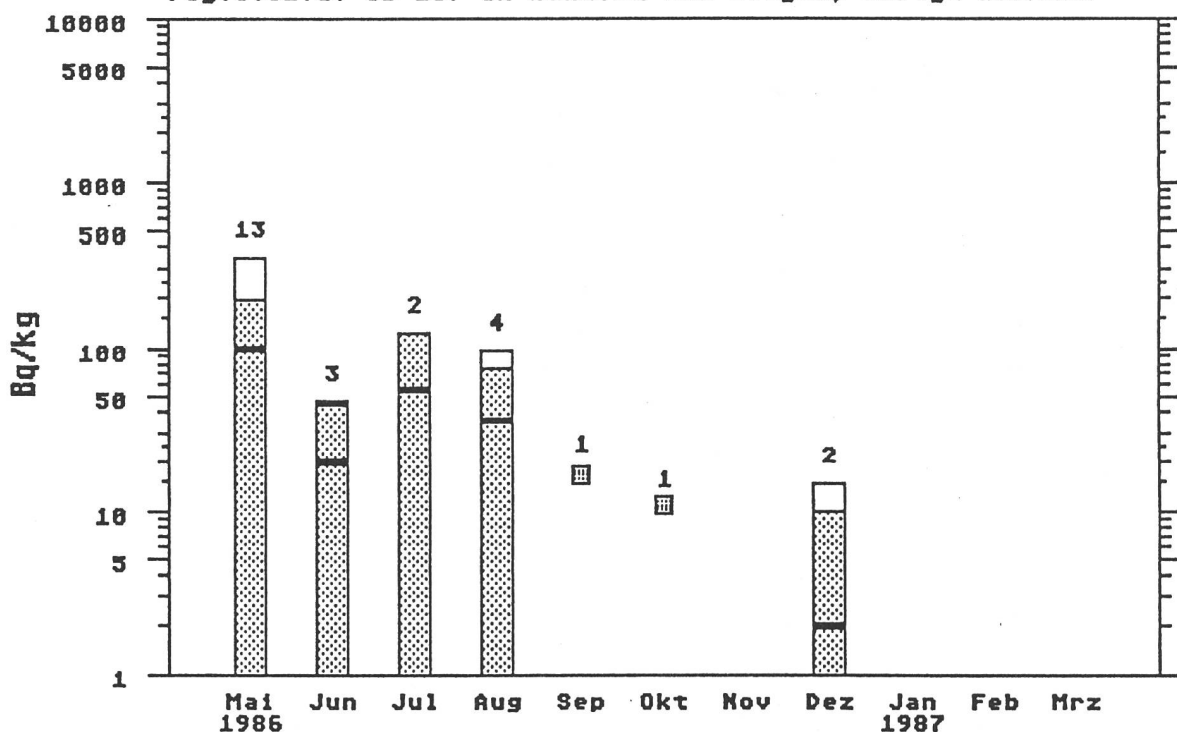


Fig.5.32.d: Cs-137 im Wild, Übrige Schweiz

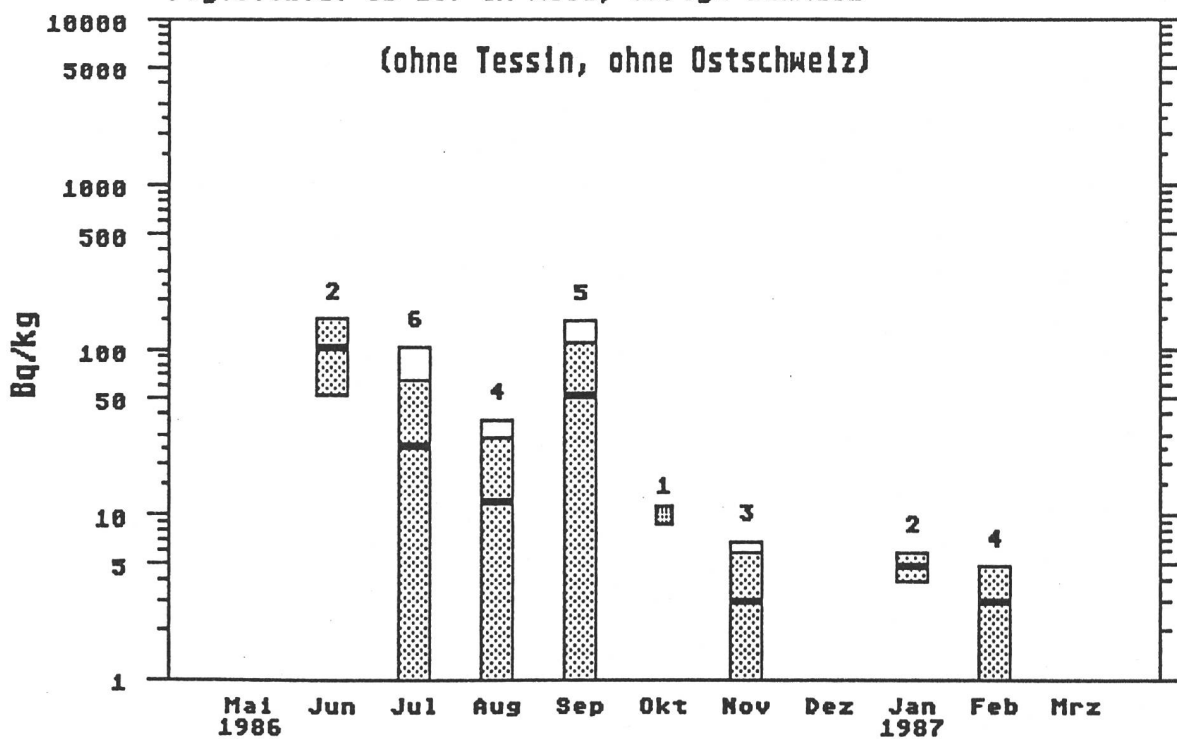


Fig.5.33.a: Cs-137 im Rind, Tessin

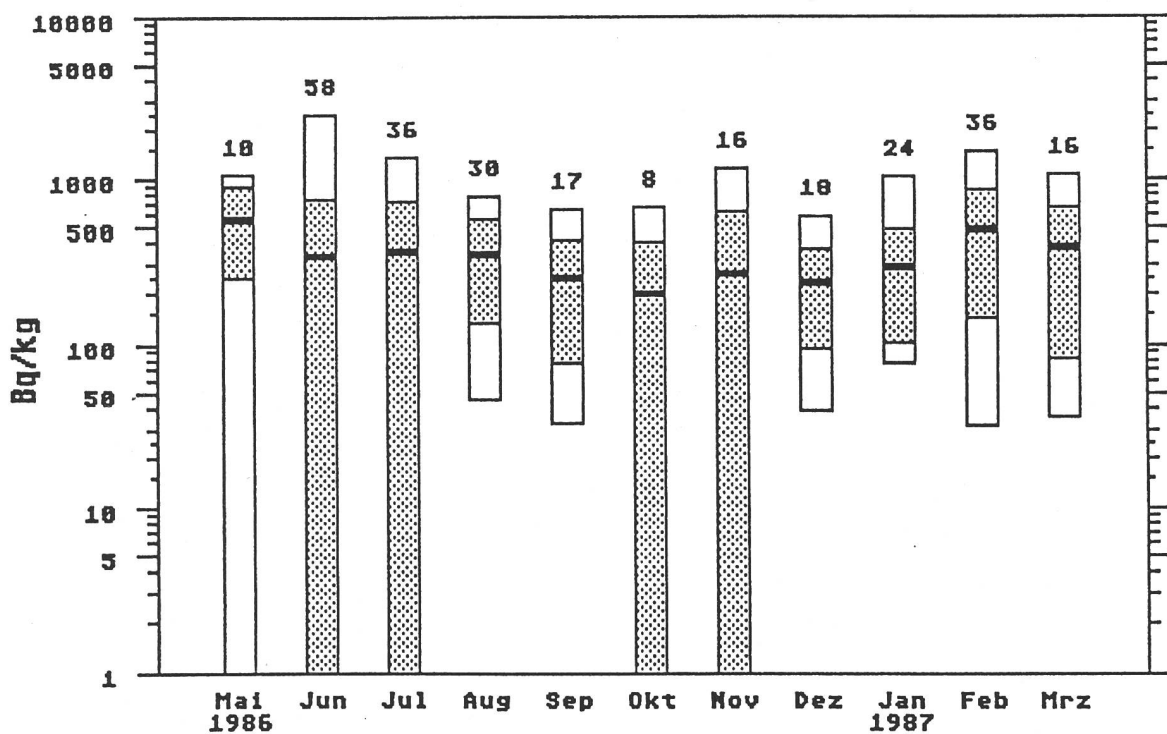


Fig.5.33.b: Cs-137 im Rind, Ostschweiz

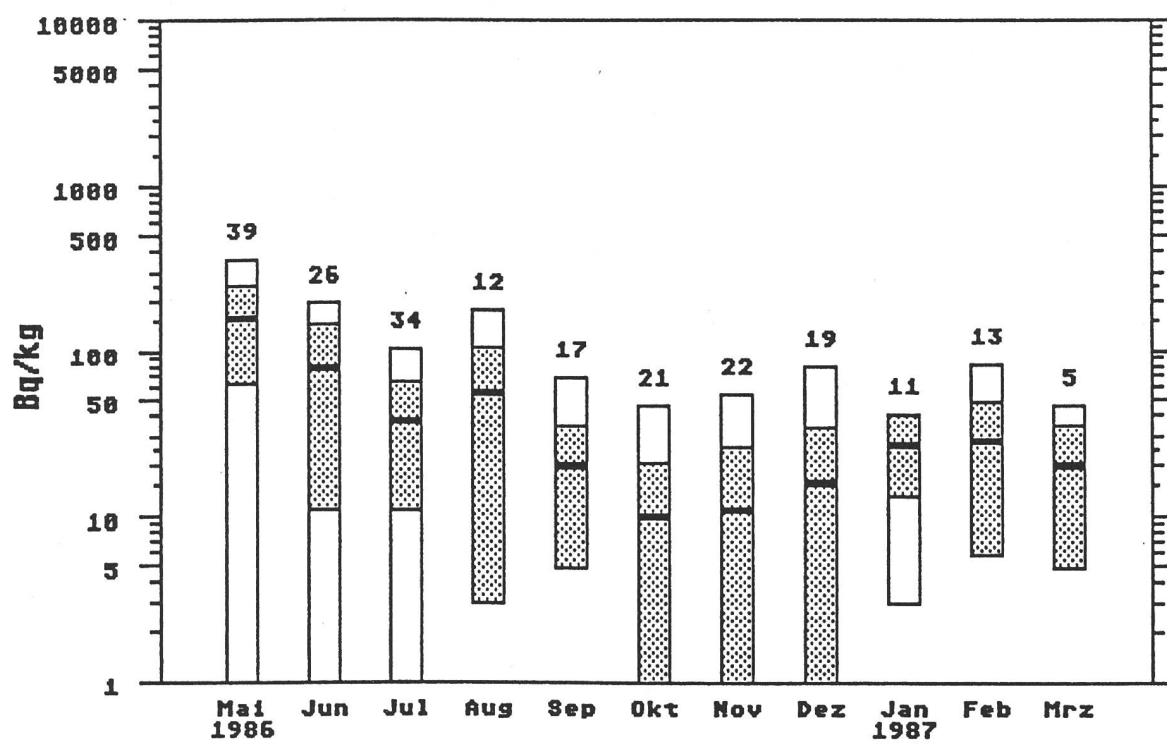


Fig.5.33.c: Cs-137 im Rind, Übrige Schweiz

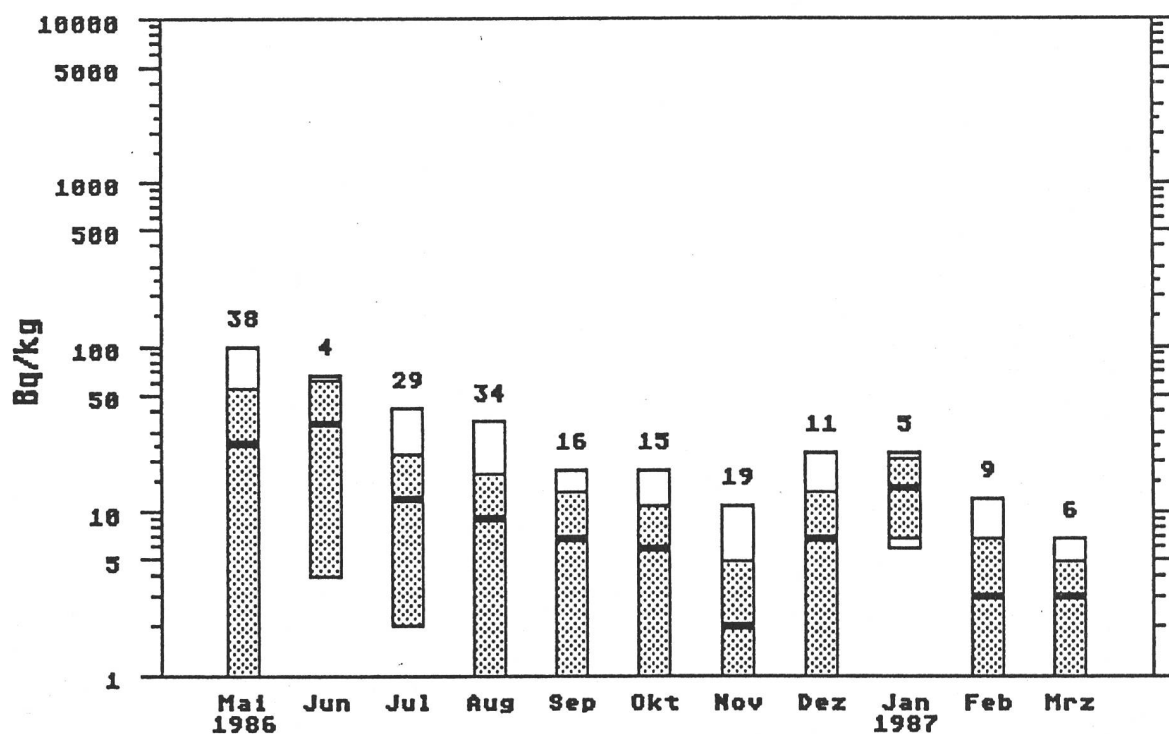


Fig.5.33.d: Cs-137 in Kaninchen, Tessin

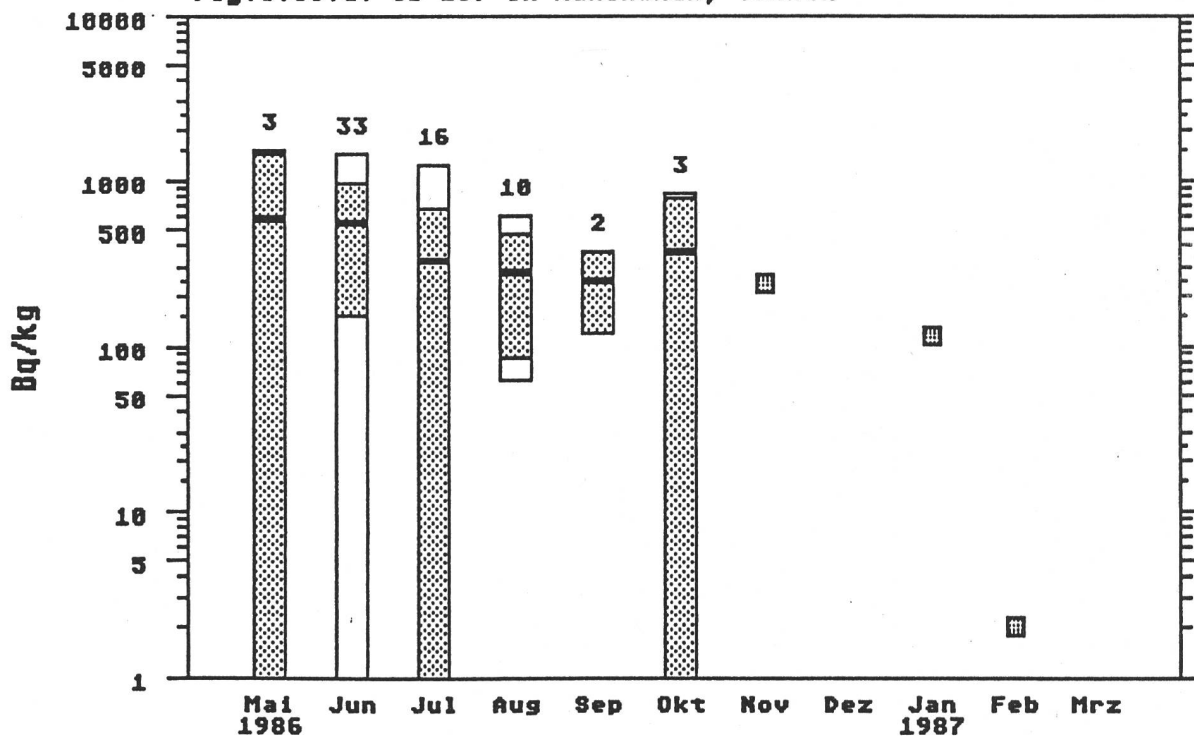


Fig.5.33.e: Cs-137 im Schwein, Ostschweiz

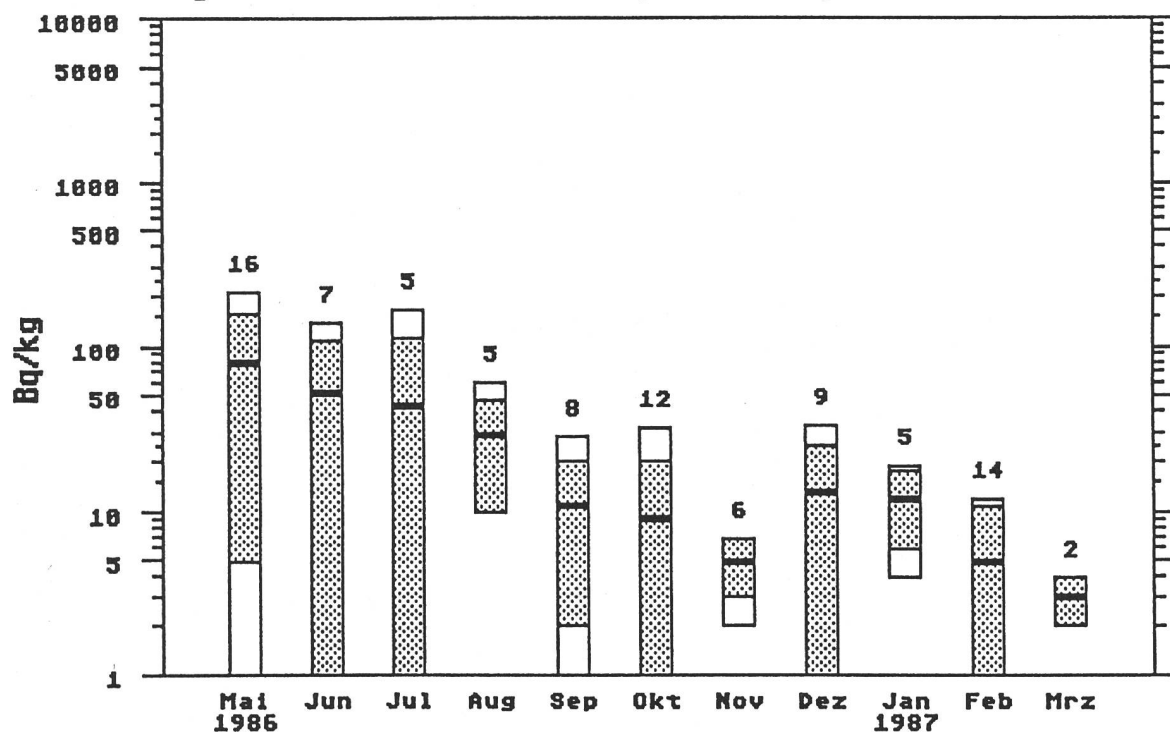


Fig.5.33.f: Cs-137 im Schwein, übrige Schweiz

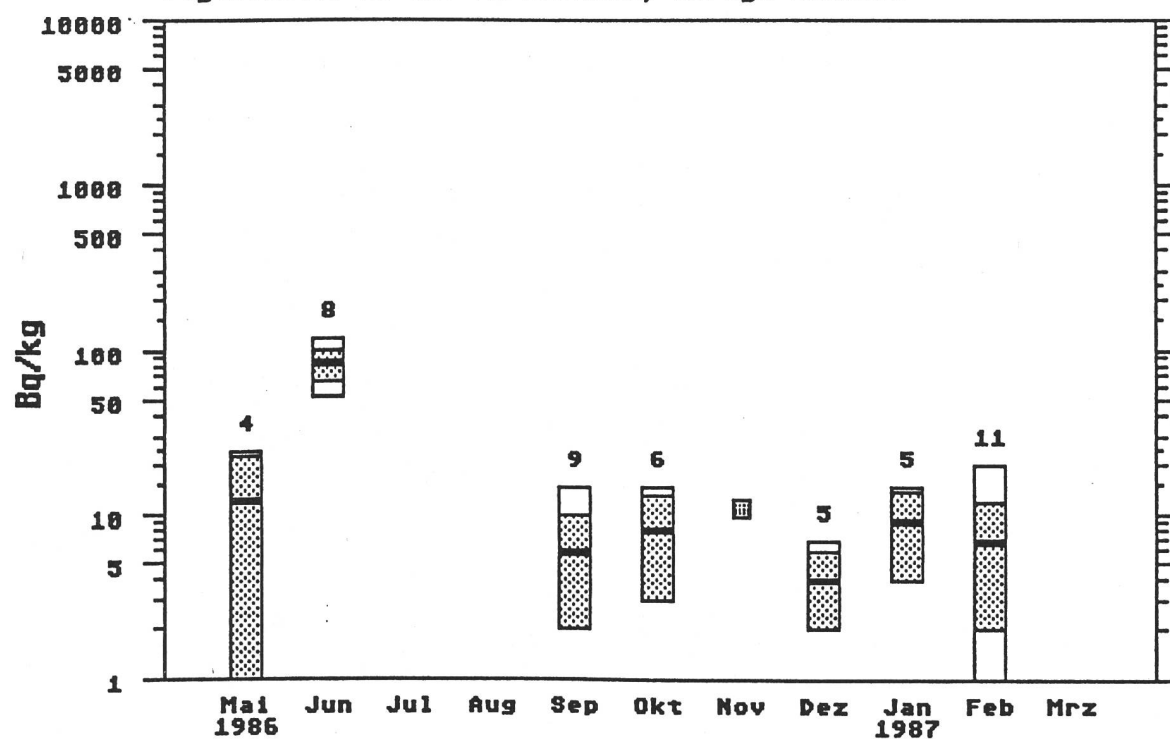


Fig.5.33.g: Cs-137 in Fleisch, Ostschweiz (OS) und Tessin (TI)

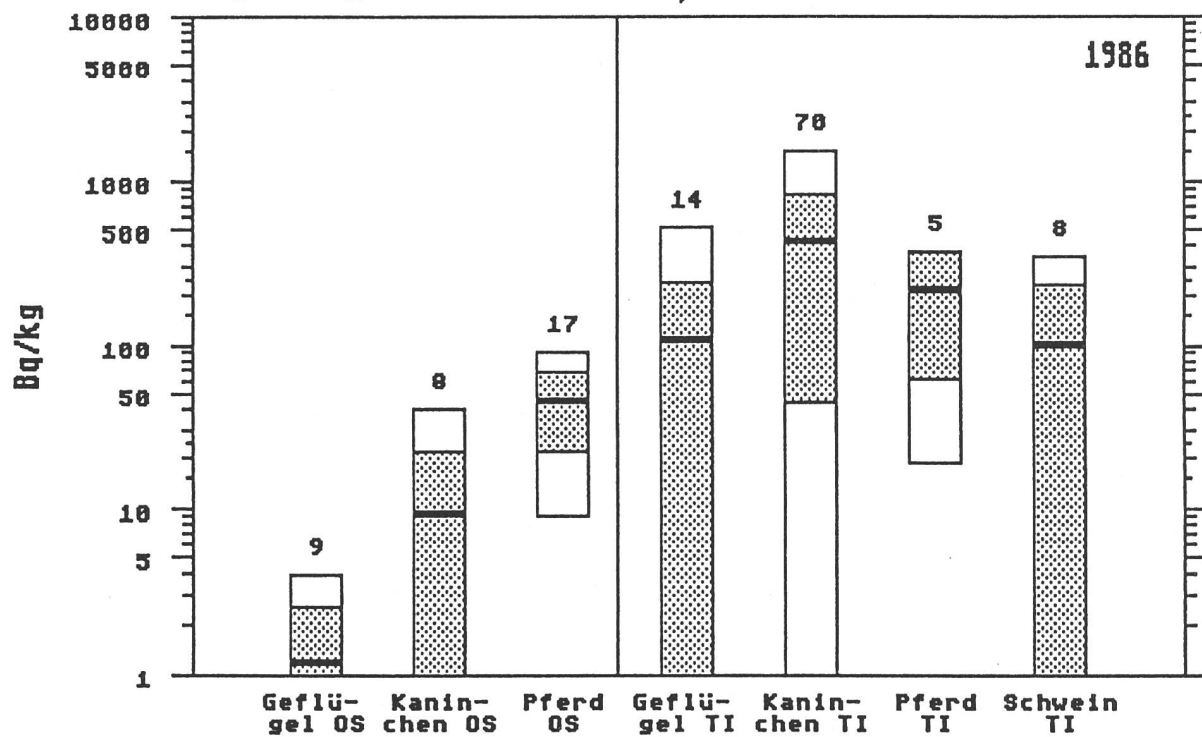


Fig.5.33.h: Cs-137 im Fleisch, übrige Schweiz

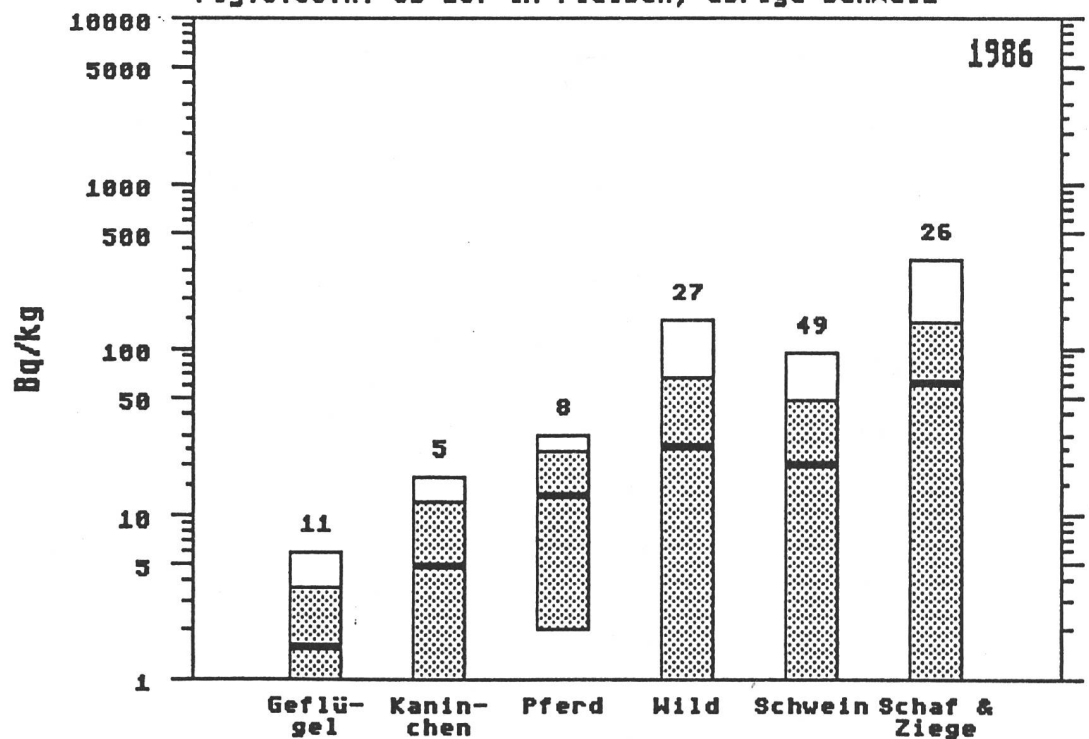


Fig.5.34.a: Cs-137 im Salat
Tessin (1986)

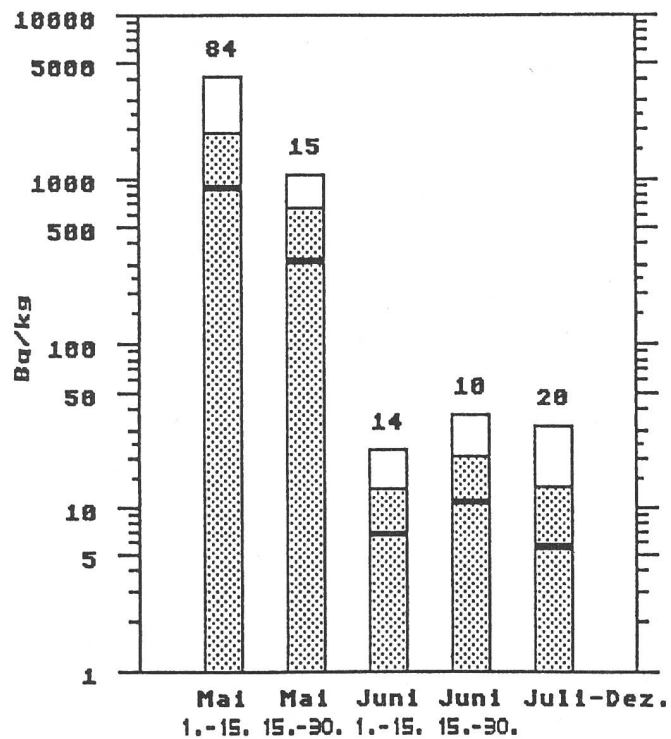


Fig.5.34.c: Cs-137 im Salat
Ostschweiz (1986)

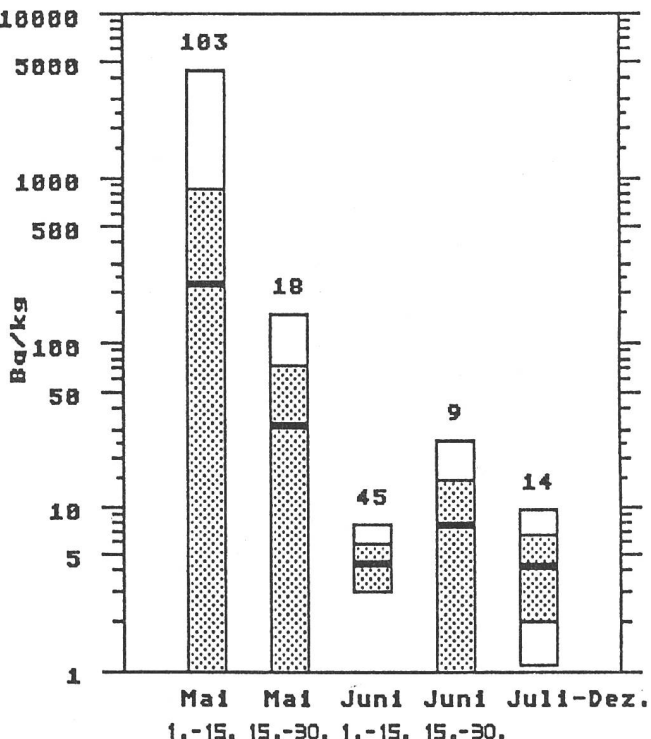


Fig.5.34.b: J-131 im Salat
Tessin (1986)

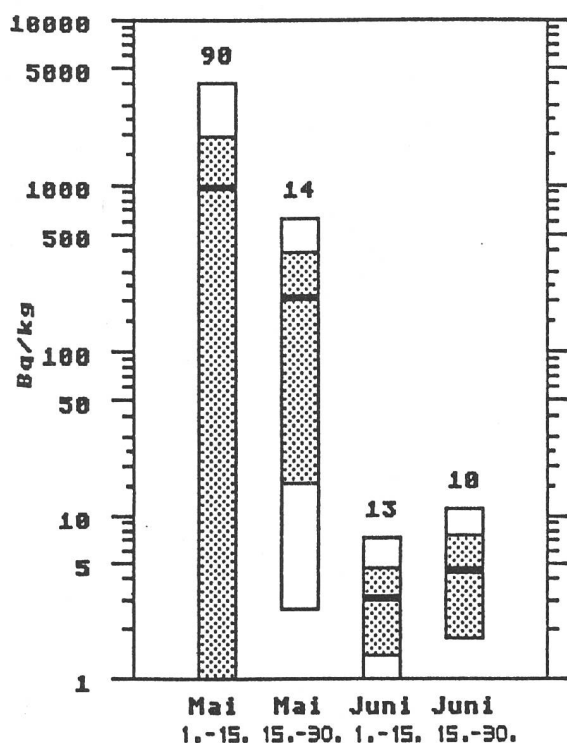


Fig.5.34.d: J-131 im Salat
Ostschweiz (1986)

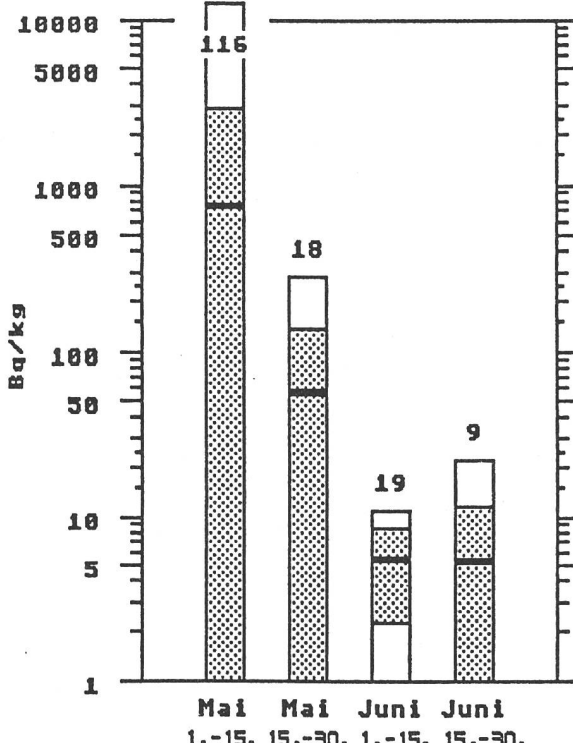


Fig.5.34.e: Cs-137 im Salat
Z + N-Schweiz (1986)

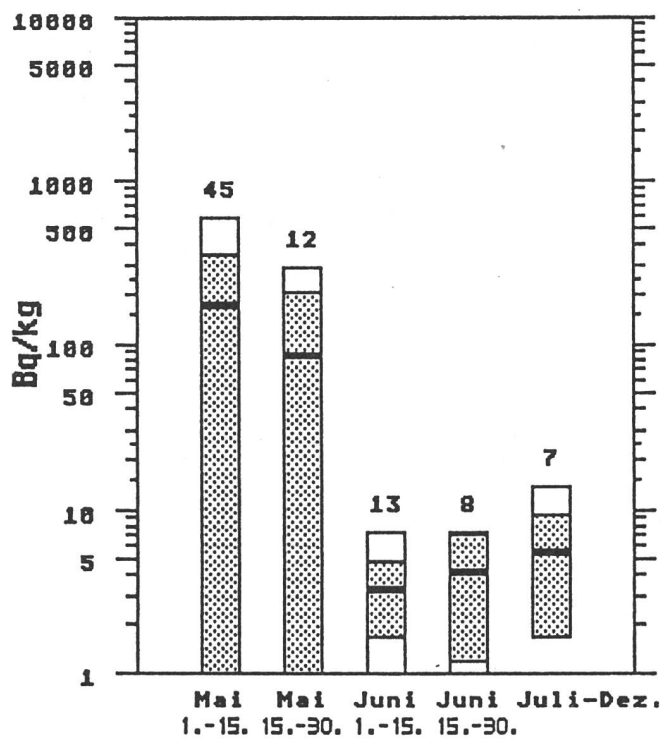


Fig.5.34.g: Cs-137 im Salat
W-Schweiz (1986)

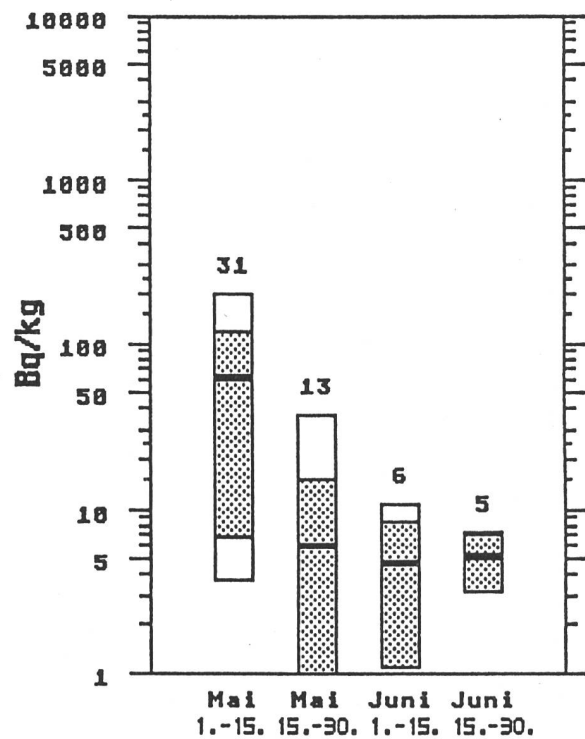


Fig.5.34.f: J-131 im Salat
Z + N-Schweiz (1986)

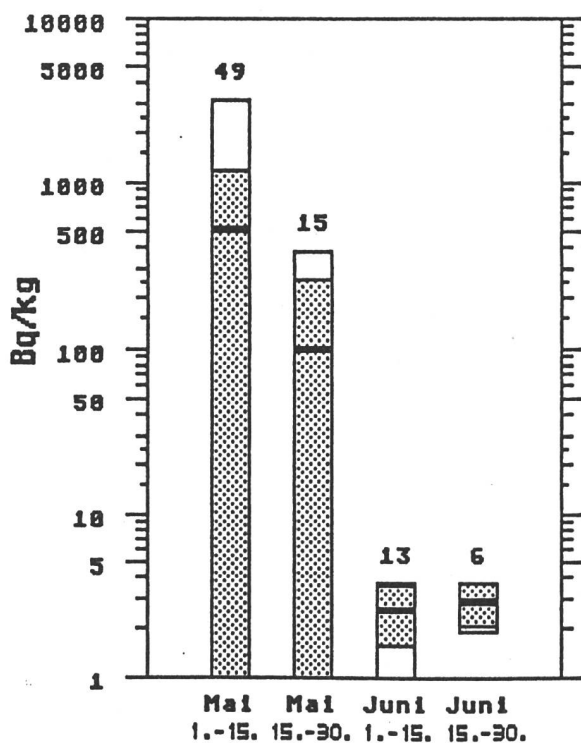


Fig.5.34.h: J-131 im Salat
W-Schweiz (1986)

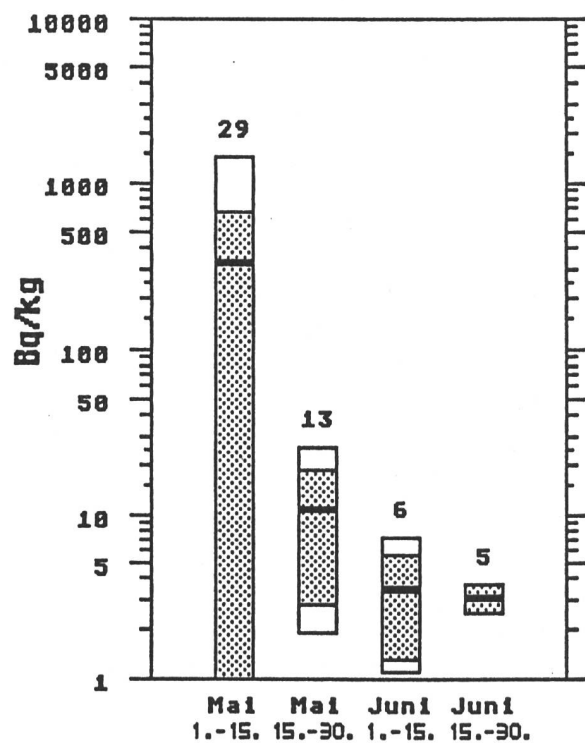


Fig.5.35.a: Cs-137 im Spinat
Tessin (1986)

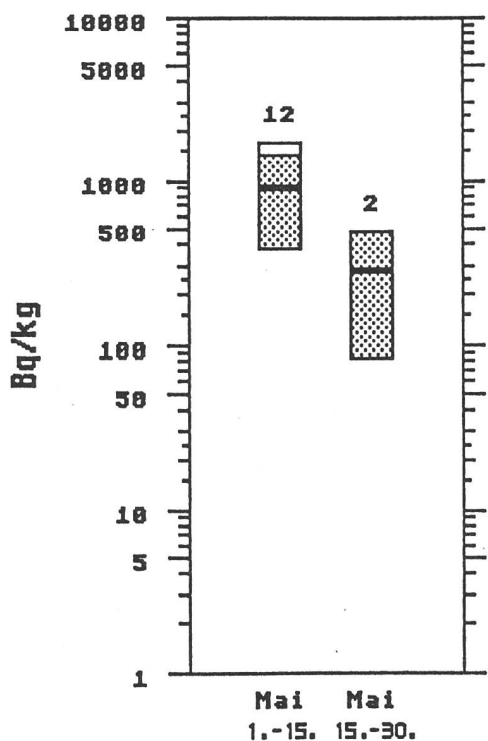


Fig.5.35.c: Cs-137 im Spinat
Ostschweiz (1986)

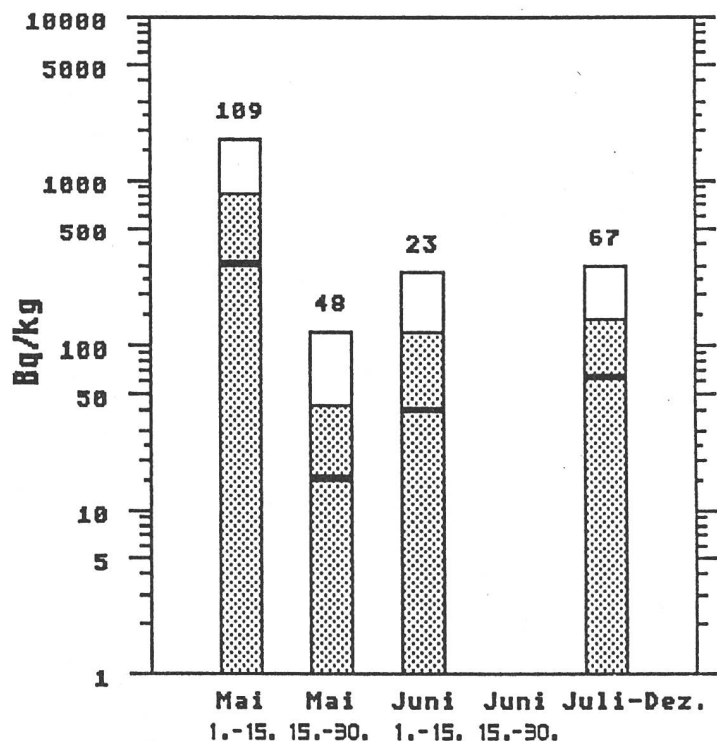


Fig.5.35.b: J-131 im Spinat
Tessin (1986)

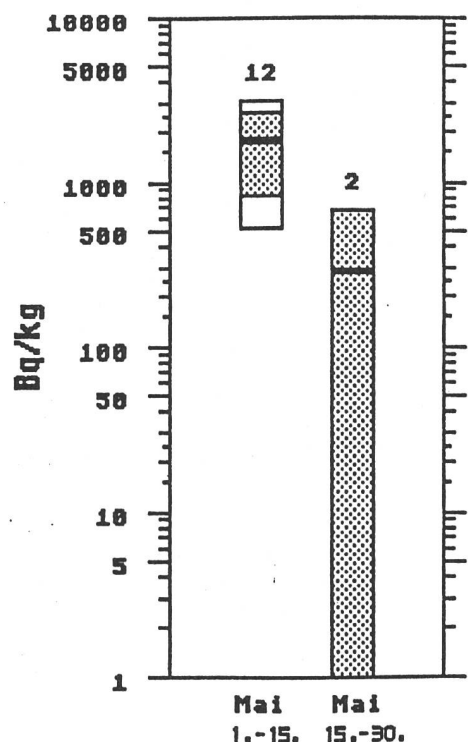


Fig.5.35.d: J-131 im Spinat
Ostschweiz (1986)

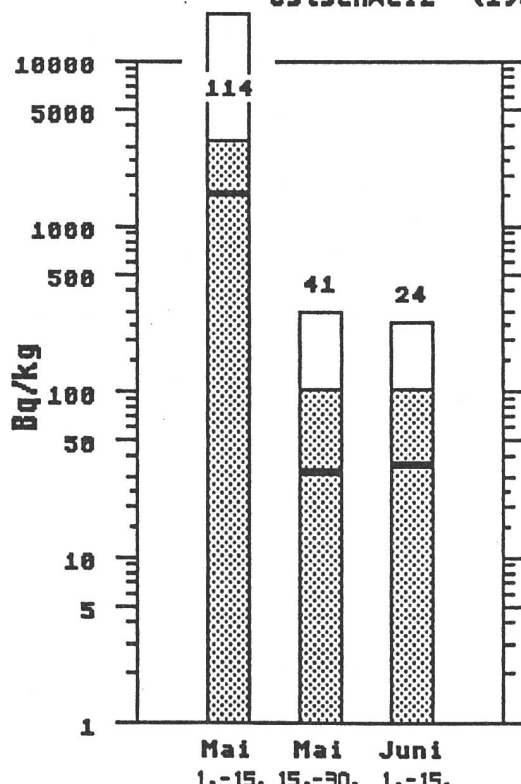


Fig.5.35.e: Cs-137 im Spinat
Z + N-Schweiz (1986)

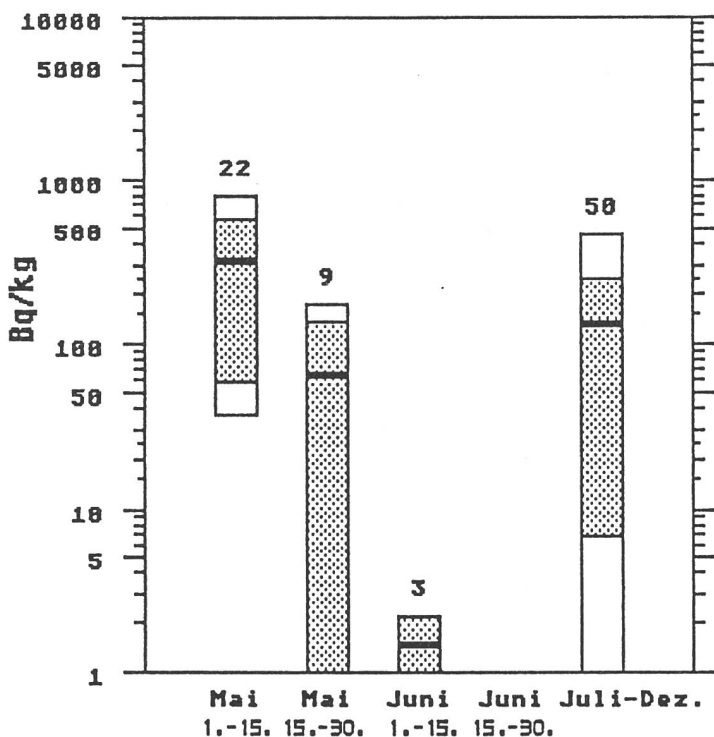


Fig.5.35.g: Cs-137 im Spinat
W-Schweiz (1986)

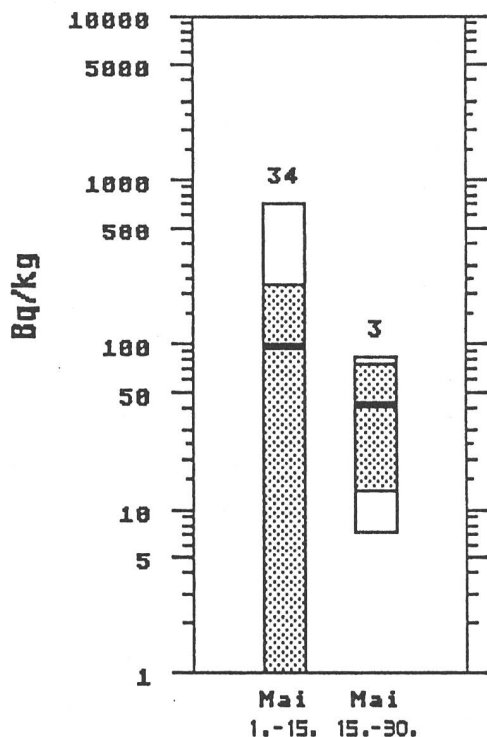


Fig.5.35.f: J-131 im Spinat
Z + N-Schweiz (1986)

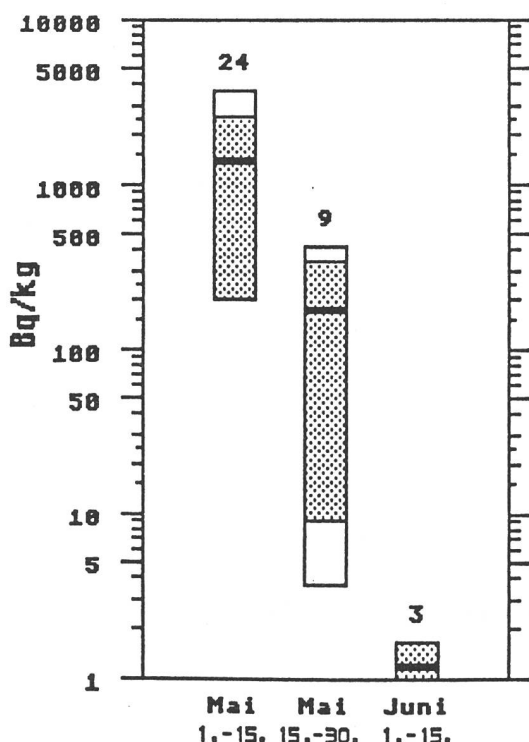


Fig.5.35.h: J-131 im Spinat
W-Schweiz (1986)

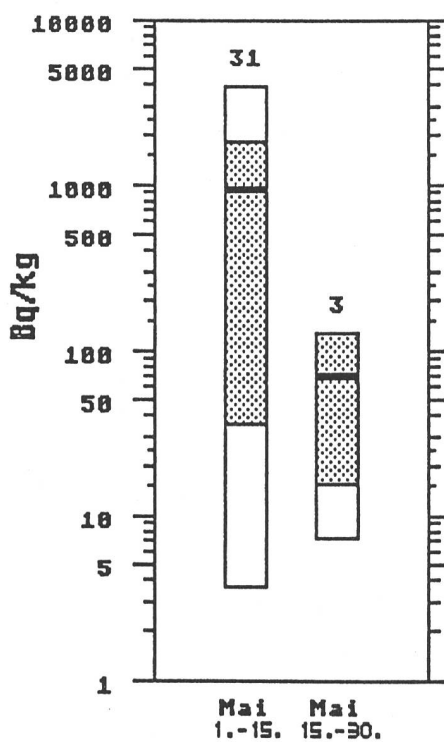


Fig.5.36.a: Cs-137 in Gemüse, ganze Schweiz 1986

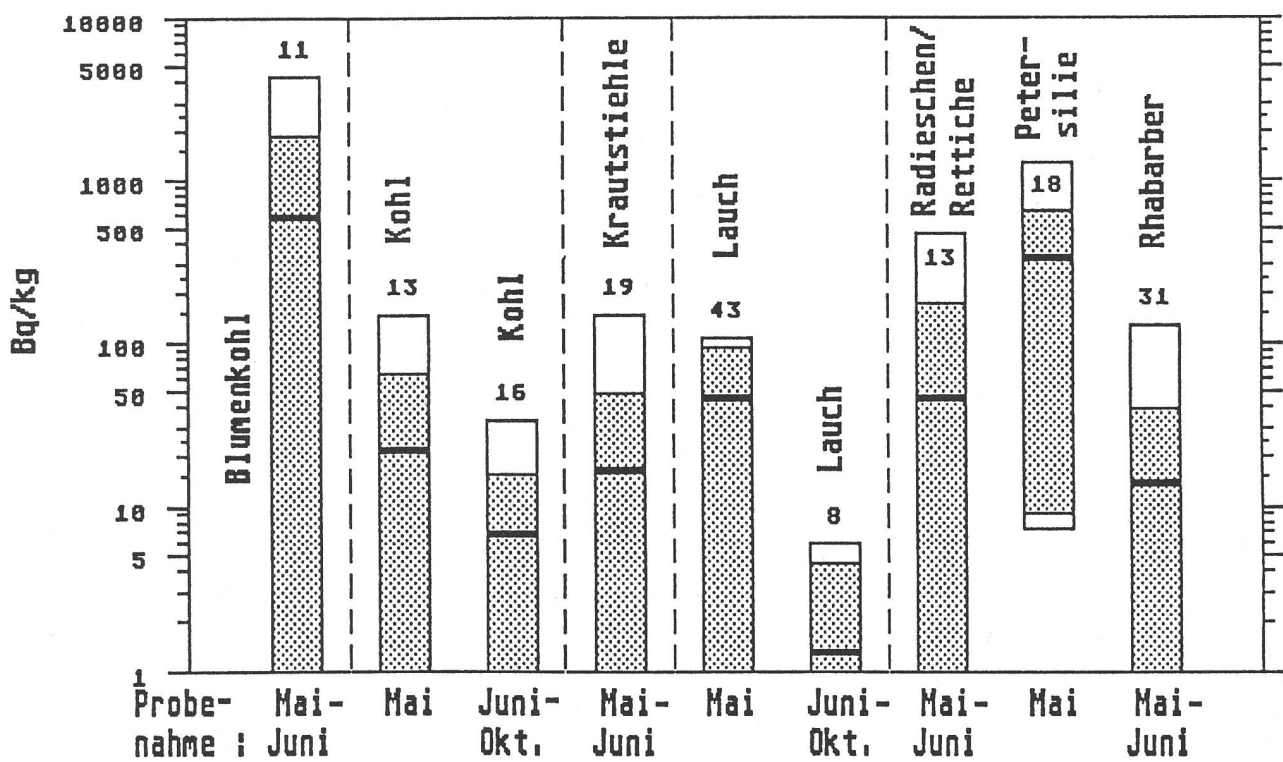


Fig.5.36.b: Cs-137 in Gemüse, ganze Schweiz 1986

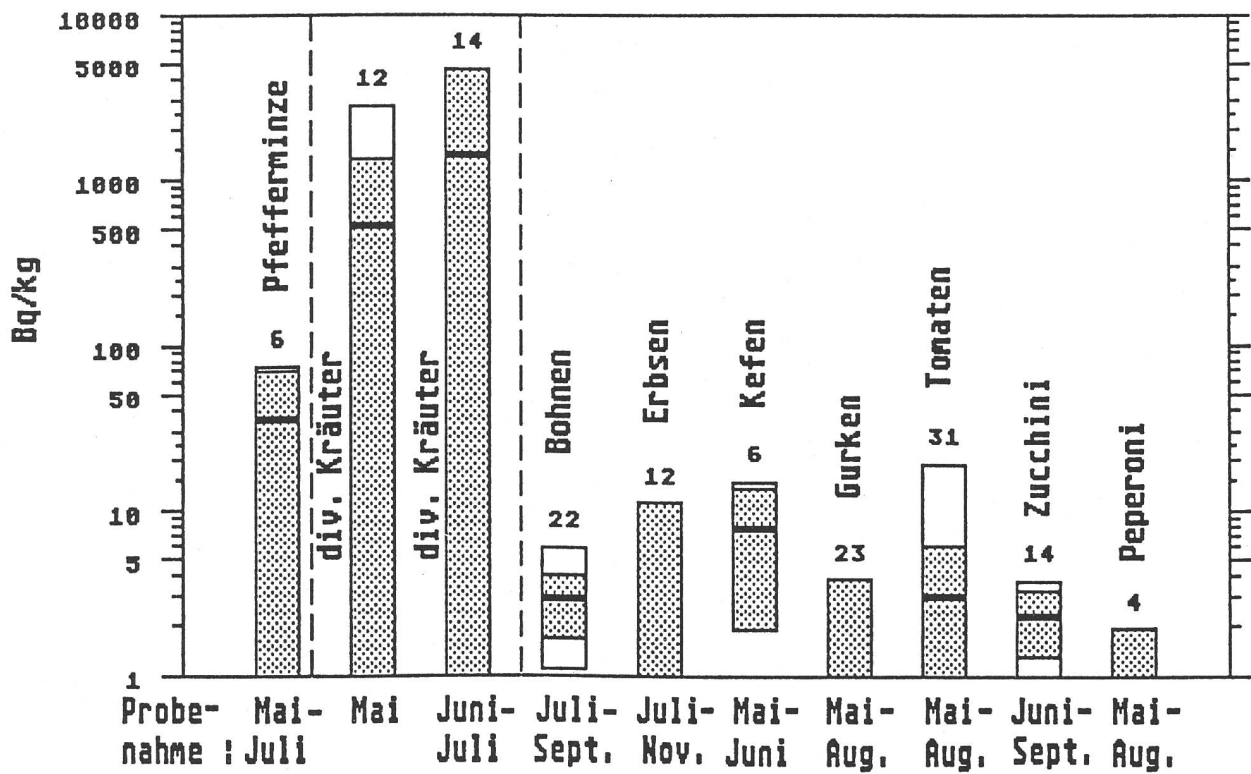


Fig.5.36.c: Cs-137 in Gemüse, ganze Schweiz 1986

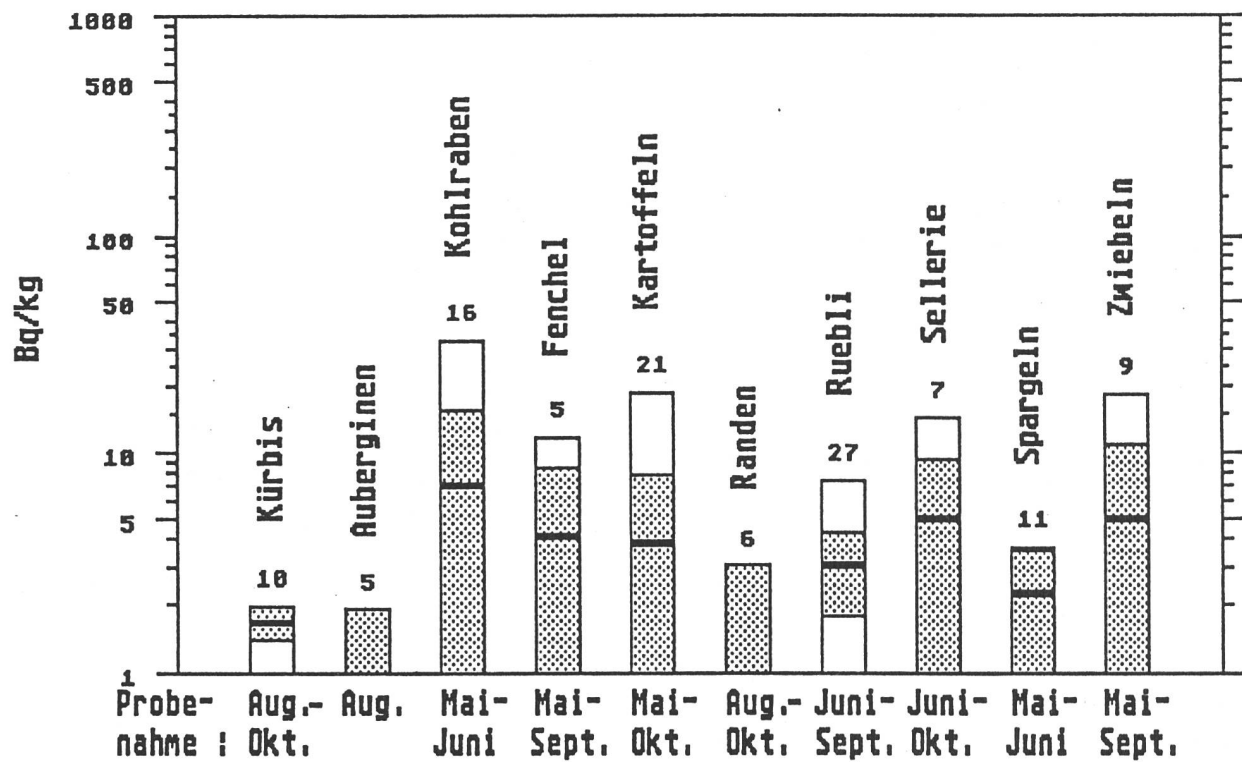


Fig.5.37: J-131 in Gemüse, ganze Schweiz, Mai 1986

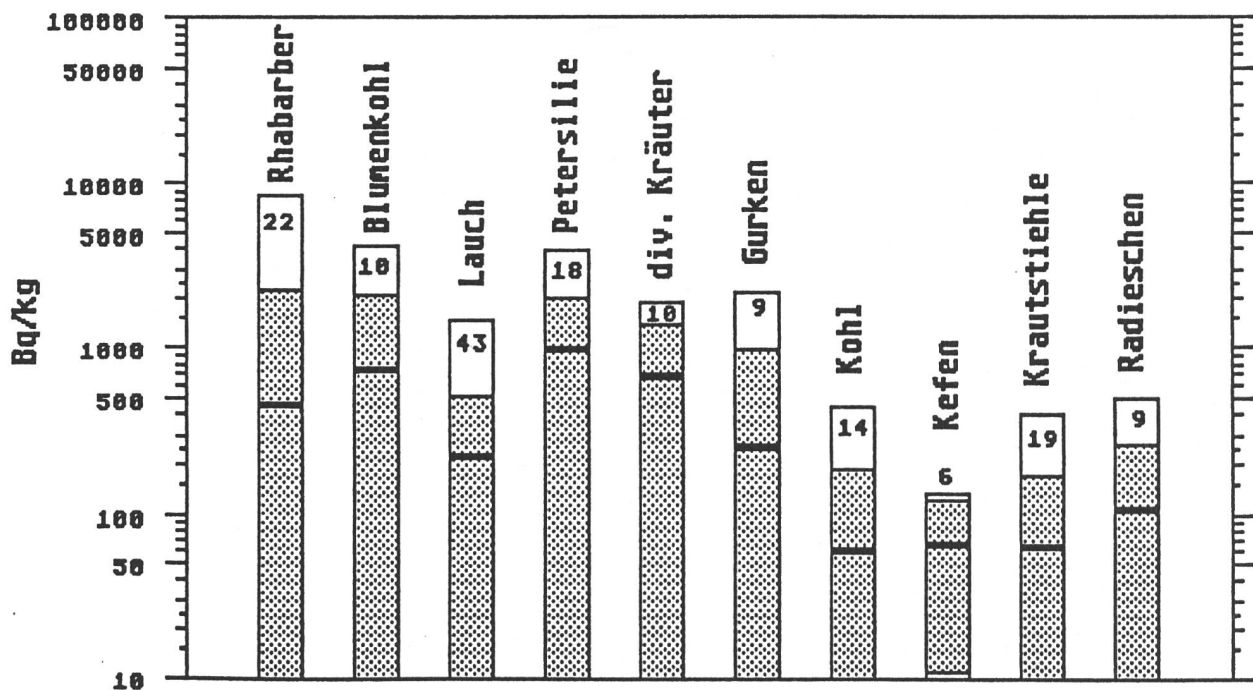


Fig. 5.38: Cs-137 in Beeren (CH, Mai-Nov 86)

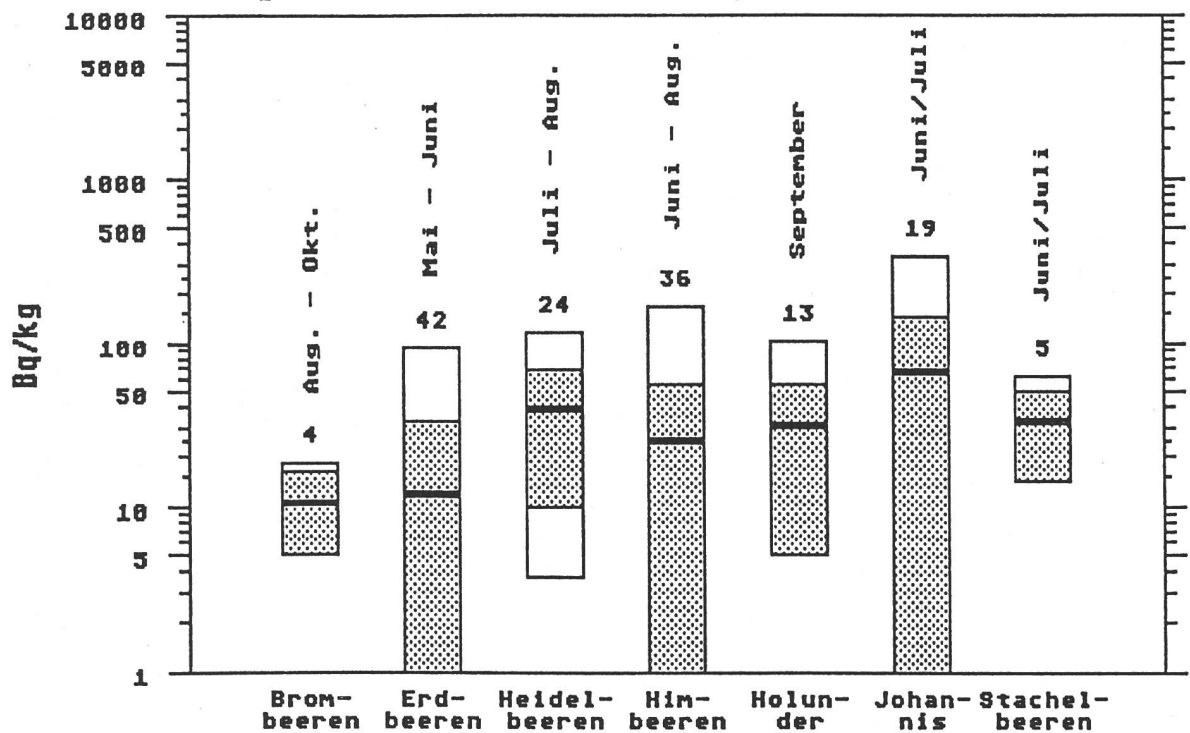


Fig. 5.39: Cs-137 in Früchten, ganze Schweiz, Jun-Nov 86

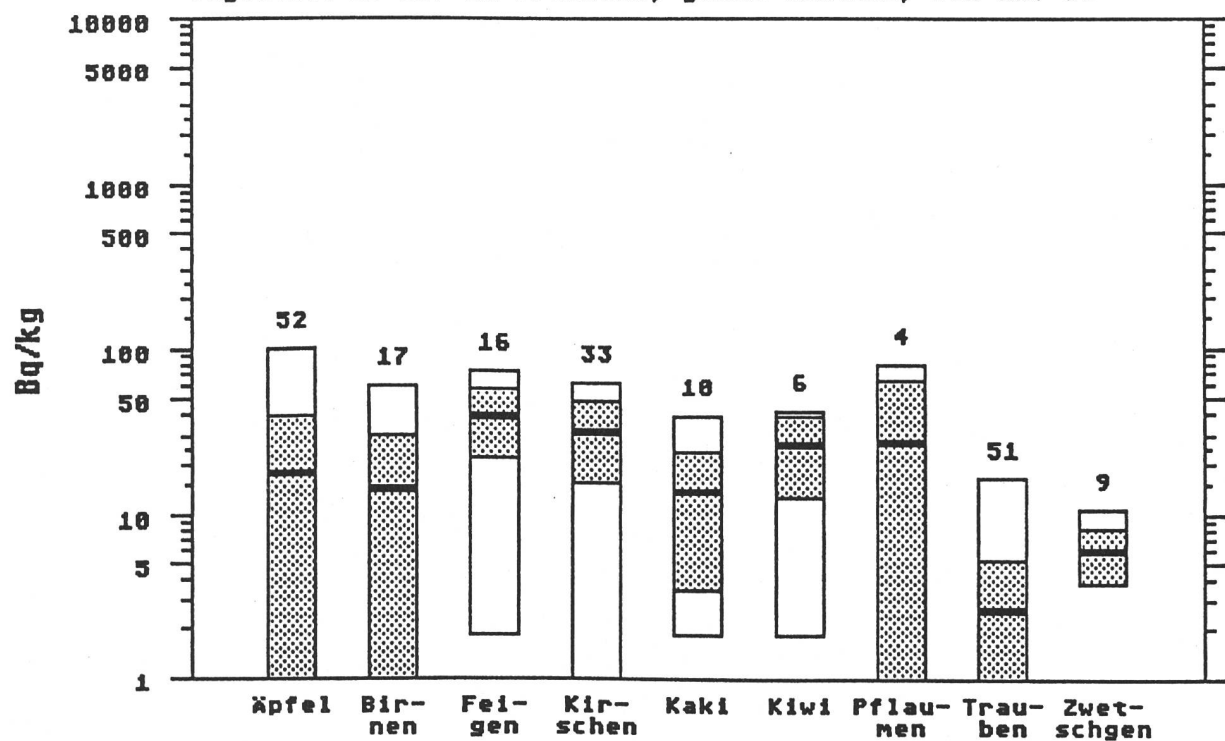


Fig.5.40.a: Cs-137 in Pilzen, ganze Schweiz, Mai-Nov 86

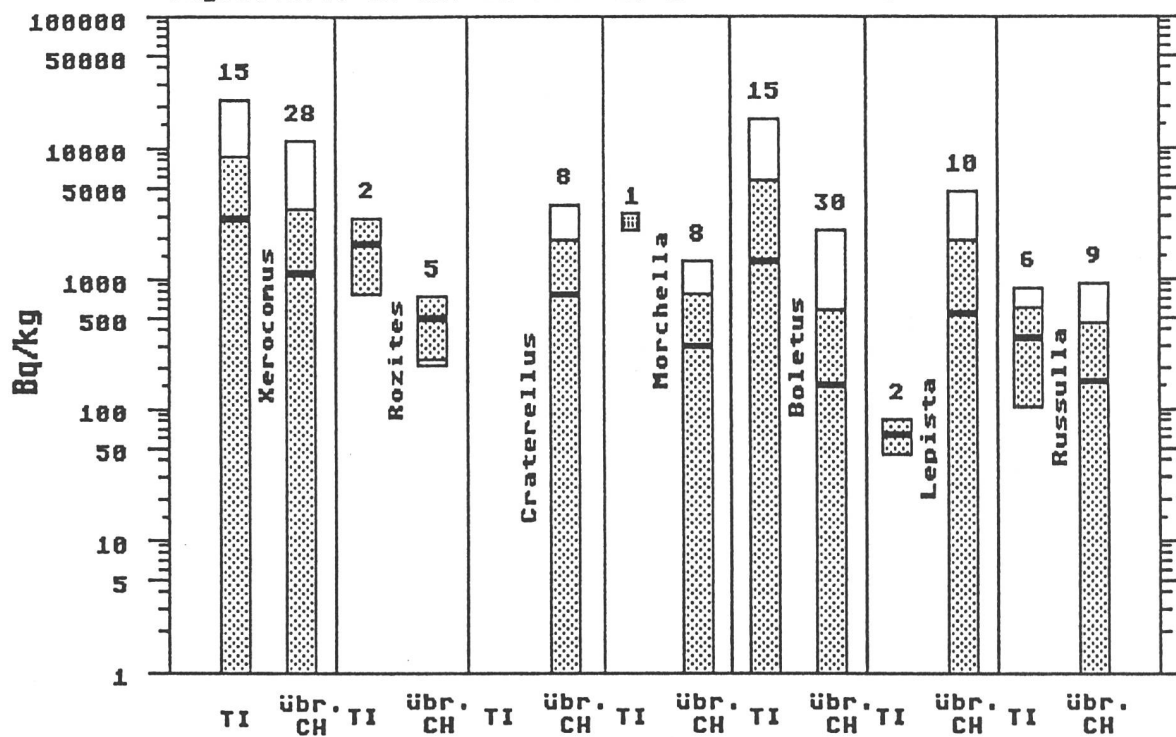


Fig.5.40.b: Cs-137 in Pilzen , ganze Schweiz, Mai-Nov 86

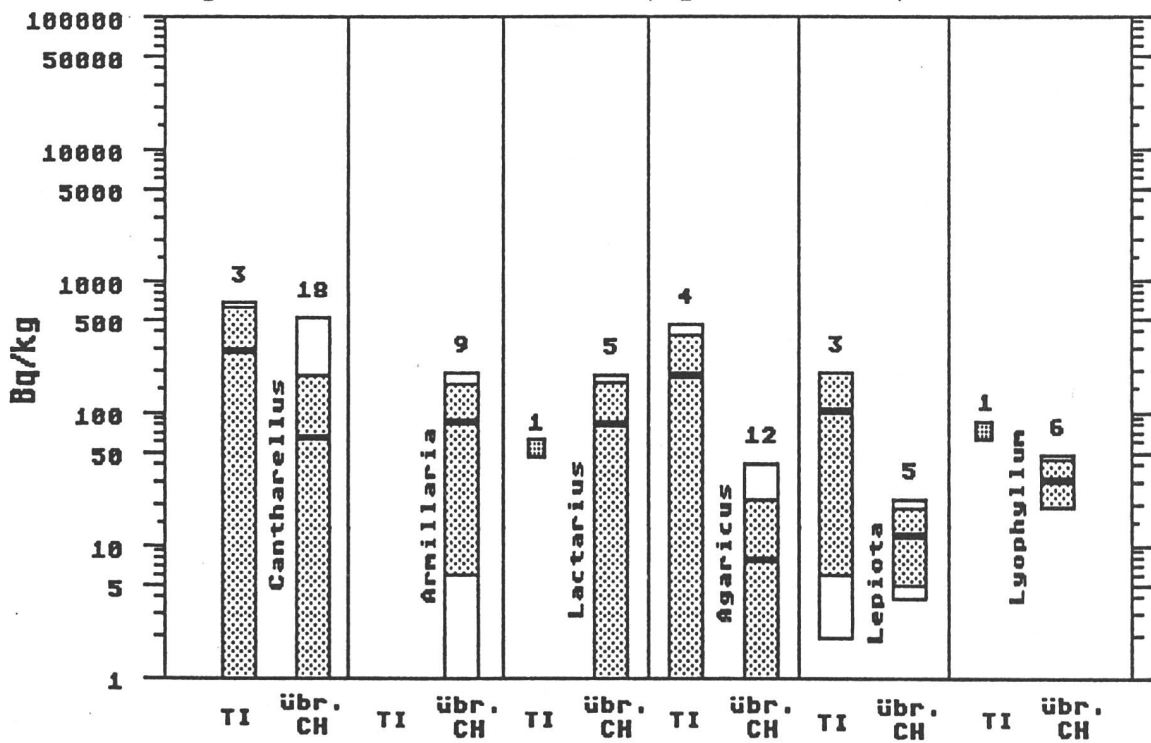


Fig.5.41: Cs-137 im Weizen, Aug-Okt 86

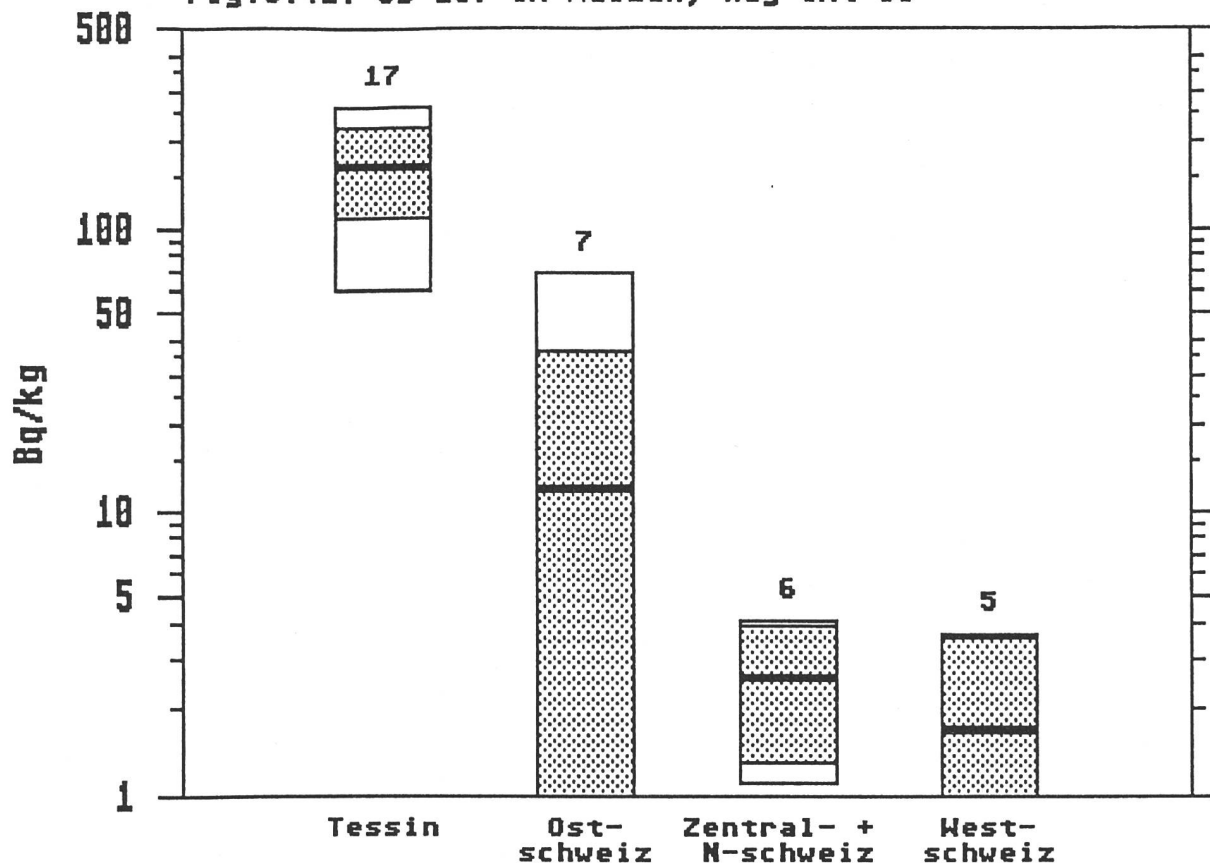


Fig.5.42: Cs-137 im übrigen Getreide, Aug-Okt 86

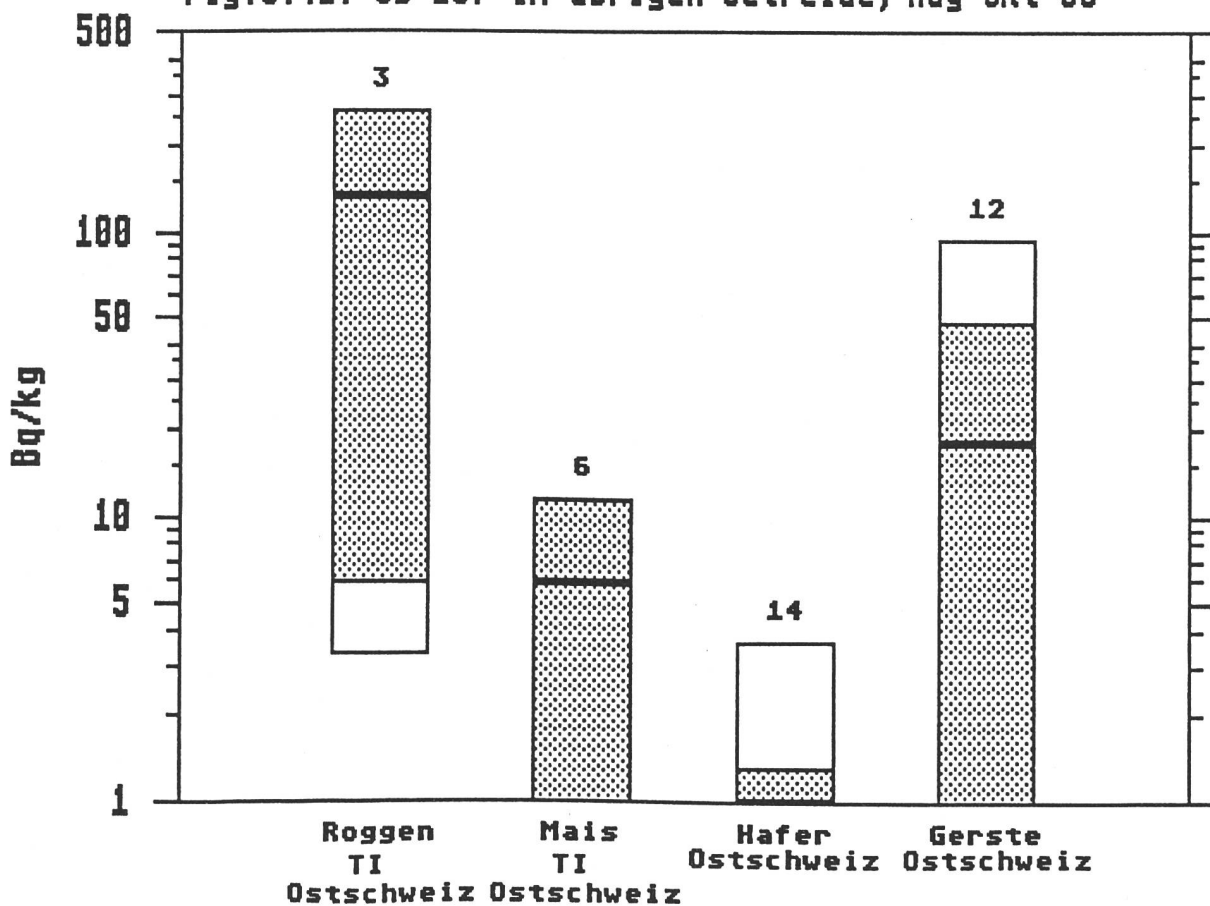


Fig.5.43: Cs-137 in Bienenhonig, Mai-Okt 86

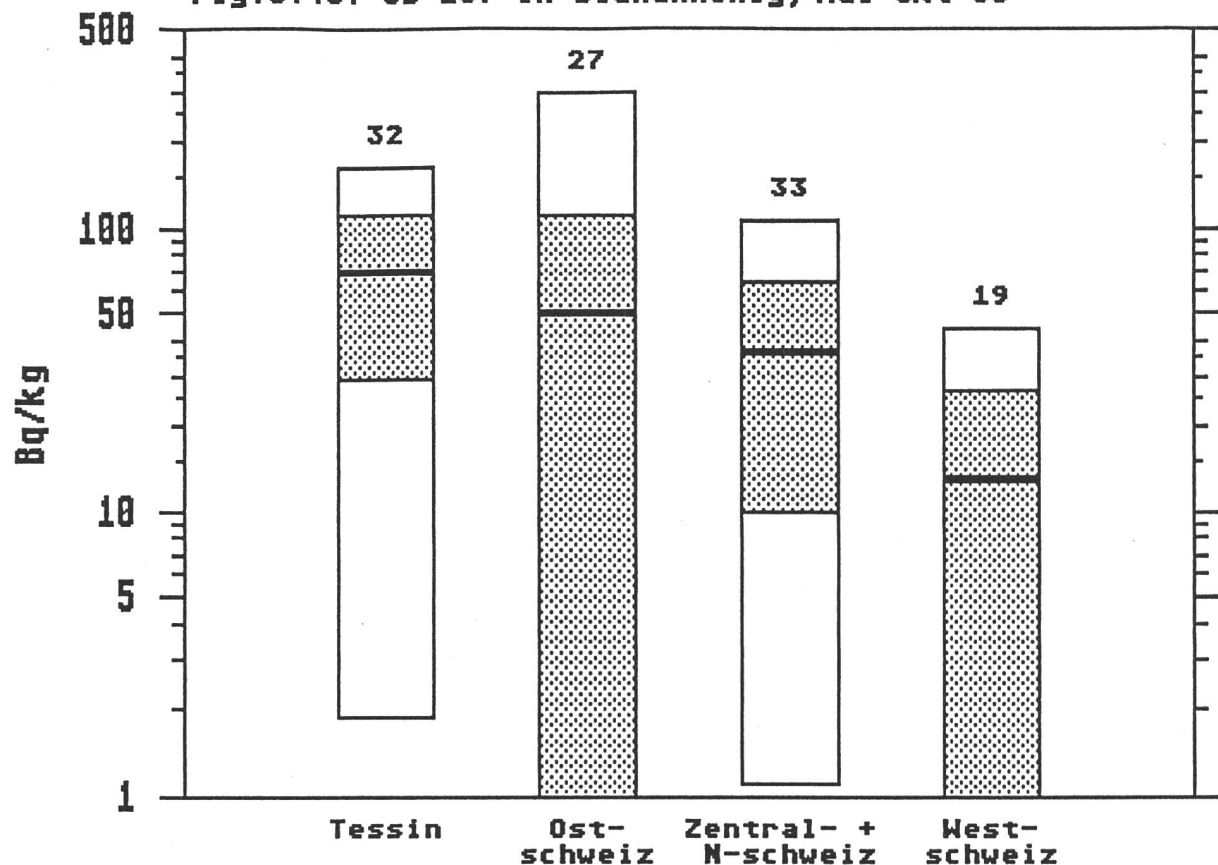


Fig.5.44: Cs-137 in anderen Proben 1986

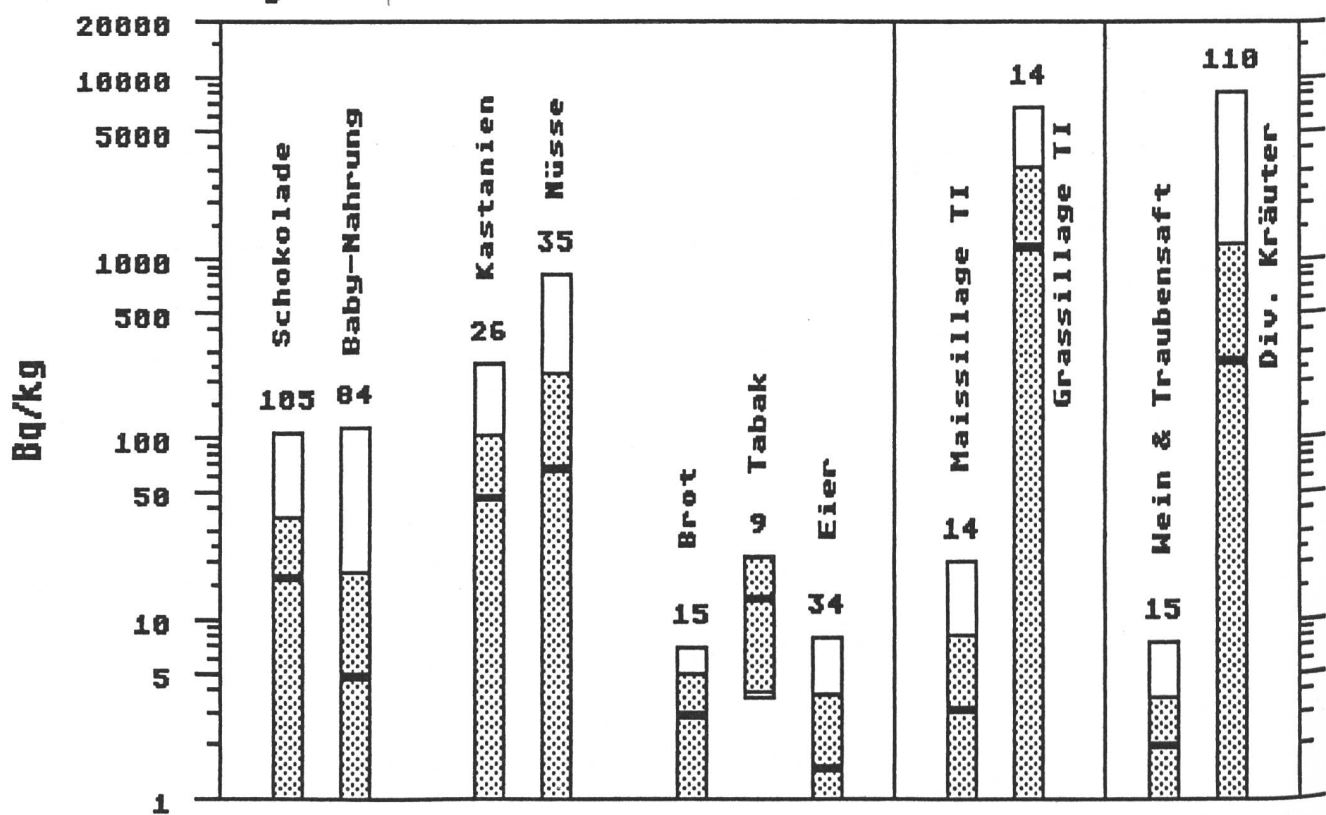


Fig.5.45.a: Cs-137 in Importproben, 1986

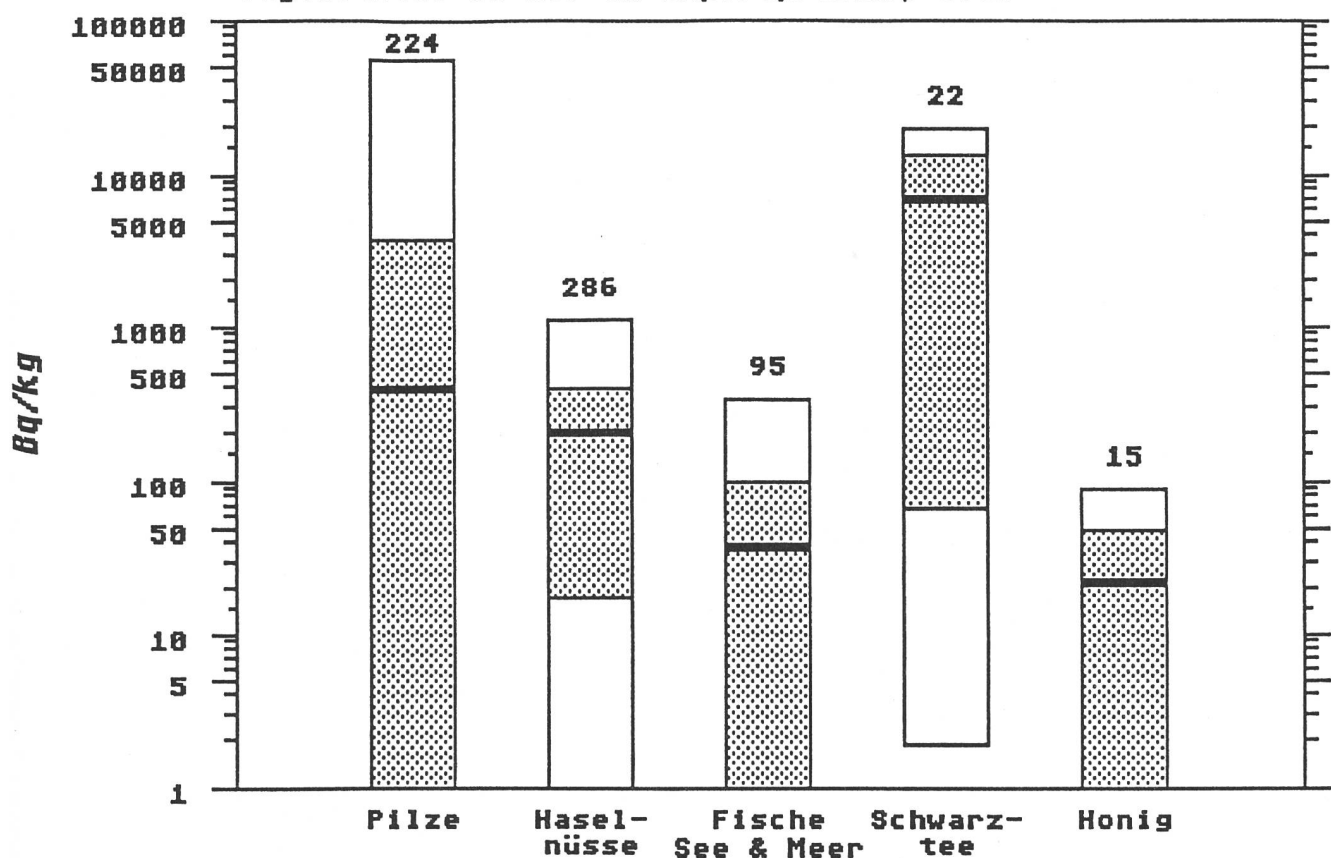


Fig.5.45.b: Fleischimporte (Cs-137 + Cs-134), 1986

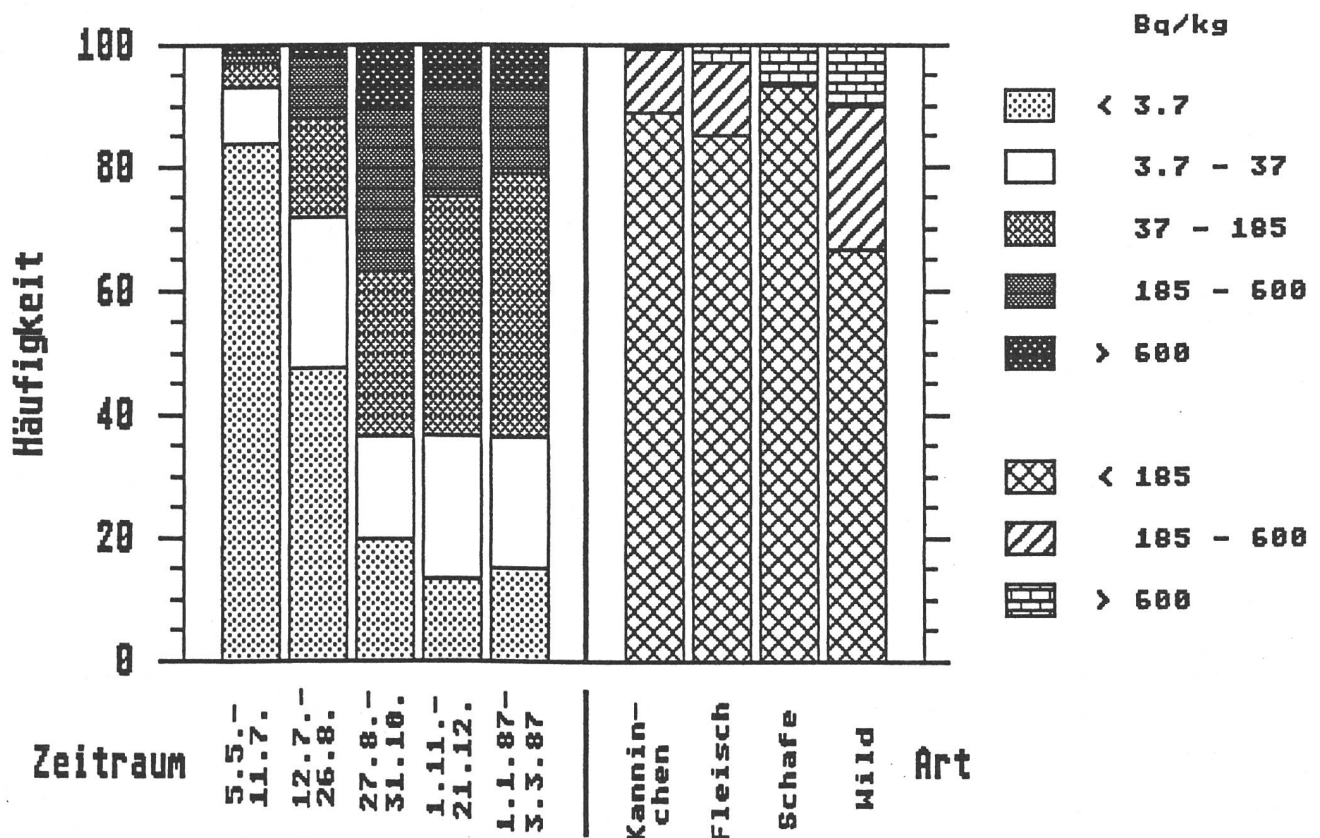


Fig.5.46.a: Cs-137 in Zisternenwasser 1986

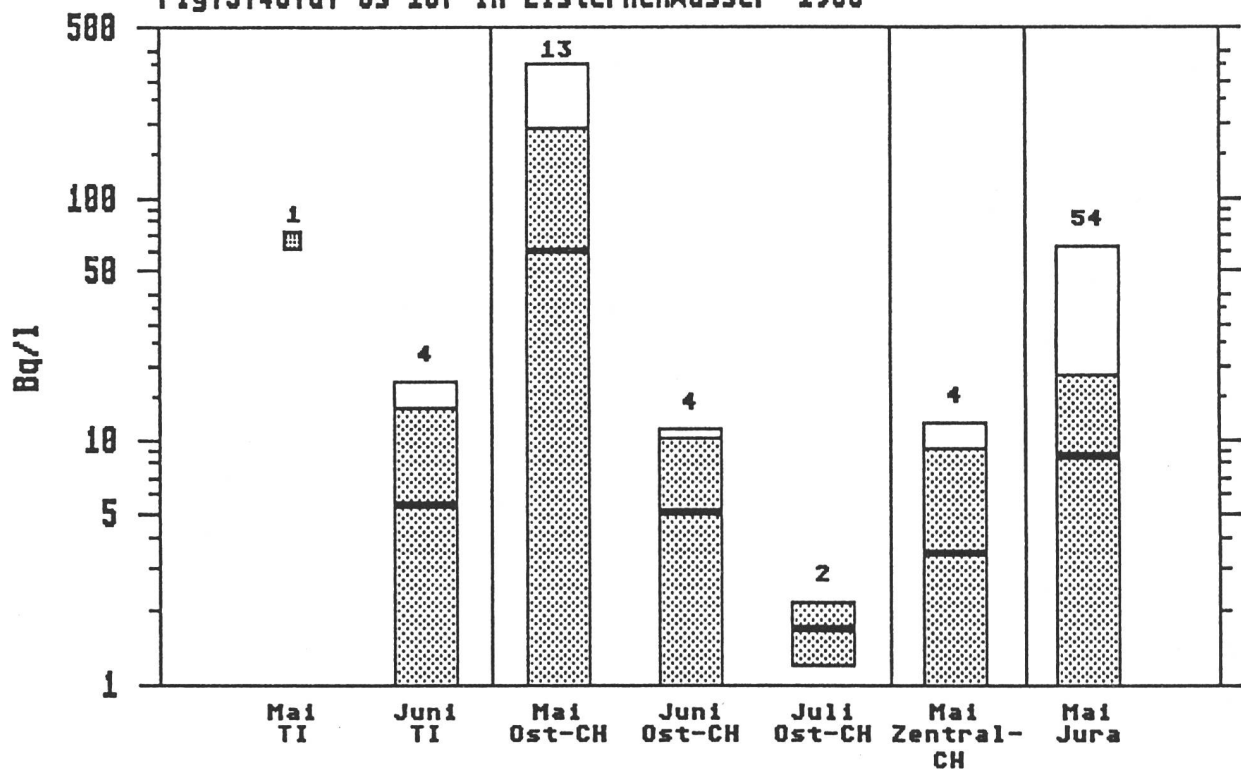


Fig.5.46.b: Cs-137 in Trinkwasser (ohne Zisternen) und Quellwasser

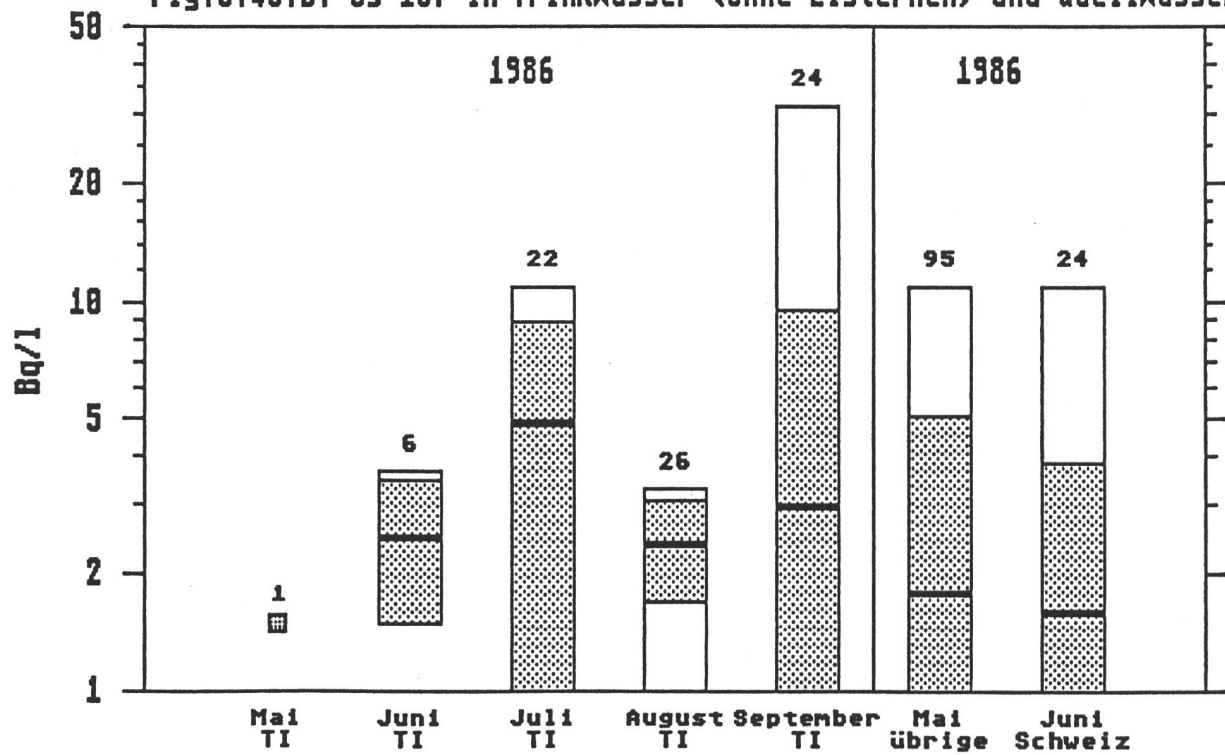


Fig.5.46.c: J-131 in Zisternen-
wasser Jura

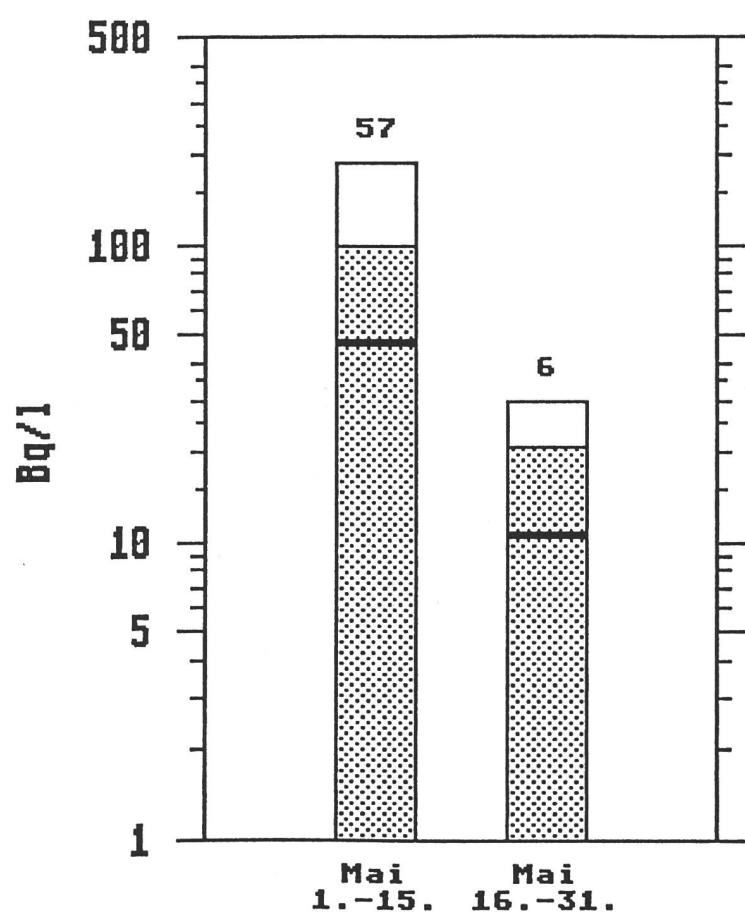


Fig. 5.47.a:
GANZKÖRPERMESSUNGEN 1986/87

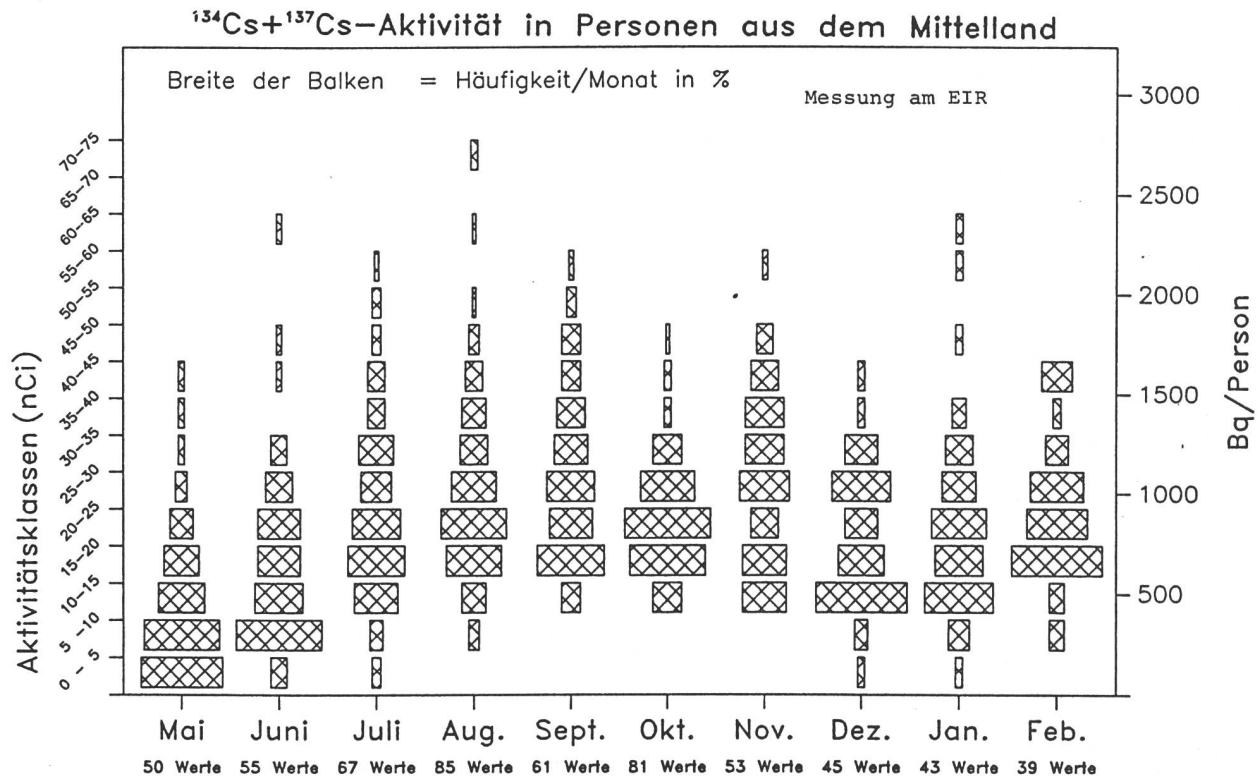


Fig. 5.47.b:
GANZKÖRPERMESSUNGEN 1986/87

$^{134}\text{Cs} + ^{137}\text{Cs}$ -Aktivität in Personen aus dem Kanton Tessin

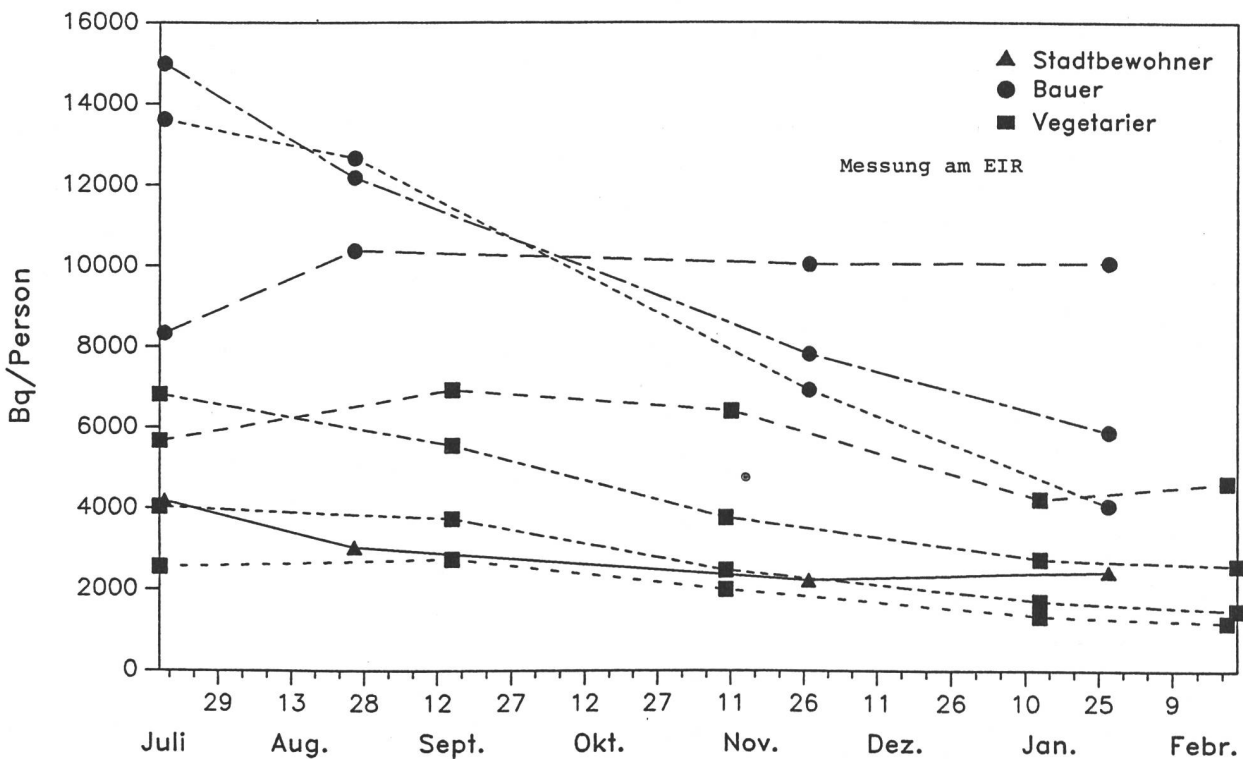


Fig. 5.47.c: GANZKÖRPERMESSUNGEN

1986/87

monatl. Mittelwerte der $^{134}\text{Cs}+^{137}\text{Cs}$ -Aktivität von ca 500 Personen aus dem Mittelland

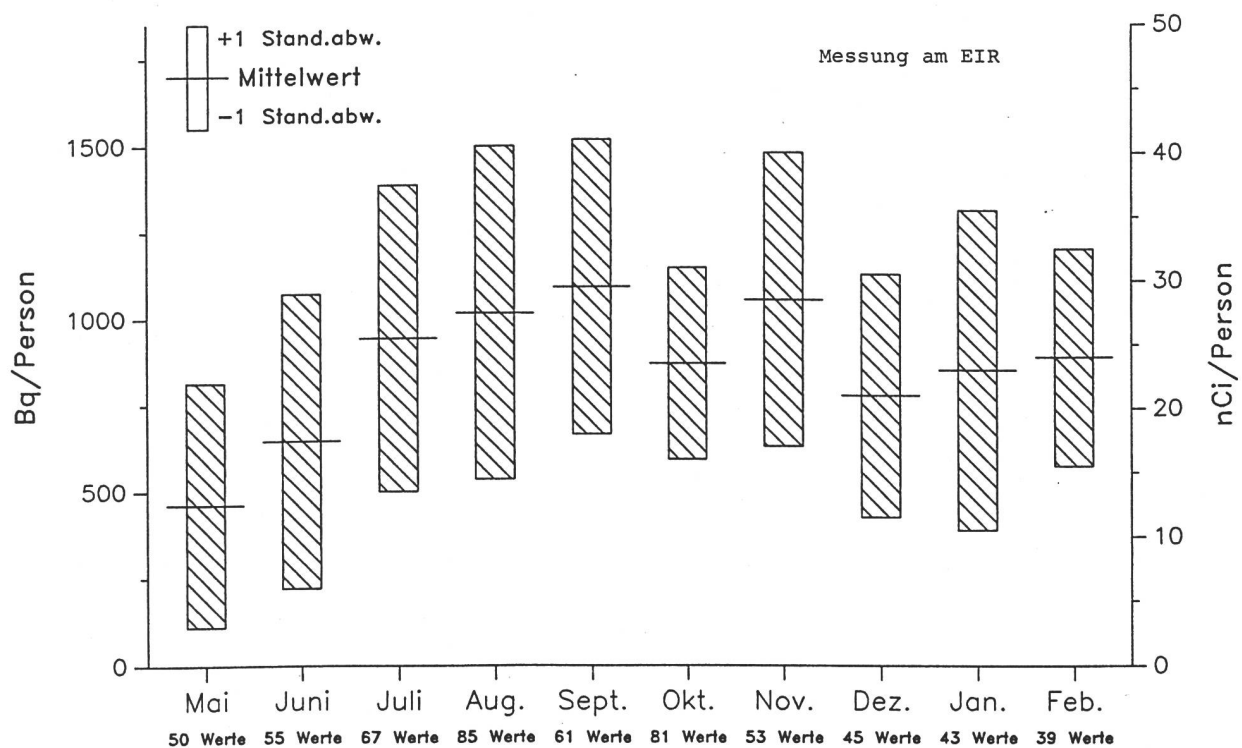


Fig. 5.47.d: URIN-MESSUNGEN 1986/87

monatl. Mittel der $^{134}\text{Cs}+^{137}\text{Cs}$ -Aktivität
von über 350 Personen

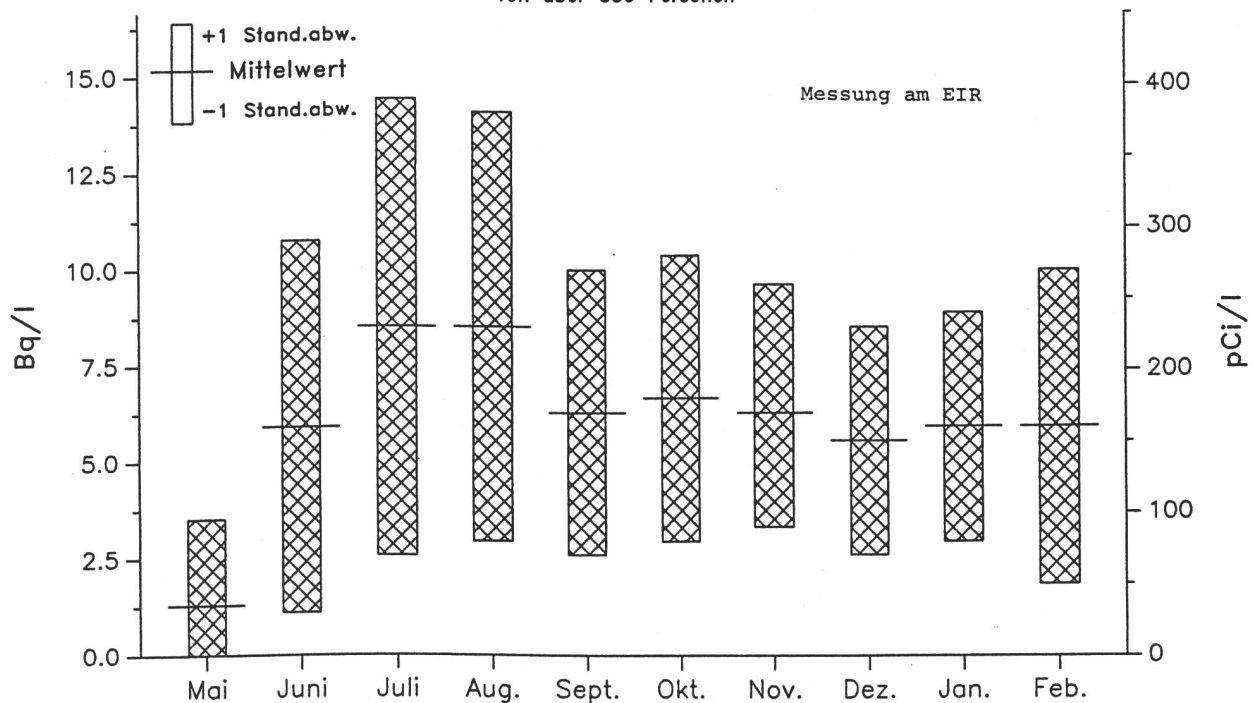


Fig. 5.47.e: Ganzkörpermessungen am EIR 1986/87

$^{134}\text{Cs} + ^{137}\text{Cs}$ -Aktivität

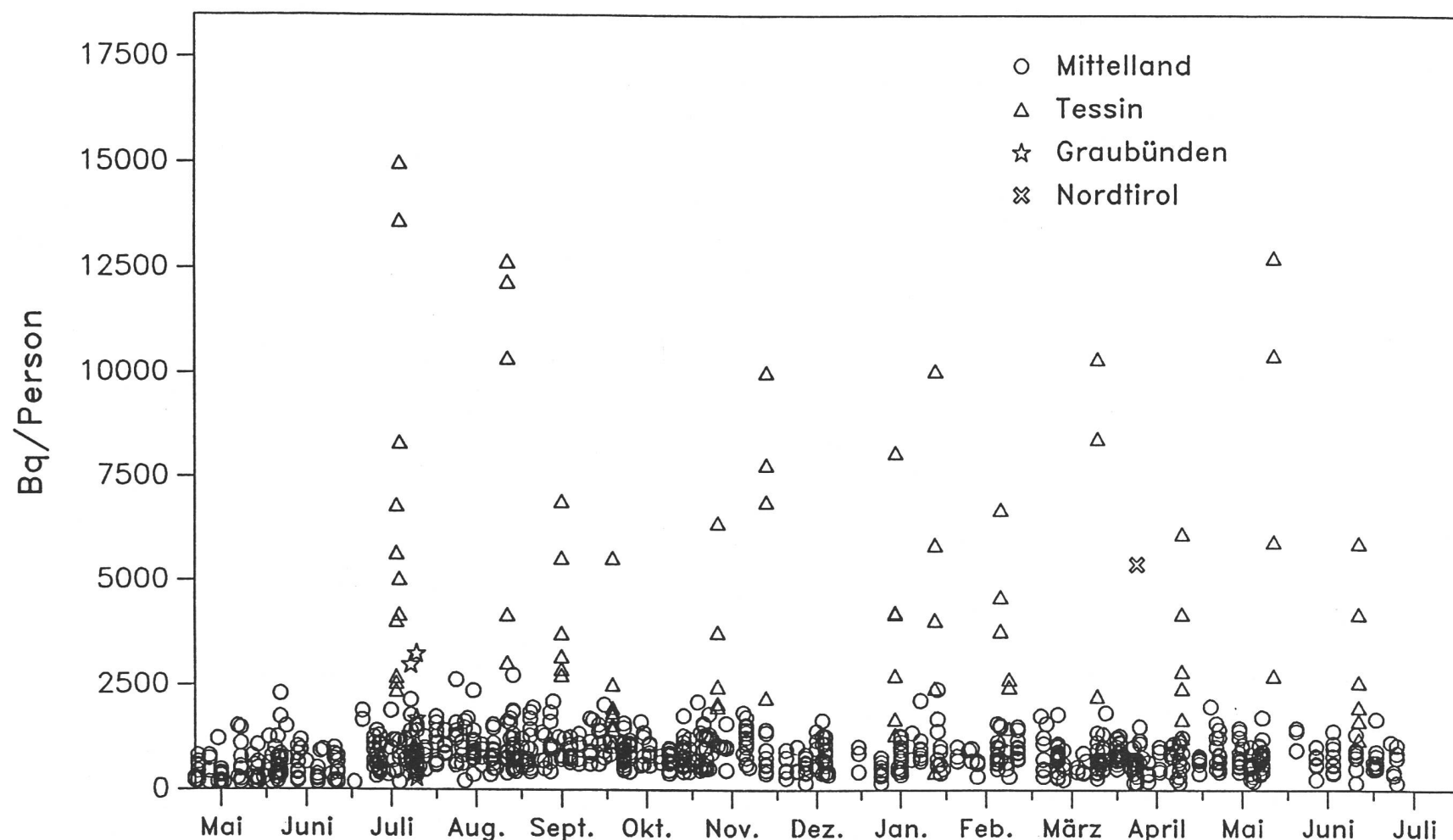


Fig. 5.48 : Ganzkörpermessungen in Genf :

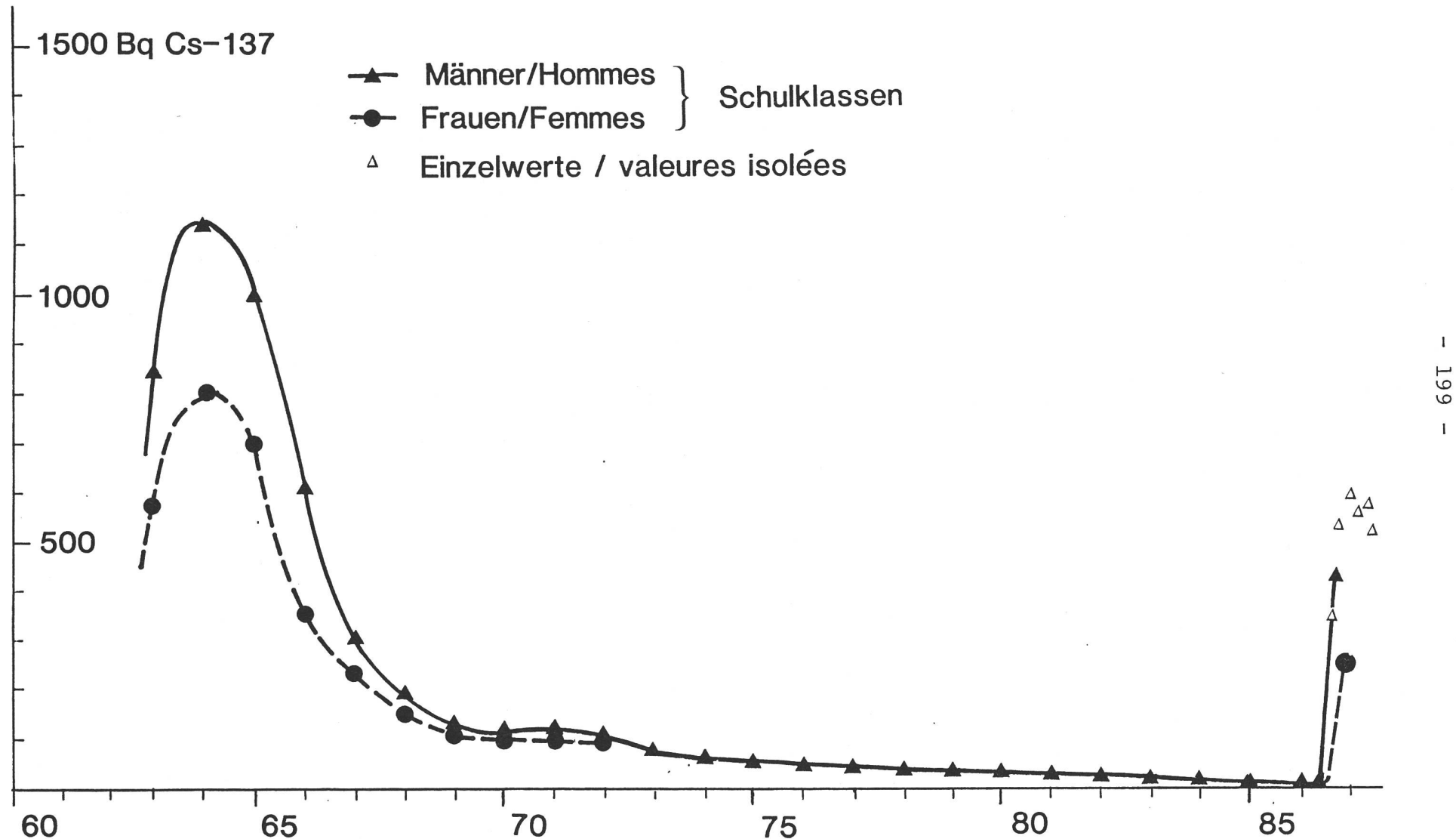


Fig. 5.49.a: Cs-137/Sr-90-Verhältnis in Pflanzen aus 3 Regionen.

In Klammern: Anzahl Proben - en parenthèses: nombre d'échantillons

1 : Luftfilter Dübendorf/ZH - filtres à air de Dübendorf

2 : Luftfilter Saignelégier/JU - filtres à air de Saignelégier/JU

3 : Regenwasser Dübendorf/ZH - pluie de Dübendorf

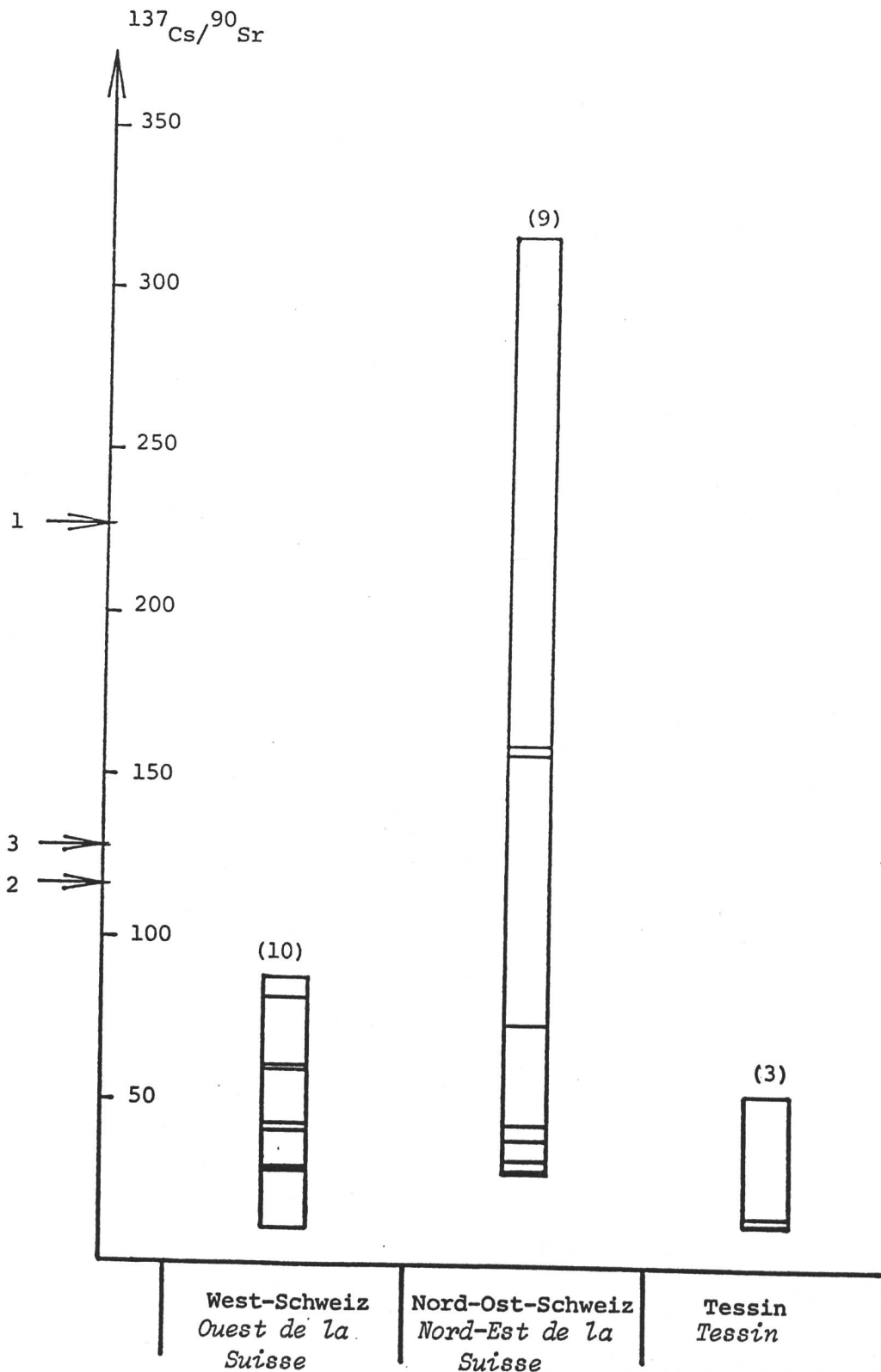


Fig. 5.49.b: Kuhmilch ganze Schweiz (Mai – Juni 1986)

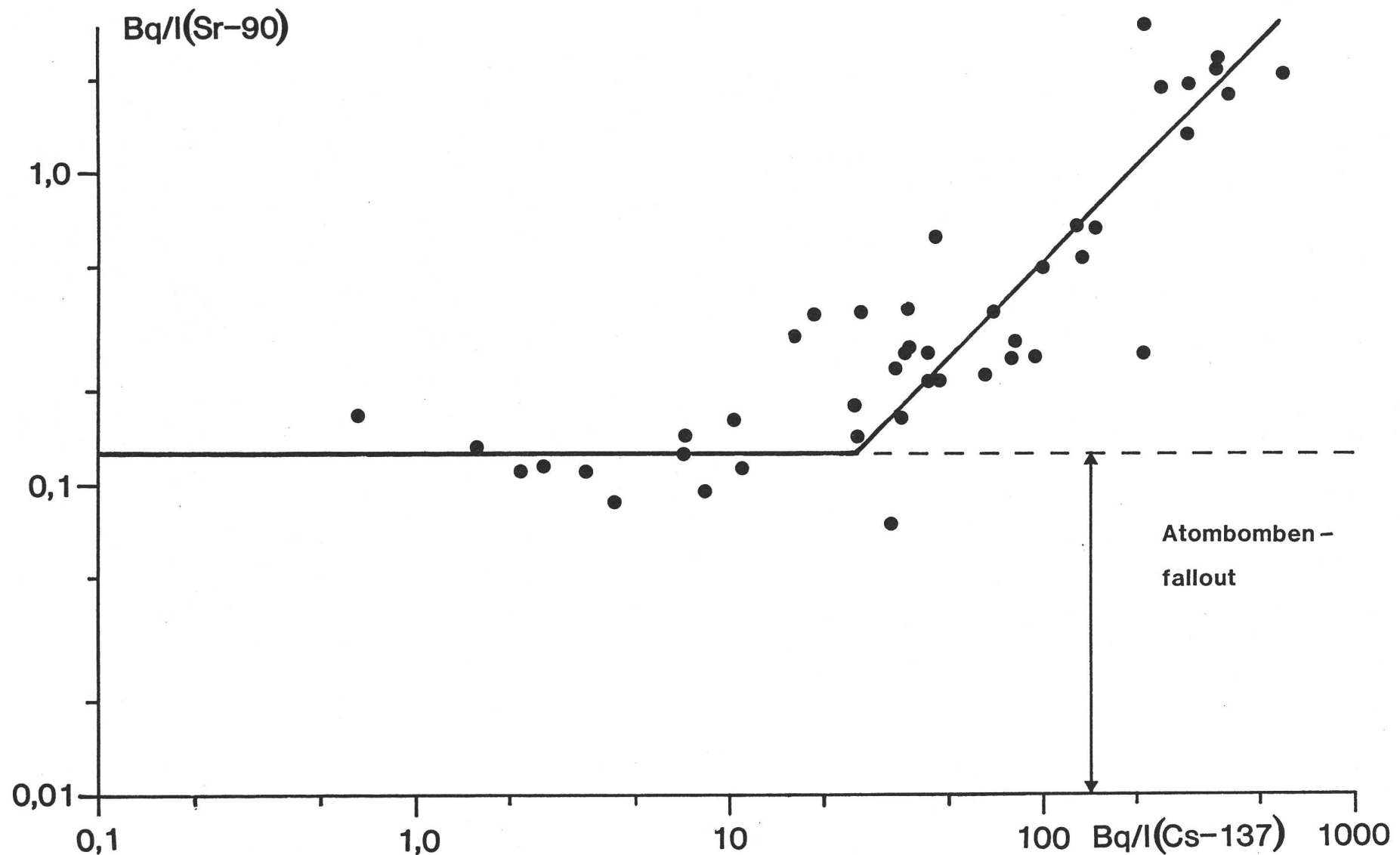


Fig. 5.49.c: Radionuklide in der Milch von Pomy/VD

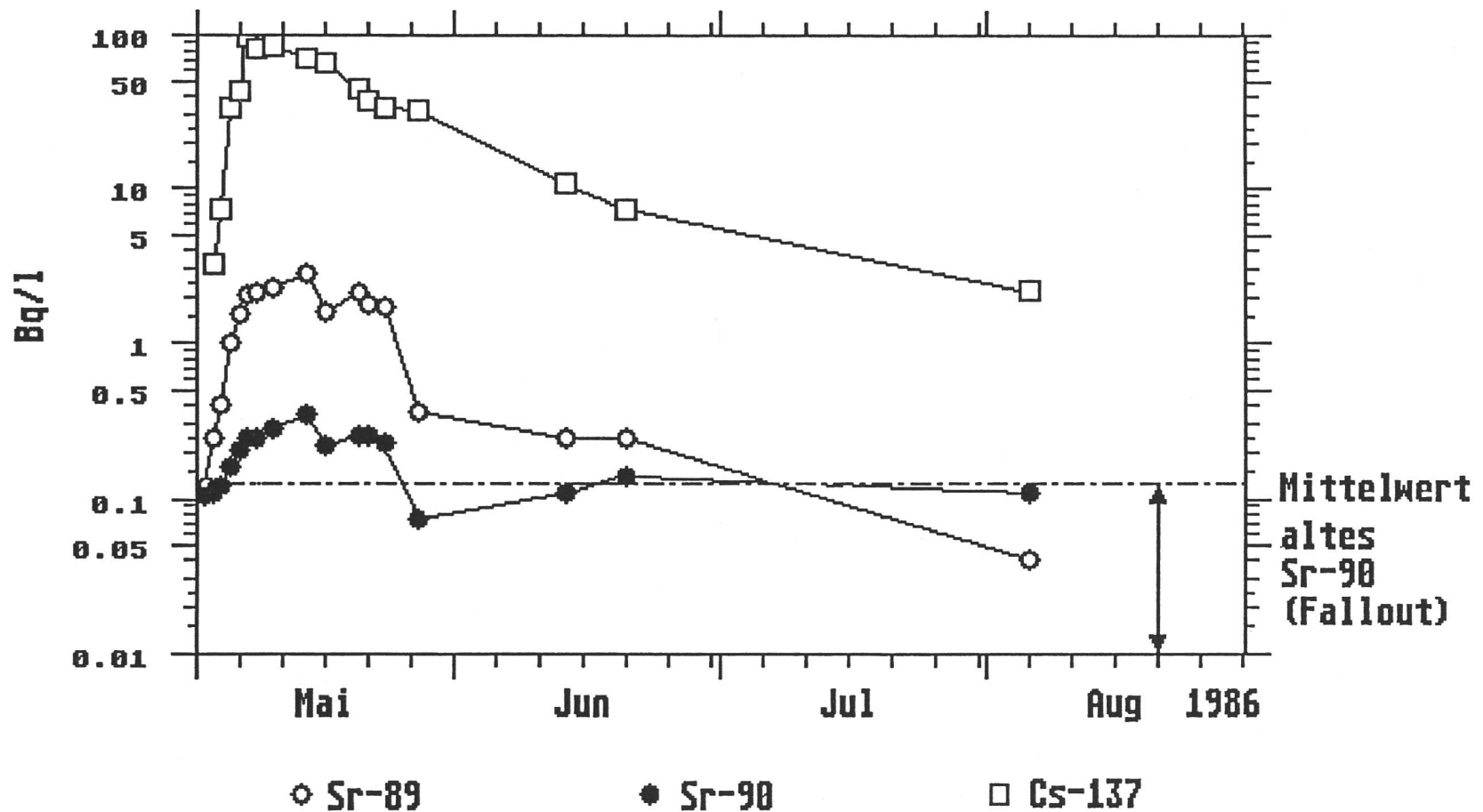
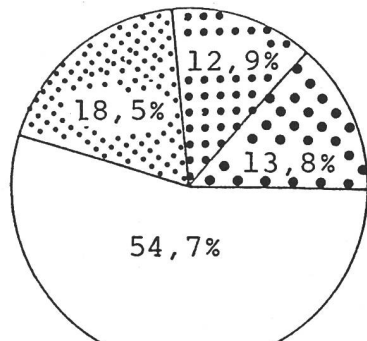
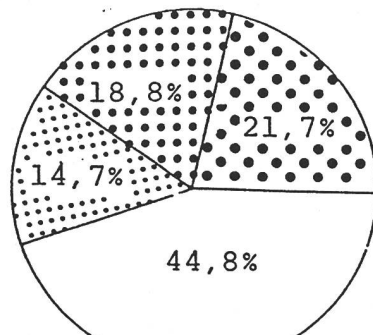


Fig. 5.49.d: Verteilung von Sr-90 und Calcium in den vier Mahl-Fraktionen von Weizen aus dem Tessin.

- (a) Sr-90 - Verteilung
- (b) Calcium-Verteilung
- (c) Aktivitätsverteilung von Sr-90 zum gesamten Getreide.



(a)



(b)



farine 3e
Mehl (3. Mahlung)



farine mi-blanche
Halbweissmehl

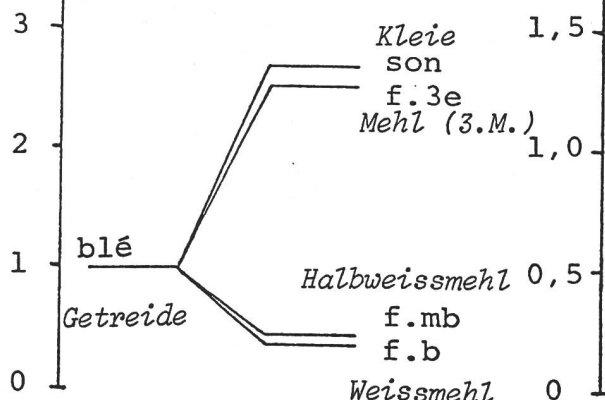


farine blanche
Weissmehl



son
Kleie

Rapport Bq/kg
Aktivitätsverhältnis



(c)

Rapport Bq/g Ca
Aktivitätsverhältnis

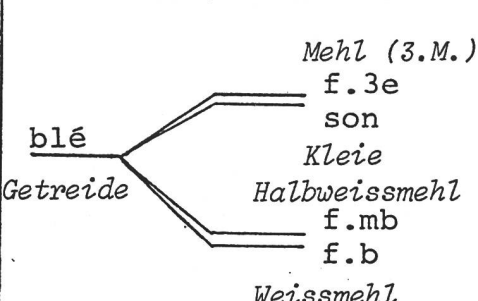


Fig.5.50.a: Radionuklide in Frischschlamm ARA Münsterlingen 1986/87

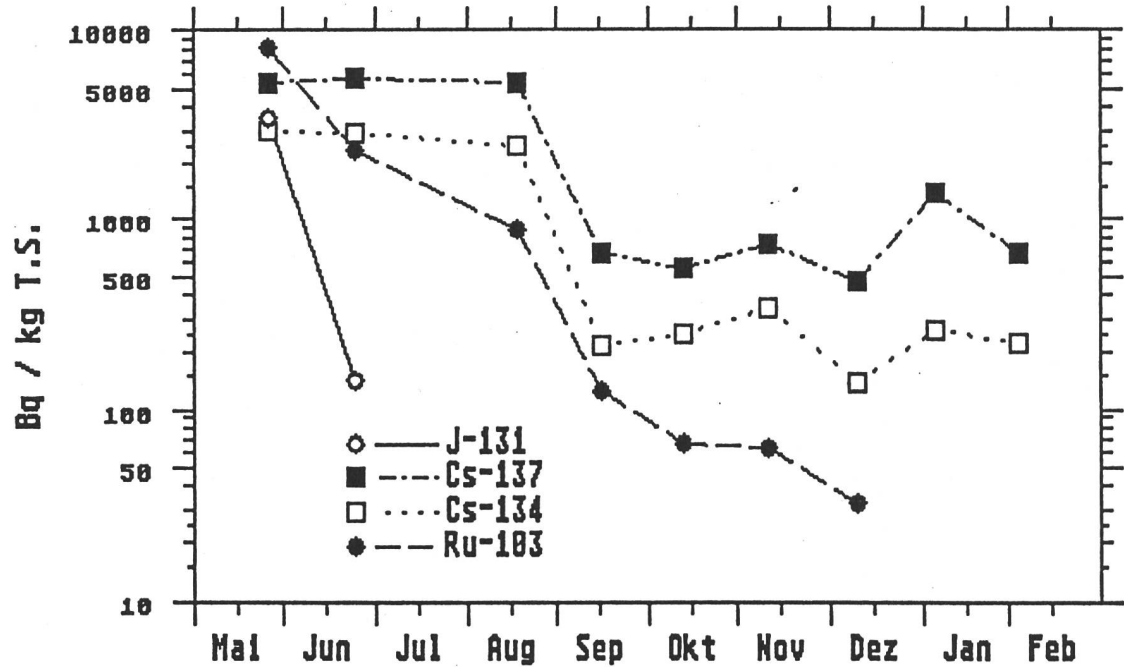


Fig.5.50.b: Radionuklide im Frischschlamm, ARA Bern-Neubrück 1986/87

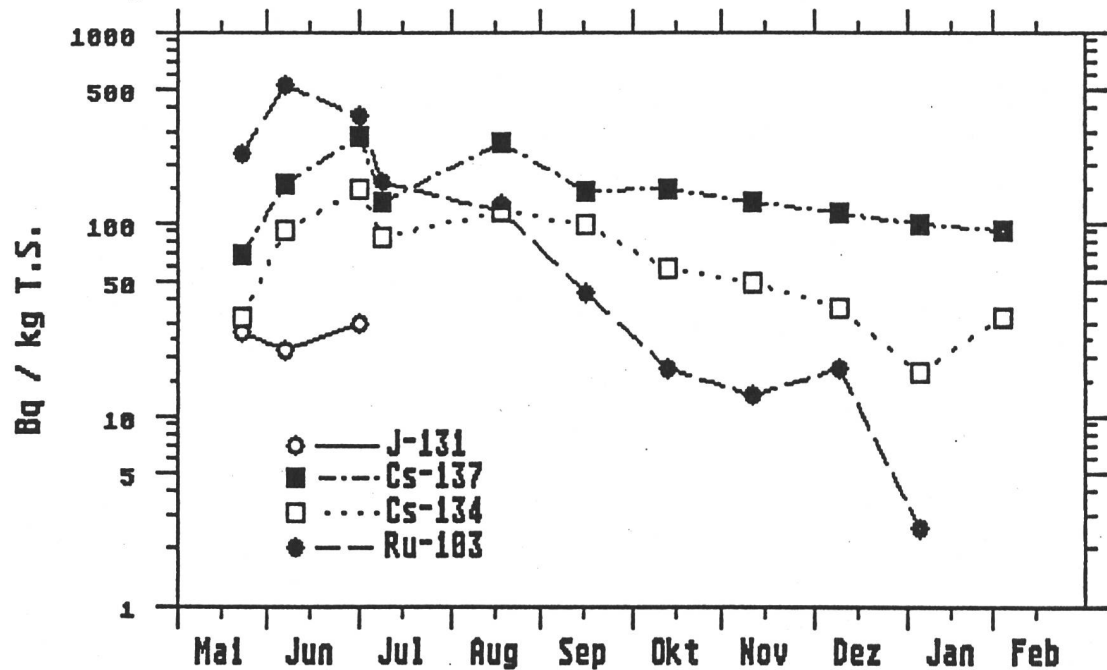


Fig.5.50.c: Radionuklide in Frischschlamm ARA Lugano 1986/87

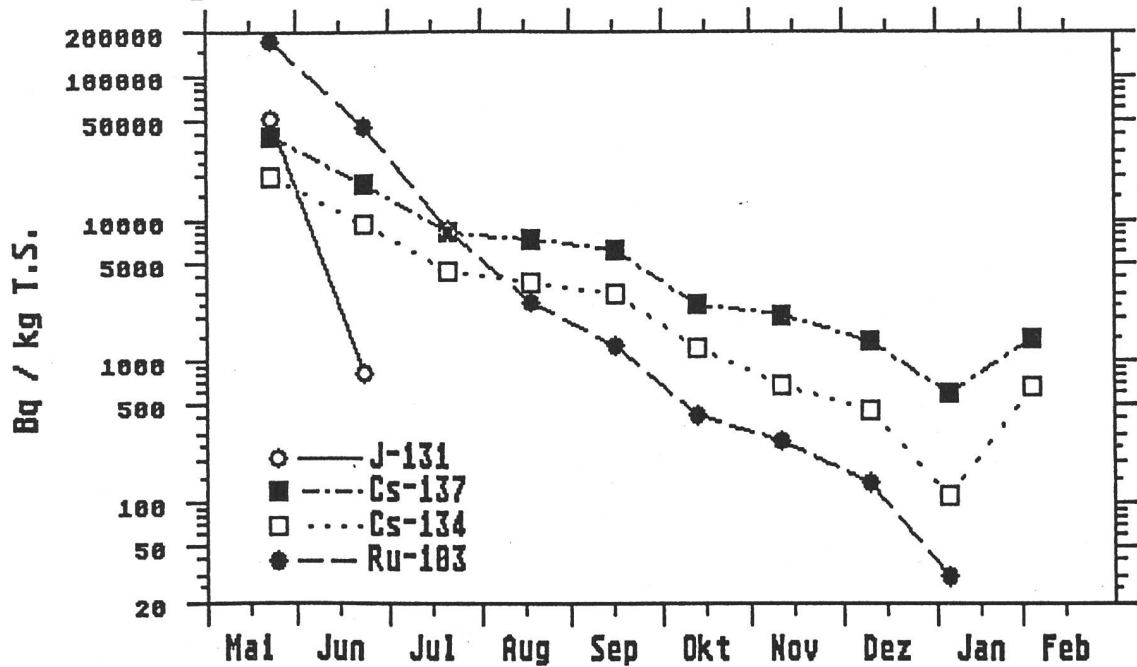


Fig.5.50.d: Radionuklide in Frischschlamm ARA Morges 1986/87

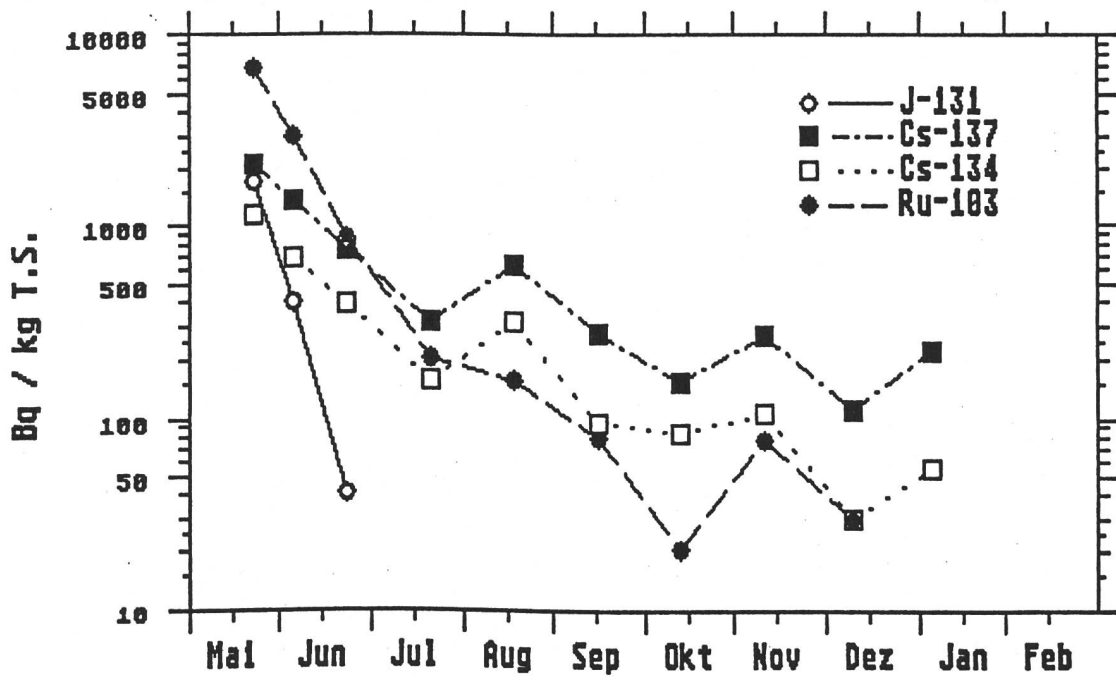


Fig.5.50.e: Aktivitätsverteilung im Klärschlamm (ganze Schweiz)

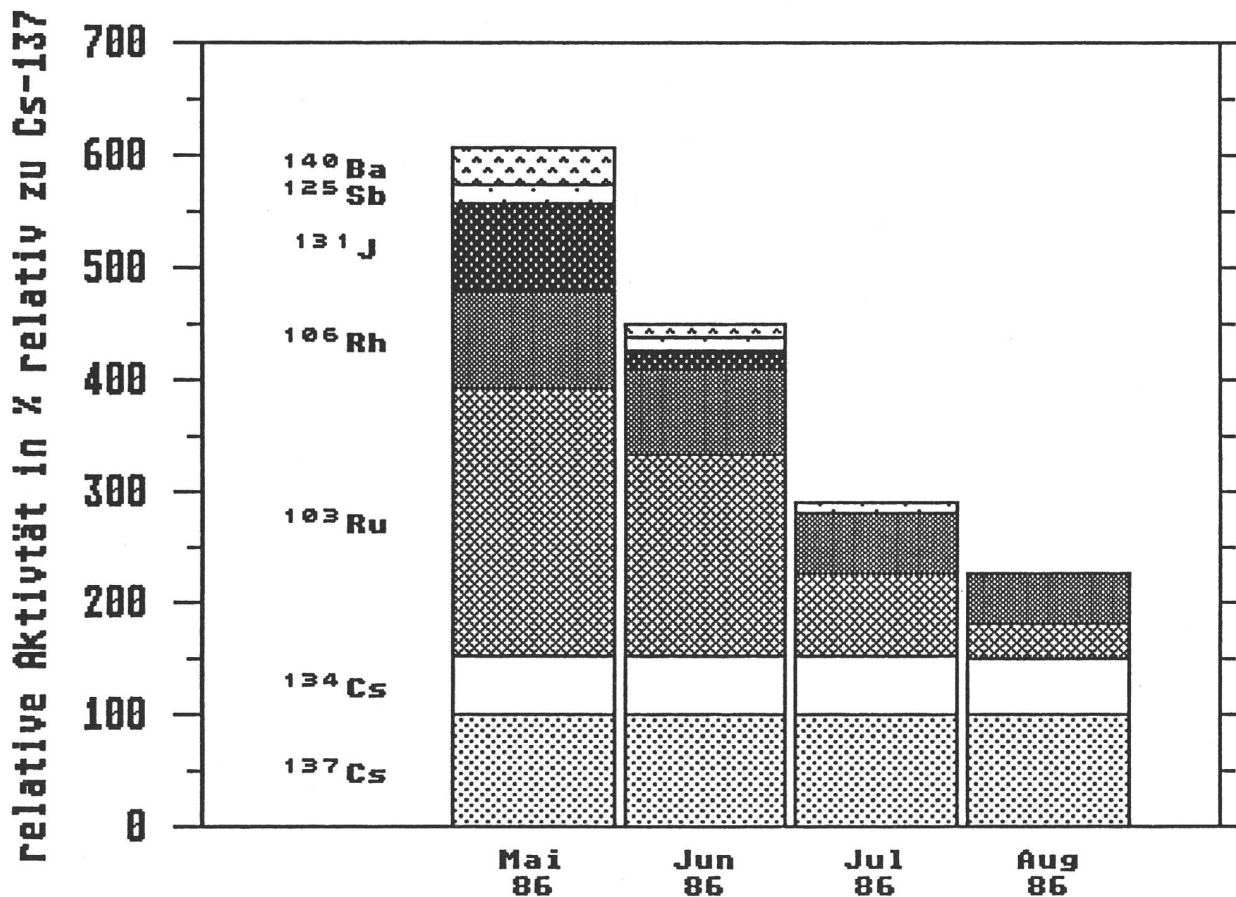


Fig. 5.51.a :

Route Aeroradiometrieflug am 7. Juli 1986 ab Dübendorf

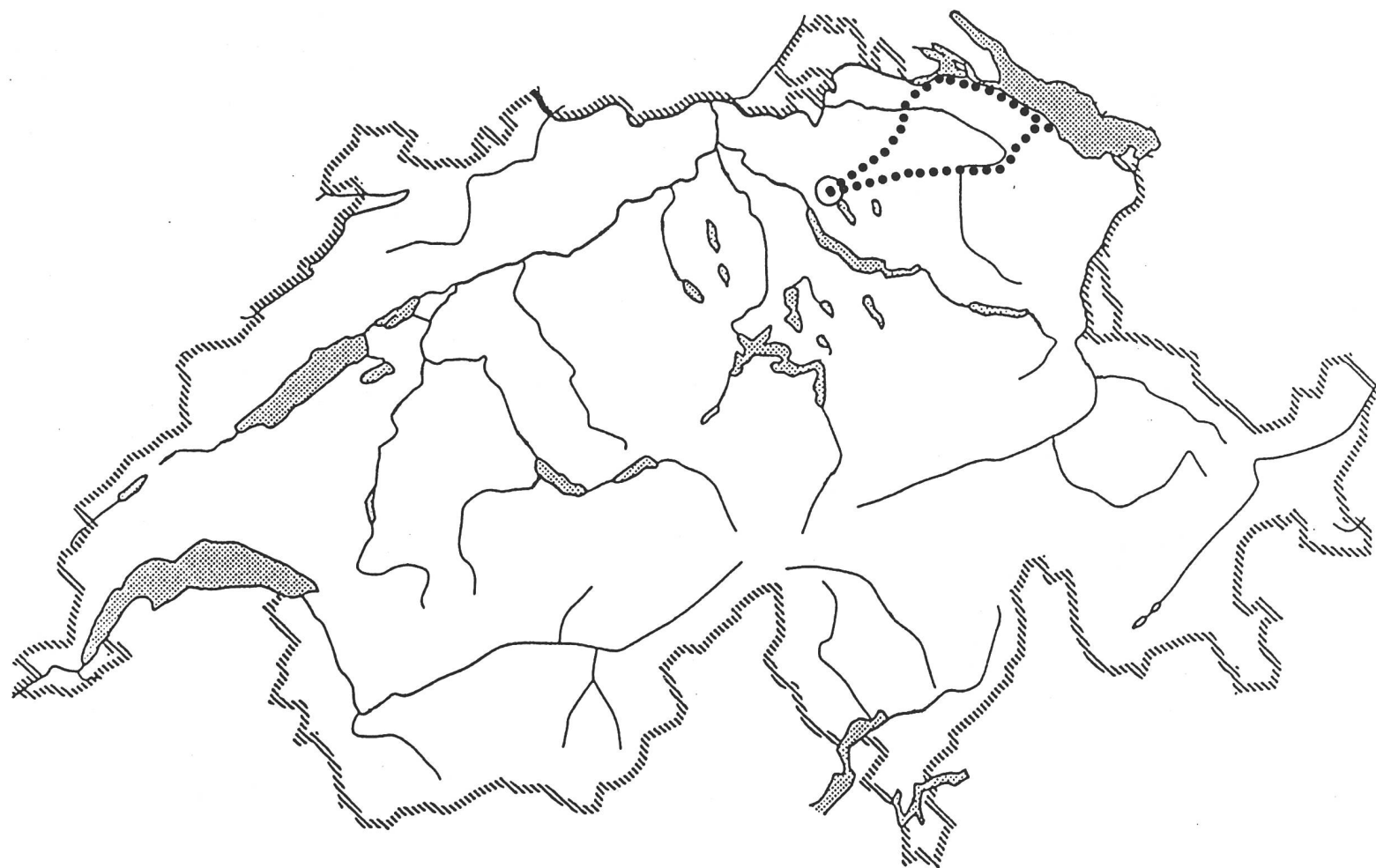
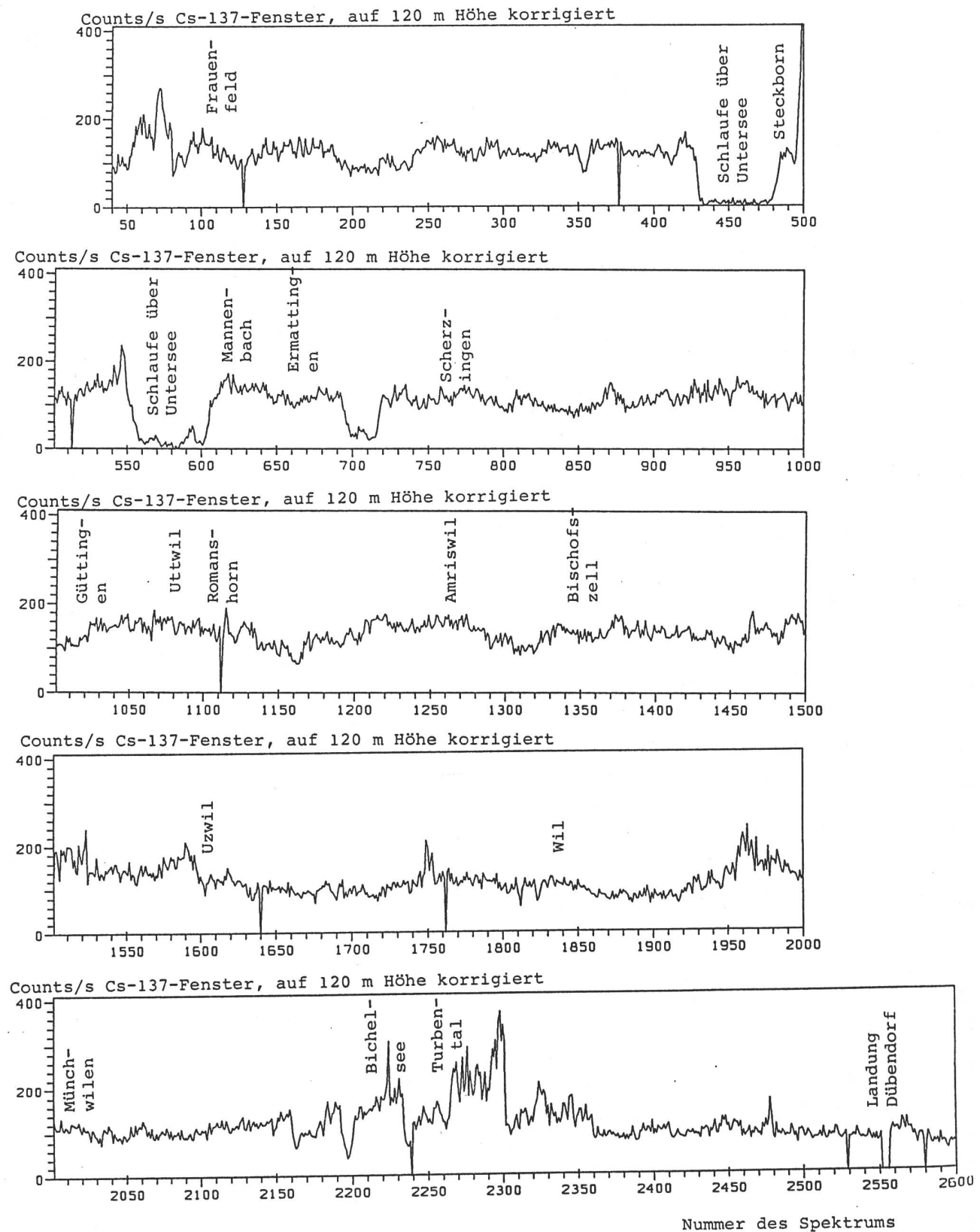


Fig. 5.51.b:

Resultate des Aeroradiometriefluges vom 7.7.86



Nummer des Spektrums